



## Memòria de la intervenció paleontològica a la Nova Fase del Diòsit Controlat de Can Mata

David M. Alba, Jordi Galindo, Isaac Casanovas-Vilar



### **Avis legal**

Aquesta obra està subjecta a una llicència Reconeixement-NoComercial-SenseObresDerivades 2.5 de Creative Commons. Se'n permet la reproducció, distribució i comunicació pública sempre que se'n citi el titular dels drets i no se'n faci un ús comercial. No es pot alterar, modificar o generar una obra derivada a partir d'aquesta obra. La llicència completa es pot consultar a <http://creativecommons.org/licenses/by-nc-sa/2.5/es/legalcode.ca>.

## **FITXA TÈCNICA**

Jaciments:	1) Abocador de Can Mata (ACM): inclou diverses localitats. 2) Can Vila (CV): inclou localitat Barranc de Can Vila 1 (BCV1).
Ubicació:	Nova Fase del Dipòsit Controlat de Can Mata.
UTMs:	DF0097 i DF0098
Municipi:	Els Hostalets de Pierola.
Comarca:	Anoia.
Província:	Barcelona.
Tipus de jaciment:	Paleontològic.
Tipus d'intervenció:	Control preventiu. Excavació d'urgència. Mostreig d'urgència.
Campanya:	Novembre 2002-Agost 2003.
Directors:	Jordi Galindo Torres* (llicenciat en geologia). David Martínez Alba* (llicenciat en biologia). Isaac Casanovas Vilar# (llicenciat en geologia).
Adreces de contacte:	

\*PALAEOTHERIA, S.C.P.  
Provençals 5, 2on 1a. 08019 Barcelona.  
Tel. 653 67 40 30  
E-mail: PALAEOTHERIA@menta.net

#Institut de Paleontologia M. Crusafont  
Escola Industrial 23. 08201 Sabadell.  
Tel. 93 726 17 69  
E-mail: hispanomys@yahoo.es

© 2004 David Martínez Alba, Jordi Galindo Torres, Isaac Casanovas Vilar.

La reproducció total o parcial d'aquesta obra per qualsevol procediment, comprenent-hi la reprografia i el tractament informàtic, resten rigorosament prohibides sense l'autorització escrita dels autors.

## ÍNDEX

Fitxa tècnica .....	Pàg. 1
Index .....	Pàg. 2
A. Introducció .....	
A.1. Motivació de la intervenció paleontològica .....	Pàg. 3
A.2. Objectius de la intervenció paleontològica .....	Pàg. 6
A.3. Context geogràfic i geològic .....	Pàg. 7
B. Material i mètodes .....	
B.1. Permisos .....	Pàg. 11
B.2. Recursos humans .....	Pàg. 11
B.3. Tipus d'actuacions .....	Pàg. 12
Prospecció .....	Pàg. 12
Control preventiu .....	Pàg. 13
Excavació macropaleontològica d'urgència .....	Pàg. 21
Mostratge micropaleontològic d'urgència .....	Pàg. 23
Enregistrament de la informació associada .....	Pàg. 30
B.4. Materials i metodologia d'extracció .....	Pàg. 32
C. Resultats .....	
C.1. Restes recuperades .....	Pàg. 36
C.2. Estudis preliminars .....	Pàg. 36
C.3. Actuacions paleontològiques .....	Pàg. 36
Prospecció .....	Pàg. 37
Control preventiu .....	Pàg. 38
Excavació macropaleontològica d'urgència .....	Pàg. 40
Mostratge micropaleontològic d'urgència .....	Pàg. 43
Enregistrament de la informació associada .....	Pàg. 56
C.4. Llista faunística .....	Pàg. 78
D. Discussió .....	
D.1. Geologia .....	Pàg. 80
D.2. Paleontologia .....	Pàg. 81
Restes no siglades .....	Pàg. 81
Rèptils .....	Pàg. 84
Micromamífers .....	Pàg. 96
Macromamífers .....	Pàg. 101
Restes restaurades .....	Pàg. 153
D.3. Reconstrucció paleoambiental .....	Pàg. 170
E. Conclusions .....	Pàg. 171
Agraïments .....	Pàg. 173
Bibliografia .....	Pàg. 174
Apèndix 1: Inventari del material recuperat .....	Pàg. 177
Apèndix 2: Inventari del material de micromamífers .....	Pàg. 216
Nota final .....	Pàg. 220

## **A. INTRODUCCIÓ**

### **A.1. Motivació de la intervenció paleontològica:**

La intervenció paleontològica a les obres de la Nova Fase del Dipòsit Controlat de Can Mata (Els Hostalets de Pierola, Anoia) vingué motivada per la realització d'aquestes obres dins d'una zona de gran interès paleontològic. Les obres, concretament, consistiren en l'excavació de la primera cel·la de la nova fase, així com tota una sèrie d'estructures annexes (incloent basses de lixiviats i d'aigües pluvials, entre d'altres). Això representa una remoció de terreny considerable en una zona on la troballa de restes fòssils de vertebrats era altament probable, tal com es conclouia en l'informe previ encarregat per l'empresa promotora CESPÀ GR (Galindo, 2001).

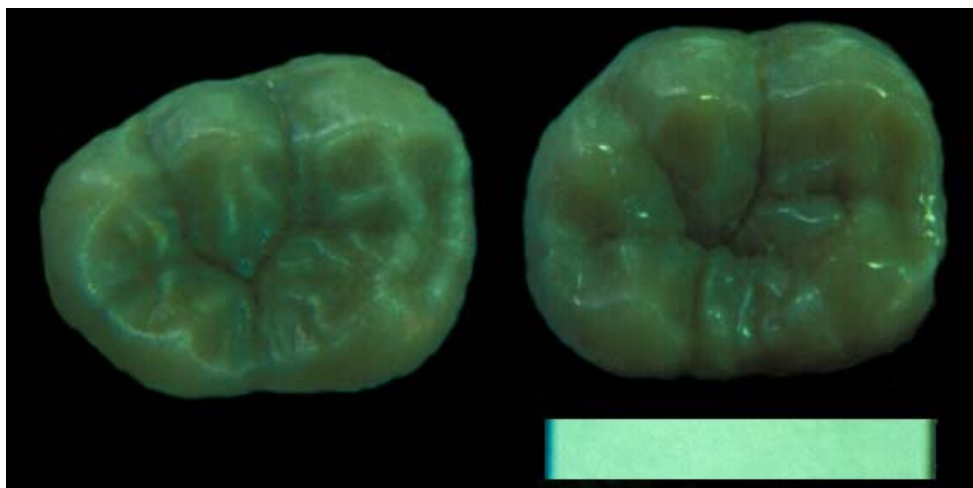


**Figura A1.** Aspecte actual del jaciment de la Bretxa de Can Mata (Can Mata I); no s'aprecia l'aflorament del nivell ric en restes fòssils en estar cobert per despreniments.

Als Hostalets de Pierola, abans de la realització de les citades obres, no hi havia només una única localitat amb vertebrats fòssils, sinó que es tractava d'un conjunt de localitats distribuïdes des de la riera de Pierola fins a La Fassina, a la riera de Claret. Algunes d'aquestes localitats foren inicialment donades a conèixer durant el primer terç del segle XX pel paleontòleg valencià Josep Ramon Bataller, del Museu de Geologia del Seminari Conciliar de Barcelona. Bataller prospecta la zona després que arribessin a les seves mans les restes d'un dinoteri trobat a les proximitats de Piera, i en la seva monografia *Els Ratadors Fòssils de Catalunya* (Bataller, 1938) enumera i situa en un mapa un conjunt de jaciments rics en macro- i micromamífers propers a la riera de Claret, i en descriu la seva microfauna. Posteriorment, a partir de la dècada dels anys '40, l'equip format pels paleontòlegs Miquel Crusafont i Josep Fernández de Villalta, vinculats a la Secció de Paleontologia del Museo de la



Ciudad de Sabadell (que més tard acabaria sent el germen de l'actual Institut de Paleontologia M. Crusafont), prospectà intensivament la zona i recollí nou material. L'activitat d'aquests paleontòlegs se centrà en la zona situada entre les masies de Can Mata de la Garriga, Can Vila, Mas d'Ocata i Can Flaquer, i consistí en una intensa activitat de prospecció, excavació paleontològica, i investigació paleobiològica i biostratigràfica, que es materialitzà en la publicació dels resultats obtinguts i en les nombroses visites que es realitzaren durant els anys '50 en el marc dels *Cursillos Internacionales de Paleontología* (Crusafont & Truyols 1954). Destaca sobretot el descobriment i excavació de la localitat anomenada Bretxa de Can Mata o Can Mata I (Figura A1), excepcionalment rica en carnívors, i el descobriment a les immediacions de Can Vila d'un dels exemplars més antics d'un primat hominoïdeu a Catalunya (Figura A2). Posteriorment, durant el període comprès entre 1973 i 1980, es realitzà des del ja creat Institut de Paleontologia de Sabadell una intensa activitat d'investigació sobre el material de mamífers fòssils lliurat per les localitats dels Hostalets de Pierola (Agustí 1980; Agustí & Gibert 1982; Agustí *et al.*, 1984, 1985).



**Figura A2.** Molars inferiors del primat hominoïdeu de Can Vila, descobertes als anys '40 del segle XX, que originàriament donaren lloc a la descripció d'una nova espècie (*Sivapithecus occidentalis*), i que posteriorment foren sinonimitzades amb *Dryopithecus laietanus*. Actualment, la seva atribució taxonòmica és incerta.

A la bibliografia no es trobà cap cita que permetés de situar alguna troballa de vertebrats fòssils dins de l'àrea d'afectació de la Nova Fase d'Explotació del Dipòsit Controlat de Can Mata, i durant el treball de camp efectuat entre desembre de 2000 i gener de 2001 per un dels autors (Galindo 2001) no es pogué procedir a una prospecció ocular de la zona d'afectació de les obres degut a les dificultats d'accés a l'aflorament (impracticabilitat dels xaragalls i presència d'una densa cobertura vegetal). Endemés, la prospecció ocular per tal de confirmar la presència de restes fòssils de macrovertebrats en les localitats clàssiques presentà el problema d'una ubicació incerta en la majoria dels casos, amb la notable excepció de Can Mata I. En qualsevol cas, la prospecció a les immediacions de l'àrea afectada per les obres, tot i estar subjecte a la difícil accessibilitat del terreny i a la no gaire bona qualitat de l'aflorament, va permetre de localitzar un gran nombre de punts (26 en total) on es visualitzaven restes de macrovertebrats (Figures A3 i A4). Gairebé tots aquests punts es localitzaren a la riera de Claret, la majoria a menys d'1 km de la zona d'afectació de les obres (Figura A5). Així doncs, tot i no disposar de

resultats positius que confirmessin la presència de restes de vertebrats dins de l'àrea d'afectació de les obres, atenent al context paleontològic, Galindo (2001) va concloure que aquest tipus de restes apareixerien amb tota seguretat.

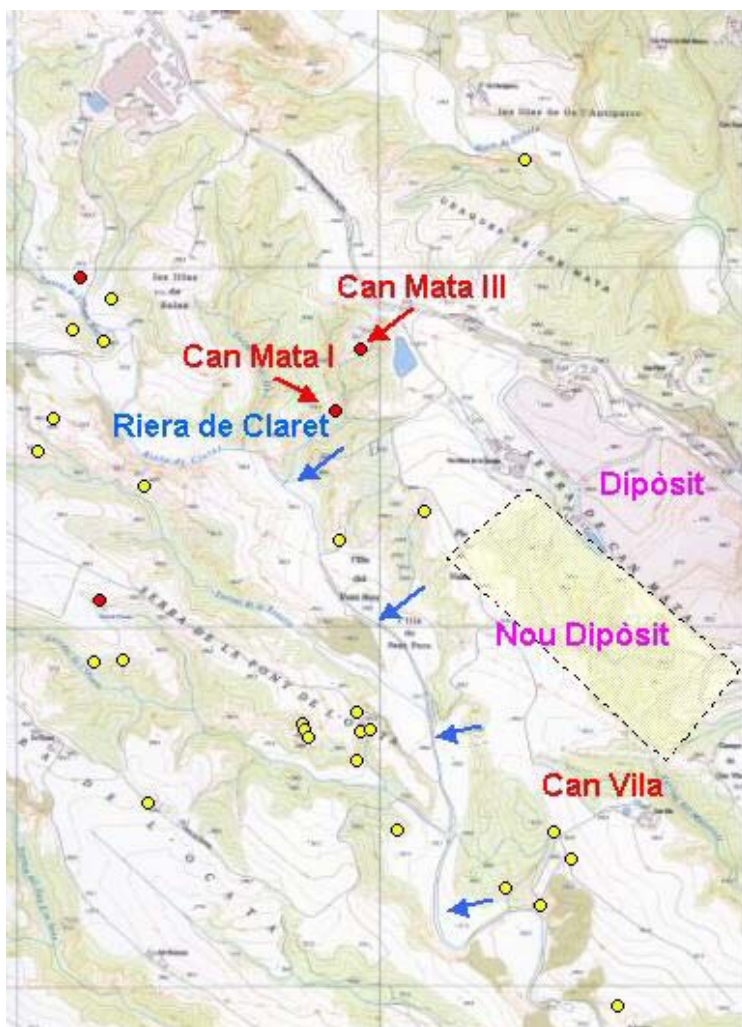


**Figura A3.** Secció d'una closca de tortuga, trobada durant les prospeccions realitzades el 2000/2001 a l'entorn de la riera de Claret (localitat núm. 6 de Galindo, 2001).



**Figura A4.** Secció obliqua de defensa de proboscidi, trobada durant les prospeccions realitzades el 2000/2001 a la riera de Claret (localitat núm. 25 de Galindo, 2001).





**Figura A5.** Mapa de situació de punts amb presència de macrovertebrats a les immediacions de l'àrea afectada per les obres (rectangle ombrejat). Els punts vermells indiquen localitats clàssiques (La Font d'Ocata, La Fàbrica, Can Mata I, i Can Mata III) i els grocs indrets on s'han observat afloraments de restes (Galindo, 2001).

## **A.2. Objectius de la intervenció paleontològica:**

L'objectiu de la intervenció paleontològica consistí a garantir la localització i extracció de les restes paleontològiques que es poguessin veure afectades per l'execució de les obres de la Nova Fase d'Explotació del Dipòsit Controlat de Can Mata, així com l'adequat enregistrament de la informació associada (indispensable per a la contextualització d'aquests fòssils). L'objectiu no fou altre que garantir una correcta recuperació de la informació paleontològica i de la informació geològica associada, recuperant tots els fòssils trobats alhora que intentant interferir e mínim possible amb les tasques d'excavació de les màquines, per tal de fer compatibles els dos tipus de treballs. Així doncs, es dugué a terme una intervenció paleontològica preventiva de control, amb eventuais excavacions de macrovertebrats d'urgència i mostratges de microvertebrats d'urgència. El projecte d'intervenció es dissenyà per tal de garantir la protecció del patrimoni paleontològic, tot interferint el mínim possible amb el normal desenvolupament de les obres.

### **A.3. Context geogràfic i geològic:**

La zona d'afectació de les obres se situa entre Can Mata de la Garriga i Can Vila (terme municipal dels Hostalets de Pierola, comarca de l'Anoia, província de Barcelona), corresponent als UTM's d'1 km de costat DF0097 i DF0098, i a l'igual que el conjunt de localitats clàssiques dels Hostalets de Pierola, es troba a l'entorn de la riera de Claret. Aquesta zona se situa en el context de la conca neògena del Vallès-Penedès, limitada per falles normals d'orientació ENE-WSW, essent el salt de les septentrionals (fins a 2.500-3.000 m) més gran que el de les meridionals (Roca & Guimerà, 1992; Roca *et al.* 1999a,b). Els dipòsits sedimentaris que constitueixen el rebliment de la conca s'estructuren a grans trets en dos complexos d'ambients continentals, entre els quals s'intercal·la un conjunt de sediments de medis marins i transicionals. El complex continental inferior és del Miocè inferior i el superior és del Miocè mitjà-superior, mentre que el complex marí i de transició es del Miocè mitjà (Bartrina *et al.*, 1992).

La successió sedimentària observable a la riera de Claret s'integraria en el susdit complex continental superior. Es troba constituïda dominantment per lutites amb intercal·lacions de conglomerats i gresos. Des d'aproximadament 1 km al NE de Can Mata de la Garriga fins les rodalies de la Fassina es diferencien tres unitats cartogràfiques (vegeu la cartografia geològica a la Figura A6), que de sostre a base són (Galindo 2001):

1) Mlc: Constituïda per lutites de colors vermellosos amb intercal·lacions de gresos i conglomerats amb presència ocasional de bretxes i bretxes conglomeràtiques. Els conglomerats són en general poc consolidats, amb un grau de cimentació variable i amb matriu sorrenca a lutítica. Es disposen en nivells normalment tabulars amb freqüents bases erosives acanalades, guix mètric i continuïtat lateral variable (des de decamètrica a mètrica). Els clastes són arrodonits a subarrodonits i de litologia molt variada: carbonats mesozoics, roques metamòrfiques i ígnies paleozoïques, quars, lidites, gresos triàsics i conglomerats del Paleogen. Malgrat ser dominantment polimíctics, alguns conglomerats presenten tendències monomíctiques o són totalment monomíctics. Així, alguns nivells de conglomerats es troben integrats únicament, o en la seva pràctica totalitat, per carbonats mesozoïcs. Les bretxes i les bretxes conglomeràtiques se situen a la base de la unitat, són heteromètriques, monomíctiques (roques metamòrfiques, ígnies i quarsos paleozoïcs), i la matriu és llimosa i de color vermell intens. El seu guix és mètric i presenten poca continuïtat lateral. Aquesta unitat passa lateralment i a la base a la unitat MI de manera transicional. S'interpreten com les fàcies distals a mitjanes de ventall al·luvial de la zona d'interferència de sistemes de ventalls al·luvials que es trobarien restringits al marge septentrional de la conca neògena. Aquests sistemes presentarien baixa eficàcia de transport i poca amplitud de radi.

2) MI: Constituïda dominantment per lutites amb algunes intercal·lacions ocasionals de conglomerats, gresos conglomeràtics i gresos. Les lutites són de coloracions vermelloses i ocres, sovint amb nòduls i crostes carbonatades d'origen edàfic. Els conglomerats són en la seva pràctica totalitat polimíctics, i presenten un guix decimètric a mètric. Aquesta unitat passa lateralment i verticalment de manera transicional a la Mlc i Mgcl. S'interpreta com les fàcies

distals a marginals de ventall al·luvial provinents dels sistemes al·luvials restringits al marge septentrional (Mlc) i del sistema d'Olesa (Mgcl).

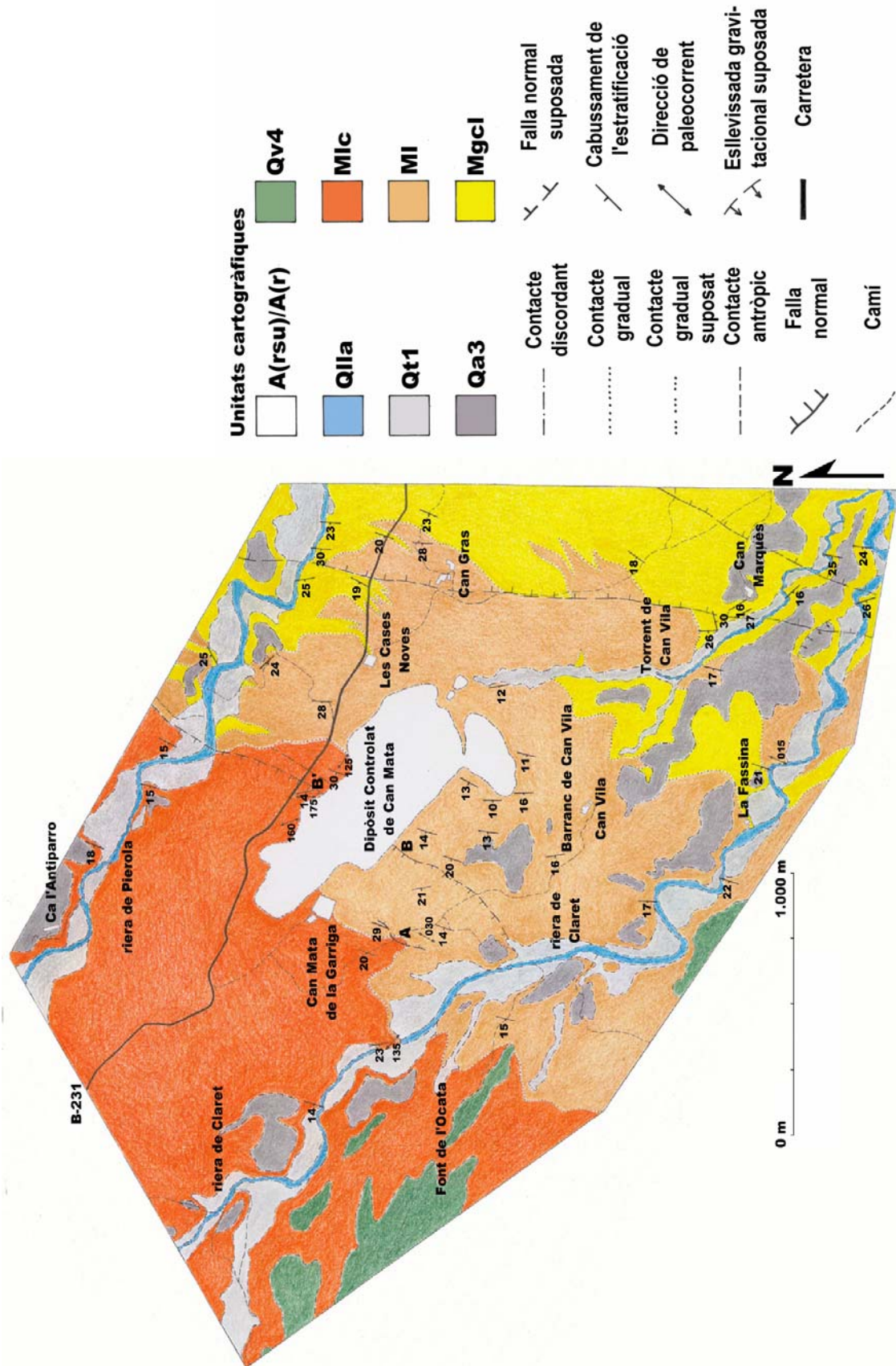


Figura A6. Cartografia geològica de l'entorn de Can Mata.



3) Mgcl: Constituïda per gresos, conglomerats i lutites de color ocre a marronós. Els conglomerats són heteromètrics, polimíctics i en general estan ben cimentats i presenten estratificació encreuada. La matriu és de sorra mitja a grollera de color ocre a gris i es troba ben rentada. Les bases són erosives, lleugerament acanalades o en solc. Els clastes són: roques metamòrfiques i ígnies paleozoïques, quars, carbonats mesozoïcs, lidites i conglomerats paleozoïcs, gresos triàsics, i conglomerats del Paleogen. Aquests conglomerats són multiepisòdics, la seva continuïtat lateral és d'ordre hectomètric i el seu gruix es troba entre 3 i 10 m. Són el terme inferior de seqüències granodecreixents d'ordre decamètric, que passen verticalment a gresos i lutites massives amb nòduls i crostes de carbonat de calci d'origen edàfic. Aquesta unitat s'interdigita de manera transicional a la unitat MI. S'interpreta com les fàcies mitjanes i distals de ventall al·luvial del sistema d'Olesa, el qual es caracteritza per una molt alta eficàcia de transport i una àmplia extensió radial.



**Figura A7.** Contacte discordant entre les graves i lutites de la unitat Qa3 i les lutites vermelles i grogues miocenes de la unitat MI. Com s'aprecia les lutites miocenes es troben en lleugera discordança angular respecte els materials quaternaris. Fotografia presa en el sector C1-B abans d'iniciar-se els treballs d'excavació.

L'edat d'aquestes tres unitats cartogràfiques es troba compresa entre el Miocè mitjà i la base del Miocè superior: Serraval·lià superior a Tortonià inferior (escala cronostatigràfica marina) o Aragonià superior a Vallesià inferior (escala cronostatigràfica continental), corresponent a les unitats biocronològiques MN6 i MN7/8 a MN 9. Les localitats clàssiques d'Hostalets de Pierola se situen a les unitats Mlc i MI, sent tradicionalment agrupades en "Hostalets Superior" (vallesianes) i "Hostalets Inferior" (pre-vallesianes); en aquest últim grup s'hi inclouria la zona d'afectació de les obres de la Nova Fase del Dipòsit Controlat de Can Mata.

En contacte netament discordant amb els materials miocens (vegeu p.ex. Figura A7), se situen dipòsits quaternaris representats en la cartografia geològica per les unitats:

1) Qv4: Bretxes i lutites vermelles. Corresponen a dipòsits de ventall al·luvial procedent de la Serralada Prelitoral. L'edat s'atribueix al Pleistocè mitjà.

2) Qa3: Graves, argiles i llims de color vermellós a ocre. Corresponen a dipòsits d'ambients sedimentaris al·luvials-fluvials amb un important aport col·luvial lateral. S'atribueixen al Pleistocè superior.

3) Qt1: Graves, sorres i llims. Corresponen a dipòsits de terrassa fluvial. S'atribueixen al Pleistocè superior-Holocè inferior.

4) Qlla: Graves, sorres i llims. Corresponen als dipòsits de la llera actual de les rieres de Claret i Pierola i el torrent de Can Vila.



## **B. MATERIAL I MÈTODES**

### **B.1. Permisos:**

El director general del Patrimoni Cultural de la Generalitat de Catalunya, Marc Mayer i Olivé, i més endavant, el secretari general Pau Villòria i Sistach, estengueren tres resolucions (expedient 437 K121 N 352, amb dates 5/11/02, i 16/12/02 i 19/5/03) autoritzant la intervenció en un període comprès globalment entre el 5 de novembre de 2002 i el 16 d'agost de 2003.

### **B.2. Recursos humans:**

La intervenció estigué co-dirigida pels tres paleontòlegs signants d'aquesta memòria:

- 1) Jordi Galindo Torres: llicenciat en geologia.
- 2) David Martínez Alba: llicenciat en biologia.
- 3) Isaac Casanovas Vilar: llicenciat en geologia.

Les tasques de la intervenció es dugueren a terme sota la supervisió de:

- 1) Salvador Moyà-Solà: investigador de l'Institut de Paleontologia M. Crusafont, de la Diputació de Barcelona.
- 2) Magí Miret Mestre: arqueòleg territorial del Servei d'Arqueologia de la Generalitat de Catalunya.

Al llarg de tota la intervenció, hi participaren els següents paleontòlegs de camp:

- 1) Josep Maria Robles Giménez: llicenciat en geologia.
- 2) Elisabet Blaya Martí: llicenciada en geologia.
- 3) Francesc Fortea Bastart: llicenciat en biologia.
- 4) Núria Montoya Vives: llicenciada en geologia.
- 5) Ramon Mercedes Martín: llicenciat en geologia.
- 6) Yolanda Molina Cáceres: llicenciada en geologia.
- 7) Josep Aurell Garrido: llicenciat en geologia.
- 8) Lluís Checa Soler: llicenciat en biologia.
- 9) Sergio Ros Montoya: llicenciat en geologia.
- 10) María Patrocinio Espigares Ortiz: llicenciada en geologia.
- 11) Laura Celià Gelibert: llicenciada en biologia.
- 12) Antoni Ferran i Mèlich: llicenciat en biologia.
- 13) Pablo Plasencia Camps: llicenciat en biologia.
- 14) Víctor Esdras García Blanco: llicenciat en biologia.
- 15) Joaquín Ricardo Sendra Sáez: llicenciat en biologia.

Altres persones que participaren en la intervenció foren:

- 1) Carme Balcells Franch: llicenciada en biologia, en qualitat de paleontòloga de laboratori.
- 2) Àbac, S.C.P.: empresa de conservació i restauració, per assistir en el treball d'extracció al camp.
- 3) Cheyenn Rotgers Mallo: estudiant de geologia, en qualitat de peó en el rentat de microvertebrats.

- 4) Diversos peons i maquinistes posats a disposició dels paleontòlegs per l'empresa.
- 5) Bet Beamud: llicenciada en geologia, del Laboratori de Paleomagnetisme de l'Institut de Ciències de la Terra "Jaume Almera"-Facultat de Geologia UB, en qualitat de col·laboradora en els estudis magnetostratigràfics.
- 6) Miguel Garcés i Lluís Cabrera: doctors en geologia del Grup de Geodinàmica i Anàlisi de Conques (Facultat de Geologia UB), en qualitat de col·laboradors en els estudis magnetostratigràfics.

En total, les hores treballades pels directors de la intervenció i els paleontòlegs de camp sumen un total de 8972.

### **B.3. Tipus d'actuacions:**

En el marc de la intervenció paleontològica es dugueren a terme 5 tipus diferents d'actuació:

- 1) Prospecció.
- 2) Control preventiu.
- 3) Excavació macropaleontològica d'urgència.
- 4) Mostratge micropaleontològic d'urgència.
- 5) Enregistrament de la informació associada.



**Figura B1.** Panoràmica de la zona d'afectació de les obres corresponent a la C1, després d'eliminar la cobertura vegetal.

**Prospecció.**—Durant la primera setmana, després que s'haguessin dut a terme els treballs d'eliminació de la cobertura vegetal, però abans que s'iniciessin els treballs d'excavació amb maquinària (Figures B1 i B2), es dué a terme una prospecció de la zona d'afectació de les obres, destinada a localitzar restes fòssils en superfície i iniciar l'estudi geològic. D'aquesta manera es pretenia avaluar la riquesa paleontològica de la zona d'afectació de

les obres, comparant-la amb la densitat d'afloraments que s'havien trobat anteriorment a les immediacions de la zona d'afectació.



**Figura B2.** Panoràmica de la zona d'afectació de les obres corresponent a la C1, després d'eliminar la cobertura vegetal.

**Control preventiu.**—Consistí a realitzar un seguiment de màquines mitjançant supervisió ocular i seguint les normes de seguretat pertinents. Les màquines que se seguien foren excavadores giratòries (de mides diferents: 400, 450, 600 i 800) (Figures B3 a B5), encarregades d'excavar els sediments miocens (Figura B6) i dipositar-los en camions o *dumpers* (Figura B7); i un bulldozer (D10 o equivalent) (Figures B8 a B9), encarregat de llaurar el terreny amb el *ripper* per tal de facilitar l'excavació a les giratòries (en zones accessibles) (Figura B10) o empenye'l en zones de difícil accés per als camions (Figura B11).



**Figura B3.** Excavadora giratòria Samsung 450, amb el braç estès.

En tot moment se seguien les normes de seguretat pertinents, tant pel que fa a elements de protecció individual (EPIs) com a distàncies de seguretat. Així, els paleontòlegs dugueren en tot moment un casc i una armilla fluorescent amb elements reflectants (Figura B12). En el cas de les giratòries, el paleontòleg se situava dempeus en una zona visible des de la cabina de la màquina, a una distància aproximada d'uns 15 m del radi de gir del cos de la giratòria, per tal de quedar situat uns 2-3 m per davant de l'abast màxim de la cullera (Figura



B13). En canvi, en el cas del bulldozer, la distància a mantenir amb la màquina era major, donada la mala visibilitat des de la cabina. Degut a això, en el cas de les giratòries el seguiment de màquines es dugué a terme *in situ* i simultàniament a l'acció de les màquines, mentre que en el cas del bulldozer sovint s'hagué de realitzar *a posteriori* (Figura B14), un cop la màquina s'havia traslladat a una altra zona, o bé paral·lelament en zones prou grans com per permetre respectar la distància de seguretat.



**Figura B4.** Excavadora giratòria Komatsu 600.



**Figura B5.** Cullera de l'excavadora giratòria Samsung 450, en comparació amb un paleontòleg.



**Figura B6.** Giratòria Komatsu 600 realitzant tasques d'excavació.



**Figura B7.** Dumper Perlini, encarregat de carregar la terra excavada per les giratòries.



**Figura B8.** Perspectiva lateral del bulldozer Caterpillar D10.





**Figura B9.** Pala frontal del bulldozer Caterpillar D10, en comparació amb la mida dels paleontòlegs.



**Figura B10.** Bulldozer empenyent la terra llaurada.



**Figura B11.** Bulldozer llaurant el terreny.



**Figura B12.** Paleontòleg equipat amb els equips de protecció individual (EPIs), incloent el casc i l'armilla reflectant.

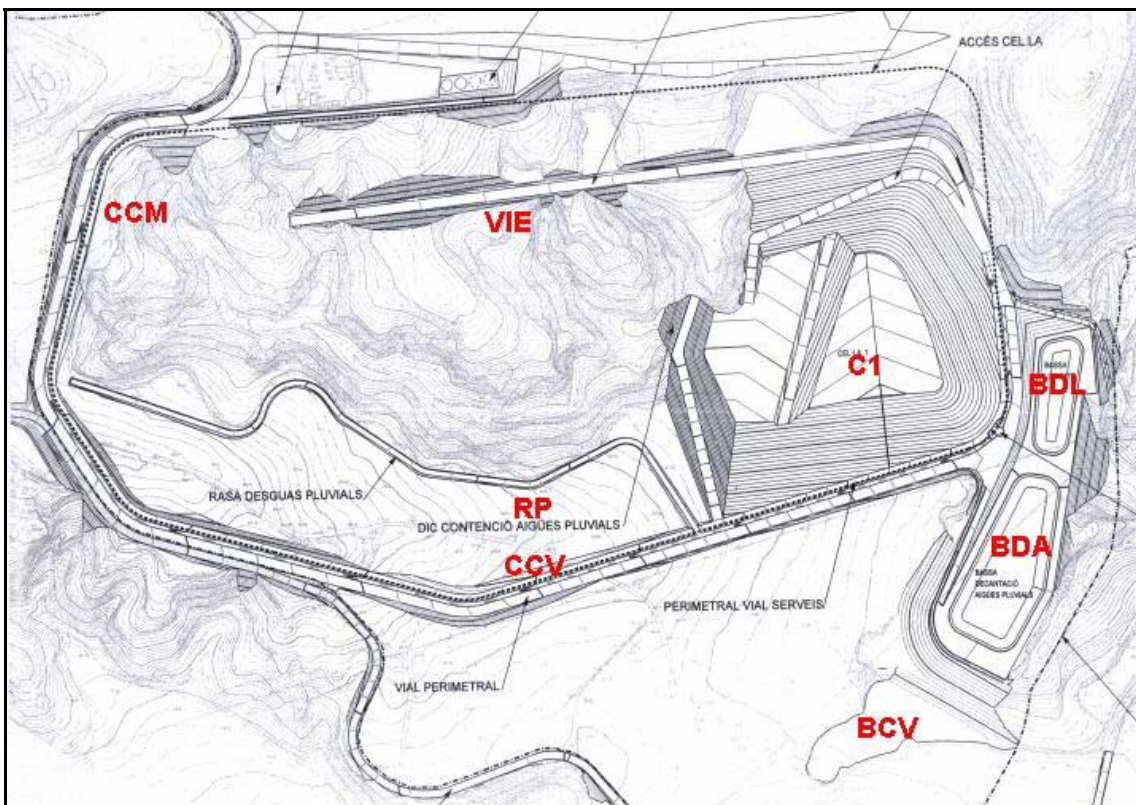


**Figura B13.** Paleontòleg realitzant el seguiment de la Komatsu 600 a la zona de la BDA.





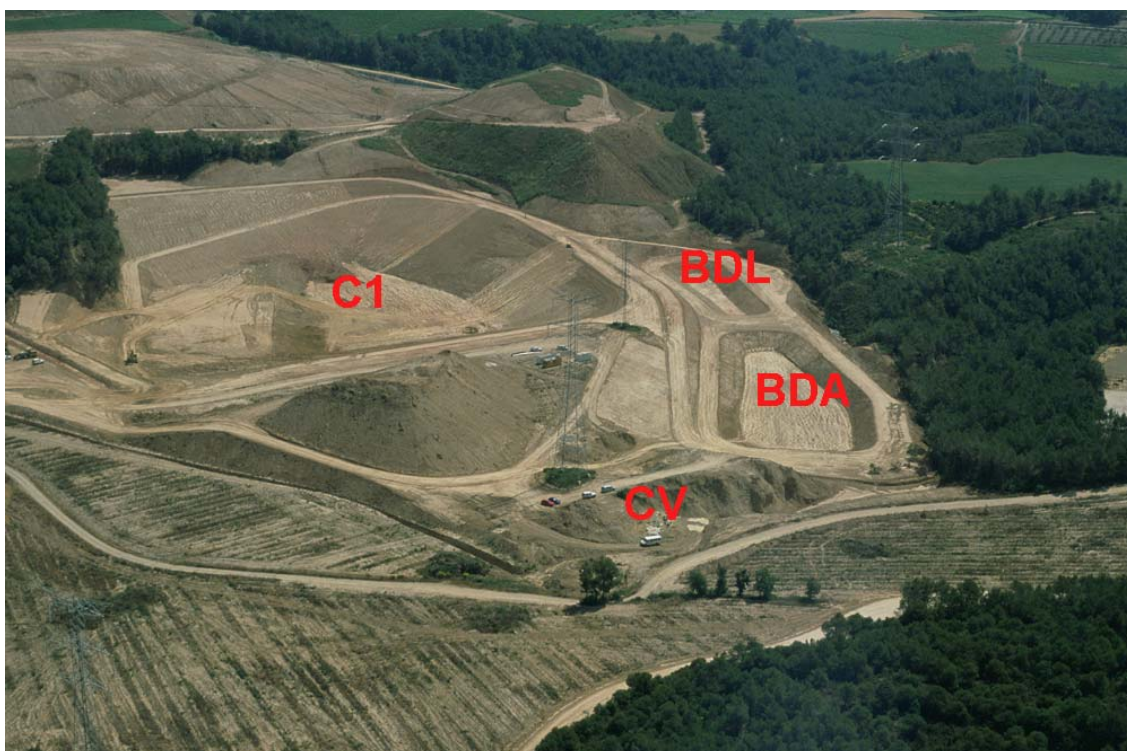
**Figura B14.** Paleontòlegs realitzant el seguiment de bulldozer a la zona del VIE.



**Figura B15.** Mapa de la zona d'afectació de les obres, amb els acrònims de les zones on s'ha dut a terme la intervenció.

A la Figura B15 s'hi ha reproduït un mapa de la zona d'afectació de les obres, amb les diverses subdivisions emprades per ubicar el material paleontològic. La zona on es dugueren a terme més treballs paleontològics fou la Cel·la 1 (C1), ja que s'hi concentrà el major volum de sediment extret per les

màquines (Figura B16). De fet, però, el seguiment es dugué a terme en tots aquells punts de l'obra on s'excavaren sediments miocens; això inclou: el Vial Intern d'Explotació (VIE), la Bassa de Decantació d'Aigües Pluvials (BDA), la Bassa de Lixiviats (BDL), la Rasa de Desguàs d'Aigües Pluvials (RP), el Camí de Can Mata (CCM), el Camí de Can Vila (CCV) i el Barranc de Can Vila (BCV). Cal tenir en compte que els treballs paleontològics sempre interfereixen, en major o menor grau, amb el normal desenvolupament de les obres. Aquesta interferència pot ser directa, aturant la màquina mentre s'inspecciona una possible troballa; o indirecta, degut a la delimitació de perímetres de seguretat on no poden actuar les màquines. Així doncs, s'intentà minimitzar, en la mesura del possible, l'impacte dels treballs paleontològics sobre l'eficàcia de les màquines.



**Figura B16.** Fotografia aèria de la zona d'afectació de les obres d'on s'ha excavat un major volum de sediments, amb els acrònims corresponents. Fotografia: Magí Miret.

En cas de detectar una possible resta durant el seguiment de màquines, es procedí tal com es descriu en el següent protocol de recuperació de restes paleontològiques:

- 1) Si es detecta una possible resta paleontològica durant el seguiment de giratòria, s'atura momentàniament l'activitat de la màquina i s'inspecciona *in situ* la possible troballa:
  - 1a) Si no es confirma la troballa, es reprèn l'activitat de la màquina i es continua el seguiment.
  - 1b) Si es confirma la troballa .....2
- 2) Si s'escau, es consolida el fòssil, i s'avalua l'abast i la importància de la troballa:
  - 2a) Si es tracta d'un fòssil aïllat, es recol·lecta, si s'escau es fotografia, s'empaqueta i se sigla.
  - 2b) Si no es tracta d'un fòssil aïllat.....3



- 3) S'avalua la possibilitat d'excavar el fòssil:
  - 3a) Si el fòssil es pot extreure ràpidament, no revesteix una importància excepcional, i no es detecten altres restes al voltant, s'excava en bloc amb la picola, i es procedeix com en 2a.
  - 3b) Si el fòssil no es pot extreure ràpidament, i/o revesteix una importància excepcional, i/o hi ha altres restes al voltant.....4
- 4) Es redirecciona temporalment l'activitat de la màquina, s'avisava un paleontòleg de suport, i:
  - 4a) Si es tracta d'un fòssil aïllat que no revesteix importància excepcional, s'excava en bloc o en mòmia, i es procedeix com en 2a.
  - 4b) Si es tracta d'una concentració de fòssils, o bé d'una resta molt important.....5
- 5) Es delimita un perímetre al voltant de la troballa amb malla fluorescent, es redirigeix indefinidament l'activitat de la màquina, i:
  - 5a) Si es tracta d'una concentració moderada de restes, dins del perímetre de seguretat es procedeix com en 4a i s'enretira la malla un cop recuperades totes les restes.
  - 5b) Si es tracta d'una concentració important de restes, o bé la troballa revesteix una importància excepcional (p.ex. un primat o un esquelet parcialment articulat).....6
- 6) S'organitza una excavació paleontològica d'urgència:
  - 6a) Si la troballa es va realitzar en superfície, es procedeix a excavar la capa fossilífera, si cal eliminant la capa estèril suprajacent amb un martell pneumàtic, fins que deixen de trobar-se fòssils amb una concentració significativa o fins que s'exhaureix el perímetre delimitat.
  - 6b) Si la troballa es va realitzar en un tall més o menys vertical, s'eliminen les capes suprajacentes amb l'ajut d'una giratòria petita, i un cop delimitada la capa a excavar, es procedeix com en 6a.

En el cas del seguiment de bulldozer, els passos a seguir serien els mateixos, amb l'excepció que el seguiment no es realitzà *in situ* de forma simultània amb l'activitat de la màquina, i que sovint calia recórrer a una giratòria petita per tal que traslladés i remogués els blocs resultants de la seva activitat.



**Figura B17.** Perímetre de malla fluorescent al voltant del punt de macrovertebrats C1-E9.



**Figura B18.** Giratòria Hitachi 200 (en primer pla), posada a disposició dels paleontòlegs, comparada amb la giratòria Hitachi 800 (al fons), que realitzava tasques d'excavació.



**Figura B19.** Seguiment de giratòria Komatsu 600 a la BDA, alhora que s'extrauen blocs amb restes de proboscídis a la BDA d (al fons) amb l'ajuda de la giratòria petita Hitachi 200.

**Excavació macropaleontològica d'urgència.**—Com ja hem vist en el protocol suara descrit, la necessitat de dur a terme una excavació es decidí en funció de la quantitat de restes (concentració significativa de restes de macrovertebrats amb una dispersió relativament àmplia) i/o de la importància de la troballa (presència de macrovertebrats d'excel·lent interès científic i/o patrimonial). En tots els casos, les excavacions es dugueren a terme dins de perímetres de seguretat adequadament delimitats amb malla fluorescent (Figura B17). En algunes ocasions fou necessari d'eliminar els nivells estratigràfics estèrils suprajacents amb la intervenció de maquinària pesant (una giratòria 200: Figures B18 i B19), per tal de poder excavar en superfície la capa fòssilífera (Figures B20 i B21). La remoció de la capa estèril més propera, però, s'hagué de dur a terme manualment o bé amb l'ajut d'un martell pneumàtic (Figura B20). En casos puntuals, es deixaren testimonis de relleu positiu on es duïen a terme les excavacions (Figura B23), per tal de no entorpir el procés d'extracció de sediment per part de la maquinària pesant. En totes les

excavacions es realitzaren fotografies del procés, així com de les restes recuperades de major rellevància.



**Figura B20.** Peó utilitzant un martell pneumàtic en la zona de la BDAd.



**Figura B21.** Aspecte del nivell C1-E7 (assenyalat amb punts de color groc fluorescent) quan s'acabava de localitzar, abans d'eliminar les capes superiors i iniciar les excavacions en superfície.





**Figura B22.** Excavació dels nivells C1-E7 i C1-E8 el 12/3/03, amb la giratòria petita al fons.



**Figura B23.** Vistes del punt de macrovertebrats C1-E10 (en primer terme) i de l'excavació en el punt C1-E7 (al fons), el 23/4/03.

**Mostratge micropaleontològic d'urgència.**—S'entén per microvertebrat tot aquell vertebrat de mida petita, com ara amfibis, alguns rèptils, i els anomenats micromamífers (rosegadors, insectívors, lagomorfs i quiròpters); en alguns casos, també s'hi inclouen altres mamífers de mida petita, principalment primats i petits carnívors. Les restes que presenten un major interès biostratigràfic i paleoecològic són les dents de micromamífer, que normalment són també les que es troben de forma més abundant. Les restes de microvertebrats fòssils són generalment de mida mil·limètrica, i és per això que la seva recuperació requereix una metodologia especial i diferent de l'excavació de macrovertebrats. En general, les restes fòssils de microvertebrats no es

detecten a simple vista al camp, i per tant la determinació de nivells estratigràfics potencialment rics en aquest tipus de restes s'ha de basar en d'altres tipus de consideracions, que van des de la litologia (generalment es tracta de lutites) fins a la presència d'altres tipus de fòssils (especialment fragments o closques senceres de gastròpodes, i abundant presència d'estelles d'ossos de macrovertebrats), passant per la fàcies del sediment (colors negres que indiquin l'abundància de matèria orgànica).



**Figura B24.** Mandíbula de *Cricetodon* sp. ACM1542, procedent de BDA8.



**Figura B25.** Nivell potencialment ric en micromamífers, assenyalat amb esprai fluorescent.

En el cas de la intervenció que ens ocupa, tots els nivells potencialment rics en microvertebrats es detectaren en capes de lutites, en ocasions amb presència de cargols i/o estelles diverses. Això últim, però, no es considerà



motiu suficient per a mostrejar el nivell, i de fet cap dels nivells escollits mostrava un color negre, sinó que tenien els mateixos tons vermellorsos o ocres dominants a tota la zona. Així doncs, en la present intervenció la majoria de nivells es determinaren de *visu*, en base a la presència de restes de microvertebrats, ja fossin dents, ossos postcranials, cranis o mandíbules (p.ex. Figura B24). Aquests nivells es detectaren majoritàriament inspeccionant talls després de l'acció de les màquines, però també durant l'extracció de restes i durant les excavacions paleontològiques.



**Figura B26.** Recol·lecció de dos nivells de microvertebrats amb l'ajuda d'una retroexcavadora mixta.

Un cop localitzat un nivell potencialment ric en restes de microvertebrats, s'assenyalà amb esprai fluorescent (Figura B25) i, en la majoria de casos, es procedí a la delimitació d'un perímetre de seguretat amb malla fluorescent. De cada nivell es recol·lectà una mostra de prova (3 sacs d'uns 30 kg cadascun), que fou analitzada al laboratori per tal de confirmar la presència i avaluar la riquesa potencial en dents de micromamífer. En principi, el mostreig intensiu dels nivells només s'hauria de produir quan aquests haguessin donat positiu en el mostratge de prova i anessin a ser excavats o enterrats durant el desenvolupament de les obres. En algunes ocasions, però, fou necessari recol·lectar intensivament algun nivell abans poder disposar del mostratge de prova (recol·lecció d'emergència), donada la necessitat de continuar amb el normal desenvolupament de les obres. El mostratge intensiu d'un nivell consistí

en la recol·lecció de 50 sacs d'uns 30 kg cadascun (aproximadament 1,5 tones). Per a la recol·lecció intensiva dels sacs i/o per enretirar capes estèrils suprajacents al nivell, normalment s'emprà maquinària pesada, posada a disposició dels paleontòlegs per l'empresa: en particular, una giratòria 200 o una retro-excavadora mixta (Figures B25); en d'altres ocasions, n'hi hagué prou amb l'ajut d'uns peons amb un martell percutor (Figura B27).



**Figura B27.** Peó amb martell pneumàtic col·laborant en la recol·lecció d'un nivell de microvertebrats.



**Figura B30.** Rentat del sediment amb dues mànegues.

Les mostres de prova es processaren al laboratori, mentre que els sacs dels mostratges intensius es processaren al camp, seguint en tots dos casos un protocol molt similar de processament de mostres de microvertebrats:



- 1) Assecament de la mostra.
- 2) Disgregació del sediment en cubetes plenes d'aigua (Figura B28).
- 3) Rentat amb aigua del sediment disgregat sobre sedassos de tres mides de malla (Figura B30).
- 4) Assecament dels concentrats resultants (Figura B29).
- 5) Triatge al laboratori sota la lupa binocular (Figura B31).



**Figura B28.** Cubetes plenes de sediment en remull (superior), i detalls d'una cubeta plena de sediment abans d'afegir l'aigua (inferior esquerra) i d'una cubeta un cop el sediment s'ha disgregat (inferior dreta).



**Figura B29.** Detall de concentrats de diferent granulometria assecant-se al sol: groller (esquerra), mitjà (centre) i fi (dreta).





**Figura B31.** Triatge de concentrats a l'IPS.



**Figura B32.** Sedàs de tipus Freudenthal emprat en el rentat.

La principal diferència entre el rentat de laboratori i el rentat de camp és que el primer asseca la mostra (i els concentrats) amb un forn a altes temperatures, mentre que en el segon cas l'asseccament es duu a terme sota el sol. És molt important que la mostra estigui ben seca abans de cobrir-la amb aigua en les cubetes, per tal que es pugui disgregar adequadament i en poc temps (en el nostre cas n'hi hagué prou amb unes hores). L'asseccament de la mostra és més eficaç mitjançant les altes temperatures assolides pel forn, motiu pel qual en el rentat de camp de vegades és necessari dur a terme un segon rentat al laboratori (si cal afegint algun producte químic, normalment àcid acètic molt dissolt), per tal d'acabar de disgregar totalment el sediment. Tanmateix, el rentat de camp és el més adequat per a mostratges intensius, en tant que permet rentar grans volums de sediment en relativament poc temps i és, per tant, notòriament menys costós que el rentat de laboratori. Només presenta un inconvenient: que l'alta pressió de les mànegues sovint destrueix les

mandíbules i cranis de micromamífer, de forma que és molt més habitual que es recuperin dents aïllades. El rentat intensiu de camp és possible gràcies a l'ús de l'anomenat sedàs de tipus Freudenthal, dissenyat per aquest paleontòleg holandès l'any 1976. En aquesta intervenció emprarem un sedàs de tipus Freudenthal lleugerament modificat per a fer-lo més fàcilment transportable (Figura B32), que fou cedit per l'IPS.



**Figura B33.** Sacs de mostratge de microvertebrats acumulats prop de la zona d'afectació de les obres abans de ser transportats.



**Figura B34.** Palets amb els sacs de mostratge intensiu, un cop transportats a Can Llobateres.

Tant en el rentat de laboratori, dut a terme per un sol paleontòleg, com en el de camp, dut a terme per dos paleontòlegs i un peó, el sediment disgregat es renta amb mànegues d'aigua sobre una sèrie de tamisos de diàmetre decreixent, per tal de separar les diferents fraccions granulomètriques que inclouen les restes de microvertebrats. En el cas del sedàs Freudenthal emprat, aquest constava de tres safates d'uns 100x30 cm de superfície, disposades de

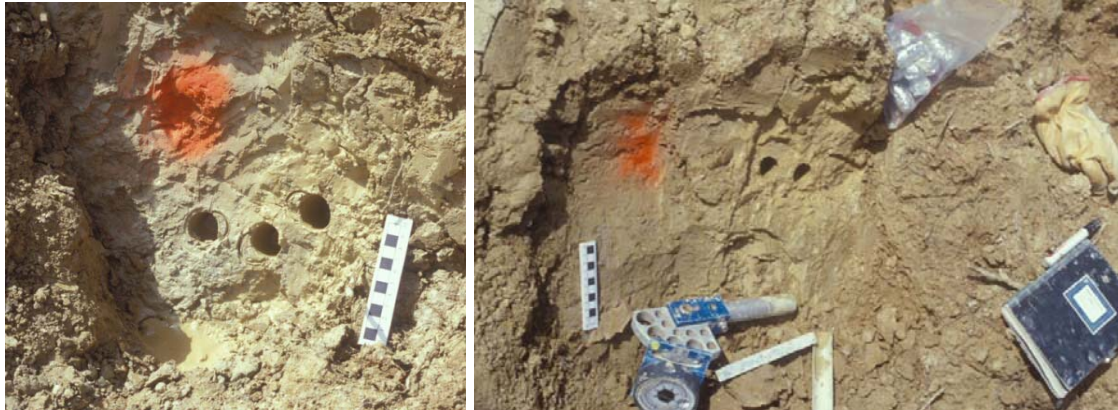
forma esglaonada seguint un ull de malla decreixent: 1,5 mm la més alta, 0,8 mm la mitjana, i 0,3 mm la més baixa. Es considera que el conjunt de partícules retingudes al sedàs està prou net quan s'ha aconseguit separar tot el fang dels grans terrigens i les concrecions carbonatades de diàmetre variable. Les safates del sedàs s'han d'anar buidant periòdicament, ja que si s'hi acumula massa sediment, el material no es podria rentar adequadament. Quan es buida una safata, el material es diposita en una caixa equipada amb una malla de la mateixa mida, on el sediment es torna a rentar i es deixa escórrer, per tal de ser finalment assecat al sol a sobre d'uns plàstics. Després de rentar cada nivell, els sedassos s'han de netejar amb un raspall i aigua a pressió, per tal d'enretirar els grans detrítics i les possibles restes fòssils que hi poguessin haver quedat enganxades, evitant així la contaminació de mostres posteriors. Del material que resulta de tota l'operació de rentat se'n diu "concentrat", i consta de tres fraccions segons la granulometria: grollera, mitjana i fina. Amb el rentat intensiu de camp es poden reduir uns 50 sacs de sediment argilós a uns dos sacs de concentrat groller, un de concentrat mitjà, i un altre de concentrat fi, per bé que aquest volum varia segons els casos. Les dents i els ossos de microvertebrats fòssils són més abundants a les fraccions mitjana i fina, mentre que la fracció grollera acostuma a contenir fragments i estelles d'ossos de macrovertebrats. Així com el processament de les mostres de prova es dugué a terme al laboratori de rentat de l'IPS (on foren transportades per personal d'aquesta institució), el rentat intensiu es realitzà a les instal·lacions que aquesta institució té al jaciment de Can Llobateres, prop de Sabadell. Els sacs dels mostratges intensius s'acumularen prop de la zona d'afectació de les obres (Figura B33), i foren finalment transportats en palets per un camió ploma contractat per l'IPS (Figura B34). El triatge de les diferents fraccions obtingudes durant el rentat s'està duent a terme a l'IPS, i consisteix en la separació manual amb pinces sota una lupa binocular de les restes fòssils de les partícules detrítiques i concrecions carbonatades que contenia la roca. Finalment, restaria procedir al muntatge, restauració, siglatge i identificació taxonòmica de les restes recuperades.

**Enregistrament de la informació associada.**—Cada una de les restes identificades (o potencialment identificables) de macrovertebrats, així com les mandíbules i cranis de microvertebrats, es considerarà una unitat de registre, i passà a figurar en el llibre de registre o inventari de l'excavació amb un número de registre precedit de l'acrònim ACM ("Abocador de Can Mata"). Aquest número de registre s'apuntà en l'embolcall del fòssil. En el llibre de registre també s'anotà la data i, dins de les limitacions existents, la part anatòmica, l'assignació taxonòmica, i la procedència de cada peça. En funció de la seva rellevància, algunes de les restes recuperades foren fotografiades a mesura que s'anaven siglant.

L'objectiu d'una intervenció paleontològica, tanmateix, és doble, i consisteix no només en l'excavació de les restes fòssils, sinó també en una correcta documentació i gestió de la informació que aquestes restes proporcionen i duen associada. Aquesta informació pot ser de tipus paleobiològic, tafonòmic o estratigràfic. La informació paleobiològica està en principi associada a la pròpia anatomia de les restes fòssils, i llevat dels casos en què es trobaren restes articulades o semi-articulades (que es documentaren fotogràficament), no es



perd amb l'extracció. La gran velocitat d'extracció de sediments per part de la maquinària pesant requerí prioritzar la recuperació de les restes paleontològiques per damunt de l'enregistrament de la informació tafonòmica. Així, l'únic tipus d'enregistrament que es pogué realitzar fou de tipus fotogràfic, havent de prescindir de planimetria i presa de coordenades espacials. En quant a la informació geològica associada a les restes paleontològiques, l'objectiu que es pretén assolir amb el seu enregistrament no és altre que la seva contextualització en el marc geològic local i a escala de conca, així com proporcionar una datació cronostratigràfica amb la màxima resolució possible. Les actuacions realitzades a aquest respecte foren les següents:



**Figura B35.** Estacions de mostreig de paleomagnetisme.



**Figura B36.** Geòloga responsable del Laboratori de Paleomagnetisme dels Serveis Tècnics de la UB i ICTJA, extraient les mostres de paleomagnetisme.

a) Establiment d'una successió estratigràfica: Es realitzaren 6 perfils litostratigràfics (columnes) a escala 1:200, en les quals se situaren, ja sigui directament o bé per projecció, els nivells potencialment rics en microvertebrats i els nivells de concentració de restes de macrovertebrats. Aquesta successió estratigràfica permet la realització del treball de camp dels estudis de paleomagnetisme i el posterior establiment d'una successió magnetostratigràfica local.

b) Cartografia litostratigràfica d'alta resolució: Amb posterioritat a l'aixecament de les columnes estratigràfiques, s'el·laborà una cartografia litostratigràfica d'alta resolució a escala 1:2.000 de la zona afectada per les obres, la qual s'emprarà per a analitzar la continuïtat lateral dels diferents nivells litostratigràfics i el seu control estructural detallat; les dades aportades per aquesta han restat reflectides en la cartografia geològica.

c) Establiment d'una seqüència magnetostratigràfica: Fou realitzada per membres de l'Institut de Ciències de la Terra "Jaume Almera" i de la Facultat de Geologia de la UB (Figura B36). El mostratge realitzat fou de tipus intensiu amb una distància mitjana de 2 m entre les diferents estacions paleomagnètiques (Figura B35). Així, es mostrejaren íntegrament les columnes BCV, CCV i BDL-VIE, establint 156 estacions. Les dades obtingudes en el laboratori hauran d'ésser degudament calibrades amb els resultats biocronològics proporcionats per l'estudi dels macro- i micromamífers.

#### **B.4 Materials i metodologia d'extracció:**

La recuperació de restes de macrovertebrats fòssils es dugué a terme utilitzant les tècniques i mitjans adequats per a garantir la seva conservació durant l'extracció i el transport, així com el posterior emmagatzematge i preparació, però maximitzant alhora la velocitat d'extracció per interferir el mínim possible en el normal desenvolupament de les obres.

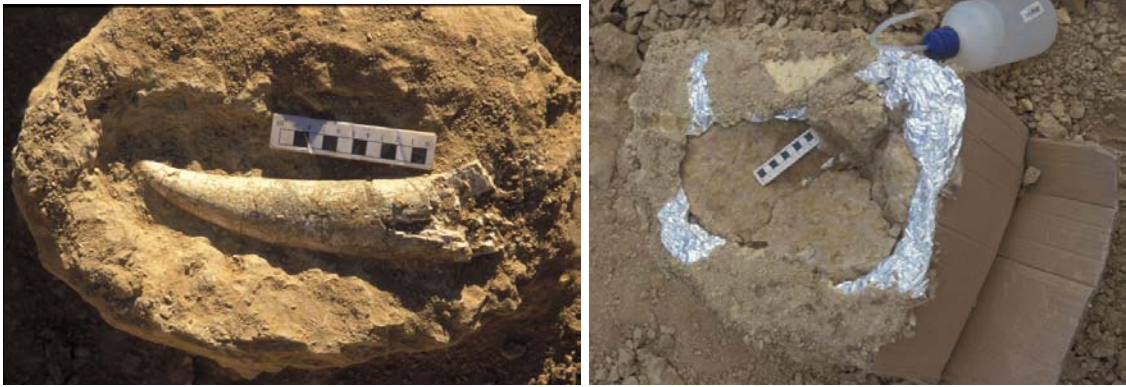
Cal tenir en compte que les restes fòssils de vertebrats d'ambients continentals han estat sotmeses a una variada sèrie de processos d'alteració abans que s'iniciï la seva extracció per part dels paleontòlegs. Aquests processos comencen després d'haver-se produït la mort de l'animal, continuen durant el transport i l'enterrament en un determinat medi sedimentari, i poden també produir-se amb posterioritat. Així doncs, les restes òssies corresponents a vertebrats fòssils no solen trobar-se en el mateix lloc on es produí la mort de l'animal, i generalment no presenten gaire bon estat de conservació. L'acció dels depredadors i carronyaires, el poteig, les alteracions produïdes pels agents meteorològics, els impactes i fracturacions produïts durant el transport, l'alteració físico-química posterior a la sedimentació, el desenvolupament de processos edàfics, i/o la compactació per càrrega dels successius dipòsits sedimentaris, fan que les parts esquelètiques que s'han fossilitzat siguin un material fràgil. Aquesta fragilitat obliga a seguir un tractament adequat durant l'excavació paleontològica, i la seva posterior preparació en el laboratori de la institució en què es dipositen les restes. De fet, un cop les restes paleontològiques estan alliberades totalment o parcialment de la matriu rocosa que les envolta, comença a actuar sobre elles l'acció directa o indirecta dels agents atmosfèrics i de la insolació, que generalment es tradueixen en variacions de la temperatura i de la humitat; aquests canvis suposen un

desequilibri de les condicions ambientals inicials de quan el fòssil es trobava inclòs dins la roca, cosa que unida a la fragilitat inherent de les restes, generalment requereix un tractament preventiu durant l'extracció. En la present intervenció, en qüestions de preparació i conservació al camp, comptarem amb l'assessorament previ d'Isabel Pellejero, tècnica restauradora de l'IPS.

En detectar-se una resta fòssil, normalment de macrovertebrat, però en ocasions també mandíbules o cranis de microvertebrats, i també closques de cargols, cal avaluar-ne l'estat de conservació i les característiques taxonòmiques i tafonòmiques. Això requereix netejar superficialment la resta amb l'ajut d'un pinzell, i si s'escau, aplicar a continuació materials consolidants i/o adhesius. En la majoria de casos s'emprà paraloid B-72 dissolt en acetona com a substància consolidant, en dues concentracions: "5%" (250 g paraloid/5 l acetona) i després, si així ho aconsellava l'estat de conservació del fòssil, al "10%" (500 g paraloid/5 l acetona). En cas d'haver-hi algun fragment solt que s'havia d'enganxar, s'emprà l'Imedio Universal, de vegades una mica dil·luït amb acetona. Tant el paraloid com l'Imedio són tractaments no definitius, és a dir, es tracta de substàncies reversibles al laboratori (on s'ha de dur a terme la preparació definitiva de les restes), que només tingueren una funció preventiva de garantir que la peça no es malmetés durant l'extracció, el transport i/o l'emmagatzematge. La consolidació s'ha de realitzar a mesura que la resta es va delimitant, per tal d'exposar-la i veure'n l'extensió. Aquesta delimitació es dugué a terme amb l'ajuda de punxons (de diferents mides: 0, 1, 2 i 3) i escarpes diverses. Un cop determinada amb exactitud l'extensió de la resta, cal procedir a la seva extracció, que es pot realitzar sense la matriu rocosa, en bloc o amb mòmia. L'extracció sense matriu rocosa constituï l'excepció, intentant sempre que fos possible d'extreure les restes en bloc per tal de garantir una millor conservació. L'extracció en bloc es dugué a terme mitjançant la delimitació d'un perímetre de sediment al voltant de la resta i el desbastat del bloc resultant, mitjançant picola, martell de geòleg i/o escarpa. Les restes foren embolcallades amb paper d'alumini (que tingué una funció esmorteïdora), i protegides amb cinta d'embalar (precinte) i/o bosses de plàstic de tanca hermètica. Això fou possible en restes de mida petita o mitjana; en restes de mida més gran o d'excepcional importància (p.ex., cranis), l'extracció en bloc es dugué a terme mitjançant la tècnica de la "mòmia" (Figures B36 a B38), en alguna ocasió sota la supervisió de restauradores professionals (Figures B39 i B40). Fer una mòmia consisteix a excavar un perímetre al voltant de la resta i fer una lleugera soscavació lateral en el bloc resultant, de manera que el conjunt de fòssil més matriu associada adquireix forma de bolet; a continuació, la resta s'embolcalla amb paper d'alumini i s'hi afegeix una substància que confereix al conjunt de matriu rocosa que incorpora la resta una major cohesió i rigidesa. En aquesta intervenció, les mòmies es realitzaren exclusivament amb espuma de poliuretà delimitada per cartrons, la qual té l'avantatge de pesar poc i conferir una gran resistència no només en front de l'extracció, sinó també en front de les alteracions químiques i dels impactes produïts durant el transport i posterior emmagatzematge. L'espuma de poliuretà es forma a partir d'una mescla líquida de dos components (poliol i isocionat) al 50%, que un cop preparada s'expandeix i augmenta de volum ràpidament, solidificant-se en qüestió de minuts. Finalment, es procedeix a l'extracció i el voltejament de la



mòmia resultant, que en alguns casos pot requerir l'ús d'escarpes i, en casos excepcionals, fins i tot maquinària pesant (Figura B40).



**Figura B37.** Extracció amb mòmia de la defensa de dinoteri ACM307: bloc desbastat abans de fer la mòmia (esquerra) i mòmia de poliuretà un cop extreta i voltejada (dreta).



**Figura B38.** Realització de la mòmia d'ACM1086 per part d'un paleontòleg: mòmia mentre s'asseca el poliuretà (esquerra) i mòmia un cop extreta i voltejada (dreta).



**Figura B39.** Mòmia a mig fer de les defenses de gomfotèrid ACM1548 i ACM1392, abans d'abocar-hi el poliuretà.





**Figura B40.** Estadis successius de realització i extracció de la mòmia de la tortuga gegant ACM725, que donat el seu volum hagué de ser transportada per una giratòria.



**Figura B41.** Restauradores finalitzant la mòmia d'ACM725.

## C. RESULTATS

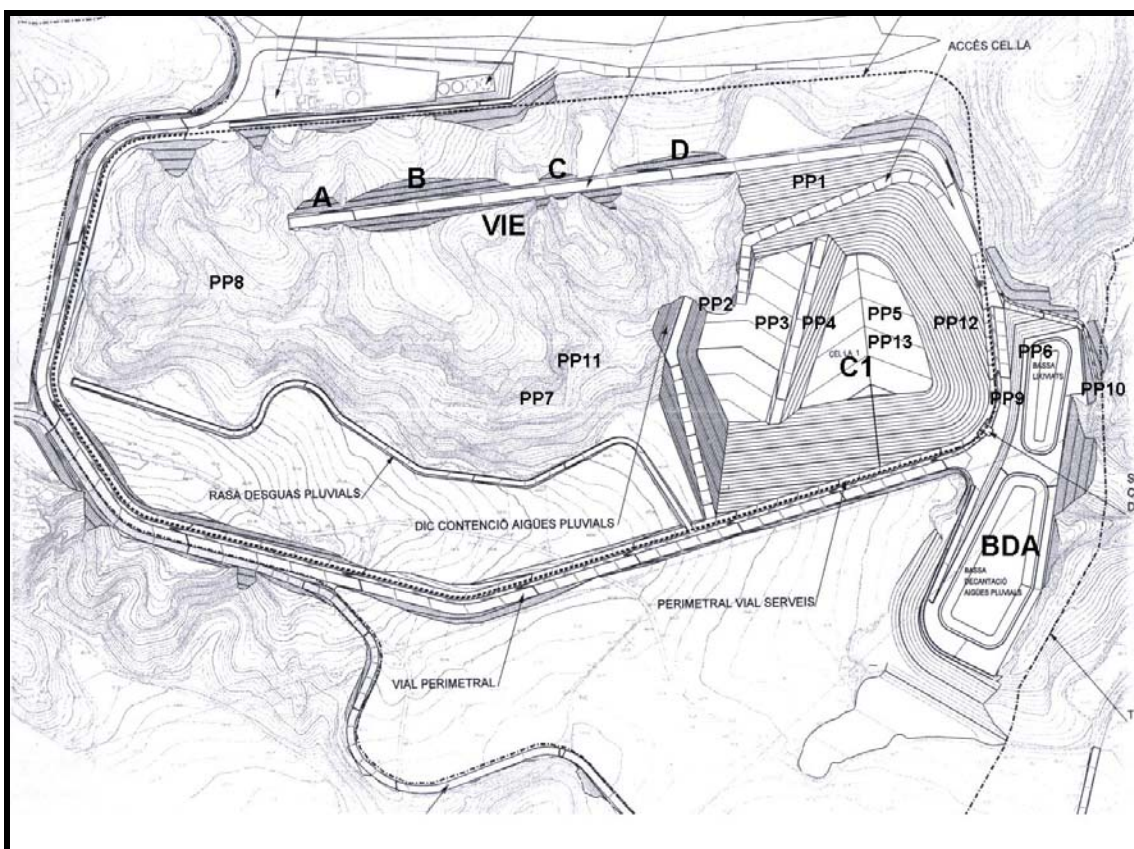
### C.1. Restes recuperades:

La intervenció paleontològica a la Nova Fase del Dipòsit Controlat de Can Mata donà com a resultat la recuperació de 2.139 peces siglades, totes les quals foren dipositades a l'Institut de Paleontologia M. Crusafont. Una bona part dels fòssils més representatius han estat o estan essent restaurats. L'inventari provisional de les restes recuperades durant la intervenció s'ha reproduït als Apèndixs 1 i 2.

### C.2. Estudis preliminars:

Fins al moment s'han presentat conclusions preliminars sobre la intervenció paleontològica en un total de 9 informes mensuals (Alba *et al.*, 2002, 2003a,b,c,d; Casanovas *et al.*, 2003; Galindo *et al.*, 2002, 2003a,b), entregats a CESPÀ GR i al Servei d'Arqueologia de la Generalitat de Catalunya, en una comunicació oral a les *Jornades d'Arqueologia i Paleontologia 2003* el 16 d'octubre de 2003 (Alba *et al.*, en premsa), i en una altra comunicació oral a la *Tribuna d'Arqueologia 2003-2004* el 3 de desembre de 2003 (Galindo *et al.*, com. oral inèdita).

### C.3. Actuacions paleontològiques:



**Figura C1.** Superposició dels punts de prospecció en un mapa esquemàtic de la Nova Fase del Dipòsit Controlat de Can Mata.



**Prospecció.**—Malgrat les dificultats d'accés als afloraments miocens, degut al fort pendent i fins i tot la total impracticabilitat de bastants xaragalls, durant la prospecció duta a terme la primera setmana es declaren un total de 10 punts amb restes fòssils en superfície a la zona que s'havia de veure afectada durant la primera fase de les obres (vegeu Figures C1 a C5). Aquestes restes incloïen no només cargols i estelles d'os, sinó també restes identificables com plaques de tortuga, fragments de dents de mamífer i altres. Aquesta densitat de punts fossilífers és comparable a la detectada en estudis anteriors a la riera de Claret (Galindo, 2001), la qual cosa va confirmar, en el seu moment, la necessitat de dur a terme una actuació de control preventiu.



**Figura C2.** Aspecte del PP1 després de la desforestació.



**Figura C3.** Aspecte del PP5 després de la desforestació.



**Figura C4.** Aspecte dels PP3 i PP4 després de la desforestació.

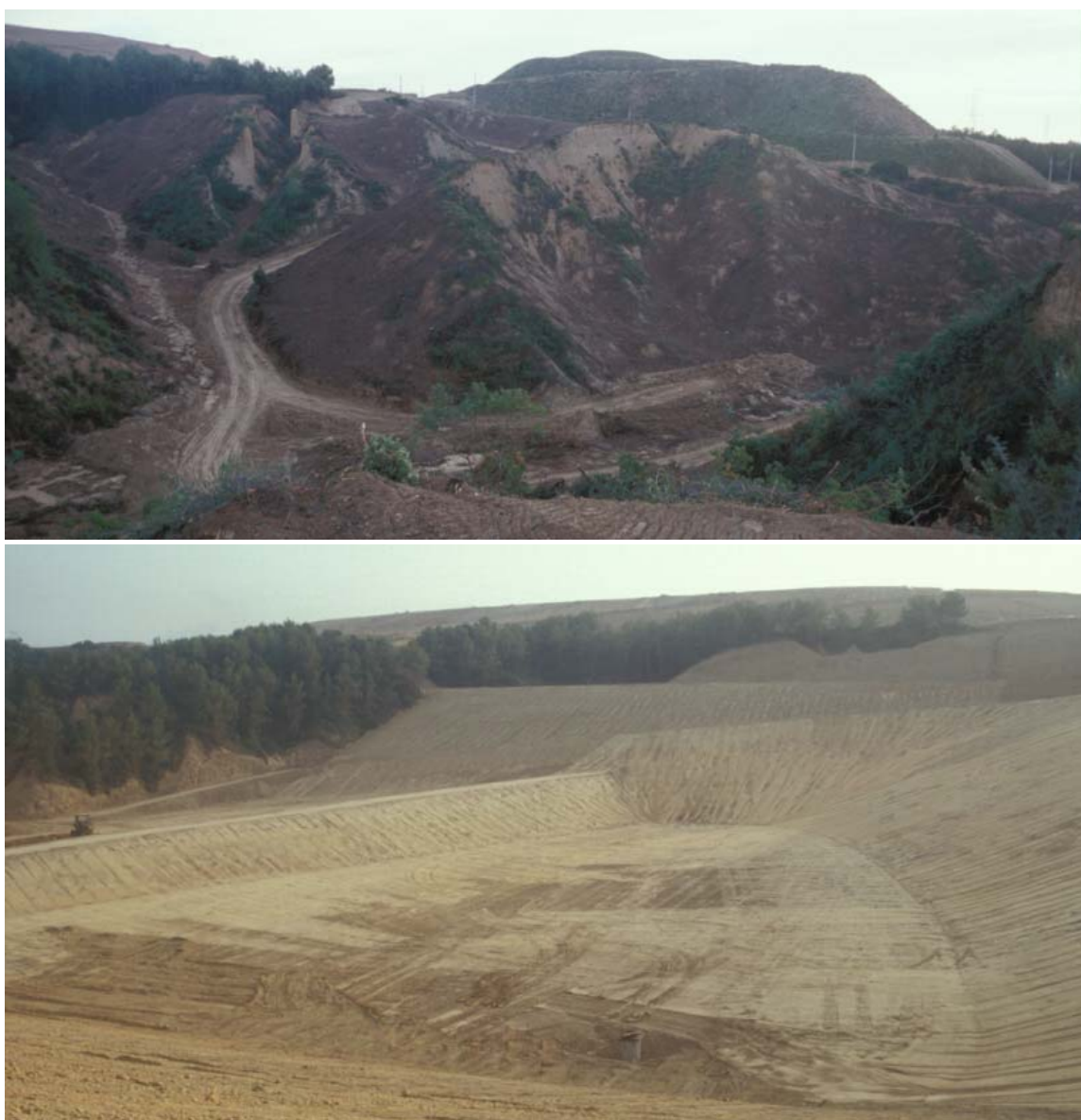


**Figura C5.** Aspecte del PP6 després de la desforestació.

**Control preventiu.**—El seguiment de màquines s’inicià el 15 de novembre de 2002 i finalitzà definitivament el 29 de juliol de 2003 (vegeu els canvis de relleu esdevinguts a la zona d’afectació de les obres a les Figures C6). En total les màquines excavaren uns 400.000 m<sup>3</sup> de sediments, dels quals aproximadament un 20% correspondria a “terra vegetal” (Quaternari, sòls i Miocè meteoritzat), i la resta a Miocè pròpiament dit (on la troballa de restes era més probable). En general, el seguiment de màquines realitzat s’ha de considerar satisfactori, especialment en el cas de les giratòries, mentre que en el cas del bulldozer el seguiment fou més complex donada la necessitat de mantenir una distància de seguretat més considerable respecte la màquina. El seguiment de tots dos tipus de maquinària proporcionà restes fòssils en abundància, la qual cosa posa de manifest la necessitat de dur a terme una



actuació de control preventiu no només en el cas de les giratòries, sinó també en el cas del bulldozer. Un percentatge molt elevat de les restes recuperades correspongué a tortugues, sobretot closques, però també ossos postcranials i, excepcionalment, ous. Destaca la troballa, durant el seguiment de bulldozer, d'una closca de tortuga gegant en bastant mal estat de conservació, i la qual s'extragué amb mòmia de poliuretà sota la supervisió de restauradores professionals (Figures B39 i B40). Durant la intervenció també es recuperaren, encara que en una proporció molt menor, restes d'altres tipus de rèptils, en particular ànguids i algun lacèrtid. La resta de fòssils recuperats correspongueren a mamífers, especialment macromamífers però també, en una proporció més reduïda, micromamífers (dents aïllades, restes mandibulars i/o cranials aïllades, o petites acumulacions d'ossos postcranials). A banda dels vertebrats, també es recuperà un número elevat de closques de gastròpodes terrestres (les quals no se siglaren), en diferents estats de conservació.



**Figura C6.** Comparació d'una mateixa zona de la C1, abans que s'iniciessin les tasques d'excavació per part de les màquines (superior), i uns 7 mesos després, quan aquestes tasques ja havien finalitzat.



**Excavació macropaleontològica d'urgència.**—En el conjunt de tota la intervenció, es dugueren a terme les següents excavacions (es designen amb lletres els punts de macrovertebrats, i amb números els nivells de mostratge de microvertebrats):

- a) C1-Fa: dents, defenses i elements postcranials de *Deinotherium* sp.
- b) C1-E7 (=C1-Ec) i C1-E8 (Figures C7 i C8): closques de tortuga, restes dentàries, mandibulars i postcranials de diversos mamífers (especialment suïds, cèrvids, calicotèrids i carnívors), i gastròpodes helicoïdeus amb preservació excepcional.
- c) BDA7 (=BDAb): esquelet parcial del rinoceròtid *Alicornops simorreense*.
- d) BDA8 (=BDAA=BDAC) (Figures C9 a C11): bretxa d'ossos amb restes dentàries (defenses i molars), mandibulars i postcranials de dues espècies de proboscidi (un dinotèrid i un gomfotèrid), així com d'un rinoceròtid i d'altres mamífers.



**Figura C7.** Excavació dels nivells C1-E7 i C1-E8 el 4/3/03.



**Figura C8.** Excavació del nivell C1-E7, el 14/4/03.





**Figura C9.** Bretxa d'ossos amb fragments de costelles del punt BDAc tal com es va descobrir el 4/4/03.



**Figura C10.** Concentració de costelles ACM1208 a BDAc el 16/4/03.





**Figura C11.** Concentració de costelles ACM1362, a la dreta de ACM1208, amb la defensa de gomfotèrid ACM1392 al fons, a BDAd el 17/4/03.

De forma similar, no es realitzaren excavacions sistemàtiques en superfície, però es recuperà abundant material de macrovertebrats en els punts o nivells següents:

- a) C1-ET i C1-ET2 (nivells probablement equivalents): excepcional concentració de closques de tortuga.
- b) C1-E9 (=C1-Ef) (Figura C12): cranis de carnívor, i restes cranials i postcranials d'altres mamífers.
- c) C1-E10: closques de tortuga, esquelet parcial de cèrvid, restes postcranials i dentàries de suïd, etc.
- d) C1-Ex: molars de *Deinotherium* sp.
- e) BDAd: restes dentàries i postcranials (costelles, pelvis i ossos llargs) de, com a mínim, dos individus de *Deinotherium* sp.



**Figura C12.** Punt de de macrovertebrats (i nivell de microvertebrats) C1-E9.



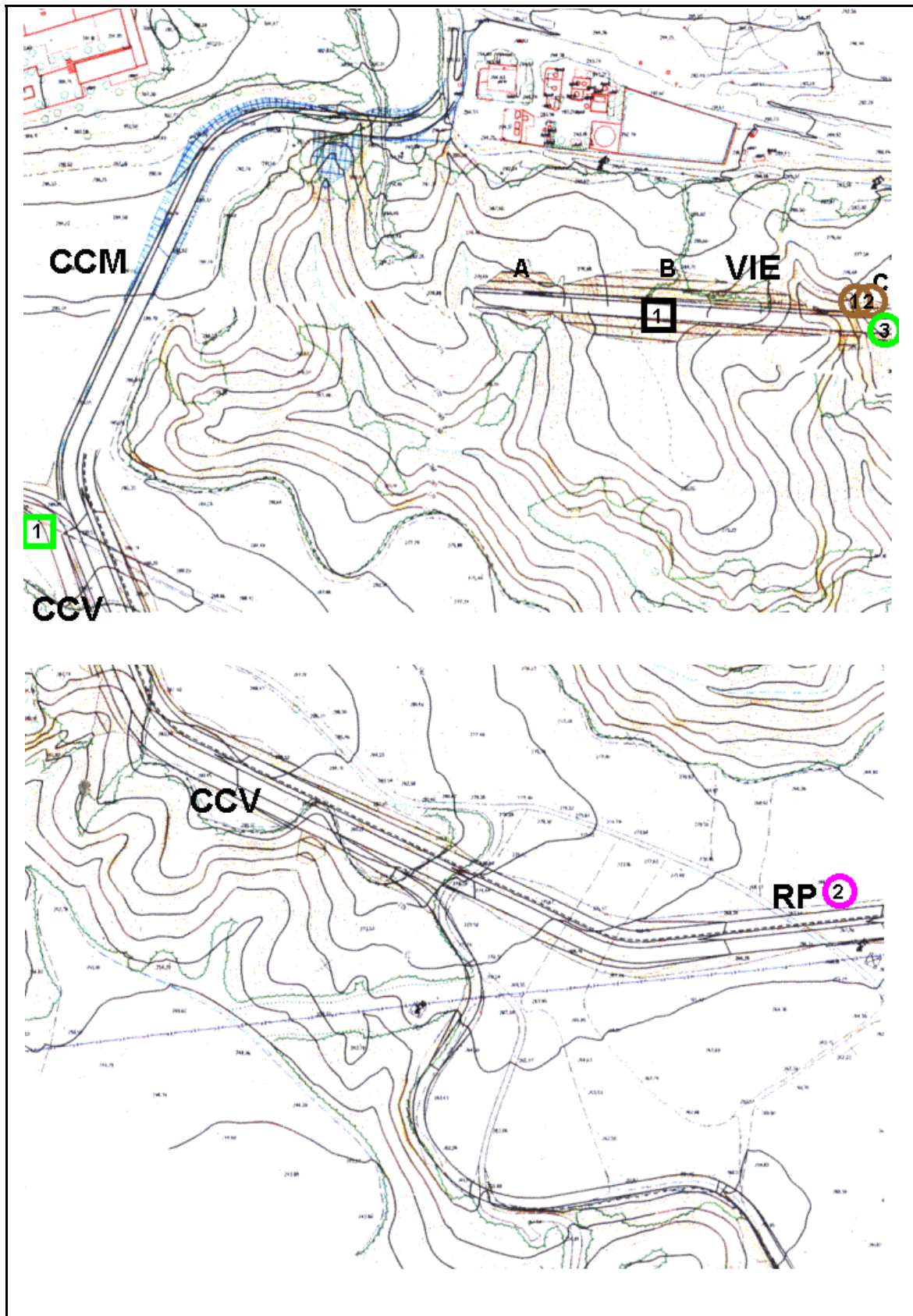
Pràcticament en tots els casos (C1-Fa, C1-E7, C1-E10, BDA7, BDA8 i BDA8), dos peons amb un martell pneumàtic eliminaren els nivells estratigràfics situats a sobre dels nivells fossilífers, els quals foren excavats pels paleontòlegs. En el cas de C1-E7, C1-Fa i BDA8 s'emprà també una giratòria petita, donada la notable potència dels nivells suprajacents.

**Mostratge micropaleontològic d'urgència.**—Durant la intervenció paleontològica es detectaren un total de 44 nivells potencialment rics en microvertebrats (Figura C13). No tots aquests nivells, però, s'acabaren recol·lectant i rentant, sinó que s'hagué de dur a terme una selecció, en funció del resultat dels mostratges de prova i de la posició estratigràfica dels nivells, entre d'altres factors (vegeu Taula 1). Dels 44 nivells detectats, només es dugué a terme un mostratge de prova de 34 nivells, mentre que la resta foren desestimats pel fet de no veure's afectats per les obres (VIE-C1, VIE-C2, BDA1, BCV2 i BCV3), pel fet de no ser recol·lectables degut a la seva situació en llocs que afectaven l'estructura de l'obra (VIE-D1), o pel fet d'haver desaparegut abans de poder dur a terme la recol·lecció (C1-E5); el nivell BCV1 (=BDA-SW3) constituí una excepció, en tant que no se'n recol·lectaren sacs ja que paral·lelament s'hi dugueren a terme les excavacions del jaciment de Can Vila, dirigides per Salvador Moyà-Solà, durant les quals es recol·lectà un nombre considerable de sacs. Dels 34 mostratges de prova analitzats, 31 donaren positiu, i només 3 negatiu (VIE-B1, C1-A2 i C1-C2). Dels 31 nivells que donaren positiu, se'n recol·lectaren un total de 25, mentre que els 6 restants es descartaren, sia per estar situats a prop d'altres nivells que havien donat un resultat positiu (C1-A3, C1-A5, C1-C3), sia per haver desaparegut abans de poder dur a terme la recol·lecció intensiva (C1-E3), sia per ser estratigràficament equivalents a d'altres nivells més rics o ja recol·lectats (C1-E10 i BDL2). Dels 25 nivells recol·lectats intensivament, 10 es recol·lectaren d'emergència, mentre que la resta es recol·lectaren després de conèixer el resultat positiu del mostratge de prova. De cadascun d'aquests 25 nivells, amb algunes variacions, es recol·lectaren uns 50 sacs de 30 kg cadascun; això dona un total de 37.500 kg de sediment recol·lectat, la qual cosa constitueix probablement la campanya de recol·lecció de micromamífers del Miocè més important duta a terme a Catalunya fins a la data. Dels 25 nivells recol·lectats intensivament, BDL1 seria el més baix de la sèrie i CCV1 el més alt.

Dels susdits nivells recol·lectats intensivament, un total de 17 foren finalment seleccionats com a més representatius per a ser rentats; això representa uns 25.500 kg de sediment, el rentat dels quals durà 20 dies. La resta de nivells que havien donat positiu es descartaren pel fet de ser estratigràficament propers o equivalents a d'altres nivells més rics; tanmateix, a pesar de no haver estat seleccionats, aquests sacs també foren transportats a Can Llobateres per si en el futur es considera pertinent rentar-los. Els sacs amb concentrats foren dipositats a l'IPS, a l'espera de ser re-rentats (la majoria de concentrants grollers) o triats (concentrats fi i mitjà) a la citada institució. Fins ara, s'ha dut a terme o com a mínim iniciat el triatge de diversos nivells: C1-E9 (triat a l'IPS), C1-E4 (en triatge a l'IPS), BDA8 (en triatge a l'IPS) i BDL1 (triat parcialment a la Facultat de Geologia de la UB sota la supervisió de Lluís Cabrera, i la resta en triatge a l'IPS).

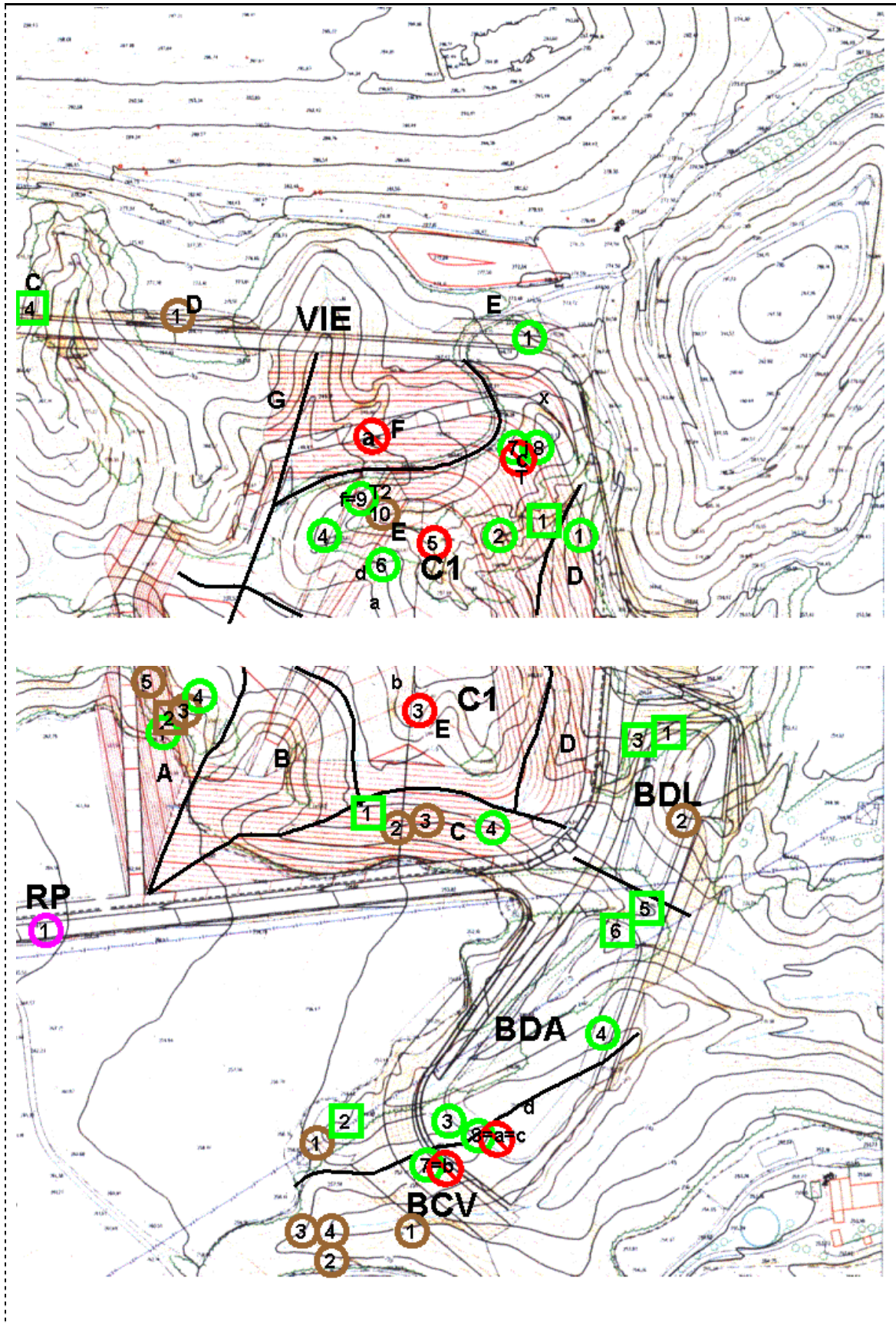
**Taula 1.** Resum dels resultats del mostreig micropaleontològic d'urgència per a cada nivell.

<b>Nivell</b>	<b>M. prova (+ / - / pendent)</b>	<b>M. intensiu (núm. sacs)</b>	<b>Emergència? (SÍ / NO)</b>	<b>Rentat? (SÍ / NO)</b>
VIE-B1	-	50	SÍ	NO
VIE-C1	No afectat per les obres			
VIE-C2	No afectat per les obres			
VIE-C3	+	70	NO	SÍ
VIE-C4	+	41	SÍ	NO
VIE-D1	Nivell no recol·lectable			
VIE-E1	+	100	NO	NO
C1-A1	+	50	NO	SÍ
C1-A2	-	No es recol·lectà		
C1-A3	+	No es recol·lectà		
C1-A4	+	50	NO	SÍ
C1-A5	+	No es recol·lectà		
C1-C1	+	50	SÍ	SÍ
C1-C2	-	No es recol·lectà		
C1-C3	+	No es recol·lectà		
C1-C4	+	50	NO	SÍ
C1-D1	+	50	NO	SÍ
C1-E1	+	50	SÍ	NO
C1-E2	+	50	NO	NO
C1-E3	+	Nivell desaparegut		
C1-E4	+	70	NO	SÍ
C1-E5	Nivell desaparegut			
C1-E6	+	50	NO	SÍ
C1-E7	+	50	NO	SÍ
C1-E8	+	50	NO	NO
C1-E9	+	50	NO	SÍ
C1-E10	+	No es recol·lectà		
CCV1	+	50	SÍ	SÍ
BDA1	No afectat per les obres			
BDA2	+	50	SÍ	NO
BDA3	+	50	NO	NO
BDA4	+	50	NO	SÍ
BDA5	+	50	SÍ	NO
BDA6	+	50	SÍ	SÍ
BDA7	+	50	SÍ	SÍ
BDA8	+	50	NO	SÍ
BCV1	Afectat per les excavacions de Can Vila			
BCV2	No afectat per les obres			
BCV3	No afectat per les obres			
BDL1	+	50	SÍ	SÍ
BDL2	+	50	SÍ	SÍ
BDL3	+	No es recol·lectà		
RP1	Nivell no recol·lectable			
RP2	Nivell no recol·lectable			



**Figura C13.** Mapa de la zona d'afectació d'obres on s'han indicat els punts de microvertebrats. Simbologia: Verd=Mostratge de prova positiu i recol·lectats intensivament; Blau=Mostratge de prova positiu i pendent de recol·lecció intensiva; Magenta=Pendent de resultats de mostratge de prova; Marró=No recol·lectable; Negre=Negatiu; Vermell=Desaparegut; els nivells recol·lectats d'emergència, és a dir, sense resultats del mostratge de prova, s'han indicat amb





**Figura C13.** (Continuació) un requadre, i la resta amb un cercle. Les lletres indiquen punts de macrovertebrats. El símbol de prohibit indica la situació d'excavacions paleontològiques.

A continuació s'ofereix una descripció de tots els nivells que donaren positiu, tant si es recol·lectaren intensivament com si no:

VIE-C3: Es tracta d'un nivell de lutites de color marró-vermellós amb pocs terrígens. Les rizocrecions i bioturbacions són molt abundants i prenen tons grisos o blancs. Aquest nivell conté una estella d'os, un tros de placa de tortuga, i un fragment de diàfisi de micromamífer.

VIE-C4: Es tracta d'un nivell de lutites roges amb decoloracions grises i abundants grans terrígens (sobretot de quars i roques metamòrfiques). Cap al sostre mostren una transició gradual fins a lutites ocres-grogues i a la base limiten amb un petit nivell de conglomerats amb morfologia de canal. Aquest nivell conté un fragment d'esmalt de dent de micromamífer (probablement un lagomorf) i un altre fragment ossi de micromamífer.

VIE-E1: Es tracta d'un nivell de llims de to predominantment roig, encara que en alguns punts són més ocres. Abunden les decoloracions grises, sobretot entorn de la bioturbació que també és molt abundant. Hi ha una presència remarcable de petits nòduls carbonàtics i grans terrígens (sobretot de quars) igualment petits. Són molt abundants els fragments de conquilla de gastròpode, i també s'han detectat restes de macrovertebrats, que inclouen una placa de tortuga força rodada. A simple vista s'han localitzat fragments de l'esquelet postcranial de microvertebrats fòssils.

C1-A1 (Figura C14): Es tracta d'un nivell de lutites roges-marronoses amb molt pocs terrígens i abundant bioturbació, que pren tons grisos. Les característiques litològiques recorden a VIE-C3. Conté una dent canina d'insectívor o petit carnívor.



**Figura C14.** Nivell de micromamífers C1-A1.

C1-A2: Es tracta d'un nivell de lutites d'un to roig viu amb decoloracions grises i nòduls de colors clars. Conté 3 restes dentàries i 3 restes postcranials (incloent una vèrtebra) de micromamífer.

C1-A3: Es tracta d'un nivell de lutites roges fosques amb abundant bioturbació, de característiques similars a C1-A2. Conté dents de micromamífers visibles a simple vista.



**C1-A4:** Es tracta d'un nivell de lutites vermelles. Conté dents i restes òssies de micromamífers visibles a simple vista.

**C1-A5:** Es tracta d'un nivell d'aproximadament 0,5 m de lutites de tons rojos i marrons. S'hi inclouen molts terrígens, sobretot en la seva part basal on la seva mida també és major arribant a assolir 2 cm. Al sostre la seva mida no excedeix la de la sorra grollera. La majoria d'aquests fragments detrítics són grans de quars de diferents morfologies i fragments de roques que inclouen carbonats, roques metamòrfiques foliades i granitoides alterats. Es tracta de grans ben arrodonits però no gaire esfèrics. Abunden els petits nòduls carbonàtics. S'observen també les típiques decoloracions grises entorn dels grans. Cap a la part del sostre es poden localitzar fàcilment estelles d'os. Ha lliurat un os rodat de mida petita i un os complet corresponent a l'extremitat d'un microvertebrat.

**C1-C1 (Figura C15):** Es tracta d'un nivell de lutites de color marró amb tons granats, i que presenten poca bioturbació i igualment pocs terrígens i nòduls carbonàtics. S'hi inclouen fragments de closca de gastròpode.



**Figura C15.** Nivell de micromamífers C1-C1.

**C1-C3:** Es tracta d'un nivell de lutites de color marró granatós amb decoloracions grises i grogues. Esporàdicament s'hi troben terrígens i nòduls carbonàtics, encara que aquest darrer component és molt infreqüent. No s'observa bioturbació. Aquest nivell ha lliurat diverses estelles d'os rodades i també una dent molar d'un mamífer de mida mitjana (ACM70).

**C1-C4 (Figura C16):** Es tracta d'un nivell de lutites ocre amb tons rojos en alguns punts i nombroses decoloracions grises. No presenta terrígens, ni concrecions ni bioturbacions. S'hi han localitzat alguns gastròpodes sencers molt ben preservats i escassos fragments de conquilla.

**C1-D1 (Figura C17):** Es tracta d'un nivell d'aproximadament 1 m de guix, compost per lutites de color marró terrós amb alguns tons rojos i que tenen abundants terrígens en alguns punts, consistents com sempre per quars i roques metamòrfiques, encara que també s'observen escassos carbonats. Existeixen també franges llimoses. No s'han localitzat nòduls carbonàtics. En



aquesta capa s'observen punts amb una alta concentració de restes, moltes de les quals són de mida petita i inclouen vèrtebres, diàfisis, costelles i estelles.



**Figura C16.** Nivell de micromamífers C1-C4.



**Figura C17.** Nivell de micromamífers C1-D1.

**C1-E1:** Situat a la zona E de la C1, es tracta d'un nivell de lutites roges amb decoloracions grises i tons ocre en algunes àrees. La presència de nòduls carbonàtics i terrígens és força esporàdica i aquests són de mida molt reduïda. En aquesta capa s'han localitzat les restes de diversos exemplars de tortugues (ACM34), incloent tant peces de la closca com ossos de l'esquelet postcranial, així com un fragment de molar de mamífer (ACM35) i nombrosos fragments de gastròpodes. Durant l'extracció de les tortugues es descobriren també fragments de l'esquelet postcranial de microvertebrats.

**C1-E2:** Es tracta d'un nivell de lutites roges i ocres amb abundants decoloracions grises. La concentració de terrígens és remarcable, i inclou grans de mida petita entre els que predomina el quars blanc. Aquesta elevada presència de terrígens defineix àrees més llimoses dins la mateixa capa. En aquest estrat es localitzaren diversos exemplars de tortugues en bon estat de conservació (ACM36 i ACM37), així com nombrosos fragments de closques de gastròpode.

**C1-E3:** Es tracta d'un nivell de lutites roges amb decoloracions grises i escassa presència de terrígens. No s'observaren restes de microvertebrats ni macrovertebrats, encara que els fragments de conquilla de gastròpode són molt abundants. En les rodalies d'aquest punt a més s'han localitzat fragments d'esmalt de les dents d'un mamífer de gran mida, i diverses plaques i ossos postcranials de tortuga, remoguts i trencats per efecte del bulldozer.

**C1-E4:** Es tracta d'un nivell de lutites roges amb decoloracions grises molt poc abundants i escassos terrígens, i sense nòduls carbonàtics. L'abundància de petits fragments ossis en alguns punts és insòlita, i s'han arribat a comptabilitzar fins a 30 fragments en blocs de pocs grams de pes. Pel que fa als macrovertebrats, a la mateixa capa s'han localitzat fins al moment fragments de plaques de tortugues, una diàfisi d'un gran mamífer (ACM92) i un fragment de mandíbula amb dents de gran mamífer (ACM96).

**C1-E6:** Es tracta d'un nivell de lutites de color marró fosc amb terrígens esporàdics de mida molt petita i compostos per quars i carbonats. La capa es troba coberta, però la seva potència no sembla excedir el mig metre. Quasi no s'observen concrecions carbonàtiques i les que hi són presents assoleixen mides molt petites. Existeixen decoloracions grises de diversos tons, una de les quals, típicament de color gris fosc, envolta totes les restes. En aquest nivell s'han localitzat una sèrie de restes de macro- i microvertebrats. Entre els macrovertebrats hi ha dues estelles de diàfisi, mentre que el material corresponent a microvertebrats inclou petites estelles, un fragment de diàfisi i una dent d'esciúrid trencada per la meitat.

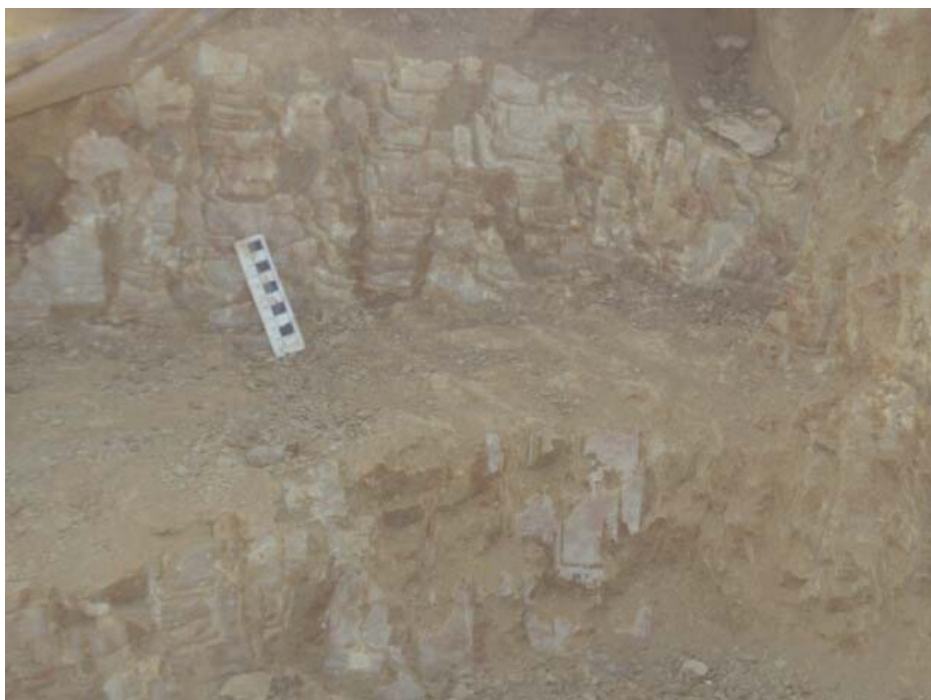


**Figura C18.** Nivell de micromamífers C1-E7.



**C1-E7 (Figura C18):** Es tracta d'un nivell que podria tenir una potència propera als 70 cm, ja que malauradament no s'observa bé el seu límit inferior. Se situa a les proximitats del VIE. Es tracta d'una capa de lutites marrons amb decoloracions ocres, liloses i grises. Inclou alguns terrígens dispersos (quars i fragments de roques metamòrfiques) i molt pocs nòduls carbonàtics que a més són de mida molt petita. La bioturbació i les rizocrecions són molt abundants i ambdues se situen sobretot als darrers 20 cm de la capa, on prenen tons grisos, sèpia o blanquinosos. Aquestes característiques són típiques d'un antic nivell d'edafització. S'observen també fragments de conquilla de gastròpode. Les restes de macrovertebrats apareixen envoltades per una típica decoloració gris, entre aquestes destaquen una mandíbula de súid fragmentada (ACM173) i estelles aplanades. Pel que fa als microvertebrats, ha lliurat un incisiu de rosegador molt ben conservat.

**C1-E8:** Aquest nivell se situa just per sota del C1-E7, i de fet fou localitzat durant l'excavació paleontològica d'aquest últim. Es tracta d'un nivell de lutites marró totxo de poca potència i que no presenta un límit clar amb C1-E7, sinó una transició gradual. Progressivament les rizocrecions es fan més abundants cap al sostre, a l'igual que la bioturbació, a la vegada que s'aclareix el color de la capa i pren tons verd-lilosos. C1-E8 té nombroses decoloracions liloses i també verdoses, però no s'observen nòduls carbonàtics i hi ha molt pocs terrígens. En aquest nivell s'han trobat nombroses estelles petites d'os, i sobretot una gran abundància de fragments de conquilla de gastròpode terrestre. Juntament amb aquestes darreres, s'han localitzat diverses conquilles senceres sense deformar i en un estat de preservació excepcional, que conserva el patró de coloració de l'animal viu, cosa que constitueix un fet del tot excepcional en sediments miocens.



**Figura C19.** Nivell de micromamífers i macromamífers C1-E9.

**C1-E9 (Figura C19):** Es tracta d'un nivell de llims de color marró vermellós amb decoloracions grises o verdoses. Presenta nòduls carbonàtics molt petits així com terrígens també de molt petita mida (quasi exclusivament miques i



quars). No s'observen bioturbacions. Es desconeix amb exactitud la potència d'aquest nivell, situant-se aproximadament entre 0,5 i 1 m. S'hi ha localitzat fragments de gastròpodes, encara que poc abundants, així com abundants restes cranials i postcranials de macrovertebrats. També s'hi ha pogut trobar restes de microvertebrats que consisteixen en material postcranial i també una incisiva de rosegador o lagomorf.

C1-E10: Es tracta d'un nivell de potència incerta (mínim 0,5 m), que fou localitzat durant l'extracció d'un esquelet parcial de cèrvid (ACM1032), entre d'altres restes de macrovertebrats. Es tracta d'uns llims argilosos de color ocre-vermellós amb abundants decoloracions grises i algunes de violàcies o roig intens. Aparentment no presenten nòduls carbonàtics i els terrígens són poc abundants i comprenen quasi exclusivament quars. S'hi ha localitzat alguns gastròpodes, així com abundants restes de macrovertebrats (mamífers i tortugues). Pel que fa als microvertebrats, en punts concrets s'han localitzat abundants restes postcranials, així com una mandíbula dreta de *Cricetodon* cf. (*Pararuscinomys*) *lavocati* en molt bon estat de conservació i amb totes les dents.

BDA-2: Es tracta d'un nivell de lutites roges-marrons fosques amb decoloracions grises i alguns terrígens que a la base limiten amb una estreta franja de conglomerats. Aquest nivell ha lliurat un petit fragment d'os postcranial de micromamífer que es trobà a simple vista.

BDA-3: Es tracta d'un nivell de lutites de color vermell terrós amb decoloracions grises i pocs terrígens. Aquest nivell ha lliurat, a més d'algunes restes identificables de macrovertebrats (ACM19), un petit fragment d'os postcranial de micromamífer que es trobà a simple vista.

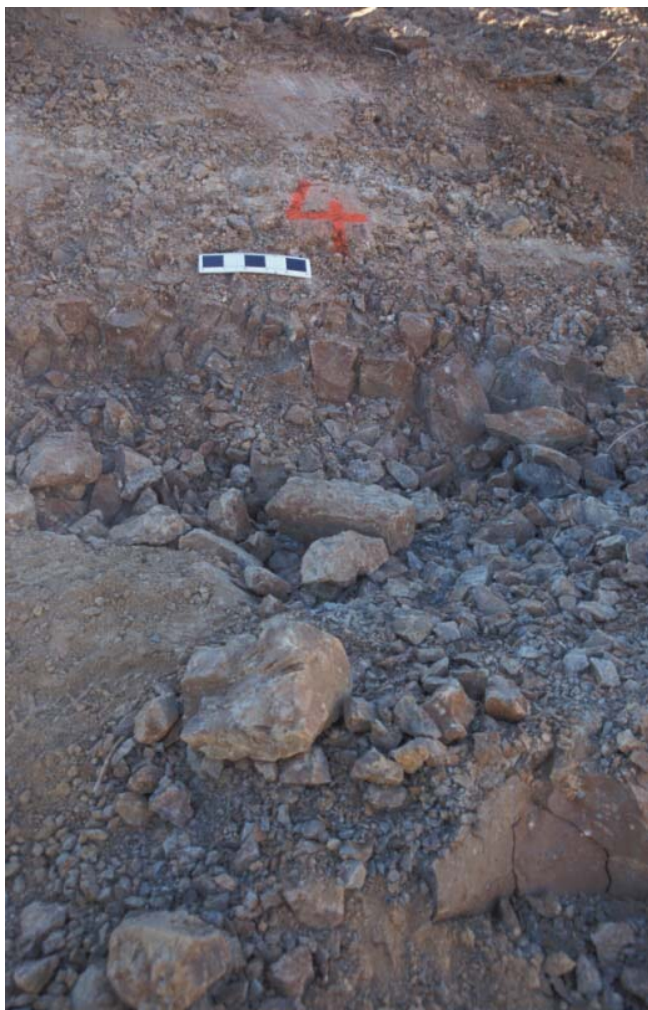
BDA-4 (Figura C20): Es tracta d'un nivell de lutites roges amb decoloracions grises i abundants grans terrígens. Aquest nivell ha lliurat, a més de nombrosos gastròpodes sencers o una mica fragmentats, un petit fragment d'os postcranial de micromamífer que es trobà a simple vista.

BDA5: Es tracta d'un nivell de lutites de color vermell fins a quasi granat amb abundants decoloracions grises, bioturbacions endurides i rizocrecions carbonatades. S'han localitzat diverses restes de macrovertebrats: plaques de tortugues de gran mida i de menor talla, així com un molar de súid molt desgastat i un fragment de metàpode d'artiodàctil. El sediment que circumda les restes presenta sempre una característica decoloració gris clar. Les conquilles de gastròpode senceres són molt abundants i estan molt ben preservades.

BDA6: Es tracta d'un nivell de lutites de color roig a marró totxo amb bioturbacions decolorades a tons grisos. La presència de terrígens és esporàdica a l'igual que la de petites concrecions carbonatades. S'hi observen fragments de conquilla de gastròpode, i també s'hi trobà un fragment de diàfisi d'un microvertebrat fòssil.

BDA7: Es tracta d'un nivell de més de 30 cm de potència, compost per lutites de color marró clar amb abundants decoloracions grises. S'hi observa un tram basal de to més fosc que coincideix amb un nivell d'acumulació de restes de macrovertebrats, corresponent al punt de macro localitzat originàriament BDAb. No s'hi observen quantitats importants de terrígens ni nòduls carbonàtics, i tampoc no apareixen rizocrecions. En aquesta capa s'hi han localitzat diversos motllos interns de gastròpodes, així com abundants estelles i un esquelet parcial de mamífer, atribuïble a un rinoceront aceraterí, assolint en

ocasions una concentració notable de restes. Pel que fa als microvertebrats, s'hi localitzaren a simple vista diversos ossos de les extremitats i també una mandíbula del lagomorf cf. *Prolagus* sp.



**Figura C20.** Nivell de micromamífers BDA4.

**BDA8:** Es tracta d'un nivell ric en microvertebrats que, com l'anterior, fou localitzat durant l'extracció de restes de macrovertebrats (corresponent als punts BDAa i BDAc). Es tracta d'unes lutites de color ocre amb abundants decoloracions grises i marró clar. Són abundants els terrígens, sovint de mida grollera o molt grollera. Els clastos, molt ben arrodonits i poc esfèrics, són majoritàriament compostos per quars, però també hi ha fragments de roques metamòrfiques o ígnies i de roques carbonatades, encara que molt menys abundants. No s'hi troben nòduls carbonàtics ni rizocrecions. En aquest nivell s'han localitzat motllos interns de gastròpodes, i pel que fa als macrovertebrats, entre d'altres, destaquen restes força completes de l'esquelet de dos proboscidis diferents (un dinotèrid i un gomfotèrid). Respecte als microvertebrats, aquest nivell ha lliurat una dent canina i una molar probablement d'insectívor, a més d'una mandíbula i un crani de rosegador.

**BDL1:** Es tracta d'un nivell de lutites de color marró fins a quasi granat amb abundant bioturbació decolorada fins a tons grisos. Hi ha pocs nòduls i terrígens, essent ambdós components de mida petita. Aquesta fàcies i l'estat de preservació de les restes recorda molt a BDA5. Aquest nivell ha

proporcionat gastròpodes sencers en molt bon estat de preservació, així com diversos fragments de placa de tortuga rodats. Totes les restes apareixen envoltades per una decoloració gris clar anàloga a la descrita en el cas de BDA5.

**BDL2 (Figura C21):** Es tracta d'un nivell de lutites de color marró totxana amb decoloracions ocres. Existeix escassa bioturbació que està decolorada a tons gris clar. La matriu que envolta molts dels fòssils que s'han localitzat a la capa també presenta aquest color gris clar. Quasi no hi ha terrígens i els escassos nòduls carbonàtics tenen sempre mides molt petites. En aquest estrat s'han localitzat diverses estelles òssies rodades, així com altres restes identificables de macrovertebrats, i tres diàfisis de microvertebrats fòssils.



**Figura C21.** Nivell de micromamífers BDL2.

**BDL3:** Es tracta d'un nivell d'uns 2-2,5 m de potència, compost per lutites força terrígenes (llims) de color ocre a marronós amb taques de morfologia irregular i to vermellós. No s'observen nòduls carbonàtics ni intercalacions aparents amb capes gresoses o conglomeràtiques. Aquest nivell ha lliurat un fragment de maxil·lar d'un cricètid de mida mitjana on es distingeixen els dos primers molars superiors.

A continuació es dona un llistat del resultat de les mostres de prova per a cada nivell que fou analitzat, incloent la identificació taxonòmica i la peça anatòmica:

**BDL1:** Molar esquerra ( $M_1$ ). *Megacricetodon* cf. *gregarius* // Molar dreta trencada ( $M_2$ ). Cricetodontini indet. // Molar decidua dreta ( $dP^3$ ). cf. *Prolagus*.

**BDL2:** Premolar dreta ( $P_4$ ). Glirinae indet. // Molar esquerra ( $M_3$ ). Cricetodontini indet. // Molar ( $M_1$ ). *Plesiodymylus chantrei*.

**BDL3:** Fragment de maxil·lar amb sèrie dentària ( $M^1$ - $M^3$ ). Cricetodontini indet.

**BDA1:** Fragment de molar. Cricetidae indet. // Caròfits.

**BDA2:** Fragment de molar. Cricetidae indet.

**BDA3:** Molar dreta ( $M_1$ ). Cricetodontini indet.



BDA4: Fragment de molar. cf. *Prolagus*.

BDA5: Molar dreta (M<sub>3</sub>). *Megacricetodon* sp.

BDA6: Molar dreta (M<sup>1</sup>). *Democricetodon* cf. *larteti*. // Molar dreta (M<sub>3</sub>). Cricetodontini indet. // Fragment de molar. Cricetidae indet. // Premolar (P<sub>2</sub>). Galericipini indet. // Fragment de molar. Insectivora (?) indet. // 2 molars esquerres (M<sup>1</sup>) i una molar dreta (M<sup>1</sup>). *Megacricetodon* cf. *gregarius*.

BDA7: 2 molars esquerres (M<sup>1</sup>), molar dreta (M<sup>1</sup>) i molar dreta trencada (M<sub>2</sub>). *Megacricetodon* cf. *gregarius*. // Molar esquerra (M<sup>3</sup>). *Democricetodon* cf. *larteti*. // Molar dreta trencada (M<sup>1</sup>). *Democricetodon* sp. // Molar dreta (M<sup>1</sup>). *Muscardinus* cf. *hispanicus*. // Molar esquerra (M<sup>3</sup>). *Spermophilinus bredai*. // 2 premolars (P<sub>2</sub>). Erinaceidae indet.

BDA8: Molar dreta trencada (M<sub>2</sub>). Cricetodontini indet. // Molar esquerra (M<sup>3</sup>) i molar dreta trencada (M<sub>1</sub>). *Democricetodon* sp. // Fragment de molar dret (M<sub>1</sub>). *Democricetodon* cf. *larteti*. // Premolars dreta i esquerra (P<sup>4</sup>) i molar (M<sub>1</sub>). *Spermophilinus bredai*. // Fragment de molar. Sciuridae indet. // Fragment de premolar (P<sup>4</sup>). Erinaceidae indet. // Fragment de molar. Chiroptera indet.

C1-A1: Molars dreta i esquerra (M<sub>3</sub>). Cricetodontini indet. // Molar esquerra (M<sub>1</sub>). *Democricetodon* cf. *larteti*. Molar dreta (M<sub>2</sub>). *Megacricetodon minor*. Molar esquerra (M<sub>1</sub>). *Eumyarion* cf. *leemani*. // Hemimandíbula trencada i sense dents. Cricetidae indet. // Molar esquerra (M<sup>1</sup>). *Muscardinus* cf. *hispanicus*. // Molar (M<sub>1</sub>). *Plesiodymylus chantrei*. // Molar (M<sub>1</sub>). Galericipini indet. // Fragment d'hemimandíbula. Squamata indet.

C1-A3: Molar esquerra (M<sub>2</sub>). *Democricetodon* cf. *gaillardi*. // Premolar esquerra (P<sub>4</sub>) i molar esquerra (M<sub>3</sub>). *Spermophilinus bredai*.

C1-A4: Molar dreta (M<sub>2</sub>). Cricetodontini indet. // Molar dreta trencada (M<sub>2</sub>). cf. *Democricetodon* sp. // Molar dreta (M<sub>1</sub>). *Democricetodon* cf. *gaillardi*. // Molar dreta (M<sub>3</sub>). Cricetidae indet. // Incisiva inferior tetracuspidada (I<sub>2</sub>). Soricidae indet.

C1-A5: 2 molars esquerres (M<sub>2</sub>). *Megacricetodon* cf. *gregarius*. // Fragment de molar (M<sub>2</sub>?). Cricetidae indet.

C1-C1: 2 molars (M<sub>1</sub> i M<sup>1</sup>). Cricetodontini indet.

C1-C3: Molar (M<sup>2</sup>). *Megacricetodon* cf. *gregarius*. // Fragment de dent. Insectivora/Carnivora.

C1-C4: Molar dreta (M<sub>2</sub>). *Democricetodon* cf. *gaillardi*.

C1-D1: Molars dretes (M<sup>1</sup> i M<sup>2</sup>). *Democricetodon* cf. *larteti*. // Molar dreta (M<sup>2</sup>). Cricetidae indet. 1. // Fragment de molar. Cricetidae indet. 2. // Molar esquerra (M<sub>1</sub>). Gliridae indet. // Molar dreta (M<sub>2</sub>). *Spermophilinus bredai*. // Fragment de molar. Ochotonidae indet. // Incisiva superior (I<sup>2</sup>). Soricidae indet.

C1-E1: Molar esquerra (M<sup>1</sup>). *Megacricetodon* cf. *gregarius*. // Molar dreta (M<sub>2</sub>). *Democricetodon* cf. *larteti*.

C1-E2: Fragment cranial. Mammalia indet (mida petita).

C1-E3: Dues molars dretes (M<sup>1</sup>). *Megacricetodon* cf. *gregarius*.

C1-E4: Molars esquerra (M<sub>1</sub>) i dreta trencada (M<sub>1</sub>). *Cricetodon* cf. (*Pararuscinomys*) *lavocati*. // Molar esquerra (M<sub>1</sub>). Cricetodontini indet. // Molar esquerra (M<sup>2</sup>). *Democricetodon* cf. *larteti*. // Molar (M<sub>3</sub>). *Democricetodon* sp. // Premolar (P<sub>4</sub>). Erinaceidae indet.

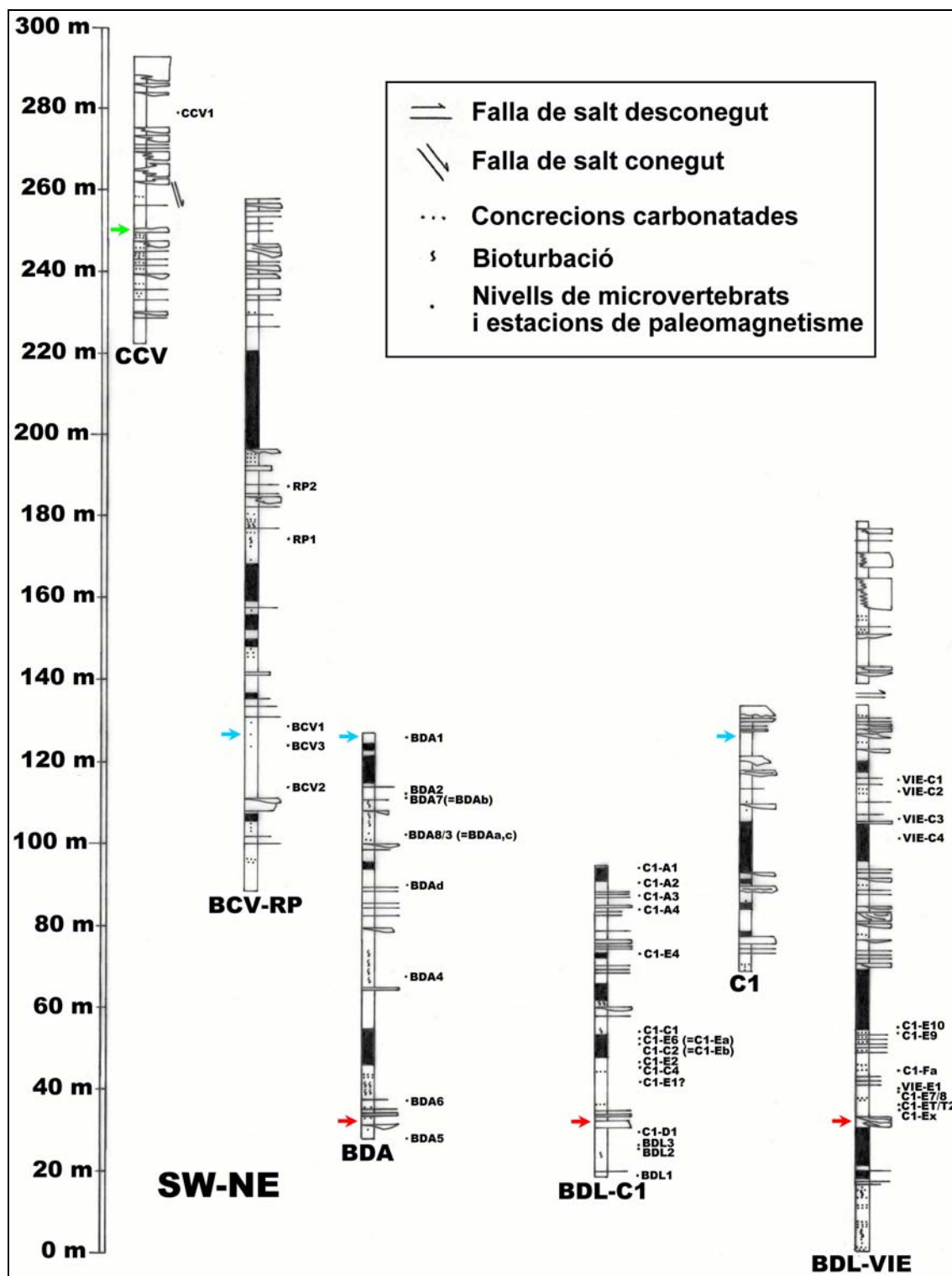
C1-E5: 3 fragments de molar. Cricetidae indet.

- C1-E6: Molar dreta (M<sup>1</sup>). *Democricetodon* cf. *larteti*. // Molar (M<sup>102</sup>). *Albanensia* cf. *albanensis*.
- C1-E7/E8: Molars dretes (M<sup>1</sup> i M<sup>2</sup>) i esquerra (M<sub>3</sub>). *Megacricetodon* cf. *gregarius*. // Fragment de molar. Cricetidae indet. // Molar (M<sub>1</sub>). Crocidusoricinae indet.
- C1-E9: 2 molars (M<sup>2</sup> i M<sub>2</sub>) i 2 molars trencades (M<sup>1</sup>). *Cricetodon* (*Pararuscinomys*) *lavocati*. // 2 molars (M<sup>2</sup> i M<sub>3</sub>) i 3 molars trencades (M<sup>1</sup>, M<sup>1</sup> i M<sub>1</sub>). *Megacricetodon* cf. *gregarius*. // Fragment de dent germinal. cf. *Prolagus* sp. // 3 fragments de dent. Insectivora indet. // Molar. Chiroptera (?). // Molar o premolar. Mustelidae indet. // Molar i fragments dentaris. Viverridae indet.
- C1-E10: Hemimandíbula dreta amb sèrie dentària (M<sub>1</sub>-M<sub>3</sub>). *Cricetodon* sp. // Molars trencades (M<sup>1</sup> i M<sup>2</sup>). *Megacricetodon* cf. *gregarius*. // Molar (M<sub>3</sub>). *Democricetodon* cf. *larteti*. // 2 fragments de molar. Cricetidae indet. // 2 fragments de molar. Cricetidae/Insectivora. // 2 incisives. Mammalia indet.
- VIE-C3: Molar esquerra (M<sup>1</sup>). *Cricetodon* (*Pararuscinomys*) *lavocati*. // Molars esquerres (M<sup>1</sup> i M<sup>2</sup>) i premolar dreta (P<sup>4</sup>). *Albanensia albanensis*.
- VIE-C4: Fragment de molar. Sciurinae indet.
- VIE-E1: Premolar (P<sub>3</sub>). cf. *Prolagus*.
- CCV1: Molar dreta (M<sub>2</sub>). Cricetodontini indet. // Molar dreta (M<sub>1</sub>). *Megacricetodon* cf. *gregarius*. // Molar dreta (M<sup>2</sup>). *Eumyarion* cf. *leemani*.

Totes les mostres de prova han estat restaurades, muntades i arxivades en una base de dades, així com les restes lliurades pel triatge dels nivells C1-E9, C1-E4 i BDL1. Com es pot veure, a les mostres de prova sovint el material és massa escàs o fragmentari com per a poder precisar la seva atribució taxonòmica. Així en molts casos no s'arriba ni tan sols al gènere. Les identificacions incertes, ja sigui a nivell de gènere (p.ex. *Democricetodon* sp.) o a nivell d'espècie amb la convenció "cf." (p.ex. *Democricetodon* cf. *gaillardi*) són degudes al fet de disposar de poc material, i no s'han fet constar a la llista faunística perquè s'assumeix que corresponen a les espècies ben identificades (p.ex. *Democricetodon gaillardi*). La identificació taxonòmica serà més fiable quan s'acabi el triatge de les mostres i es disposi de més material. De moment el triatge està portant-se a terme a l'IPS. Les restes recuperades estan en estudi, i de moment només es poden oferir resultats corresponents al nivell C1-E9, el qual ha lliurat una fauna composta únicament per espècies de cricètids (vegeu Apèndix 2). També s'ha triat completament el nivell BCV1, que fou localitzat durant la intervenció a la qual fa referència aquesta memòria, però que fou recol·lectat en el transcurs de l'excavació d'urgència paral·lela, dirigida per Salvador Moyà-Solà i Meike Köhler; per aquest motiu, en aquesta memòria no es detallen les restes trobades en aquest nivell, malgrat que sí s'inclouen les espècies trobades a la llista faunística.

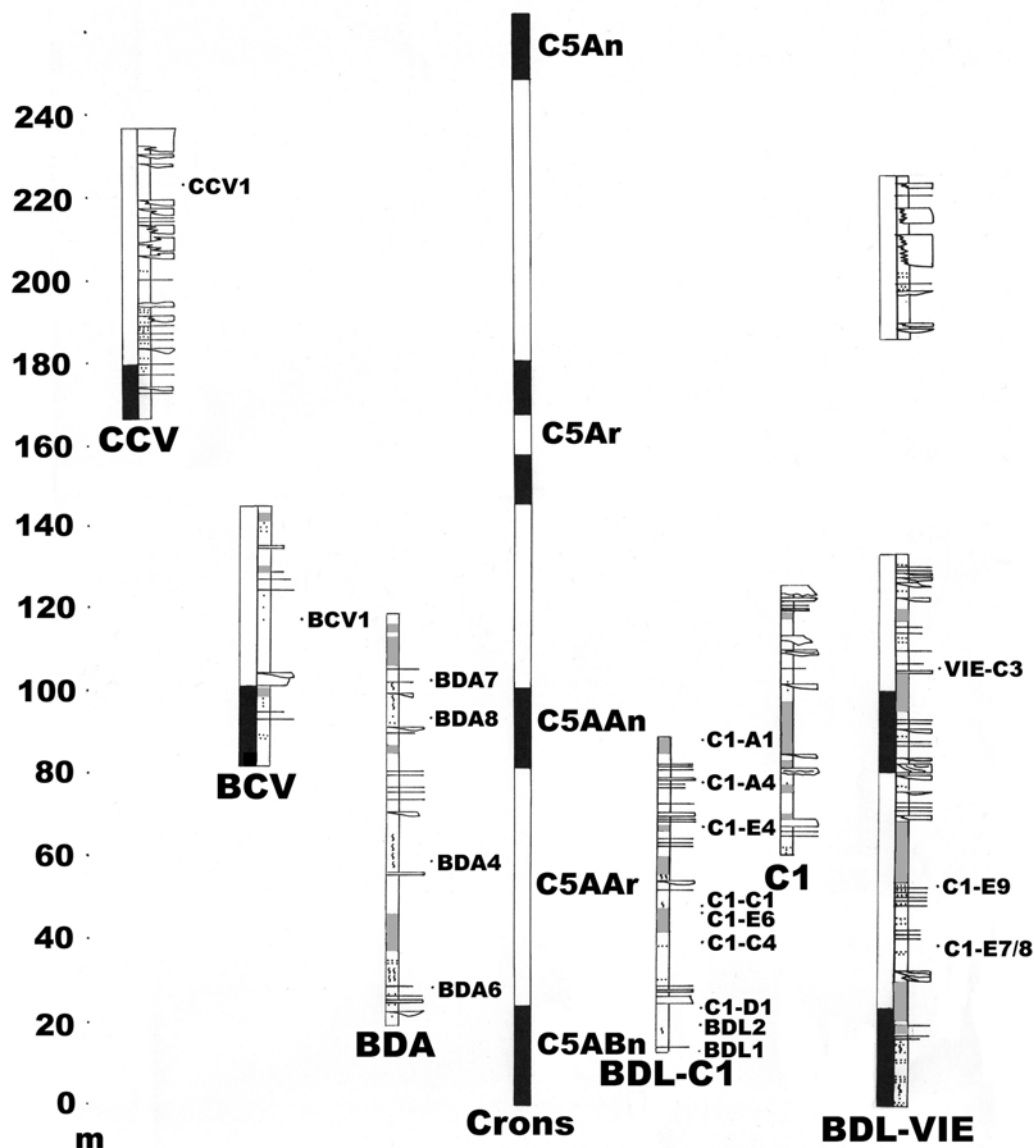
**Enregistrament de la informació associada.**—Els 6 perfils estratigràfics (columnes) realitzats a escala 1:200 es troben representats a la Figura C24. A la Figura C22 s'ha reproduït la correlació litostratigràfica de la zona d'afectació de les obres, mentre que a la Figura C23 s'ha reproduït la correlació magnetostatigràfica provisional. Els perfils, que abasten un total de 293 m de sèrie, han estat anomenats amb els següents acrònims: BCV-RP, BDA, CCV, BDL-C1 (talús oest), C1 (talús nord) i BDL-VIE. S'ha procedit a agrupar els

perfils BCV-RP en un de sol, i sintetitzar la litologia per tal d'obtenir una millor representació.



**Figura C22.** Correlació litostratigràfica dels perfils realitzats a les obres de Nova Fase del Dipòsit Controlat de Can Mata. Les zones pintades de negre corresponen a trams coberts per Quaternari o bé per terraplens de l'obra.





**Figura C23.** Esquema de correlació magnetostratigràfica local elaborat a partir de les dades provisionals aportades per Bet Beamut i Miguel Garcés. La columna central representa l'Escala de Temps de Polaritat Magnètica. Les zones pintades de negre de la banda esquerra dels perfils es corresponen amb els trams de polaritat normal, i les blanques amb els trams de polaritat inversa. Les zones pintades de gris, en la columna litològica, es corresponen amb les zones cobertes o terraplenades.

**Figura C24.** (Pàgines següents) Perfils litostratigràfics de la zona d'afectació de les obres, i llegenda corresponent. En cada un d'aquests perfils s'observen tres columnes: la de l'esquerra indica la coloració dels materials, la del centre indica el percentatge litològic dels diferents nivells considerats, i la de la dreta indica la litologia i les estructures sedimentàries. La situació dels nivells de macro- i microvertebrats s'ha representat amb punts seguits dels seus acrònims, mentre que la de les estacions de mostratge de paleomagnetisme s'ha indicat punts seguits d'acrònims propis (VI, CV i CM) seguits d'un número correlatiu simple. La coloració indicada a la primera columna és aproximativa, ja que el color dels diferents materials representats varia en funció del grau d'humitat, la qualitat de la llum durant la seva observació i la subjectivitat pròpia de l'observador.

## BDL-VIE (1/4)

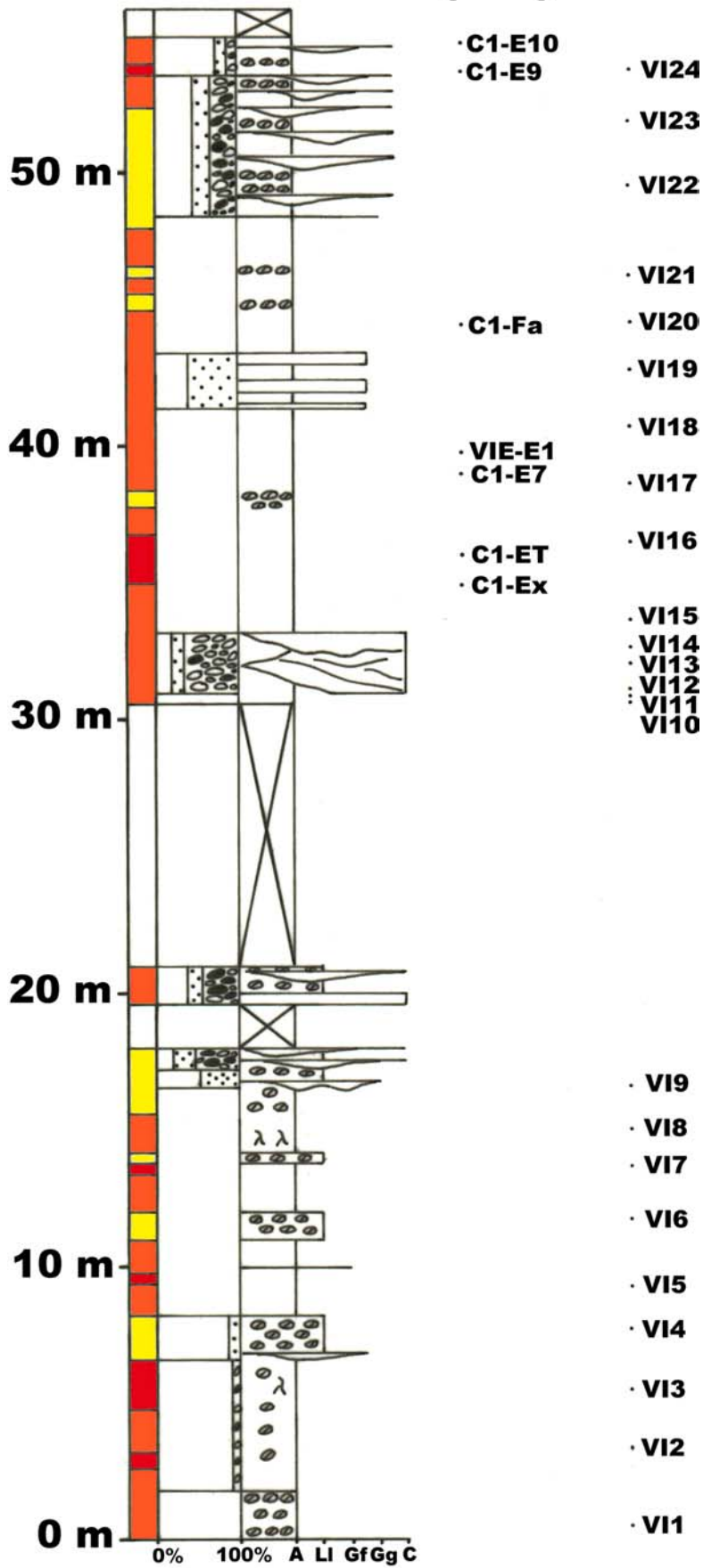


Figura C24. (Continuació).

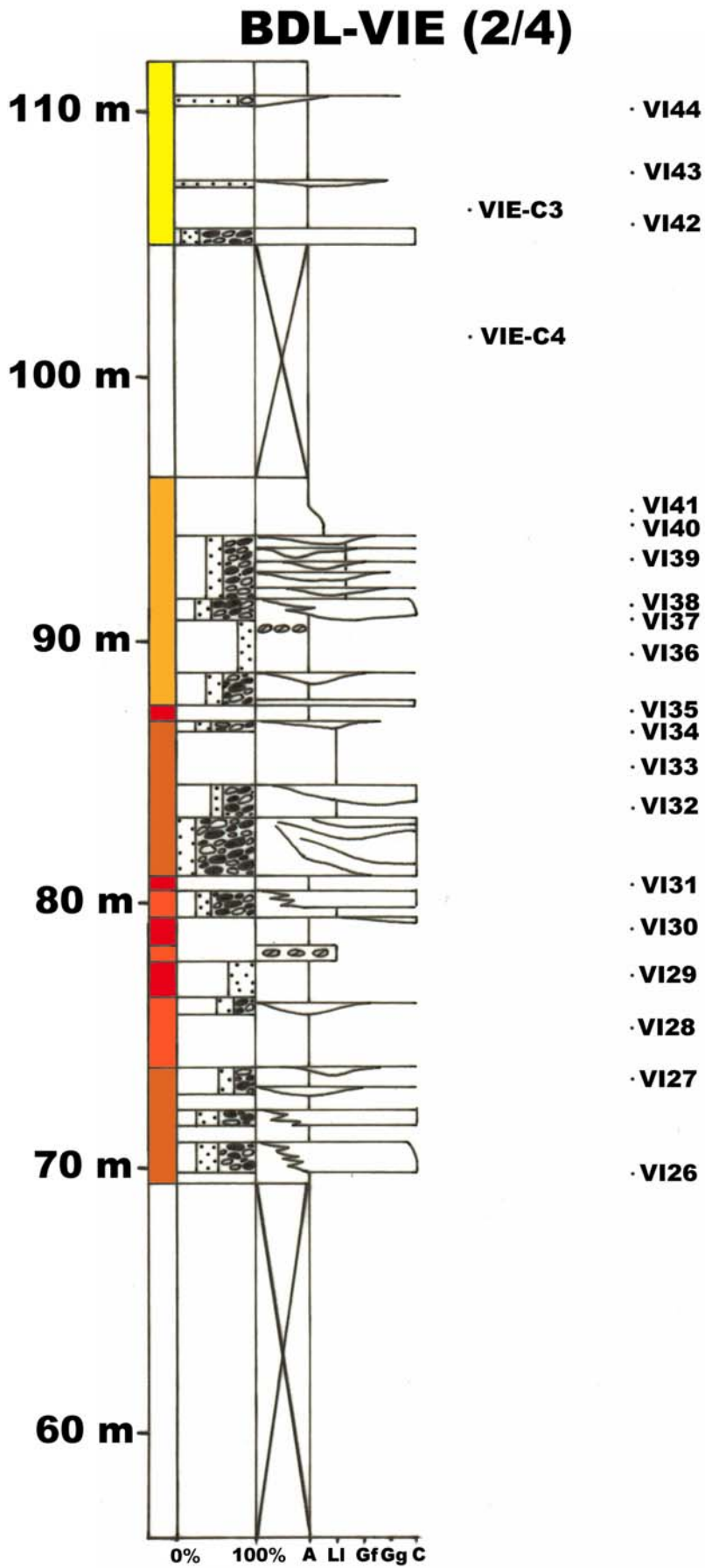


Figura C24. (Continuació).



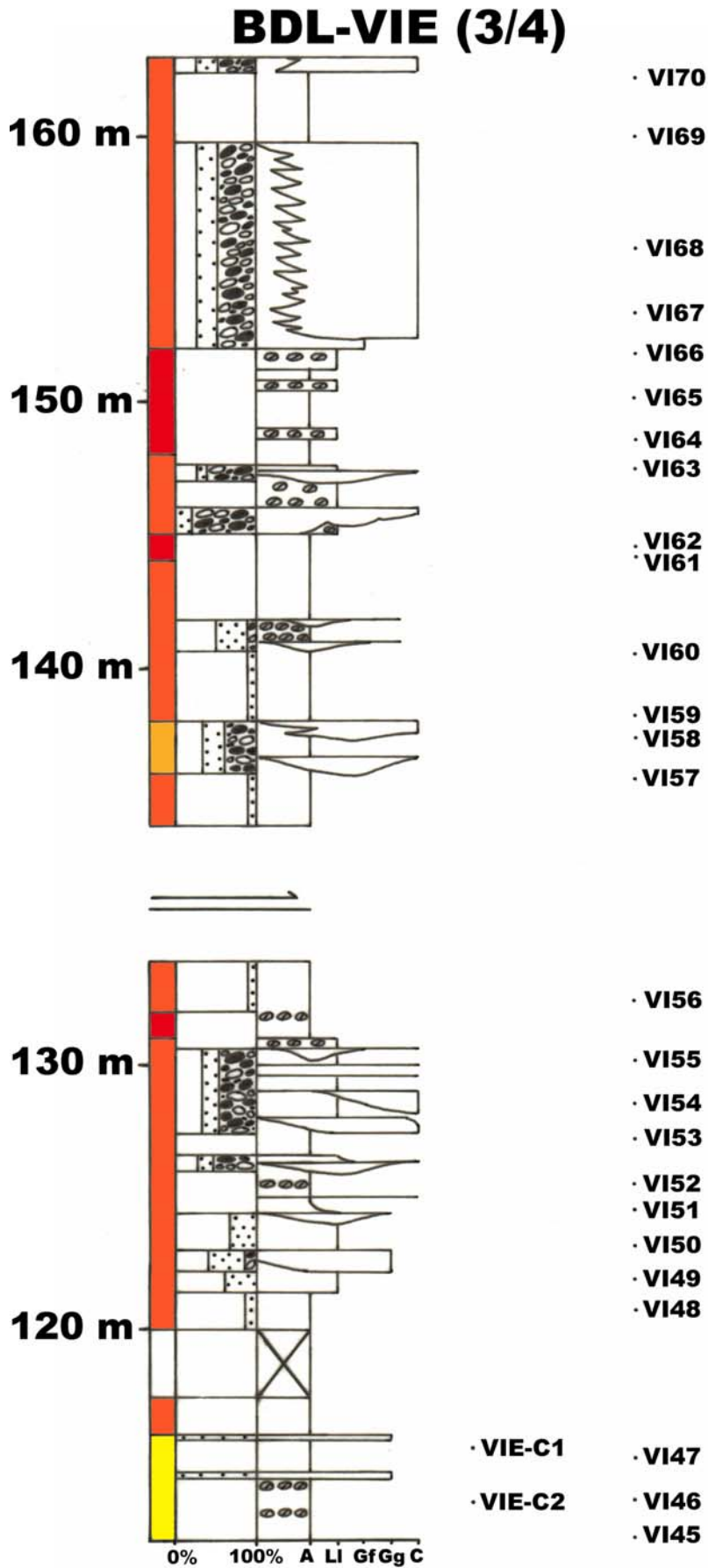


Figura C24. (Continuació).

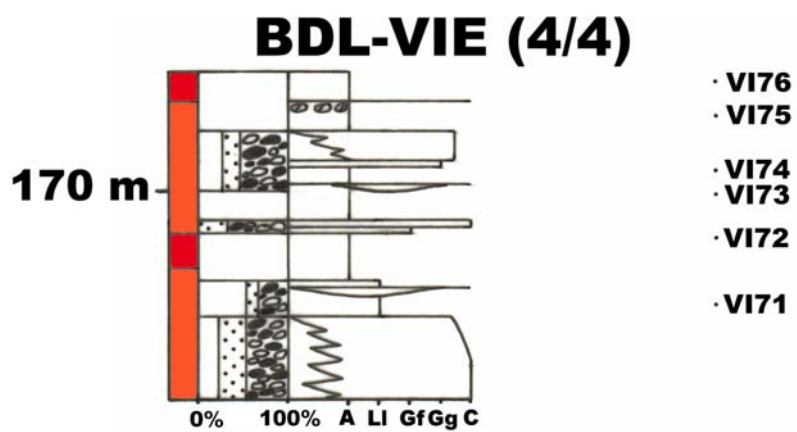


Figura C24. (Continuació).

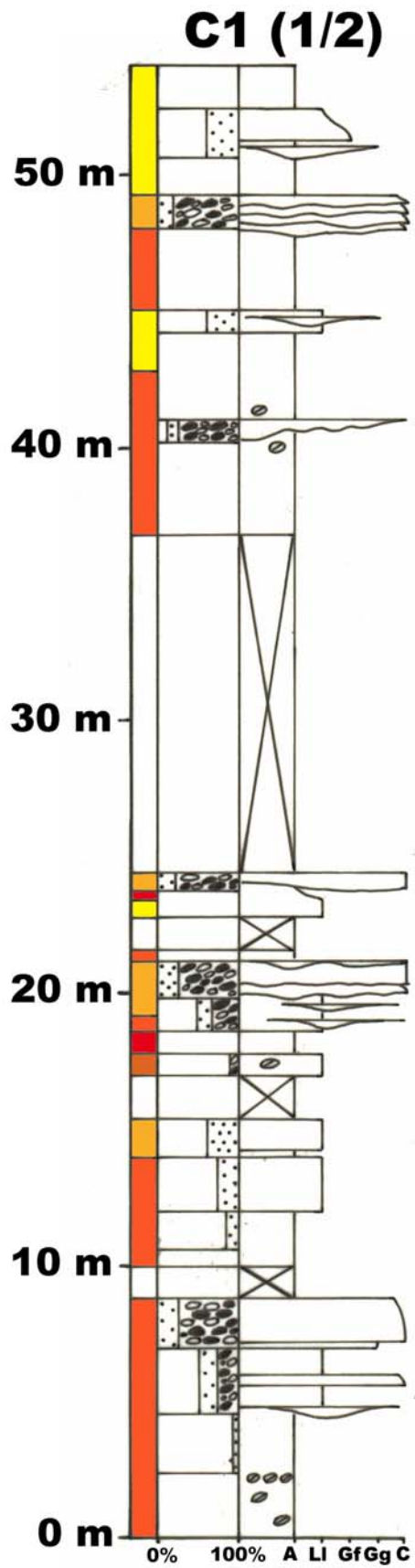


Figura C24. (Continuació).



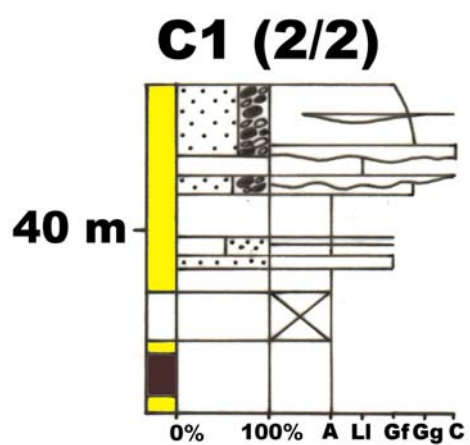


Figura C24. (Continuació).

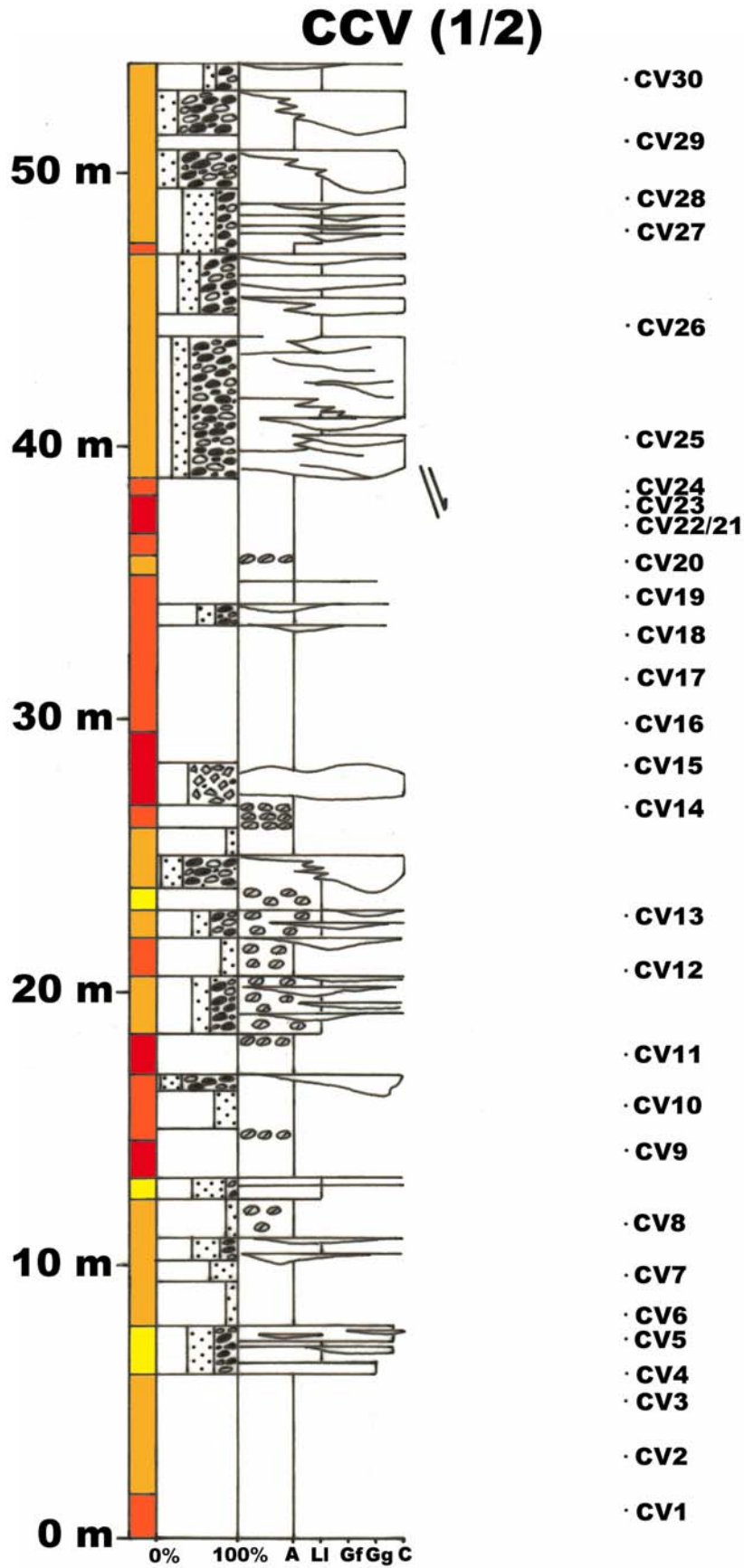


Figura C24. (Continuació).

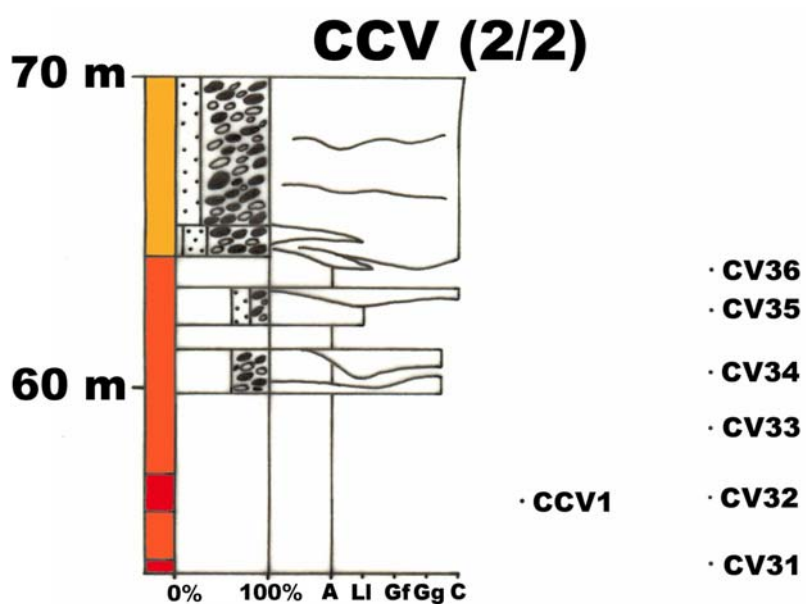


Figura C24. (Continuació).



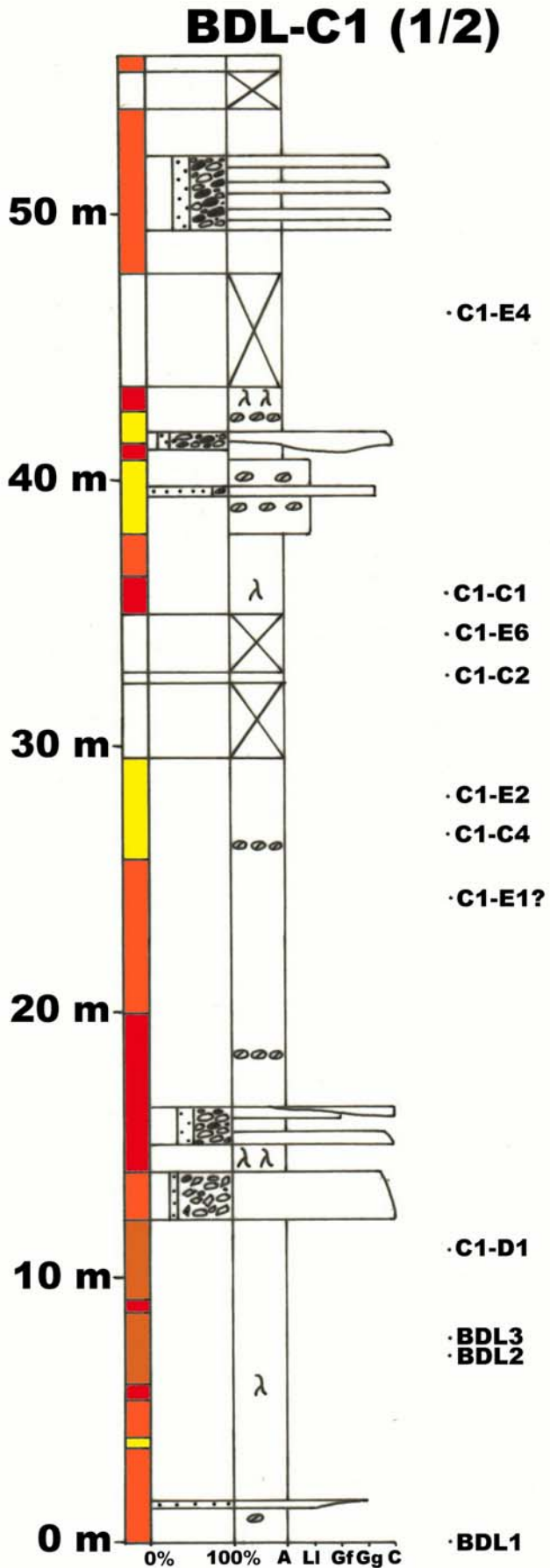


Figura C24. (Continuació).

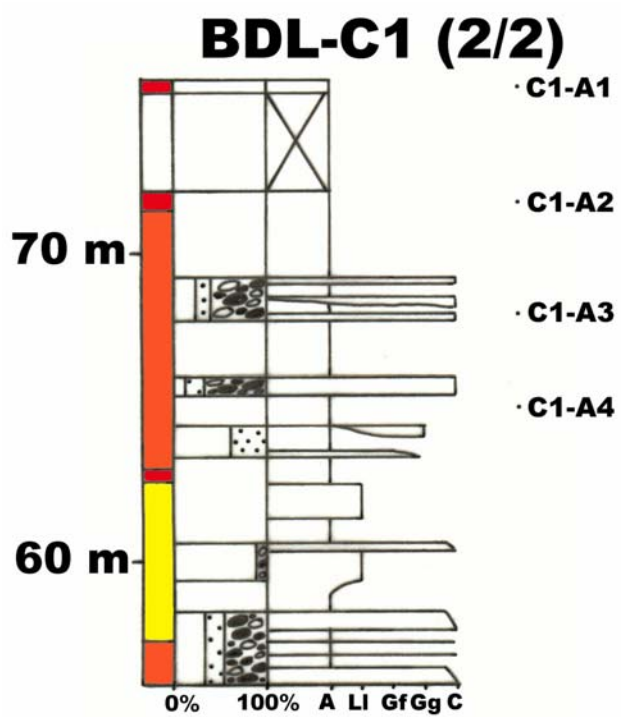


Figura C24. (Continuació).

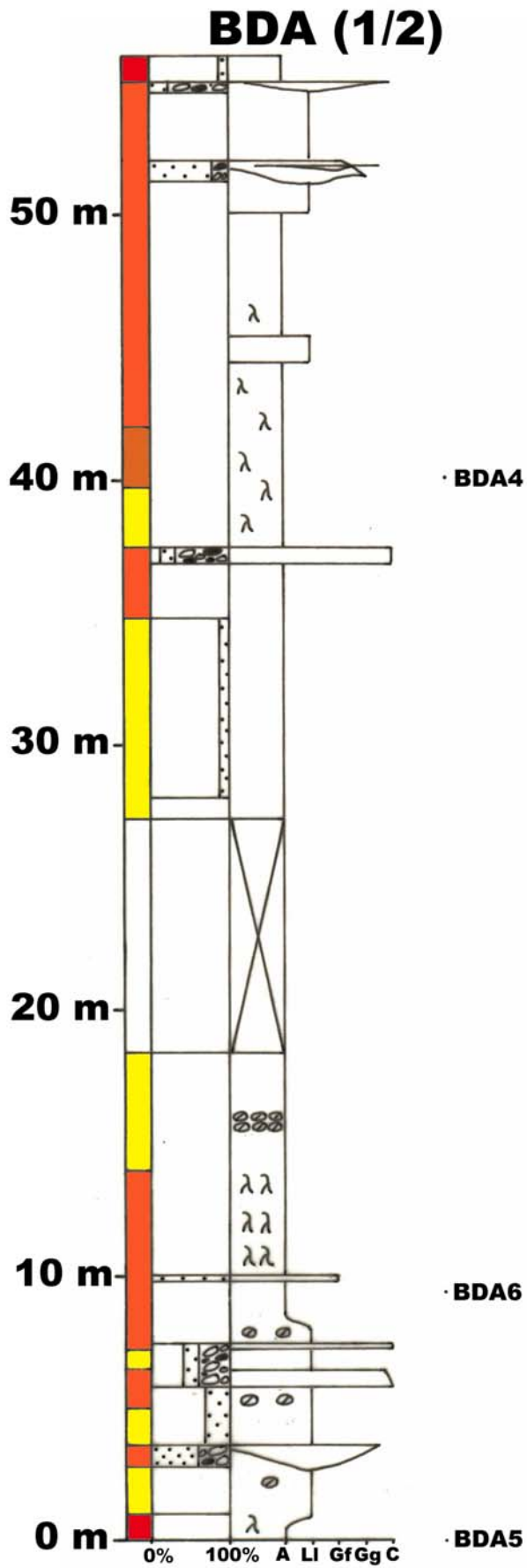


Figura C24. (Continuació).



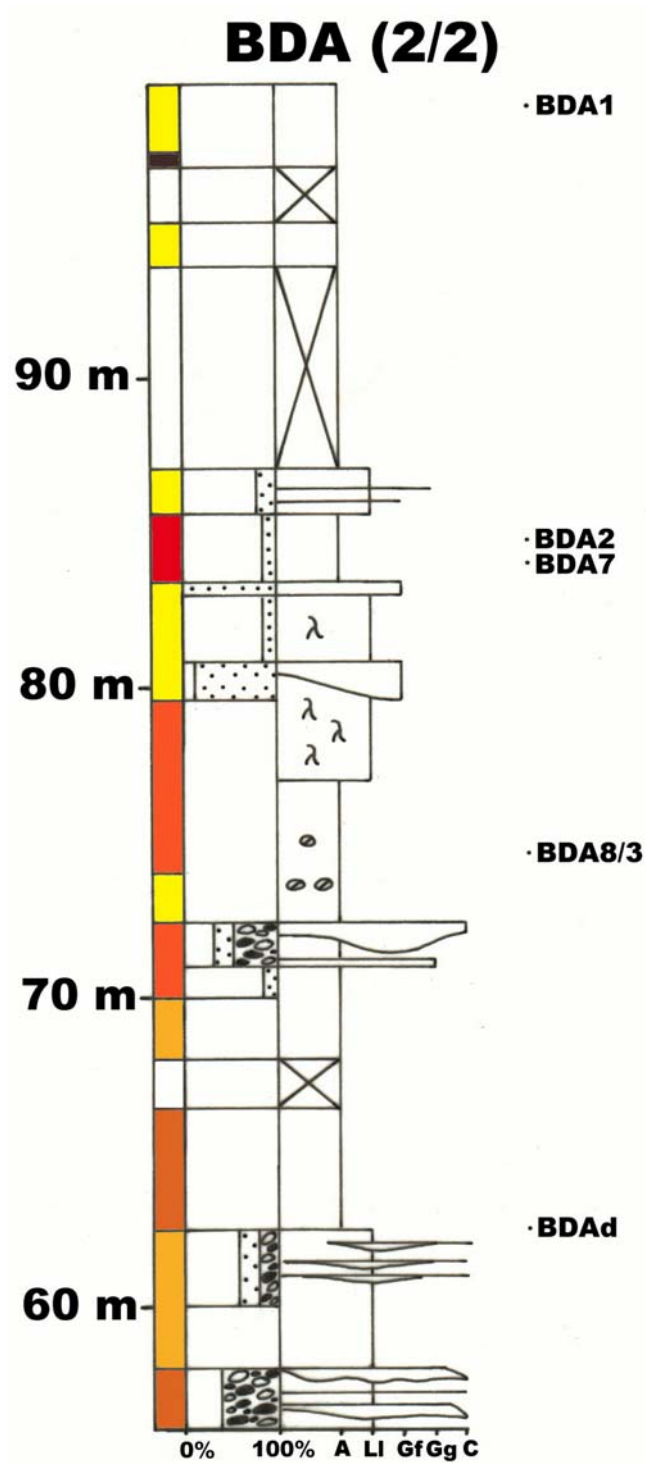


Figura C24. (Continuació).

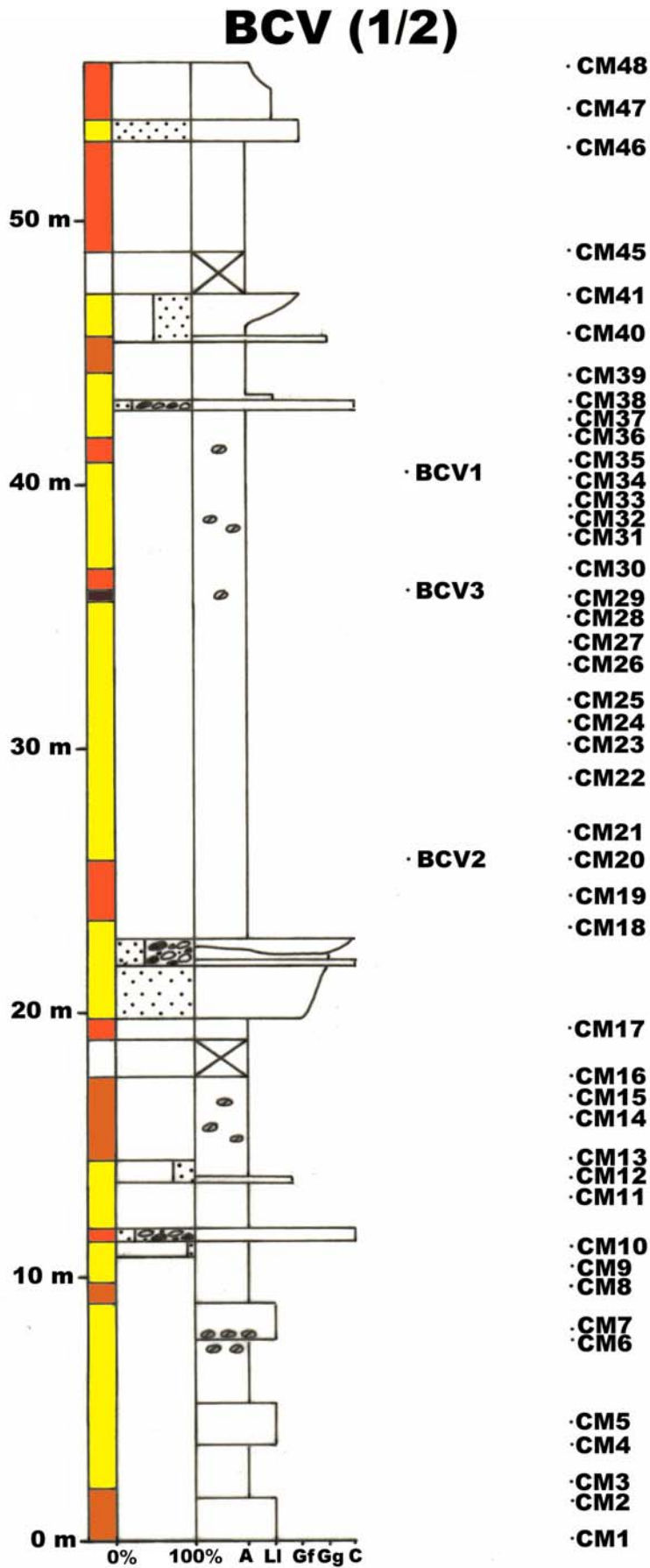


Figura C24. (Continuació).

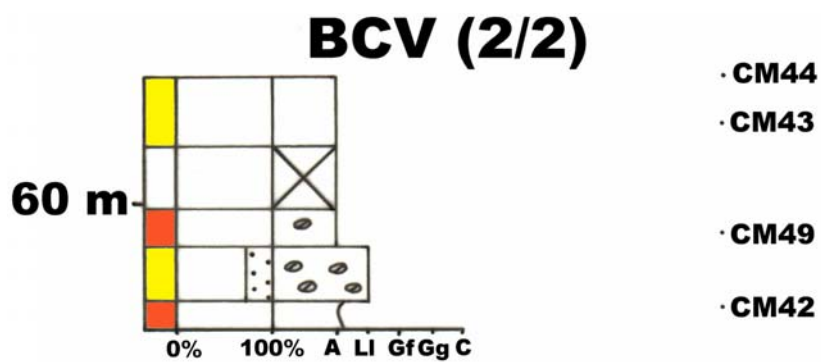


Figura C24. (Continuació).



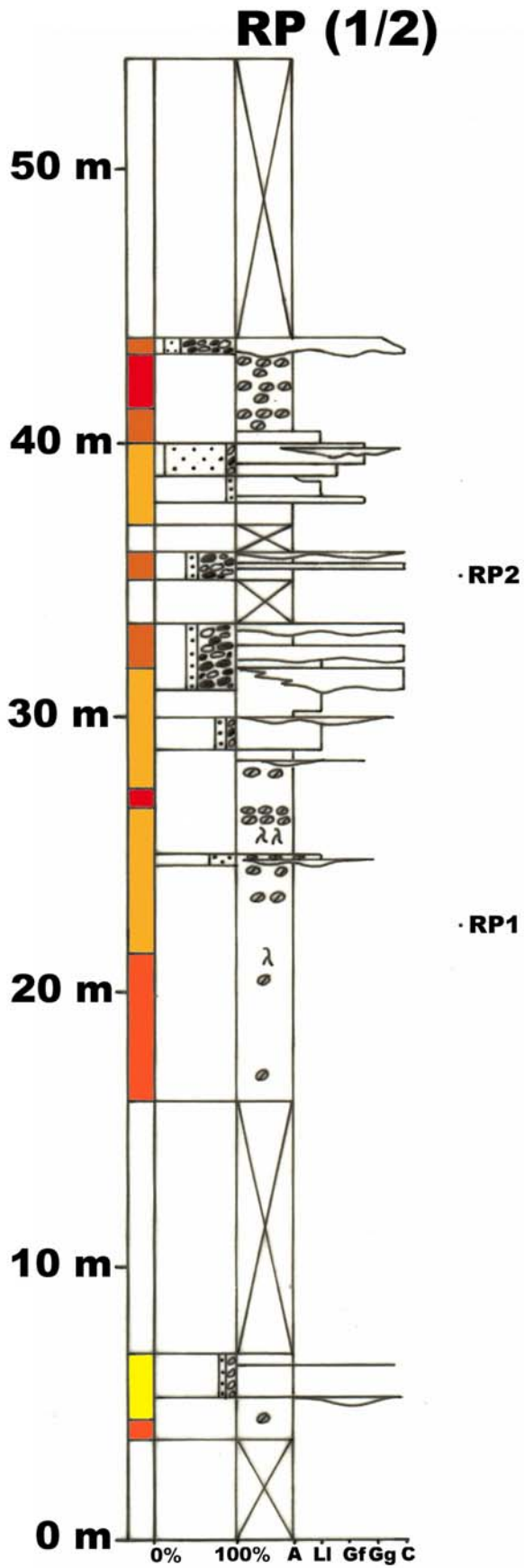


Figura C24. (Continuació).

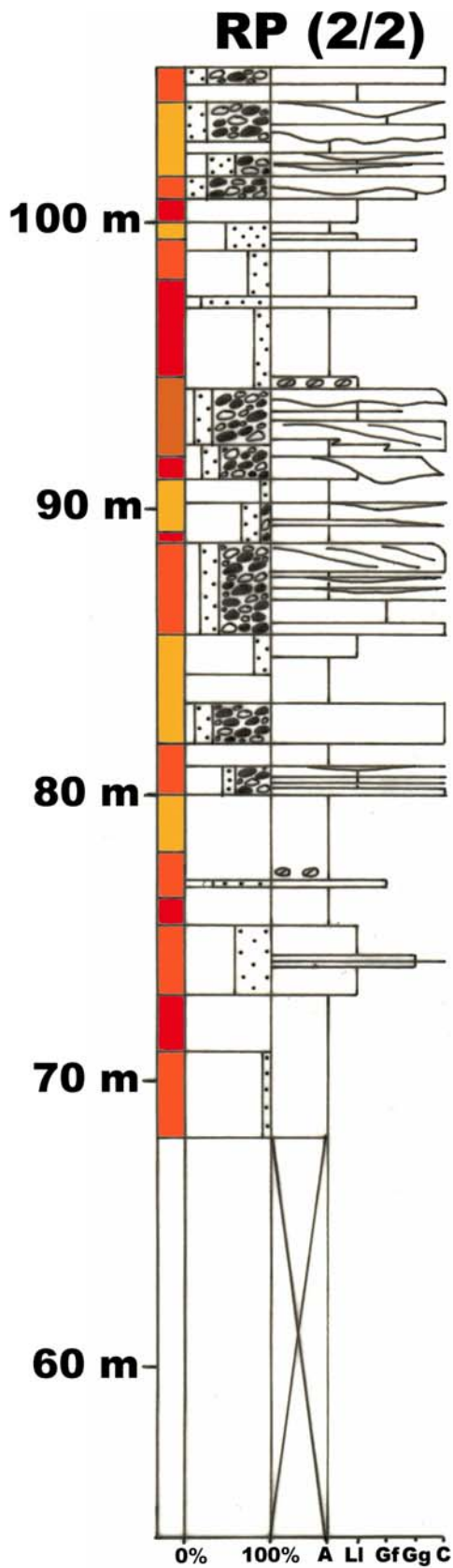


Figura C24. (Continuació).



Figura C24. Llegendada.



**Figura C25.** Lutites de colors ocres groguencs i vermellorsos amb presència ocasional d'algun nivell de gruix mètric de conglomerats. A la fotografia presa al sector C1-E (abans d'iniciar-se les obres d'excavació), s'observa el resalt per erosió diferencial del nivell de conglomerats de certa continuïtat lateral emprat en la correlació litostratigràfica. Aquest nivell, indicat amb una fletxa, es troba emmascarat parcialment per les lutites erosionades dels trams superiors.



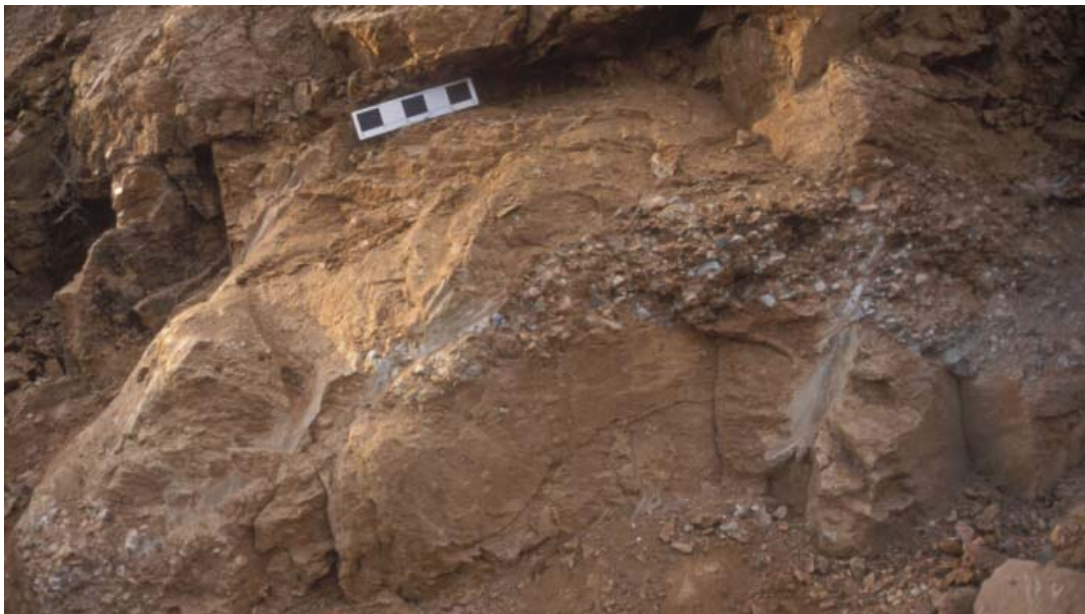
Aquesta correlació ha estat efectuada en base a la presència de:

- a) Un nivell d'argiles de coloració fosca atribuïble a un paleosòl present en els perfils BCV, BDA i C1 (assenyalat per una fletxa blava a la Figura C22).
- b) Un nivell de conglomerats present en els perfils BDL-VIE, BDL-C1 i BDA (assenyalat per una fletxa vermella a la Figura C22; vegeu també Figura C25). Es caracteritza per una certa continuïtat lateral d'ordre decamètric, pel fet de ser força heteromètric, i per la composició molt dominant dels clastes de procedència paleozoica.

Els materials observats durant la realització dels treballs de camp dels perfils i de la cartografia litostratigràfica, a la zona afectada per la primera fase de les obres, són dominantment lutítics amb intercal·lacions, ocasionals a la base i més freqüents a sostre, de conglomerats (p.ex., Figures C26 i C27), gresos conglomeràtics i gresos. Les lutites (llims i argiles) són de colors vermellosos (ocasionalment amb tonalitats granatoses) i ocres groguencs. Aquestes coloracions s'alternen en trams de gruixos mètrics a decamètrics. Presenten nòduls més o menys abundants, crostes relacionades amb processos edàfics, i bioturbació atribuïble a arrels (rizocrecions: Figura C28), així com freqüents taques de decoloració. Els conglomerats són polimíctics i heteromètrics, la matriu és llimosa a sorrenca, el grau de cimentació és variable, en general són massius, presenten les bases erosives i canvis laterals molt ràpids. En alguns casos els conglomerats són multiepisòdics (veure perfils de CCV i BDL-VIE: Figura C24). En altres, es troben constituïts per una amalgama de nivells conglomeràtics, de gruix proper al metre amb les bases i els sostres de morfologia lenticular que passen de manera molt ràpida lateralment a gresos i llims (veure perfils de CCV i BDL-VIE: Figura C24). Les litologies dominants dels clastes són roques metamòrfiques paleozoïques, i en menor percentatge relatiu carbonats mesozoïcs, roques ígnies paleozoïques i quars. En alguns casos s'observa, però, que els clastes que constitueixen els conglomerats presenten la mateixa proporció relativa de roques metamòrfiques paleozoïques i carbonats mesozoïcs. Cal esmentar per la seva singularitat la presència d'un nivell de bretxes, situat en la columna CCV (assenyalat per una fletxa verda a la Figura C22) i observable a l'entorn del metre 27 del perfil CCV (veure Figura C24). El seu gruix és d'1,5 m, la seva matriu és lutífica i de color vermell granat, i els clastes són en la seva pràctica totalitat de procedència paleozoica (roques metamòrfiques, ígnies i quars). La seva base és lleugerament ondulada, mentre que el sostre presenta una morfologia ondulada més evident, i un trànsit gradual a les argiles de coloració també granat. Finalment cal comentar que els paleocorrents mesurats a les bases erosives en solc dels nivells conglomeràtics ens indicarien una direcció dels aports sedimentaris situada entre l'W i el NNE (vegeu la cartografia geològica a la Figura A6). Per tant amb les dades sedimentològiques existents es dedueix que els materials observats corresponen a ambients sedimentaris marginals a distals de ventalls al·luvials, és a dir, a les zones més planes i exteriors d'aquests dipòsits sedimentaris.

Durant el treball de camp s'han localitzat dues falles normals. Una de salt situat entre els 2,5 i els 3 m en el perfil CCV, i una altra en el perfil BDL-VIE de salt desconegut, però amb un ordre de magnitud entre mètric i decamètric (vegeu correlació litostratigràfica i perfils CCV i BDL-VIE: Figures C22 i C24,

respectivament). Probablement, el salt i l'entitat de la segona fractura podran ser determinats amb més precisió un cop es disposi de les dades biocronostratigràfiques i magnetostratigràfiques definitives. Les dades proporcionades per la cartografia litostratigràfica, conjuntament amb les estratigràfiques, de les zones afectades per les obres d'aquesta primera fase, s'han integrat amb les existents d'informes previs (Galindo 2001) en la cartografia geològica presentada (Figura A6).



**Figura C26.** Alternança entre lutites de color vermellós i nivells de conglomerats de gruix decimètric, morfologia lenticular i molt poca continuïtat lateral.



**Figura C27.** Tram amb alternança entre llims de color marró clar i nivells de gruix decimètric de conglomerats (a la part superior de la fotografia), i un altre inferior d'argiles amb intercal·lacions ocasionals de nivells conglomeràtics de gruix decimètric. Els nivells conglomeràtics, del tram superior, presenten morfologies lenticulars i molt poca continuïtat lateral, apreciables gràcies a l'erosió diferencial desenvolupada sobre el talús. A la part més baixa de la fotografia es troba un nivell d'argiles de color vermellós. Aquest tram amb alternança entre llims i conglomerats correspon aproximadament als metres 87 a 94 del perfil BDL-VIE.



**Figura C28.** Concreció carbonatada de color blanquinós amb decoloració grisa al seu entorn, atribuïble a arrels.

A l'entorn de la segona quinzena del mes de desembre de 2003 es va acabar l'anàlisi de laboratori de les mostres de paleomagnetisme. Actualment, a falta de la pràctica totalitat de les dades definitives biostratigràfiques, es pot disposar de la seqüència magnetostratigràfica provisional representada a la Figura C23. Aquest esquema s'ha realitzat apartir de la construcció de les dades biostratigràfiques aportades per la localitat o nivell de micromamífers BCV1 (Casanovas-Vilar *et al.*, en prep.).

#### **D.1. Llista faunística:**

Pel que fa als micromamífers, el triatge encara s'està duent a terme, i per tant no és possible oferir una llista faunística completa. En quant als macromamífers, molts dels fòssils resten emmagatzemats a l'espera de ser restaurats, i per tant les determinacions taxonòmiques presentades, llevat d'algunes excepcions, són temptatives i provisionals. Així doncs, la llista faunística reproduïda a la Taula 2 s'ha de considerar merament com una aproximació. Segons aquesta llista faunística provisional, en el conjunt de tota la seqüència estratigràfica afectada hi hauria com a mínim 47 espècies de vertebrats terrestres, de les quals 5 correspondrien a rèptils i 40 a mamífers (20 micromamífers i 22 macromamífers).



**Taula 2.** Llista faunística provisional de la Nova Fase del Dipòsit Controlat de Can Mata. Les espècies assenyalades amb un asterisc només s'han trobat al jaciment de Can Vila, del qual no se n'ha detallat el contingut de les mostres de prova de microvertebrats perquè aquestes es varen recuperar en les excavacions paral·leles dirigides per Salvador Moyà-Solà i Meike Köhler.

Classe REPTILIA

Ordre TESTUDINES

Família Testudinidae

*Cheirogaster* sp.

"*Testudo*" sp.

Ordre SQUAMATA

Família Lacertidae *indet.*

Família Anguidae *indet.*

Família Colubridae *indet.*

Classe MAMMALIA

Ordre INSECTIVORA

Família Dimylidae

*Plesiodimylus chantrei*

Família Erinaceidae

Galericini *indet.*

Família Soricidae

Crocidosoricinae *indet.*

Família Talpidae

*Talpa* cf. *vallensiensis*\*

Ordre CHIROPTERA *indet.*

Ordre RODENTIA

Família Cricetidae

*Cricetodon lavocati*

*Democricetodon gaillardi*

*Democricetodon larteti*

*Eumyarion* cf. *leemani*

*Eumyarion* aff. *leemani*\*

*Megacricetodon* cf. *gregarius*

*Megacricetodon minor*

Família Gliridae

*Bransatoglis* sp.\*

*Muscardinus* cf. *hispanicus*

*Muscardinus sansaniensis*\*

*Microdyromys complicatus*\*

*Glirudinus undosus*\*

*Paraglrirulus werenfelsi*\*

Família Sciuridae

*Spermophilinus bredai*

*Albanensia albanensis*

Ordre LAGOMORPHA

Família Ochotonidae

cf. *Prolagus* sp.

Ordre PRIMATES

Hominoidea *indet.*

Família Hominidae

*Pierolapithecus catalaunicus*

Ordre CARNIVORA

Família Mustelidae *indet.*

Família Viverridae *indet.*

Família cf. Felidae *indet.*

Família Hyaenidae *indet.*

Ordre PERISSODACTYLA

Família Chalicotheriidae

*Chalicotherium grande*

Família Equidae

*Anchitherium* s.l. sp. nov.

Família Rhinocerotidae

Rhinocerotidae *indet.*

*Alicornops simorreense*

Ordre ARTIODACTYLA

Família Tragulidae

*Dorcatherium* cf. *nau*

Família Bovidae

*Myotragocerus* sp.

Família Moschidae

*Micromeryx flourensianus*

Família Cervidae

*Euprox furcatus*

*Heteroprox larteti*

Família Suidae

*Listriodon splendens*

*Propotamochoerus*

*palaeochoerus*

*Albanohyus pygmaeus*

*Conohyus* sp.

Ordre PROBOSCIDEA

Família Deinotheriidae

*Deinotherium giganteum*

Família Gomphotheriidae

*Gomphotherium* sp.

*Tetralophodon* sp.

## **D. DISCUSSIÓ**

### **D.1. Geologia:**

L'anàlisi de les dades geològiques obtingudes durant la intervenció no es troba finalitzada. Els materials estudiats es relacionen amb els observats i descrits a la riera de Claret. En la seva gran majoria, les obres d'aquesta primera fase, s'han realitzat sobre la unitat Ml. Únicament la part mitjana i superior de CCV correspondria als materials de la unitat Mlc. Una de les característiques d'aquesta unitat és el fet de presentar a la base bretxes monomíctiques (roques metamòrfiques, ígnies i quarsos paleozoics), amb la matriu llimosa i de color vermell intens. El nivell de bretxes observat, a l'entorn del metre 27 del perfil CCV (Figura C24) i indicat per una fletxa verda a la correlació litostratigràfica (Figura C22), assenyalaria per tant la base de la unitat Mlc. Des d'aquest nivell de bretxes cap a sostre del perfil CCV es manifesta la presència d'una alternança de nivells de conglomerats de gruix mètric amb lutites.

De l'observació dels perfils de la correlació litostratigràfica es pot deduir que les fàcies més marginals de la unitat Ml es localitzarien al SW, mentre les més distals al NE. Els nivells conglomeràtics situats entre els metres 152 i 166 del perfil BDL-VIE probablement assenyalaria una zona propera al trànsit lateral amb la unitat Mlc, actualment no visible degut al fet de restar coberta pel dipòsit controlat en curs de clausura.



**Figura D1.** Falla B, detectada al VIE-B. Les fletxes indiquen el pla de falla. Al terç superior de la fotografia s'observen uns conglomerats de gruix mètric i entitat cartogràfica, que malgrat que no s'aprecii bé a la fotografia, es troben constituïts per una amalgama de nivells conglomeràtics, de gruix proper al metre amb les bases i els sostres de morfologia lenticular, que passen lateralment a gresos i llims de manera molt ràpida.

Els dipòsits miocens estudiats i els situats en el seu entorn més immediat es troben lleugerament basculats. Així, les direccions dels cabussaments es troben compreses normalment entre 260° i 290°, mentre que els cabussaments oscil·len entre els 10° i els 20°.

La falla normal localitzada en el talús del VIE, i assenyalada en la cartografia geològica amb la lletra B, té un salt a hores d'ara incert. El cabussament deduït del pla de falla és de 285°/60°, molt similar al del pla de falla del punt B' 305°/67° (veure cartografia geològica: A6), ens permet pressuposar que ambdues falles són la mateixa, tal com es dedueix amb la traça cartogràfica. La flexió de bloc superior o ganxo de falla (que s'intueix al traçar una visual amb angle oblic), la no correspondència de cap nivell a ambdós costats del pla de falla, i l'entitat que es deduiria per la traça cartogràfica presentada, ens permetrien estimar un salt d'ordre de magnitud entre mètric i decamètric (Figura D1).

L'estudi dels micromamífers del nivell BCV1 (mostrejat durant les excavacions del jaciment de Can Vila, co-dirigides per Salvador Moyà-Solà) permet assignar una edat en valor absolut d'entre 12.5-13 Ma (milions d'anys abans del present) (Casanovas-Vilar *et al.*, en preparació). Això obligaria a situar aquesta localitat en la part inversa del cron C5A. El tram inferior del perfil BCV s'atribuïria a la part normal del cron C5AA. En aquesta correlació provisional, la taxa de sedimentació que es proposa és d'uns 2 m/10.000 anys. Això suposa que el sostre de la seqüència magnetostratigràfica obtinguda en aquesta primera fase se situaria en uns 12,4 Ma i la base a l'entorn de 13,3 Ma. Així doncs, a partir d'aquestes dades provisionals es pot dir que la secció estratigràfica estudiada es correspon probablement amb les unitats biocronològiques MN6 i MN7/8 (el límit entre les quals se situa entre 12,5 i 13 Ma, segons Agustí *et al.*, 2001). La majoria de les localitats de macro- i microvertebrats localitzades s'atribuïrien a la unitat biocronològica MN6, corresponent les localitats VIE-C3, BCV1 i CCV1 a l'MN7/8.

## **D.2. Paleontologia:**

Respecte del material fòssil, cal destacar en primer lloc la gran abundància de restes recuperades i l'elevat nombre de nivells de microvertebrats detectats, que en conjunt posen de manifest la riquesa extraordinària de la zona d'afectació de les obres. Tot i que sovint aquestes restes es trobaren en concentracions més o menys extenses d'ordre decamètric, moltes d'altres restes es trobaren aïllades, i no és possible de preveure *a priori* la seva existència, ni en base a la posició estratigràfica, ni en base al tipus de material sedimentari (així, tot i ser més freqüents en lutites, també es recuperaren restes fòssils entre conglomerats). La majoria de les restes recuperades es trobaren aïllades, per bé que ocasionalment es recuperaren diverses restes d'un mateix individu articulades i en connexió anatòmica.

**Restes no siglades.**—En el capítol de restes que no foren siglades, destaquen les conquilles de gastròpodes. Aquestes conquilles es trobaren tot sovint aïllades (Figura D2), però també amb certa freqüència formant petites acumulacions locals (Figures D3 a D6). Normalment els gastròpodes es



trobaren sencers però amb la conquilla dissolta, preservant-se només el motllo intern. Més rarament, però, es trobaren conquilles no dissoltes (per bé que més o menys deformades), i excepcionalment (en el nivell C1-E8) conquilles no deformades que preservaven el patró de coloració original (Figura D6), cosa que constitueix un fet excepcional en dipòsits miocens i en aquest context geològic. La majoria de gastròpodes recuperats, d'una mida aproximada d'1-2 cm, foren terrestres (no dulciaquícules) i correspondrien a la família dels helícids, higròmids o similars, encara que més rarament també es trobaren algunes conquilles atribuïbles a pomàtids.



**Figura D2.** Gastròpodes terrestres de la zona del BCV.



**Figura D3.** Concentració de gastròpodes terrestres del nivell BDA5.





**Figura D4.** Concentració de gastròpodes terrestres de C1-E.



**Figura D5.** Concentració de gastròpodes terrestres de C1-E.



**Figura D6.** Gastròpodes terrestres en excepcional estat de preservació del nivell C1-E8.

**Rèptils.**—De forma un tant inesperada, les restes fòssils de rèptils foren molt abundants, per bé que la seva diversitat és comparativament molt menor a la dels mamífers. Sens dubte, el grup de rèptils més freqüent foren les tortugues, representades sobretot per plaques soltes o conjunts aïllats de plaques, però també, en un nombre considerablement elevat, per closques totalment o parcialment senceres (Figures D7 a D10), especialment en els nivells C1-E10 (Figures D11 a D19) i C1-ET i C1-ET2 (Figures D20 a D26). En menor proporció també es recuperaren elements postcranials diversos (Figures D27 i D28) i, excepcionalment, ous (Figura D28). La gran abundància de closques senceres en aquests dos nivells suara mencionats, que són estratigràficament equivalents, és molt notable.



**Figura D7.** Espatllar de closca de tortuga ACM36.



**Figura D8.** Closques de tortuga ACM521 (esquerra) i ACM525 (dreta) excavades al nivell C1-E7.

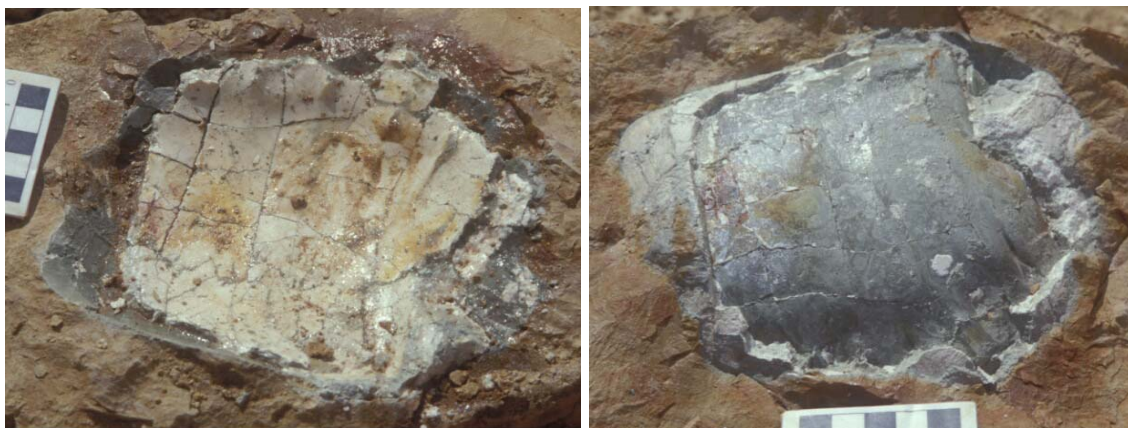




**Figura D9.** Cloasca de tortuga ACM940.

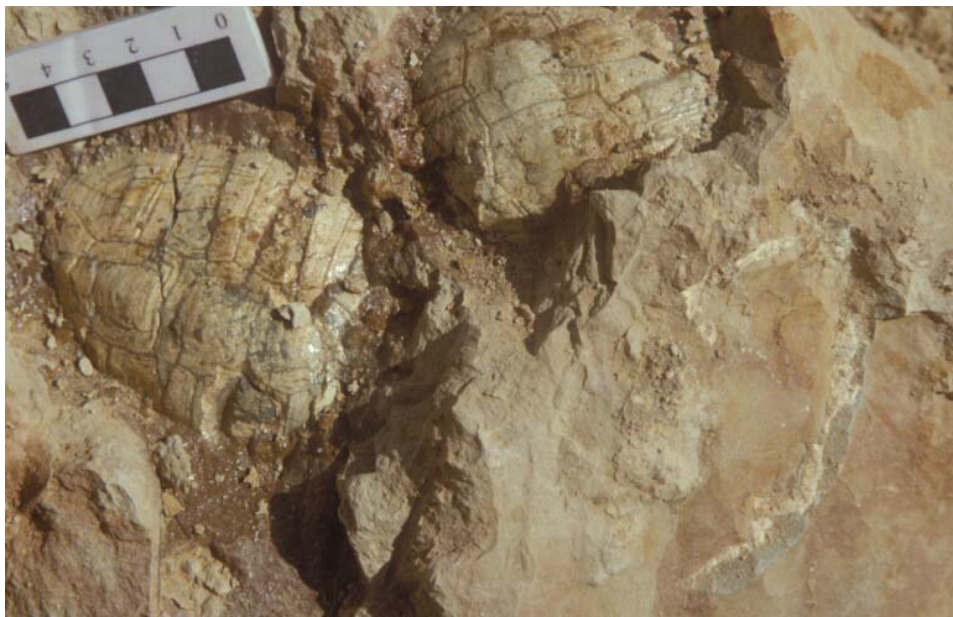


**Figura D10.** Cloasca de tortuga ACM903.

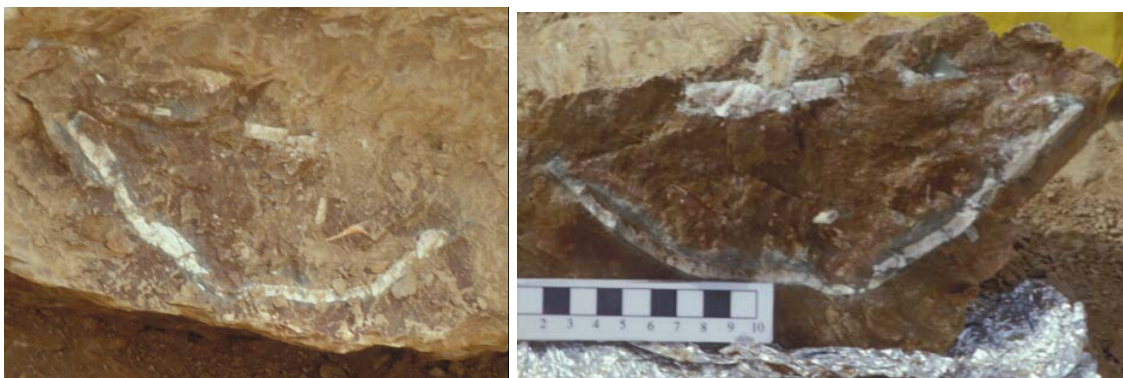


**Figura D11.** Cloasca de tortuga ACM1672 de C1-E10.





**Figura D12.** Closques de tortuga ACM1558, ACM1559 i ACM1560 de C1-E10.



**Figura D13.** ACM1781: Seccions de la closca de tortuga amb ossos postcranials in situ ACM1781, trobada a sota de la mòmia d'ACM1032 a C1-E10.



**Figura D14.** Closca de tortuga ACM1882, de C1-E10.



**Figura D15.** Cloasca de tortuga ACM1860, de C1-E10.



**Figura D16.** Cloasca de tortuga ACM1925, de C1-E10.

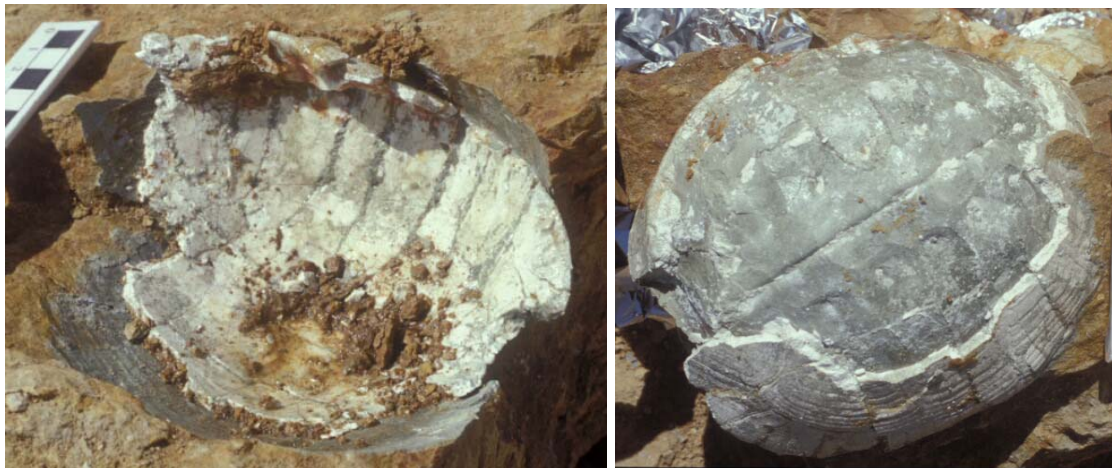


**Figura D17.** Cloasca de tortuga ACM1886, de C1-E10.





**Figura D18.** Closques de tortuga ACM1907 i ACM1912 del nivell C1-E10, juntament amb l'os llarg de mamífer ACM1908.

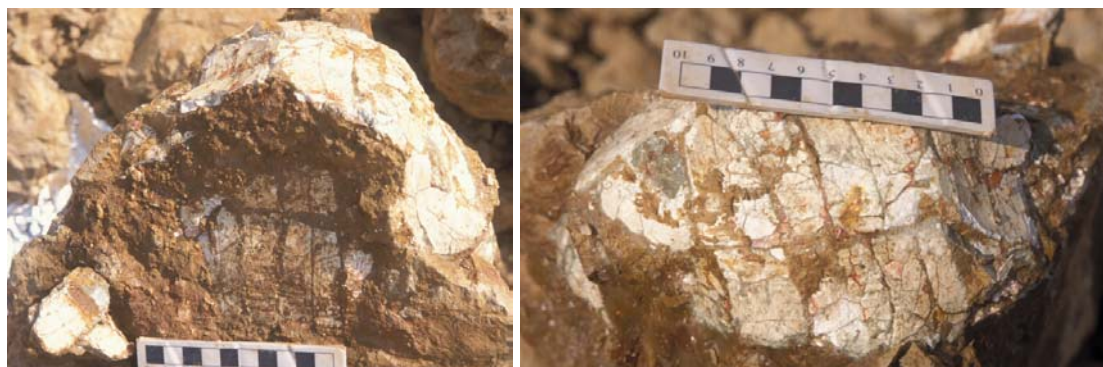


**Figura D19.** Closca de tortuga ACM1927 del nivell C1-E10.



**Figura D20.** Closca de tortuga ACM597 de C1-ET.





**Figura D21.** Closca de tortuga ACM832 del nivell C1-ET2.



**Figura D22.** Closca de tortuga ACM840 del nivell C1-ET2.



**Figura D23.** Closca de tortuga ACM835 del nivell C1-ET2.



**Figura D24.** Closca ACM845 de C1-ET2.





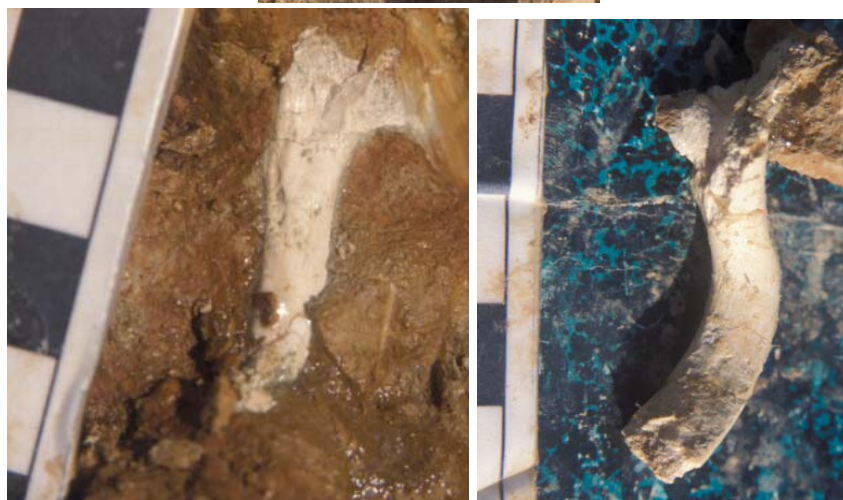
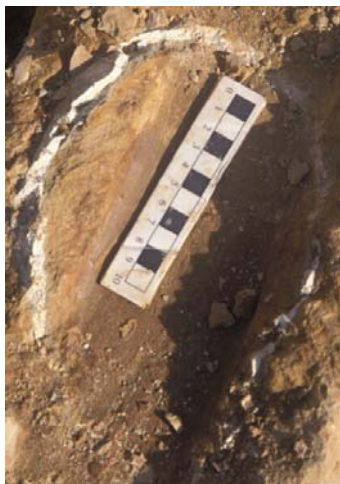
**Figura D25.** Closca de tortuga ACM952 del nivell C1-ET2.



**Figura D26.** Closca de tortuga ACM768 del nivell d'ACM725.

La majoria de closques de tortuga recuperades foren de mida petita o mitjana, i corresponen a tortugues terrestres, per bé que no es pot excloure la presència de restes de tortugues dulciaquícules. Cal esmentar també la troballa de restes de la tortuga gegant *Cheirogaster* sp.; destaca sobretot una closca de més d'1 m de llargada (ACM725: Figura D29) associada a restes postcranials atribuïbles al mateix individu (Figures D30 a D32).





**Figura D27.** Restes associades de tortuga de C1-E10: closca ACM1027 (superior) i ossos postcranials ACM1070 i ACM1079 (inferior).

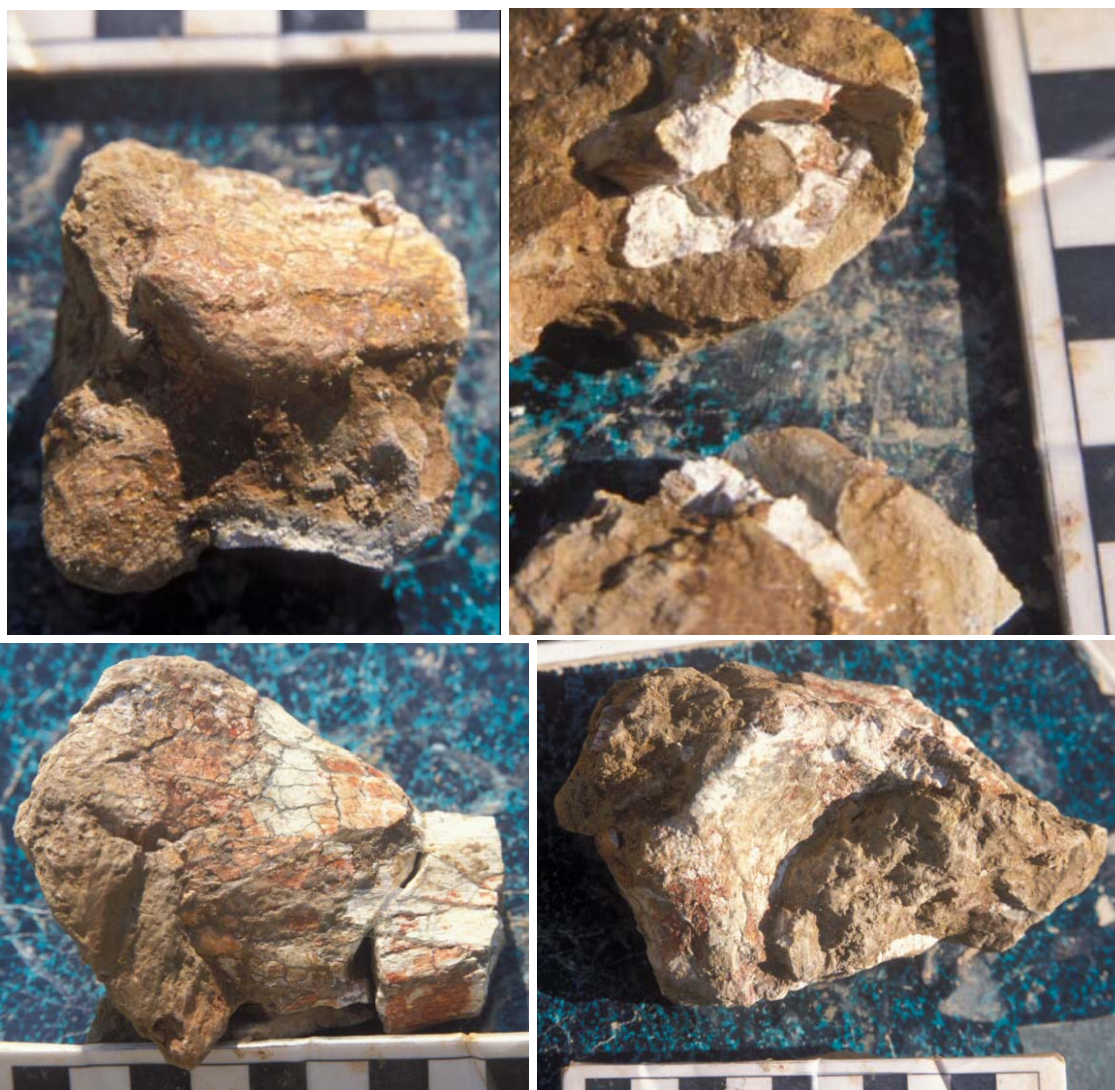


**Figura D28.** Ous de tortuga ACM2127.



**Figura D29.** Restes de la tortuga gegant *Cheirogaster* sp. ACM725: fragments solts d'espalllar (superior), fragments d'espalllar in situ amb postcranial (centre) i fragments d'espalllar i plastró in situ (inferior).





**Figura D30.** Restes de l'esquelet postcranial de la tortuga gegant *Cheirogaster* sp., corresponent al mateix individu que la closca ACM725: vèrtebres ACM781 i ACM782 (superior) i fragments d'ossos llargs ACM727 i ACM777 (inferior).



**Figura D31.** Fèmur de *Cheirogaster* sp. ACM981 in situ, corresponent al mateix individu que ACM725.



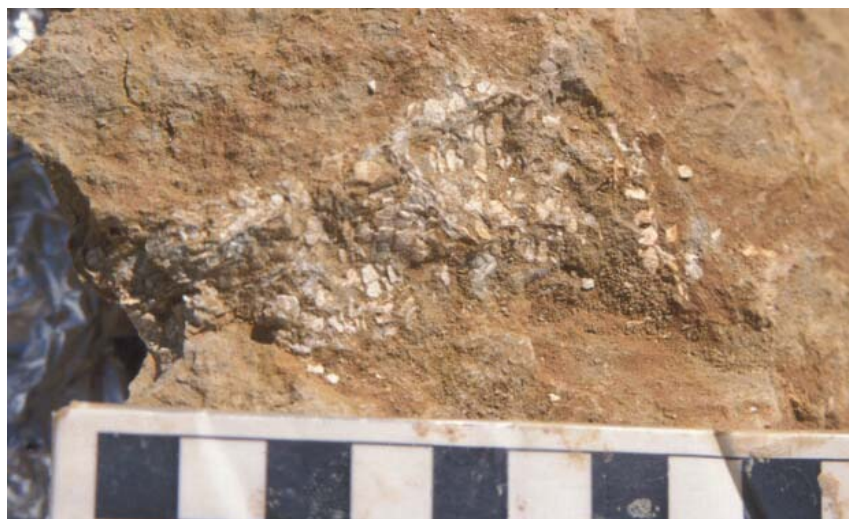


**Figura D32.** Fèmur de *Cheirogaster* sp. ACM981, corresponent al mateix individu que ACM725, un cop extret.

El descobriment de més d'una vintena d'ànguids fòssils constitueix una troballa remarcable pel que fa al registre paleoherpetològic del Miocè europeu. Els ànguids són uns llargardaixos àpodes (és a dir, sense potes) o, segons el grup, amb unes extremitats molt reduïdes, que viuen enterrats entre la fullaraca del sòl en boscos humits. Aquests llargardaixos es caracteritzen per la presència d'unes escates protectores, a sota de les quals hi ha osteoderms. En la majoria d'espècimens recuperats durant la intervenció, es trobaren concentracions més o menys nombroses d'osteoderms, generalment aixafats i notablement desarticulats, atribuïbles a un mateix individu (Figura D33 a D36). En algunes ocasions, però, també s'hi trobaren barrejades algunes restes postcranials (vèrtebres, costelles) i dentognàtiques (mandíbula amb dents), i en un únic exemplar, els osteoderms es recuperaren articulats, és a dir, preservant la seva disposició anatòmica en vida (Figura D37).



**Figura D33.** Restes de l'anguid ACM671.

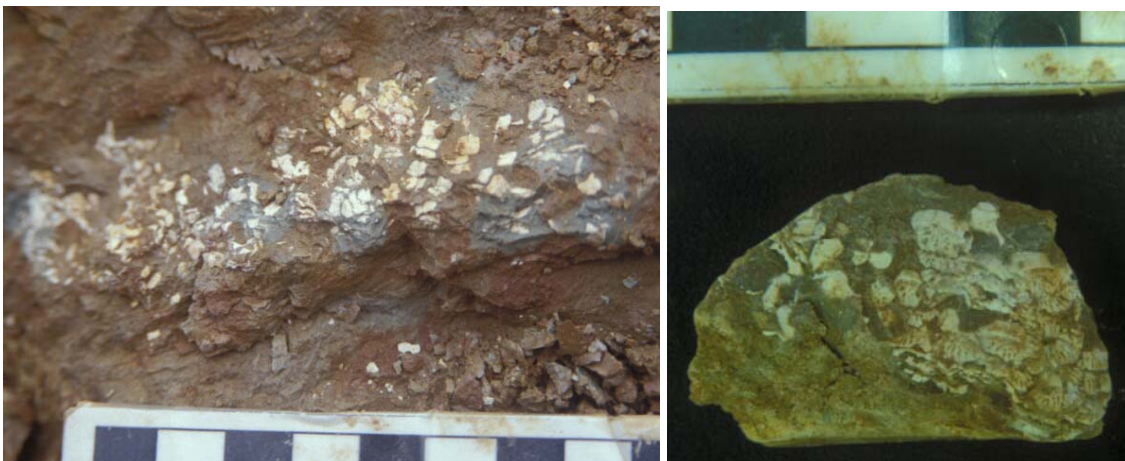


**Figura D34.** Restes de l'anguid ACM946.



**Figura D35.** Restes de l'anguid ACM947.





**Figura D36.** Restes d'ànguid ACM808.



**Figura D37.** Restes de l'ànguid en connexió anatòmica ACM1533.

Finalment, cal esmentar també la troballa de restes de llangardaixos (lacèrtids) i serps (colúbrids) en les mostres de microvertebrats.

**Micromamífers.**—Respecte els micromamífers, cal tenir en compte que, antigament, les restes de microvertebrats fòssils es recuperaven només quan es localitzaven visualment durant les prospeccions o excavacions de macrovertebrats, sense utilitzar mètodes sistemàtics de mostreig i sense recol·lectar grans quantitats de sediment. Per aquest motiu, el material provinent de campanyes anteriors als anys '70 està normalment compost per peces de mida gran (mandíbules i cranis) que podien ser detectades a simple vista. Moltes d'aquestes restes foren recuperades a partir de l'anomenat "bloc de marga" (suposadament provinent de Can Flaquer: Agustí, 1981; Agustí *et al.*, 1985), però en qualsevol cas generalment es desconeix la provinença de



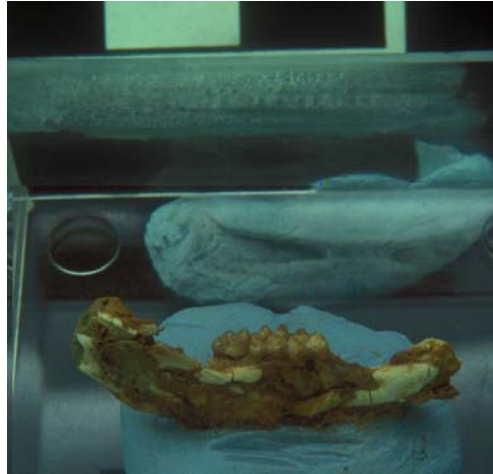
les peces, distingint simplement entre els nivells amb *Hipparion* (“Hostalets Superior”) i els nivells sense *Hipparion* (“Hostalets Inferior”). Aquesta nomenclatura s’ha mantingut fins avui, utilitzant-la en els llistats faunístics d’Hostalets de Pierola (p.ex. Agustí 1981; Agustí *et al.*, 1984), cosa que, en mesclar restes de diferents localitats (amb diferents edats i potencialment diferents condicions ecològiques), impossibilita fer inferències paleoecològiques i biocronològiques. Per primera vegada, doncs, es disposa d’una successió biostratigràfica de micromamífers a Hostalets de Pierola, cosa que permetrà de dur a terme un tipus d’estudi que no s’havia pogut dur a terme fins ara.



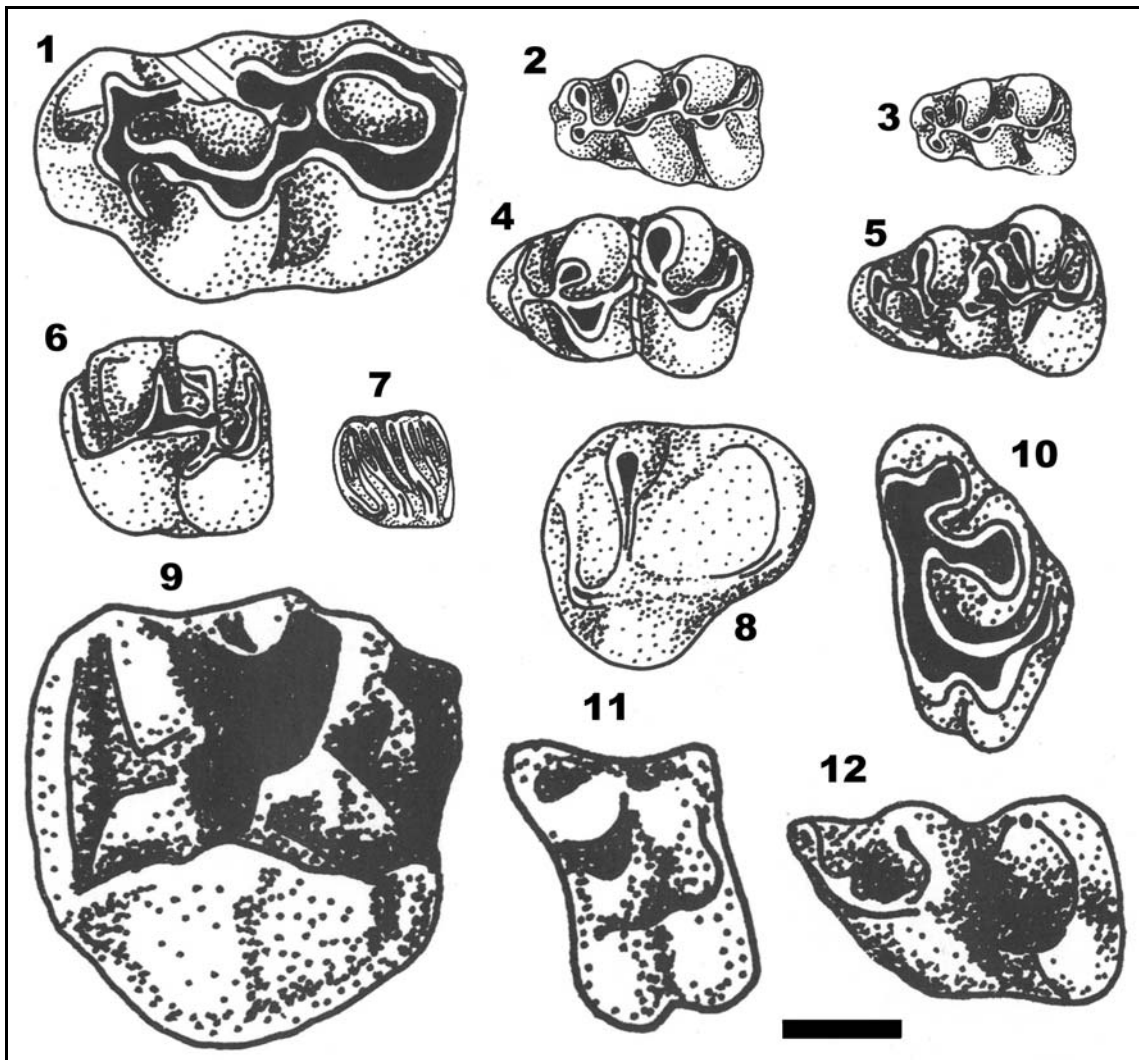
**Figura D37.** Mandíbula de *Cricetodon* cf. (*Pararuscinomys*) *lavocati* ACM1092 procedent de C1-E10.



**Figura D38.** Crani de micromamífer ACM1543, procedent de BDA8.



**Figura D39.** Mandíbula del cricètid *Cricetodon* cf. (*P.*) *lavocati* ACM1542.



**Figura D40.** Dents de micromamífers. Rodentia: 1: M<sup>1</sup>e *Cricetodon* (*Pararuscinomys*) *lavocati*, ACM/VIE-C3; 2: M<sub>1</sub>e *Megacricetodon* cf. *gregarius*, ACM/C1-E9; 3: M<sub>1</sub>e *Megacricetodon* cf. *gregarius*, ACM/C1-E9; 4: M<sub>1</sub>e (trecat) *Democricetodon* cf. *larteti*, ACM/C1-A1; 5: M<sub>1</sub>e *Eumyarion* cf. *leemani*, ACM/C1-A1; 6: M<sub>2</sub>d *Eumyarion* cf. *leemani*, ACM/CCV1; 7: M<sub>2</sub>d *Glirudinus undosus*, CV/BCV1; 8: M<sup>3</sup>e *Spermophilinus bredai*, ACM/BDA7; 9: M<sup>2</sup>e *Albanensia albanensis*, ACM/VIE-C3. Lagomorpha: 10: dP<sup>4</sup>d cf. *Prolagus*, ACM/BDL1. Insectivora: 11: M<sup>1</sup>d Galericipini indet., ACM/BCV1; i 12: M<sub>1</sub>e Galericipini indet., ACM/BCV1. Escala = 1 mm.

A la intervenció paleontològica que ens ocupa, també s'han recuperat cranis i mandíbules de micromamífers a simple vista (Figures D37 a D39), però la majoria de restes, sobretot de naturalesa dentària (Figura D40), s'han recuperat mitjançant un mostreig sistemàtic amb control estratigràfic, tal com s'ha descrit a l'apartat de Material i Mètodes. L'estudi preliminar de les restes recuperades indica que els micromamífers més abundants en quant a nombre d'espècies són els rosegadors, i en especial els cricètids (hàmsters i similars), tot i que també es trobaren glírids (lirons) i esciúrids (incloent no només esquiroles de bosc, sinó també els anomenats esquiroles voladors). A banda dels rosegadors, també es trobaren insectívors, un quiròpter (rat-penat) indeterminat, i el lagomorf ocotònid (pica) cf. *Prolagus*.

La fauna de microvertebrats del nivell C1-E9 (vegeu Apèndix 2), l'únic triat íntegrament fins al moment, és composta per cricètids de 4 gèneres diferents, amb una clara dominància de *Megacricetodon* cf. *gregarius*. En aquests moments el nivell C1-E4 es troba en procés de triatge, però fins ara també ha lliurat *Megacricetodon* cf. *gregarius*, *Megacricetodon* cf. *minor*, *Democricetodon* cf. *gaillardi*, cf. *Muscardinus*, un esquírol terrestre indeterminat i Squamata indet. representats per diversos fragments de mandíbula. Les mostres de prova de la intervenció han aportat ja peces de gèneres i espècies que mai s'havien citat als nivells inferiors d'Hostalets de Pierola. Entre els cricètids és el cas del gènere *Democricetodon* i *Eumyarion*. També és el primer cop que s'hi citen glírids (*Muscardinus* i altres gèneres). Tampoc es tenia fins a la data cap notícia sobre la presència de quiròpters a cap nivell d'Hostalets de Pierola.

A la Taula 3 es representen ordenats estratigràficament els nivells mostrats durant la intervenció, tot indicant també els gèneres de micromamífers que s'hi han trobat.

**Taula 3.** Taula de doble entrada mostrant els gèneres de micromamífers trobats per cada nivell mostrat, ordenats estratigràficament. Les mostres d'alguns nivells considerats equivalents o quasi-equivalents s'han unificat (C1-E7 i C1-E8, C1-C4 i C1-E6, BDA4 i C1-E4, i C1-A4 i C1-A5). No s'hi inclouen alguns nivells pel fet de ser molt pobres, i tampoc s'hi inclou el nivell BCV1, que estaria situat entre el BDA7 i el CCV1.

	BDL1	BDL2	C1-D1	BDA6	C1-E7/8	C1-C4/E6	C1-E9	C1-C1	BDA4/C1E4	C1-A4/5	C1-A1	BDA8	VIE-C3	BDA7	CCV1
<i>Plesiodymylus</i>		■									■				
Galericini indet.				■							■				
Erinaceidae indet.										■		■		■	
Crocidosoricinae indet.					■										
Chiroptera indet.															
<i>Megacricetodon</i>	■														
<i>Cricetodon</i>	■	■													
<i>Democricetodon</i>			■												
<i>Eumyarion</i>															■
<i>Muscardinus</i>									■						■
<i>Spermophilinus</i>			■									■			
<i>Albanensia</i>						■							■		
cf. <i>Prolagus</i>	■														■



Encara que caldrà esperar a haver triat tots els concentrats per a fer inferències de caire paleoclimàtic i biocronològic, ja amb les mostres de prova es poden fer algunes inferències preliminars. Primer, com il·lustra la Taula 3, la diversitat en quant a nombre de gèneres de rosegadors a la part superior de la sèrie és més alta en comparació amb la inferior. Això podria ser fruit al fet que la majoria de nivells més rics (excepte notables excepcions com BDA6) se situen a la part més alta de la sèrie. Però si ens fixem en el nivell C1-E9, del qual se n'ha finalitzat el triatge, veiem que només s'hi han detectat quatre gèneres diferents, i que el gènere *Megacricetodon* clarament predomina sobre tots els altres. En canvi, en els nivells que el segueixen (BDA4 a CCV1), el nombre de gèneres enregistrats s'incrementa notablement, i a part dels cricètids sovint s'hi inclouen altres famílies de rosegadors, gairebé absents als nivells inferiors (BDL1 a BDA4).

La fauna clàssica de rosegadors d'"Hostalets inferior" està majoritàriament composta per cricètids (*Cricetodon (Pararuscinomys) lavocati*, *Hispanomys dispectus*, *Democricetodon crusafonti* i *Megacricetodon ibericus*), a més de l'esquirol terrestre *Spermophilinus bredai*, i una única dent del gènere d'esquirol volador *Albanensia*. En les nostres mostres de prova s'han localitzat tots aquests gèneres a excepció d'*Hispanomys*. Aquesta composició faunística, àmpliament dominada per cricètids, sempre s'ha interpretat com a característica de medis oberts i relativament secs (Agustí *et al.*, 1984). Alguns dels nivells prospectats són ecològicament molt semblants als nivells clàssics, en especial el nivell C1-E9, compost únicament per cricètids on predominen *Megacricetodon cf. gregarius* (84 %) i *Cricetodon (Pararuscinomys) lavocati* (prop del 10 %). Daams *et al.* (1988) han suggerit que les espècies de *Megacricetodon* de mida gran preferirien hàbitats secs, a l'igual que *Cricetodon (Pararuscinomys) lavocati* (Agustí, 1981). Així, podem concloure que pel que fa al nivell C1-E9, l'hàbitat deuria ser obert i sec. Aquestes condicions paleoambientals podrien ser extensibles a la part baixa de la sèrie, ja que en les mostres de prova d'aquesta gairebé no s'ha enregistrat la presència d'elements que preferixin hàbitats humits i tancats.

A partir del nivell BDA4/C1-E4, però, la presència d'elements que prefereixen hàbitats tancats i humits incrementa, ja que sovint trobem glirins (*Muscardinus*) i els cricètids *Eumyarion cf. leemani* i *Democricetodon gaillardi*, a més de l'esquirol volador *Albanensia*. Continuem trobant *Megacricetodon*, però en aquest cas no només espècies de mida gran, sinó també altres de mida petita, com *Megacricetodon minor*, que per a Daams *et al.* (1988) implicarien hàbitats més humits que els seus parents més grans. Weerd & Daams (1978) i Casanovas-Vilar & Agustí (ms. enviat) també suggereixen hàbitats humits i boscosos per a *Eumyarion*, per bé que els animals que millor indiquen la presència de nuclis boscosos i humits són els esquirols voladors i els glirins, inevitablement lligats a tipus de medis. Podríem concloure temptativament que els nivells més alts de la sèrie corresponen a hàbitats relativament més forestats i humits que els inferiors. L'estudi preliminar de la fauna del Barranc de Can Vila 1 també dona suport a aquesta interpretació paleoambiental (Moyà-Solà *et al.*, 2004).

En observar els diferents jaciments de l'Aragonià superior (Sant Quirze A, Castell de Barberà, Can Missert, Hostalets inferior clàssic), es fa evident l'alternança de períodes relativament humits amb altres de més secs (Agustí *et al.*, 1984). Sembla que aquestes fluctuacions climàtiques que s'observen a la conca del Vallès-Penedès a l'Aragonià superior també podrien ser reconeixibles als nivells de Can Mata. A més, els nivells de Can Mata tindrien una especial rellevància, pel fet que d'haver-se pogut situar en sèrie i datar-se paleomagnèticament, amb la qual cosa es podria establir l'edat absoluta de les fluctuacions climàtiques suara esmentades.

Pel que fa a l'edat, els nivells inferiors d'Hostalets de Pierola sempre s'han assignat a la part final de l'MN7/8 (Agustí *et al.*, 1984; Agustí *et al.*, 2001), en base a l'absència d'"*Hipparion*" i a presència de *Megacricetodon ibericus*, *Democricetodon crusafonti* i *Hispanomys*. *Cricetodon (Pararuscinomys) lavocati* també és un element típic de l'MN7/8, presentant característiques més avançades (mida més gran i ectolofs complets) que els seus parents de l'MN 6 del sud de França. La localitat C1-E9 ha proporcionat una mostra prou significativa del gènere *Megacricetodon*, un cricètid amb nombroses espècies vicariants (més de vint) distribuïdes pel Miocè de tota Euràsia. A la península Ibèrica, *Megacricetodon ibericus* és la forma característica de l'MN7/8 i principis de l'MN9. Tanmateix, el material del nivell C1-E9 presenta força similituds amb *Megacricetodon gregarius*, citat només de localitats del sud de França (la Grive M, la Grenatière: Aguilar, 1980). Aquest fet no influiria en la datació, ja que *M. gregarius* també és un element típic de l'MN7/8, però afegiria una complicació biogeogràfica. Podem precisar més l'edat assumint les tendències evolutives proposades per Meulen *et al.* (2003) per a *Democricetodon* i per Agustí (1981) per a *Cricetodon (Pararuscinomys) lavocati*. L'estudi detallat dels cricètids abans esmentats i la correlació magnetostratigràfica amb seccions calibrades a la Conca de Calatayud-Daroca (Garcés *et al.*, 2003) dóna una edat relativa que oscil·laria entre els 12,5 i 13 Ma per al nivell BCV1 (Casanovas-Vilar *et al.*, en prep.). Així, alguns dels nivells inferiors d'Hostalets de Pierola serien prop d'un milió d'anys més antics del que sempre s'havia cregut (Agustí *et al.*, 2001) i correspondrien a la base de l'MN7/8. La base de la sèrie de la nova fase del Dipòsit Controlat de Can Mata es podria llavors remuntar a l'MN6.

Finalment, cal esmentar que és altament probable una connexió entre la Conca del Vallès-Penedès i les localitats del sud de França en aquesta edat. Així, hi ha nombroses espècies comunes als dos indrets, tals com *Democricetodon larteti*, el gènere *Eumyarion*, els esquiroles voladors (*Albanensia* i *Miopetaurista*), el gènere *Talpa*, etc. Aquest fet podria tenir una explicació ambiental, gaudint la conca del Vallès-Penedès d'unes condicions més humides, a l'igual que a les latituds més altes, i a diferència del centre de la península Ibèrica, on l'ambient sembla haver sigut molt més sec (Meulen *et al.*, 1992; Casanovas-Vilar & Agustí, ms. enviat).

**Macromamífers.**—Un dels macromamífers més abundants fou el proboscidi *Deinotherium* spp. (dinoteri), caracteritzat pel fet de tenir un parell de defenses mandibulars recorbades cap avall. Aquest gènere estaria representat a Can Mata per l'espècie *D. giganteum*, però probablement també per una espècie de mida més petita que correspondria a *D. laevius*. Les restes

recuperades d'aquest gènere inclogueren sobretot peces dentàries, i en concret defenses (Figures D41 a D43), premolars (Figures D44 i D45) i molars (Figures D46 a D53). També es recuperaren, però, fragments cranials (Figures D54 i D55) i restes postcranials diverses, sobretot costelles (Figures D56 a D61), ossos llargs (Figures D63) i alguna vèrtebra (D62). Destaca la troballa d'una hemimandíbula completa (preservant la defensa, la sèrie dentària completa i la rama ascendent de la mandíbula: Figura D64) i diverses restes postcranials associades (Figures D65) en el mateix nivell (BDA8). En aquest mateix nivell, a només uns pocs metres, també es trobaren restes molars (Figures D66 a D70) i defenses (Figures D71 a D73) d'un altre proboscidi atribuïble a la família dels gomfotèrids (mastodonts), representats també en d'altres zones per defenses (Figura D74 i D75) i restes dentàries (Figura D76). Els mastodonts es caracteritzen per la possessió de dos parells de defenses més rectilínies, dues de grans al maxil·lar i dues de més curtes a la mandíbula, a diferència dels dinotèrids, que tenen un sol parell de defenses recorbades a la mandíbula.



**Figura D41.** Defensa de *Deinotherium* sp. ACM307 excavada a C1-Fa.



**Figura D42.** Fragments de defensa de *Deinotherium* sp. ACM1458.





**Figura D43.** Fragment de defensa de *Deinotherium* sp. ACM1795.



**Figura D44.** Premolar de *Deinotherium* sp. ACM306 excavada a C1-Fa.





**Figura D45.** Premolar de *Deinotherium* sp. ACM298 excavada a C1-Fa.



**Figura D46.** Molar superior de *Deinotherium* sp. de BCV1.



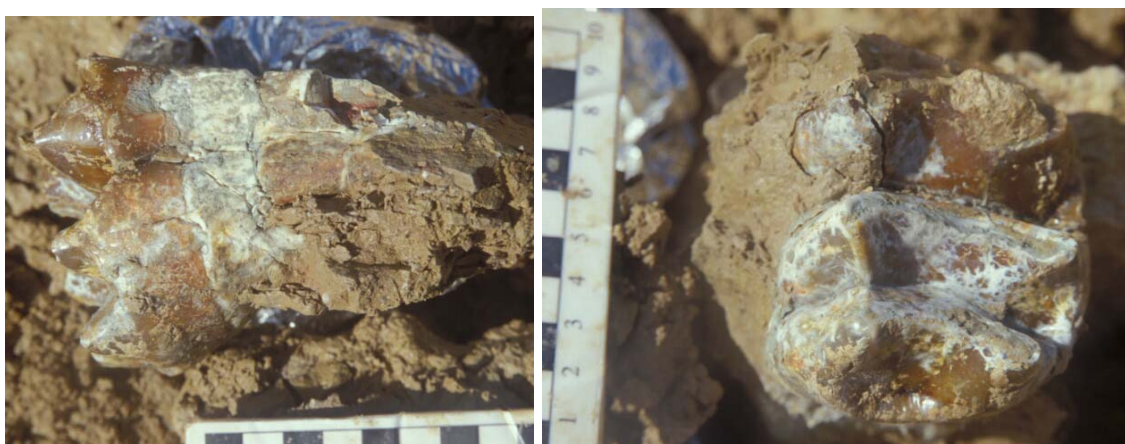
**Figura D47.** Molar inferior de *Deinotherium* sp. ACM353.



**Figura D48.** Molar de *Deinotherium* sp. ACM505.



**Figura D49.** Molar de *Deinotherium* sp. ACM1141 de C1-Fa.

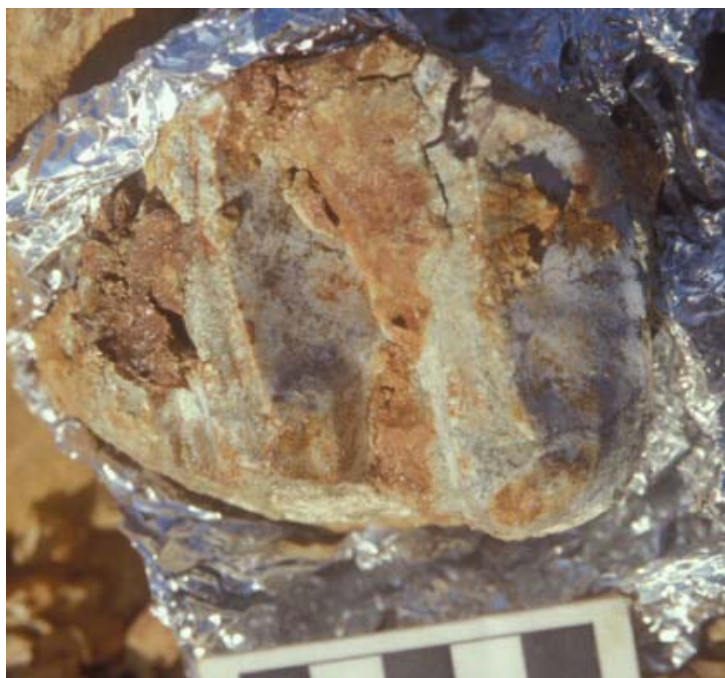


**Figura D50.** Molar inferior de *Deinotherium* sp. ACM1125 de C1-Fa.

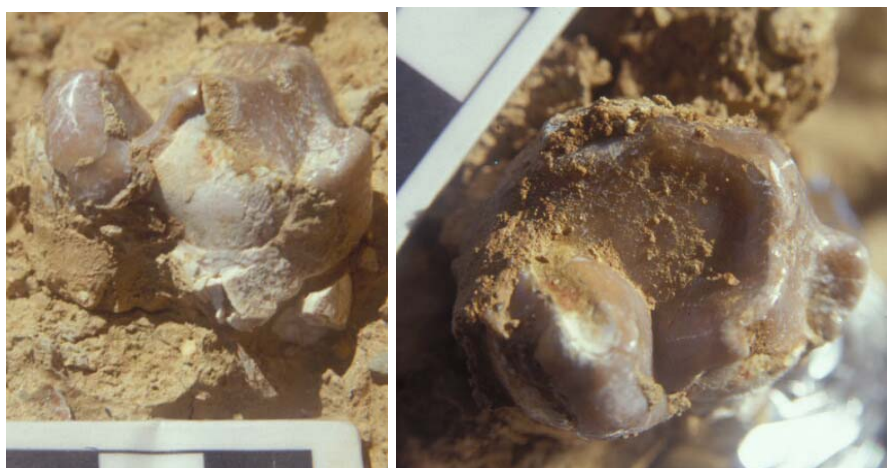




**Figura D51.** Dent de *Deinotherium* sp. ACM1609 de C1-EX.

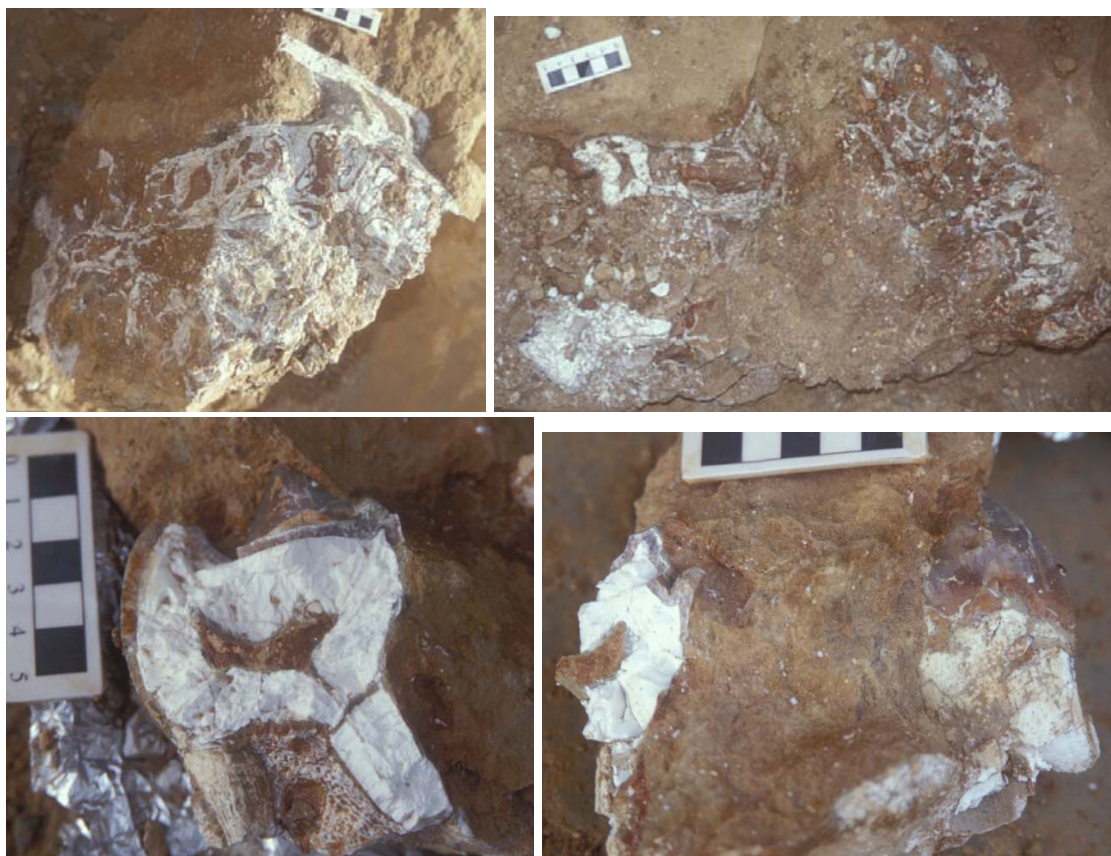


**Figura D52.** Molar de *Deinotherium* sp. ACM1617 de C1-Ex.

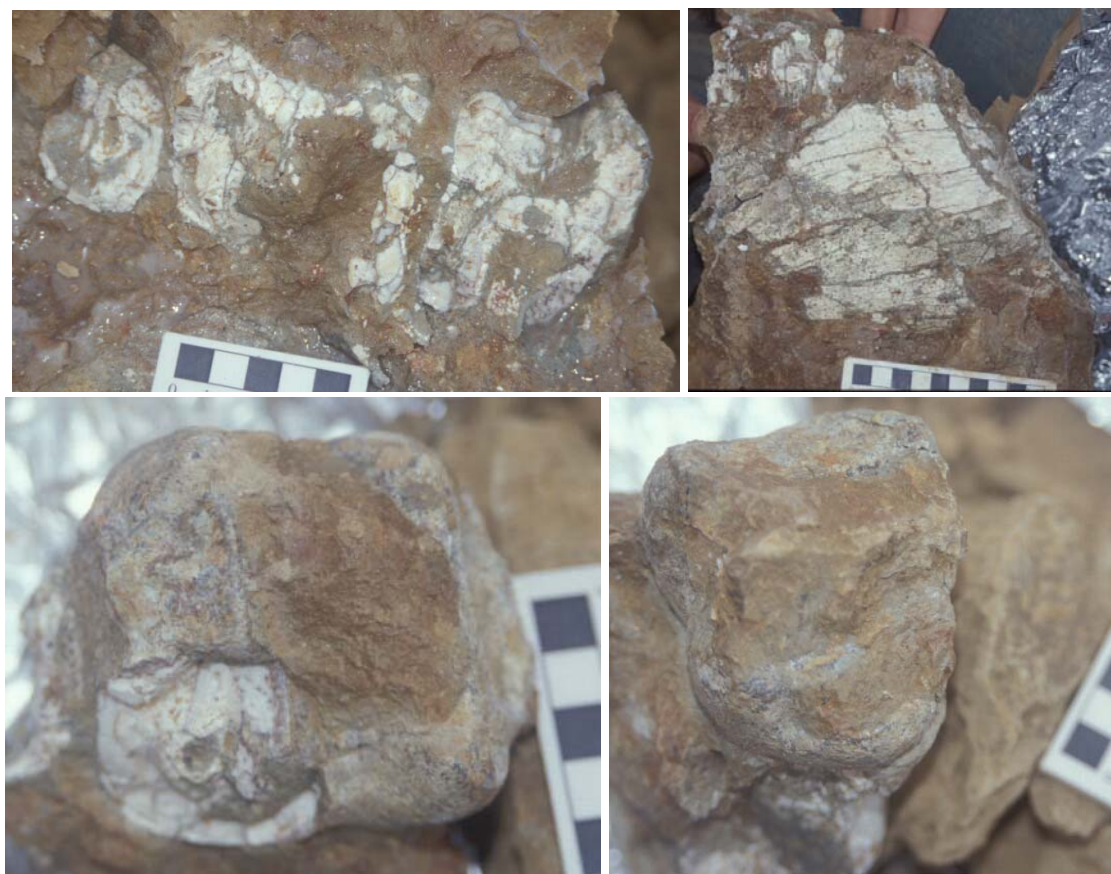


**Figura D53.** Molar decidua de *Deinotherium* sp. ACM1198.





**Figura D54.** Fragment de maxil·lar amb dents d'un exemplar juvenil de *Deinotherium* sp. ACM1727.

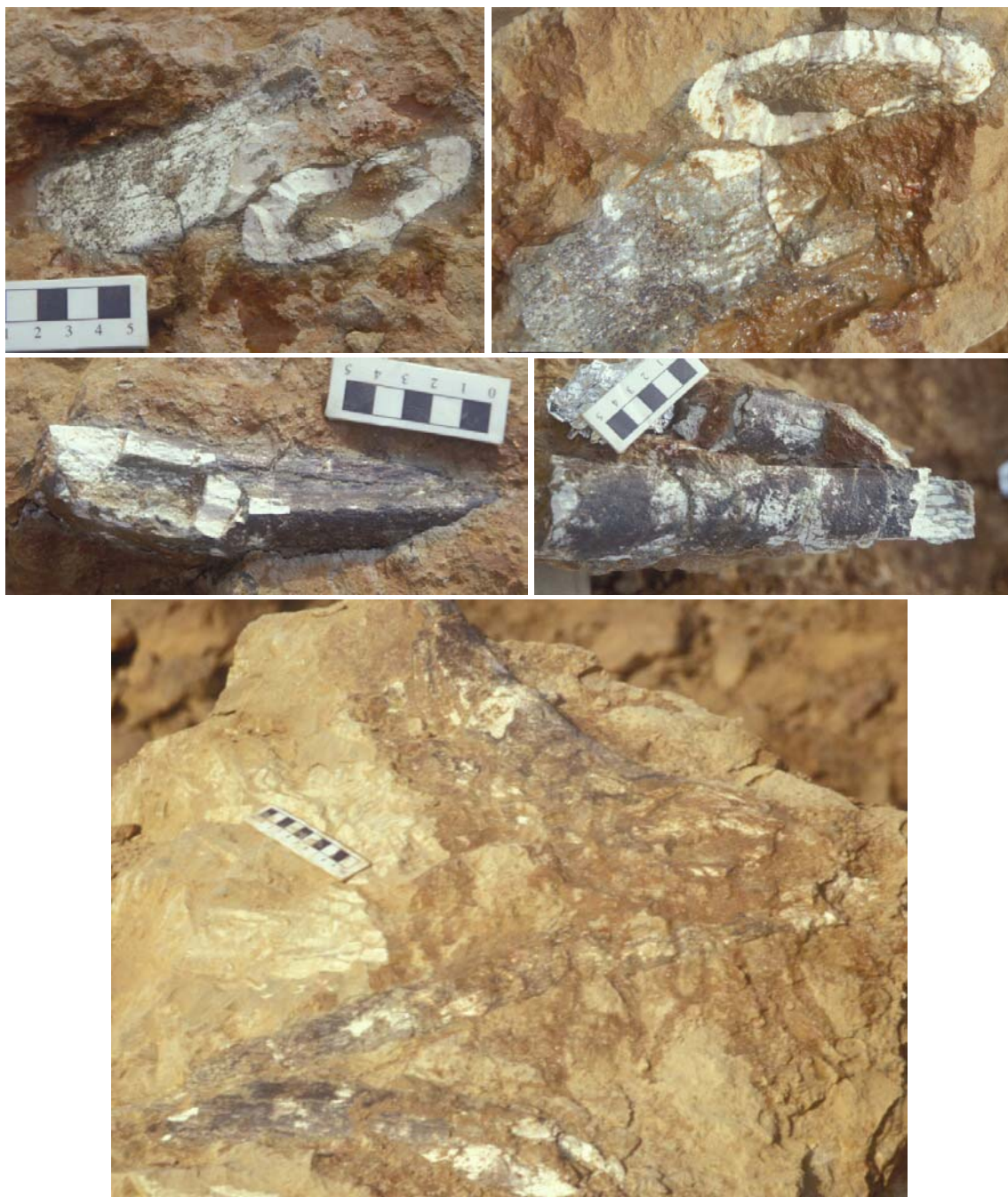


**Figura D55.** Fragments de maxil·lar amb dents de *Deinotherium* sp. ACM1182 de BDAd.





**Figura D56.** Costella de *Deinotherium* sp. ACM1086 de C1-Fa.



**Figura D57.** Concentració de costelles de *Deinotherium* sp. de BDAd.





**Figura D58.** Costella de *Deinotherium* sp. ACM1134 de C1-Fa.



**Figura D59.** Costella de *Deinotherium* sp. ACM1441 de C1-Fa.

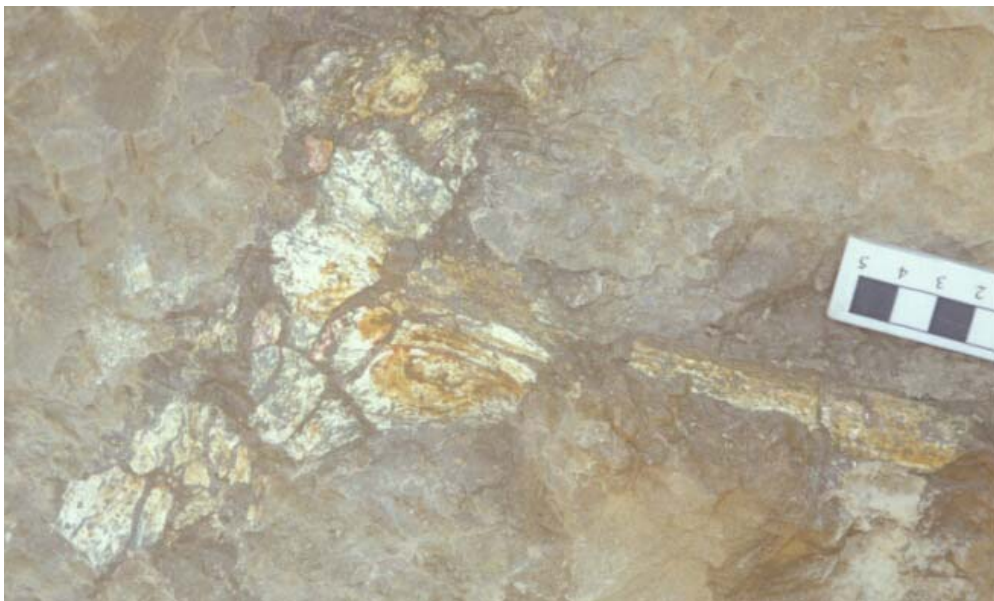


**Figura D60.** Costella de *Deinotherium* sp. ACM1554 de C1-Fa.



**Figura D61.** Costella de *Deinotherium* sp. ACM1525 de C1-Fa.



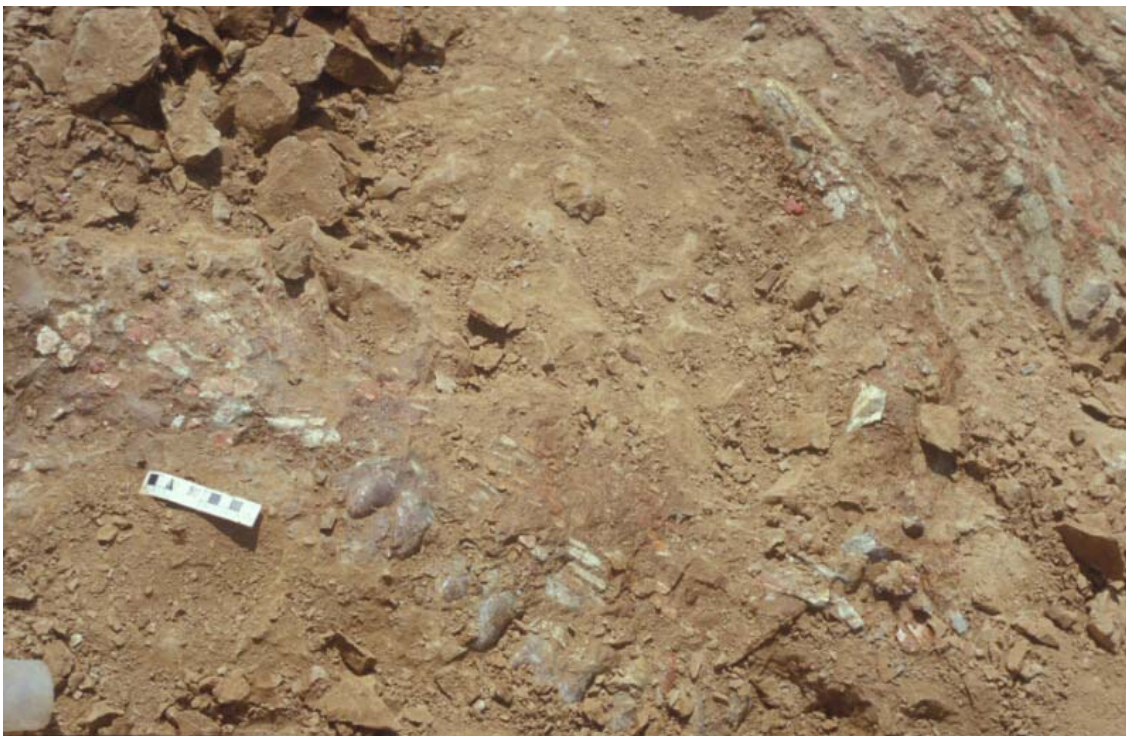


**Figura D62.** Vèrtebra de *Deinotherium* sp. ACM1241 de C1-Fa.



**Figura D63.** Fragments de pelvis de *Deinotherium* sp. de BDAd.





**Figura D64.** Hemimandíbula amb sèrie dentària completa de *Deinotherium* sp. ACM1950.



**Figura D65.** Os llarg de proboscidi ACM1949 del punt BDAa (=BDA8), probablement atribuïble a *Deinotherium* sp.





**Figura D66.** Molar de gomfotèrid ACM1808 de BDAc.





**Figura D67.** Dent de gomfotèrid ACM1443 de BDAC.



**Figura D68.** Dent de gomfotèrid ACM1695 de BDAC.



**Figura D69.** Dent de gomfotèrid ACM1696 de BDAC.





**Figura D70.** Molar de gomfotèrid ACM1744 de BDAC.

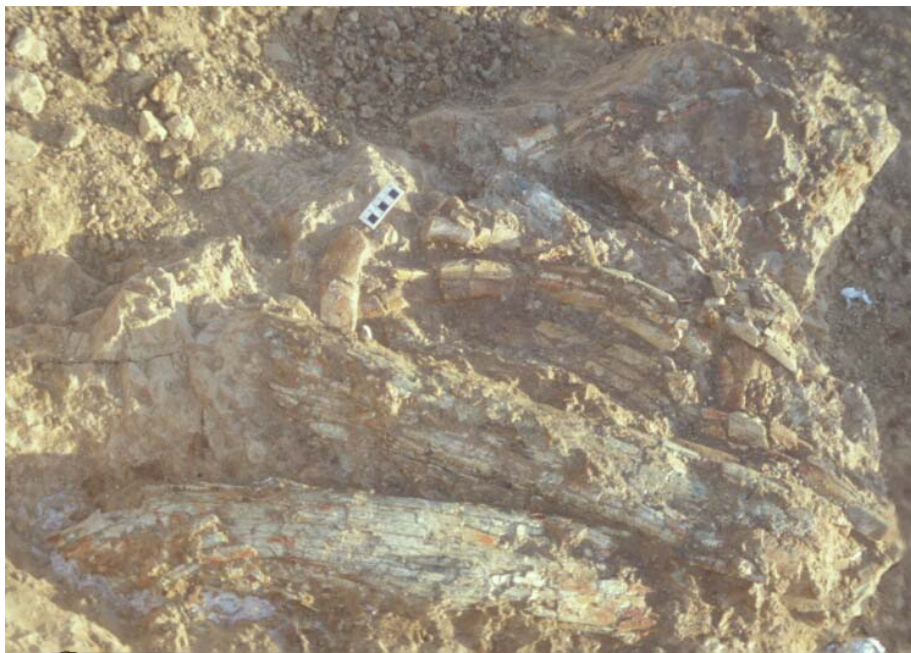


**Figura D71.** Defenses de gomfotèrid ACM1392 i ACM1548 de BDAC.



**Figura D72.** Defenses de gomfotèrid ACM1392 i ACM1548, al costat de les costelles ACM1352, a BDAC.





**Figura D73.** Concentració de costelles ACM1362, amb les defenses de gomfotèrid ACM1392 i ACM 1548 en primer pla, a BDac.



**Figura D74.** Fragment d'una defensa de gomfotèrid ACM484.



**Figura D75.** Fragment de defensa de gomfotèrid ACM1196.



**Figura D76.** Molar de gomfotèrid ACM1963.

Un dels altres macromamífers més abundants foren els suïds (porcs senglars), dels quals se n'han trobat restes dentàries, cranials i postcranials diverses. Les restes dentàries (Figures D77 a D89) inclouen tant incisives com premolars i molars, però destaquen sobretot les canines recorbades i en forma de defensa típiques dels mascles (Figura D90 i D91). En quant a les restes cranials, es recuperaren fragments maxil·lars mandibulars (Figura D93), incloent una mandíbula gairebé sencera (Figura D92). Respecte del postcranial es recuperaren ossos llargs (Figures D94 a D98), restes del carp i del tars (Figura D94, D99 i D100) i, en especial, metàpodes (Figures D94, D97, D98, D100, D101 i D104) i algunes falanges (D102 i D103). La majoria de restes de suïd són atribuïbles a *Listriodon splendens*, un senglar de mida gran amb dentició lofodonta adaptada al folivorisme. En menor proporció, també hi hauria restes atribuïbles a, com a mínim, una altra espècie, de dentició bunodonta (i, per tant, adaptada a l'omnivorisme), que correspondria a *Propotamochoerus* sp. i molt més rarament s'haurien trobat també unes dents del suïd de mida molt petita *Albanohyus pygmaeus*.



**Figura D77.** Incisives de *Listriodon splendens*: ACM402 (esquerra) i ACM18 (dreta).





**Figura D78.** Tercera molar inferior del suid *Listriodon splendens* ACM1504.

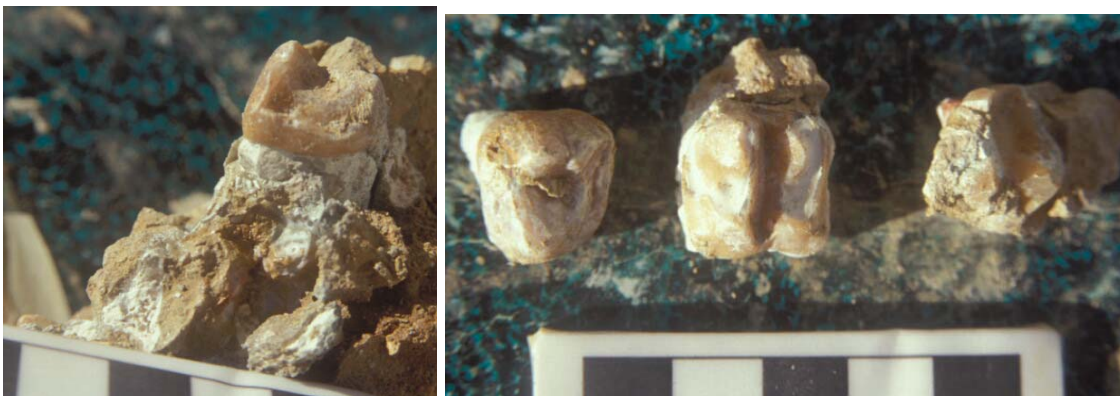


**Figura D79.** Tercera molar inferior de *Listriodon splendens* ACM211.



**Figura D80.** Molar superior de *Listriodon splendens* ACM199.

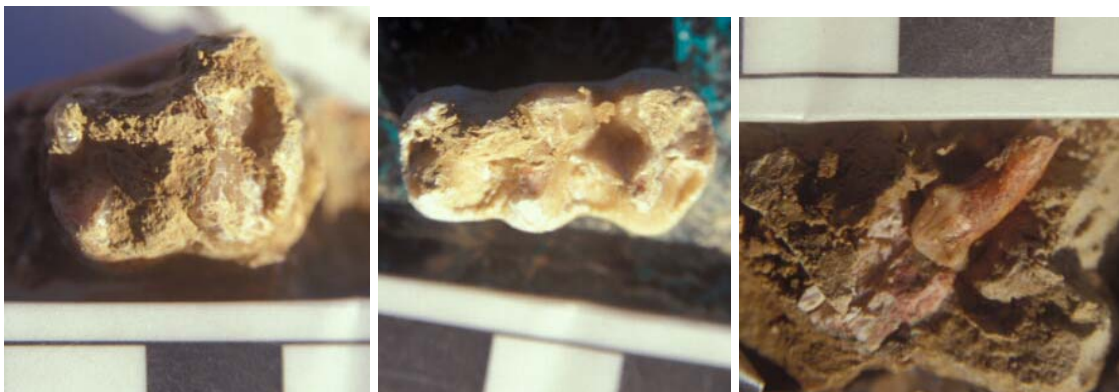




**Figura D81.** Maxil·lar amb sèrie dentària del suid *Listriodon splendens*.



**Figura D82.** Fragments de mandíbula amb dents del suid *Listriodon splendens* ACM1176.



**Figura D83.** Dents de suid diverses corresponents a un mateix individu ACM1350.



**Figura D84.** Dent de suid ACM1024.



**Figura D85.** Dents de suïd ACM879 (esquerra) i ACM880 (dreta).



**Figura D86.** Molars de suïd ACM1140 de C1-E7.



**Figura D87.** Dent de suïd ACM1123 de C1-E7.





**Figura D88.** Primera molar inferior del suid *Propotamochoerus* sp. ACM1532.



**Figura D89.** Molars ACM175 (superior) i ACM176 (inferior) del mateix fragment mandibular de suid.



**Figura D90.** Canina de suid ACM122.



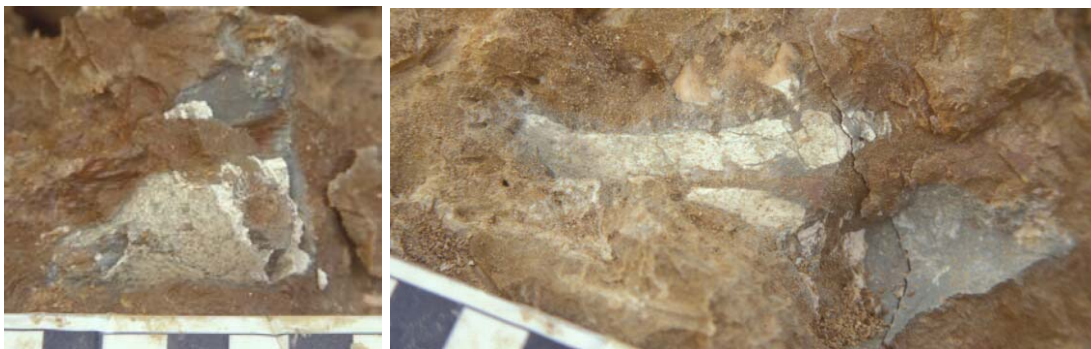


**Figura D91.** Canina de *Listriodon splendens*.



**Figura D92.** ACM1305: Mandíbula del súid *Listriodon splendens*, trobada en un nivell aproximadament equivalent a BDA7 (=BDAb). Mandíbula a mig excavar (superior) i branca mandibular completa amb símfisi trencada (inferior).





**Figura D93.** Fragment mandibular de suïd amb dents ACM1111 de C1-E10.



**Figura D94.** Diversos ossos de l'extremitat anterior de súid ACM1756, incloent ossos llargs, metàpodes, falanges i ossos carpals.

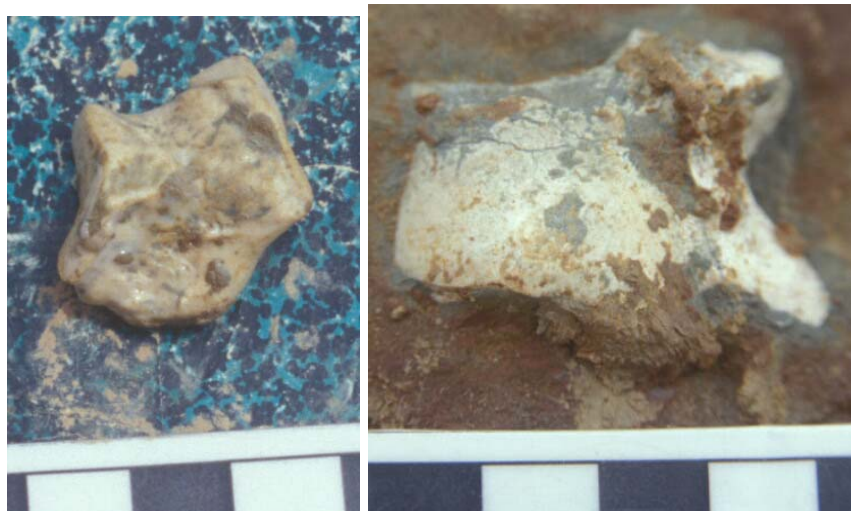




**Figura D95.** Húmer de suid ACM1806.



**Figura D96.** Fragment distal de radi de suid ACM1419.



**Figura D99.** Cuneiforme de suid ACM1813 (esquerra) i astràgal de suid ACM1420 (dreta).





**Figura D100.** Restes postcranials de suid de C1-E7: astràgal ACM1335 (esquerra) i fragments de metàpode associats ACM1336 i ACM1337.



**Figura D97.** Fragments postcranials diversos corresponents a una extremitat de suid ACM202.





**Figura D98.** Restes postcranials d'una pota de súid trobades en el nivell inferior a C1-E10, al preparar la mòmia d'ACM1032: metàpode ACM1802 (superior); metàpode ACM1812 (centre superior); radi-ulna ACM1801 (centre inferior); i ulna (inferior).



**Figura D101.** Metàpode de suïd ACM1026.



**Figura D104.** Fragment distal de metàpode de suïd ACM1538.



**Figura D102.** Falanges d'un dit de suïd ACM519.



**Figura D103.** Falange de suïd ACM1139 de C1-E7.



Els cèrvids serien gairebé tan abundants com els suïds, estant representats sobretot per fragments de banya o banyes senceres (Figures D105 a D113) i dents aïllades (Figura D114), però també mandibulars o maxil·lars (Figures D115 i D116), així com per restes postcranials diverses (Figura D117 a D119) i també cranials (Figura D120). L'espècie de cèrvid més freqüent seria *Euprox furcatus*, les banyes del qual, ramificades dicotòmicament, són molt característiques pel fet de presentar una roseta basal; aquest últim caràcter diferencia aquest tàxon de l'altre cèrvid trobat durant la intervenció, que correspondria a *Heteroprox larteti*. La troballa més destacable pel que fa als cèrvids fou un esquelet d'un individu, parcialment en connexió anatòmica, atribuïble a cf. *Euprox furcatus* al nivell C1-E10 (Figures D121a D124). Aquest esquelet, que inclou costelles, vèrtebres, ossos llargs i dents, fou recuperat en un radi aproximat d'1 m i es trobà associat a un crani adult que, en no presentar banyes, s'ha d'atribuir a una femella.



**Figura D105.** Banya juvenil d'*Euprox furcatus* ACM2121.



**Figura D106.** Banya juvenil d'*Euprox* sp. ACM1797.



**Figura D107.** Fragments de banya de cèrvid ACM361.



**Figura D108.** Fragments de banya de cèrvid ACM482.



**Figura D109.** Banya de cèrvid ACM717.

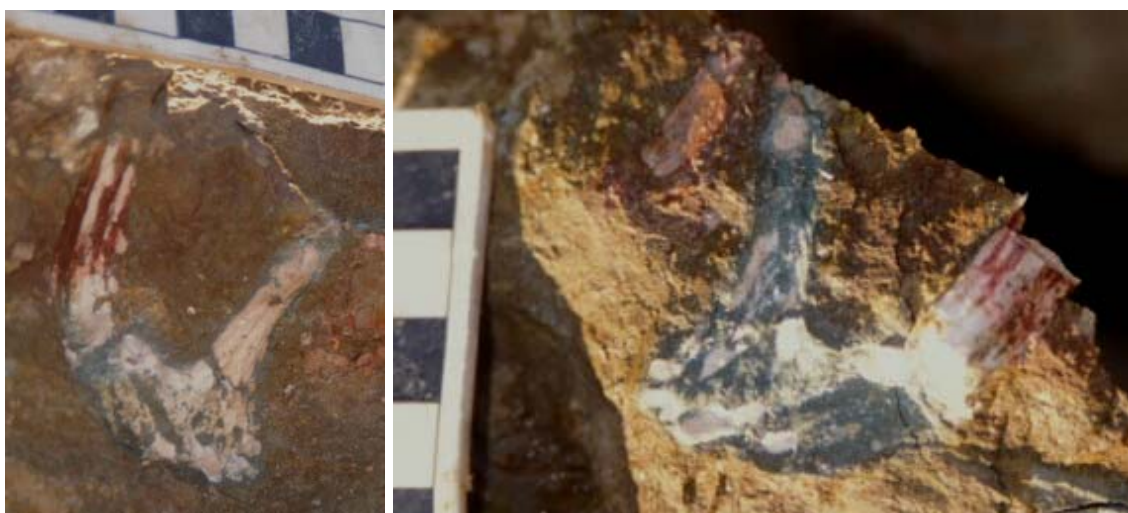




**Figura D110.** Rosetes de banyes del cèrvid *Euprox furcatus* ACM721 (esquerra) i ACM875 (dreta).

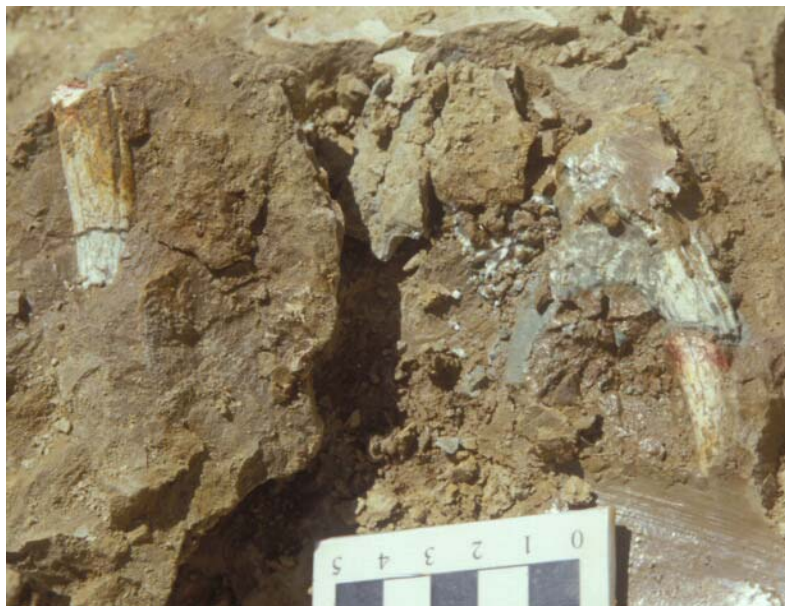


**Figura D111.** Banya de cèrvid ACM910.

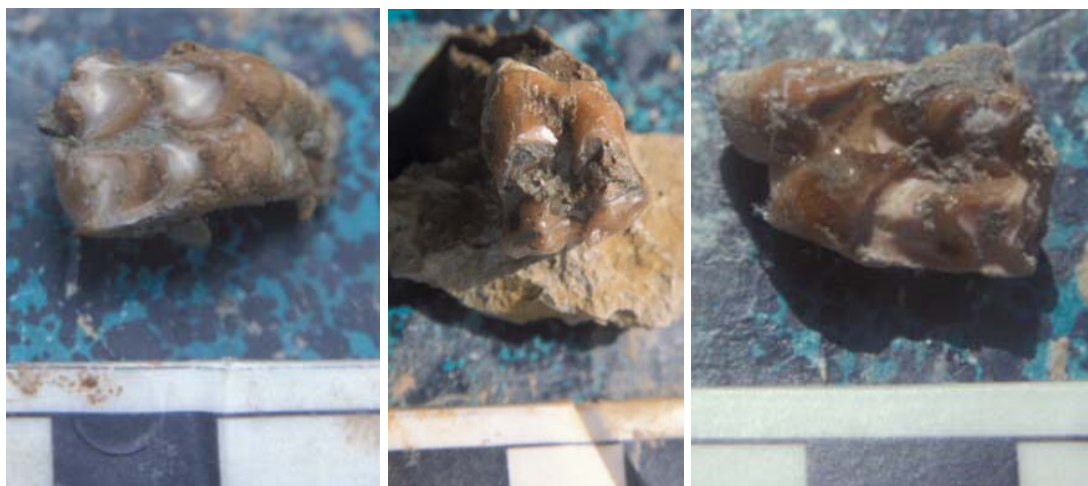


**Figura D112.** Banya del cèrvid *Heteroprox iarteti* ACM911.





**Figura D113.** Banya de cèrvid ACM1645 del nivell immediatament superior a C1-Fa.



**Figura D114.** Dents de cèrvid ACM513 (esquerra), ACM1030 (centre) i ACM1076 (dreta).



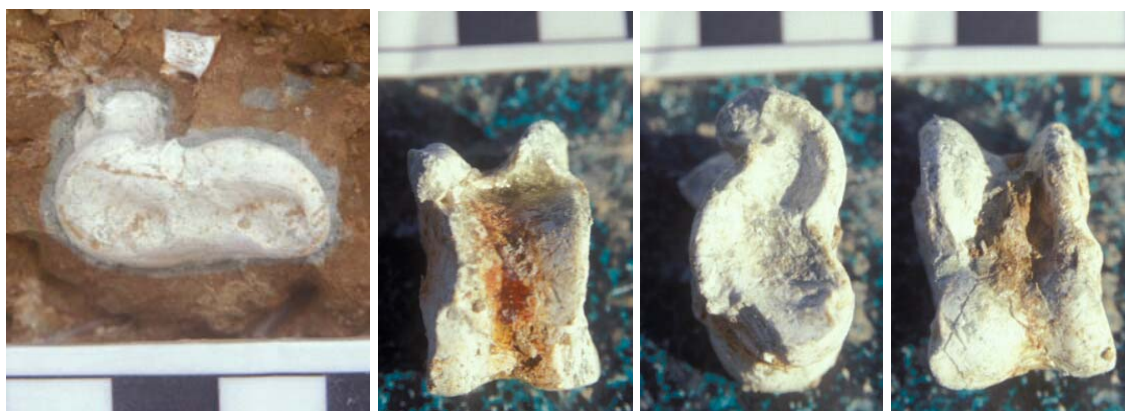
**Figura D115.** Fragment mandibular de cèrvid ACM1148 de C1-E7.



**Figura D116.** Fragment mandibular de cèrvid ACM1236 de C1-E7.

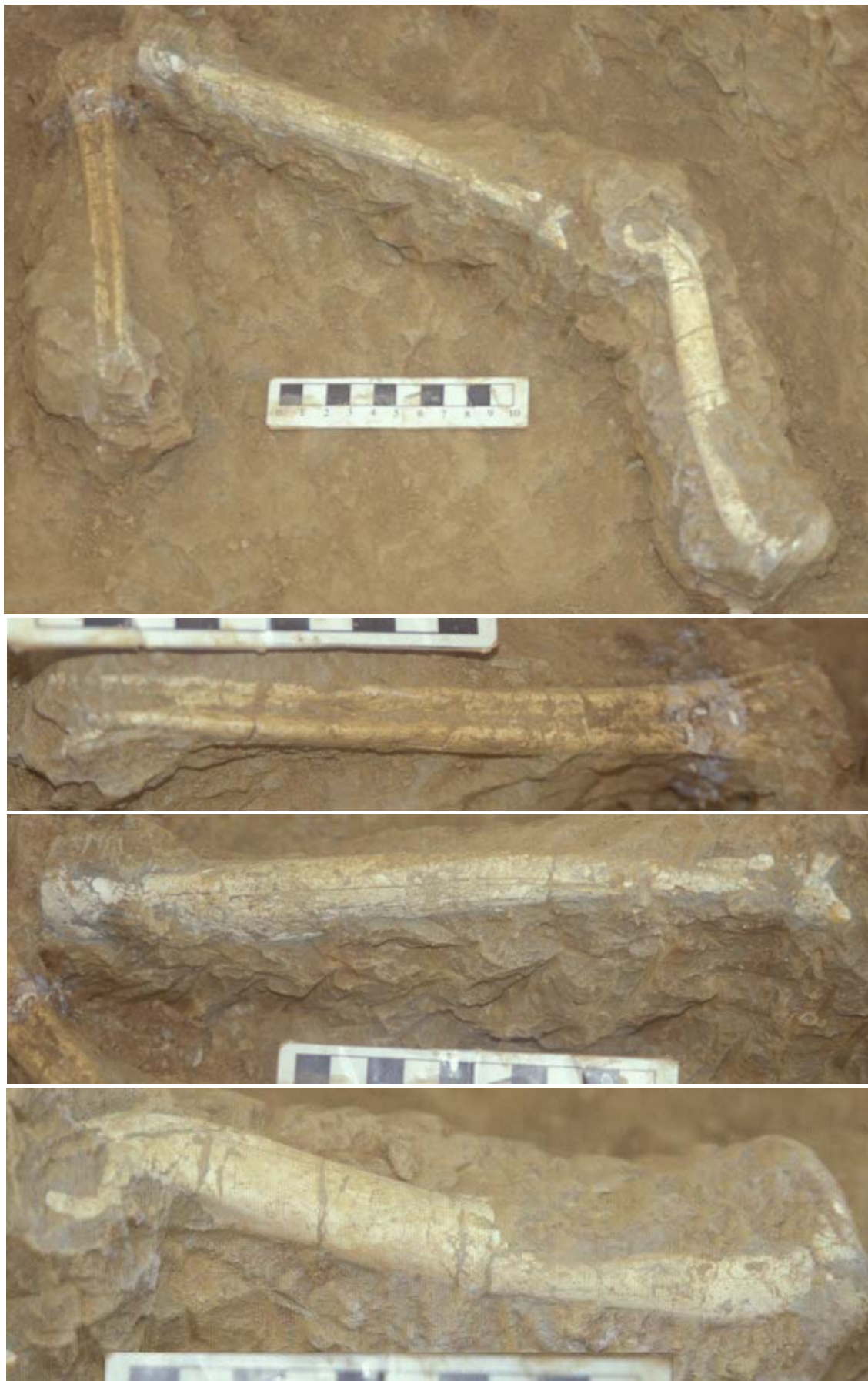


**Figura D117.** Metatarsià de cèrvid ACM1883.



**Figura D118.** Astràgals de cèrvid: ACM1484 (esquerra) i ACM1318 (tres perspectives, dreta).





**Figura D119.** Ossos postcranials atribuïbles a un mateix cèrvid (superior), i detall dels diversos ossos: metatarsià ACM1246, tibia ACM1256 i húmer ACM1249.



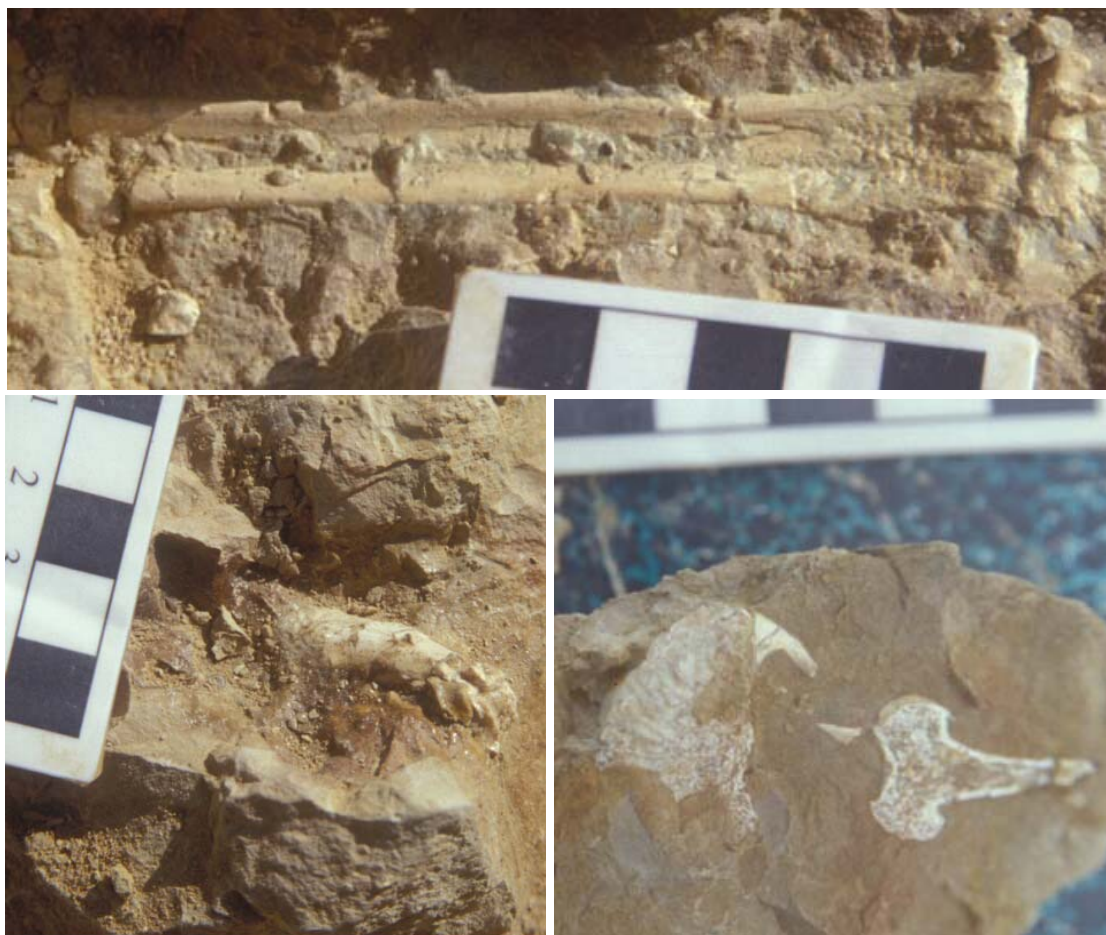


**Figura D120.** Fragment de crani de cèvid ACM1000 (a l'esquerra), al costat d'una closca de tortuga ACM1001 (dreta) de C1-E9.



**Figura D121.** Esquelet parcial del cèvid cf. *Euprox furcatus* de C1-E10, incloent vèrtebres i costelles.





**Figura D122.** Restes postcranials diverses atribuïbles al mateix esquelet parcial de cf. *Euprox* sp. ACM1032: metàpode ACM1729 (superior); probable falange ACM1733 (inferior esquerra); i vèrtebra ACM1630 (inferior dreta).



**Figura D123.** Crani de cèvid cf. *Euprox furcatus* ACM1561, trobat a prop de l'esquelet parcial ACM1032.





**Figura D124.** Restes postcranials diverses atribuïbles al mateix esquelet parcial de cf. *Euprox* sp. ACM1032: costella ACM1690 (esquerra) i vèrtebra ACM1691 (dreta).

Pel que fa a la resta d'artiodàctils, també foren relativament abundants les troballes del mòsquer (*Micromeryx flourensianus*), una mena de cérvol amb canines prominents però sense banyes, representat per dents (sobretot sèries dentàries parcials) (Figures D125 a D127) i restes postcranials aïllades (Figura D128).



**Figura D125.** Sèrie dentària del mòsquer *Micromeryx flourensianus* ACM209.



**Figura D126.** Mandíbula amb dents de *Micromeryx flourensianus* ACM1566.





**Figura D127.** Fragment mandibular amb sèrie dentària de *Micromeryx flurensianus* ACM1300.



**Figura D128.** Falange distal del mòsquid *Micromeryx flurensianus*.



**Figura D129.** Mandíbula amb sèrie dentària del tragúlid *Dorcatherium* sp. ACM2072.

Finalment, els altres artiodàctils que es recuperaren, però ja amb freqüències molt més baixes, foren el tragúlid (cérvol d'aigua) *Dorcatherium* cf. *naii* (Figures D129 i D130), i el bòvid (antílop) *Myotragocerus* sp. (Figura D131), trobat al CCV a la part més alta de la sèrie.



**Figura D130.** Metacarpia de *Dorcatherium* sp. ACM2112.



**Figura D131.** Húmer distal del bòvid *Myotragocerus* sp. ACM1969.



En quant als perissodàctils, els més abundants foren els rinoceròtids, que estarien representats per, com a mínim, dues espècies. Es trobaren sobretot restes dentàries aïllades, tant molars (Figures D132 i D133) com incisives en forma de defensa (Figures D134 i D135), així com algun element cranial (Figura D136) i postcranial (Figures D137 i D138).



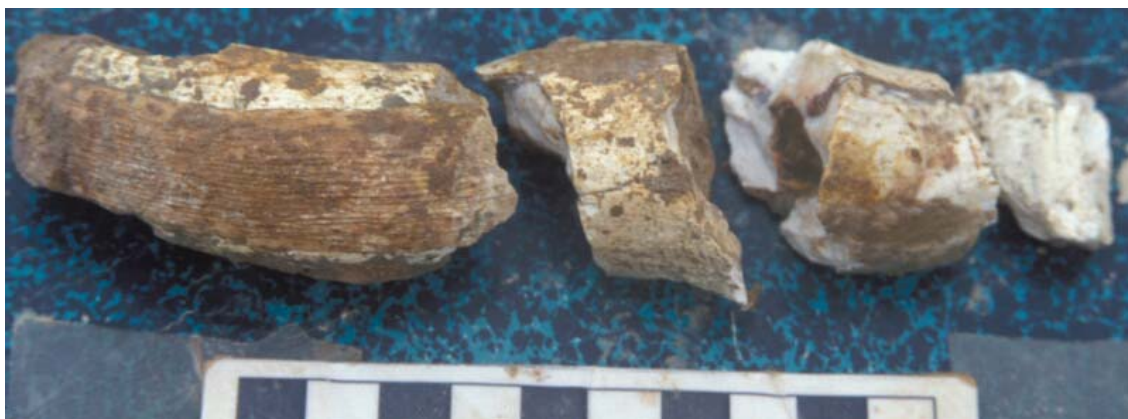
**Figura D132.** Molar de rinoceròtid.



**Figura D133.** Dents de rinoceròtid ACM1453 (esquerra) i ACM1486 (dreta).



**Figura D134.** Incisiva de rinoceròtid ACM259.



**Figura D135.** Incisiva inferior de rinoceròtid ACM463.



**Figura D136.** Fragment de cos mandibular de rinoceròtid juvenil ACM15.



**Figura D137.** Metàpode de rinoceròtid ACM267.





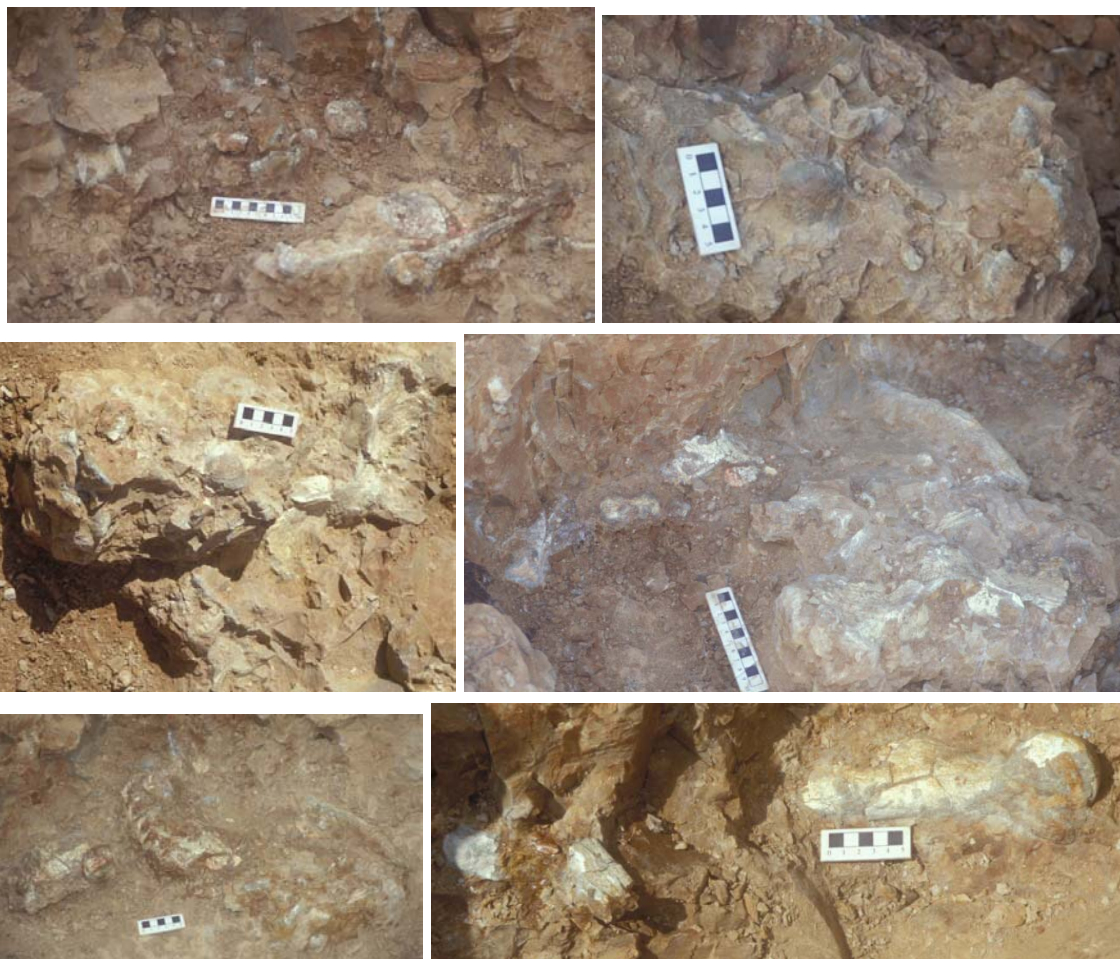
**Figura D138.** Astràgal de perissodàctil ACM265, probablement un rinoceròtid.

També es recuperà un esquelet parcialment articulat del rinoceròtid *Alicornops simorreense* al BDA7. Aquest esquelet es recuperà en un talús que s'estava excavant, en un espai aproximat de 0,5x1,5 m (Figures D139 i D140), i inclogué: restes dentàries soltes, en particular les dues incisives en forma de defensa (Figures D142 i D144); un crani parcial (Figures D141 i D143), preservant el paladar amb dentició i tot el basicrani fins els còndils occipitals; abundants costelles (Figura D146) i vèrtebres diverses (Figura D145), l'atlas inclòs (Figura D147); ossos de la mà i del peu, incloent metàpodes (Figura D150) i ossos carpals i tarsals (Figures D148 i D149); ossos llargs, incloent l'húmer (Figura D151) i el radi-ulna (Figura D152); i una escàpula (Figura D153).



**Figura D139.** Cnccentració d'ossos del rinoceròtid *Alicornops simorreense* a BDA7.



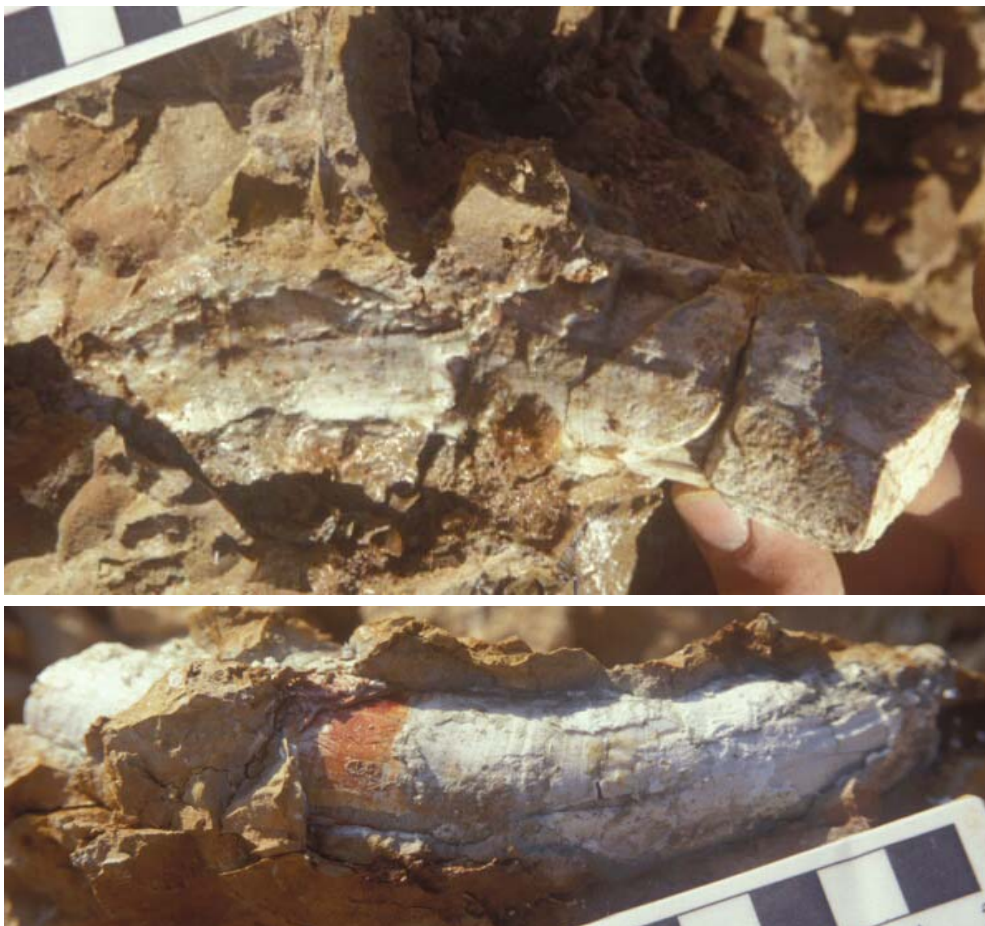


**Figura D140.** Desenvolupament de l'excavació d'un esquelet parcial del rinoceròtid *Alicornops simorreense* del nivell BDAb (=BDA7) al llarg del temps: 8/4/03 (superior); 10/4/03 (centre); 14/4/03 (inferior esquerra); i 22/4/03 (inferior dreta).



**Figura D141.** Maxil·lar de rinoceròtid *Alicornops simorreense* ACM1347 in situ de BDA7.





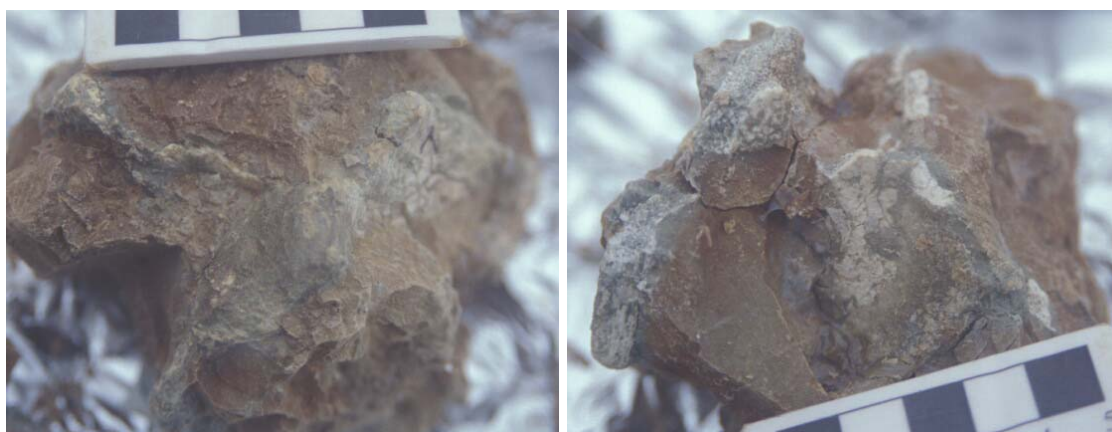
**Figura D142.** Incisiva del rinoceròtid *Alicornops simorreense* ACM1999 de BDA7, in situ (superior) i un cop extreta (inferior).



**Figura D143.** Bloc amb fragments de crani d'*A. simorreense* ACM1447 (sup.) i detalls dels còndils occipitals ACM1449 del mateix crani (inf.) de BDA7.



**Figura D144.** Incisiva del rinoceròtid *Alicornops simorreense* ACM1222 in situ (sup.) i un cop extreta (cen. i inf., diferents perspectives) de BDA7.



**Figura D145.** Vèrtebra del rinoceròtid *Alicornops simorreense* ACM1268 de BDA7.





**Figura D146.** Fragments de costella de BDA7: ACM1772 (superior) i ACM1774 (inferior).



**Figura D147.** Vèrtebra (atlas) del rinoceròtid *A. simorreense* ACM1341 in situ de BDA7.

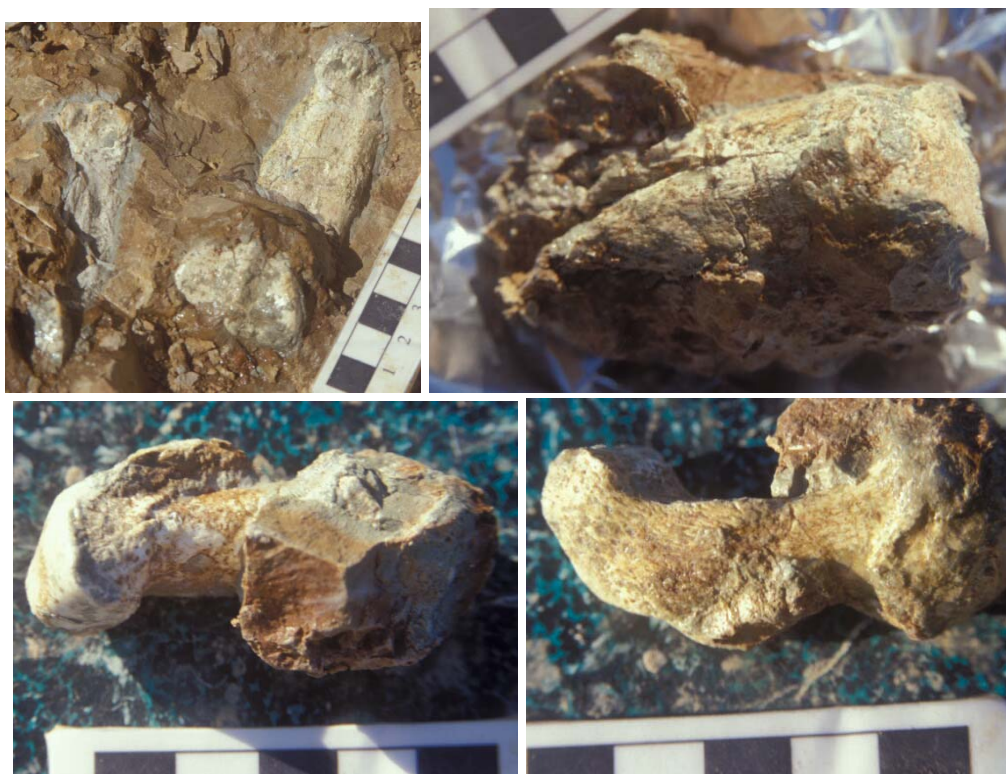


**Figura D148.** Astràgal del rinoceròtid *Alicornops simorreense* ACM1223 de BDA7.





**Figura D149.** Ossos carpals o tarsals del rinoceròtid *Alicornops simorreense* de BDA7: ACM1231 (superior esquerra); ACM1349 (superior dreta); ACM1232 (inferior esquerra); ACM1426 (inferior centre); i ACM1537 (inferior dreta).



**Figura D150.** Metàpodes d'*A. simorreense* de BDA7: ACM1202 i ACM1203 in situ (superior esquerra); ACM1345 (superior dreta); i ACM1346 (inferior).





**Figura D151.** Húmer del rinoceròtid *Alicornops simorreense* ACM1535 de BDA7.



**Figura D152.** Radi ACM1450 i ulna ACM1445 d'A. *Simorreense* in situ (superior) i un cop extrets (inferior), procedents de BDA7.



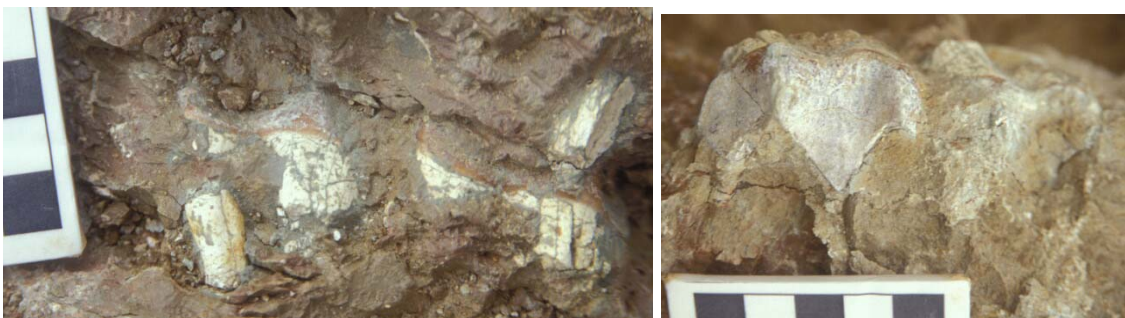


**Figura D153.** Escàpula del rinoceròtid *A. simorreense* ACM1342 de BDA7.

A més dels rinoceronts, cal destacar també, més per la seva singularitat que no pas per la seva abundància, la troballa del perissodàctil *Chalicotherium grande* (Figures D154 a D156), de la família dels calicotèrids, caracteritzat per la presència d'urpes en comptes de peülles.



**Figura D154.** Dent del calicotèrid *Chalicotherium grande* de C1-E7: ACM1396 (esquerra) i ACM1401 (dreta).



**Figura D155.** Dents del calicotèrid *Chalicotherium grande* ACM1400 de C1-E7.





**Figura D156.** Falange mitjana del calicotèrid *Chalicotherium grande* ACM573.



**Figura D157.** Fragments de mandíbula amb dents de l'èquid *Anchitherium* sp. nov ACM1154.

Més sorprenent fou la troballa d'una nova espècie del gènere d'èquid (cavall tridàctil) *Anchitherium* s.l. (Figura D157), caracteritzada entre d'altres per la seva mida petita, i que constituïria la cita més moderna d'aquest tàxon per al Vallès-Penedès. En canvi, no es recuperà, ni a les parts més altes de la sèrie, cap resta atribuïble a *Hipparion*, un altre cavall tridàctil que, a diferència d'*Anchitherium*, té ja només un dels tres dits funcionals, i el qual no apareix a Euràsia fins l'MN9 (fa uns 11 Ma).



**Figura D158.** Crani de mustèlid in situ ACM1160.

Respecte dels carnívors, es va recuperar un crani sencer de mustèlid (Figura D158) i, com a mínim, dos cranis parcials de hiènid (Figura D159) en el nivell C1-E9, a més de restes dentàries soltes, fragments de maxil·lar (Figura D160) i alguna resta postcranial de carnívors diversos (Figura D161).



**Figura D159.** Restes dentàries i cranials d'un probable hiènid ACM987 de C1-E9.



Tanmateix, fins que els fòssils no s'hagin restaurat i estudiat adequadament, es fa difícil de dir quantes i quines espècies es varen recuperar. En principi, hi hauria com a mínim restes de vivèrrids, mustèlids, hiènids i probablement fèlids.



**Figura D160.** Fragment maxil·lar de probable fèlid amb canina associada ACM848.



**Figura D161.** Ulna de carnívor ACM1036 de C1-E9

La troballa més excepcional realitzada durant tota la intervenció fou un crani parcial associat a restes postcranials d'un primat hominoïdeu (ACM51 i sigles associades) en el Barranc de Can Vila, al costat del camí de Can Vila que va fins a la finca amb aquest nom (Figures D162 i D163).



**Figura D162.** Visió general del context del nivell BCV1 (=BDA-SW3).



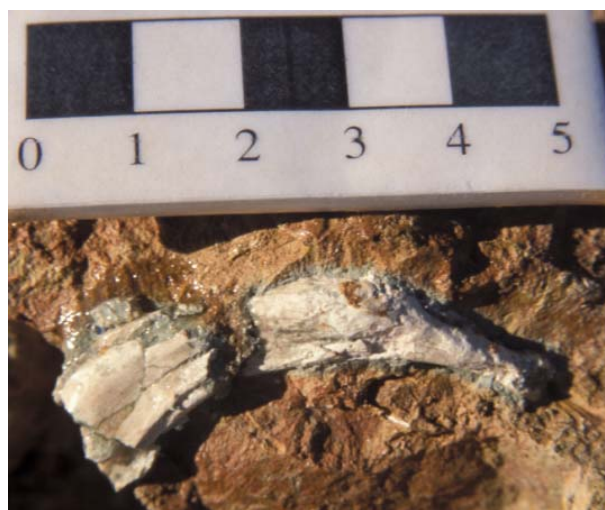
**Figura D163.** Nivell BCV1 després de l'acció de la giratòria (esquerra), i un cop enretirats els derrubis i la terra vegetal (dreta).



La troballa prèvia d'un primat hominoïdeu en un barranc proper a la Masia de Can Vila (Villalta & Crusafont 1941) ja aconsellava d'anar amb especial cura en les zones adjacents. Les noves restes trobades durant la intervenció es localitzaren mentre es duia a terme en aquest sector una activitat de seguiment de giratòria. Atenent a la descripció litològica i geogràfica dels susdits autors, podria tractar-se del mateix jaciment clàssic de Can Vila, però no se'n pot tenir una certesa definitiva. Inicialment, aquestes molars foren atribuïdes a *Dryopithecus fontani* (Villalta & Crusafont 1941); posteriorment, Villalta & Crusafont (1944) erigiren una nova espècie, *Sivapithecus occidentalis*, per incloure-les; i més endavant, Crusafont & Hürzeler (1961) les reclassificaren com a *Hispanopithecus laietanus*, que és l'espècie coneguda actualment com a *Dryopithecus laietanus*. Les noves restes de Barranc de Can Vila 1, en qualsevol cas, no tan sols són diferents de *D. laietanus*, sinó que corresponen a un nou gènere. Com que no es pot saber si corresponen a la mateixa espècie trobada als anys '40, sobretot tenint en compte que durant la intervenció es va recuperar un maxil·lar parcial d'un altre hominoïdeu (ACM660) que no correspon al nou gènere, amb les noves restes s'ha erigit també una nova espècie. Així doncs, el primat hominoïdeu de Barranc de Can Vila 1 correspon a *Pierolapithecus catalaunicus* (Moyà-Solà et al., 2004)



**Figura D164.** Crani parcial de primat hominoïdeu ACM51, abans de ser extret (esquerra) i tot just acabat d'extreure (dreta).



**Figura D165.** Costella d'hominoïdeu ACM44.

Les restes postcranials trobades inicialment a prop del crani (ACM51: Figura D164) correspondrien, entre d'altres, a una vèrtebra lumbar (ACM42), una costella (ACM44: Figura D165) i dues falanges (ACM53 i ACM57: Figura D166). Donada l'elevada probabilitat de trobar enterrades més restes del mateix individu, es procedí a tapar amb plàstics l'aflorament (Figura D167) fins que es pogués dur a terme una excavació d'urgència en superfície. Aquesta excavació, dirigida per Salvador Moyà-Solà de l'IPS, es dugué a terme des de finals de maig fins a principis de juliol de 2003, paral·lelament a la intervenció paleontològica. En conjunt, les restes recuperades de *Pierolapithecus* estan contribuint de forma molt significativa a esclarir l'origen dels grans antropomorfs vivents i els humans.



**Figura D166.** Fragments de falange de primat hominoïdeu ACM53 (esquerra) i ACM57 (dreta).



**Figura D167.** El jaciment de CV tapat amb plàstics abans de ser excavat.

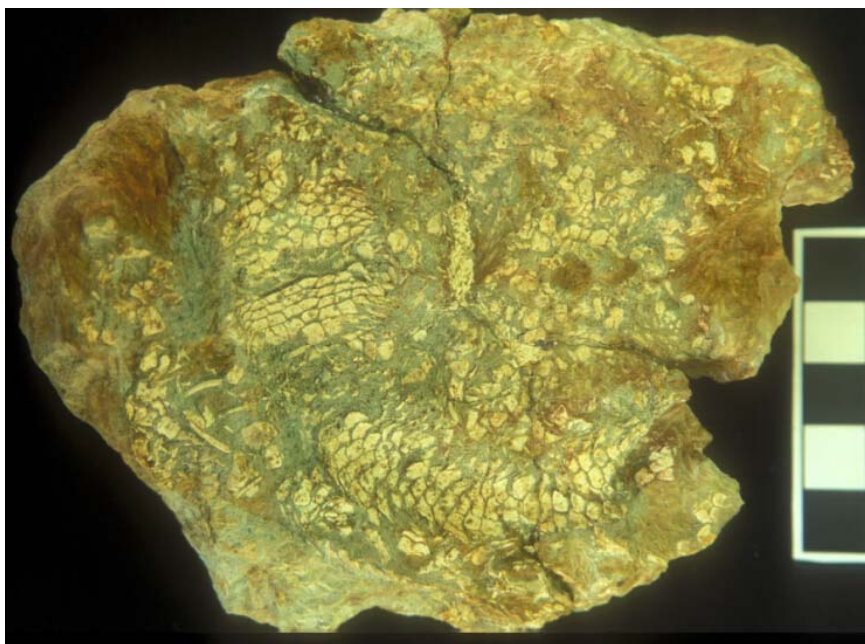
**Restes restaurades.**—La restauració de les peces recuperades durant la intervenció paleontològica s'ha dut (i s'està duent) a terme per Isabel Pellejero, restauradora de l'IPS (Figura D168), o per restauradores de l'empresa Àbac, sota la seva supervisió. Tot i que la majoria de peces recuperades durant la intervenció paleontològica encara no han estat restaurades, a continuació es figuren algunes de les que ja ho han estat, incloent: ànguids (Figura D169), tortugues (Figures D170 a D173), proboscidis (D174 a D176), perissodàctils (D177 a D185), artiodàctils (Figures D186 a D206) i carnívors (Figures D207 i D208). Deixant de banda les corresponents al primat hominoïdeu, destaca



sobretot el crani de carnívor complet que es va recuperar de C1-E9 (Figura D207; compareu amb Figura D158), així com les restes atribuïbles a un esquelet parcial de rinoceròtid (Figures D183 a D185) i un esquelet parcial de cèvid (Figures D192 a D195). En quant a les restes de microvertebrats, Isaac Casanovas-Vilar ha restaurat i muntat les mostres de prova de microvertebrats, així com tota una sèrie de restes de microvertebrats en blocs.



**Figura D168.** Isabel Pellejero, restauradora de l'IPS, restaurant el crani de *Pierolapithecus catalaunicus* ACM51.

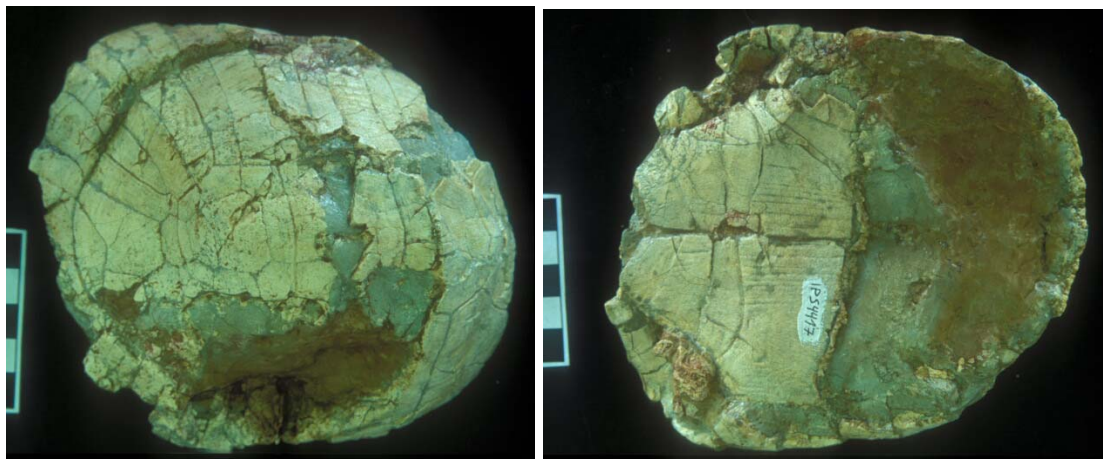


**Figura D169.** Ànguid en connexió anatòmica IPS20244 (ACM1583)

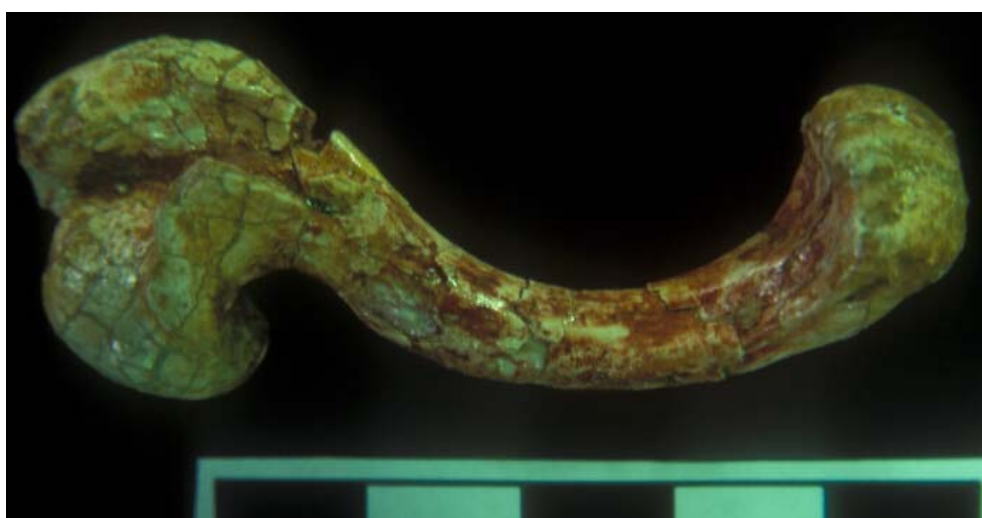


**Figura D170.** Closca de tortuga IPS4411 (ACM1882).

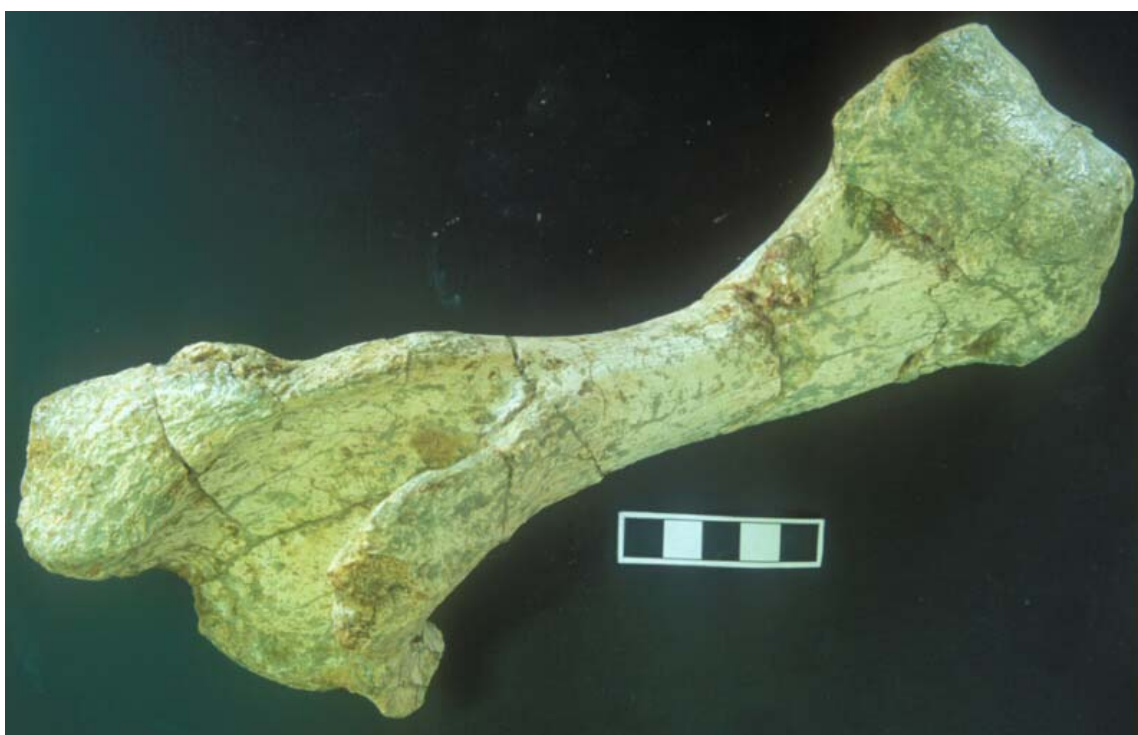




**Figura D171.** Closca de tortuga IPS4417 (ACM1866).



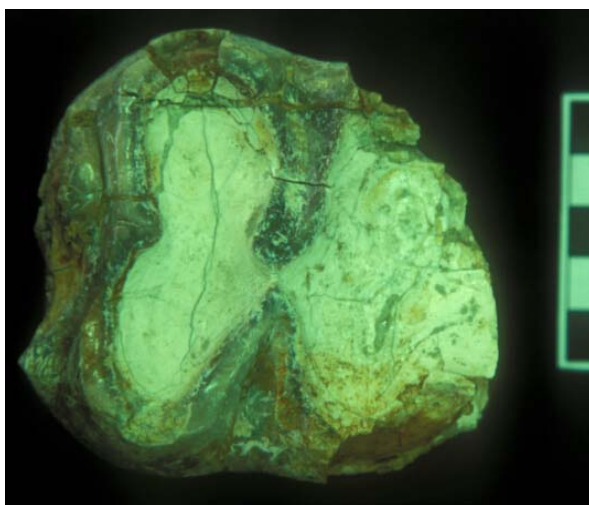
**Figura D172.** ACM1004 (IPS20419): húmer de tortuga.



**Figura D173.** Fèmur de *Cheirogaster* sp. IPS4409 (ACM2106).



**Figura D174.** ACM1803 (IPS704): Tercera molar inferior ( $M_3$ ) de *Gomphotherium* sp.

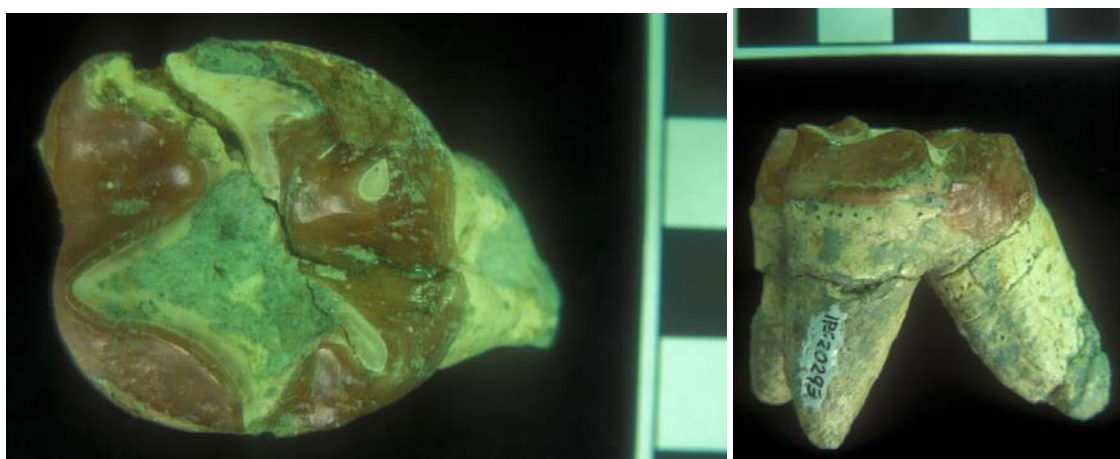


**Figura D175.** ACM1361 (IPS3084): fragment de dent de *Gomphotherium* sp.

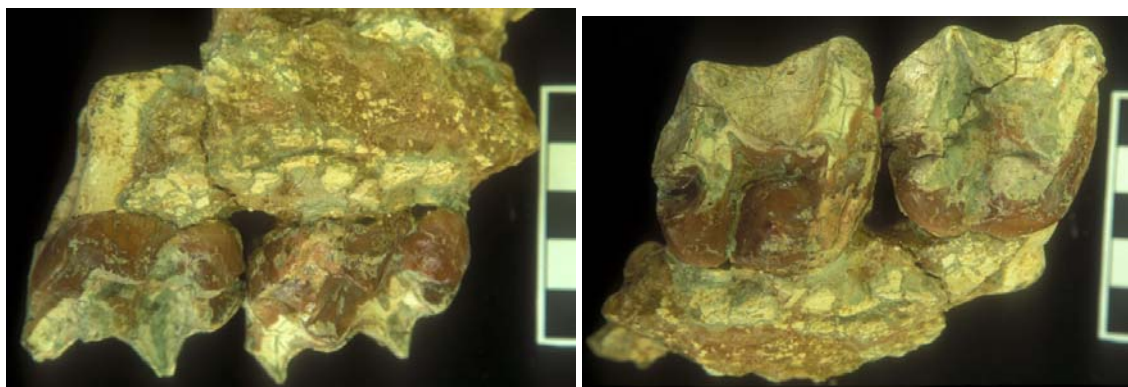




**Figura D176.** Premolar superior ( $P^3$ ) de *Deinotherium giganteum* IPS20420 (ACM41+CV12).



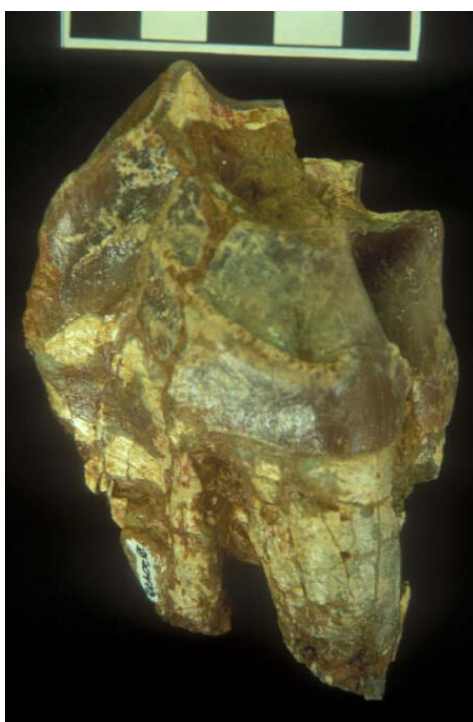
**Figura D177.** Dent de *Chalicotherium grande* IPS20293 (ACM1407).



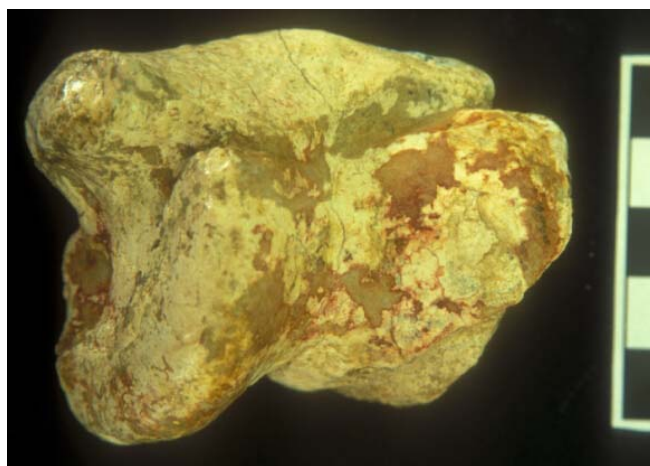
**Figura D178.** Dos molars de *Chalicotherium grande* IPS20300 (ACM1400).



**Figura D179.** Dent de *Chalicotherium grande* IPS20504 (ACM1396).

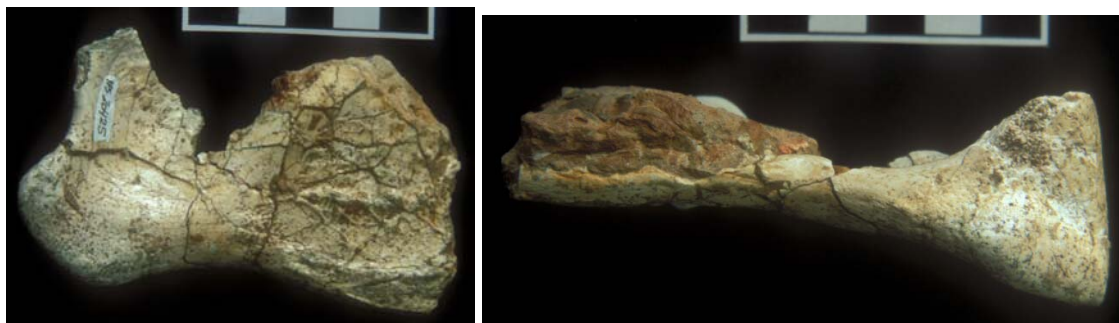


**Figura D180.** Dent de rinoceròntid IPS20473 (ACM1453).



**Figura D181.** Astràgal de rinoceròtid IPS20495 (ACM265)





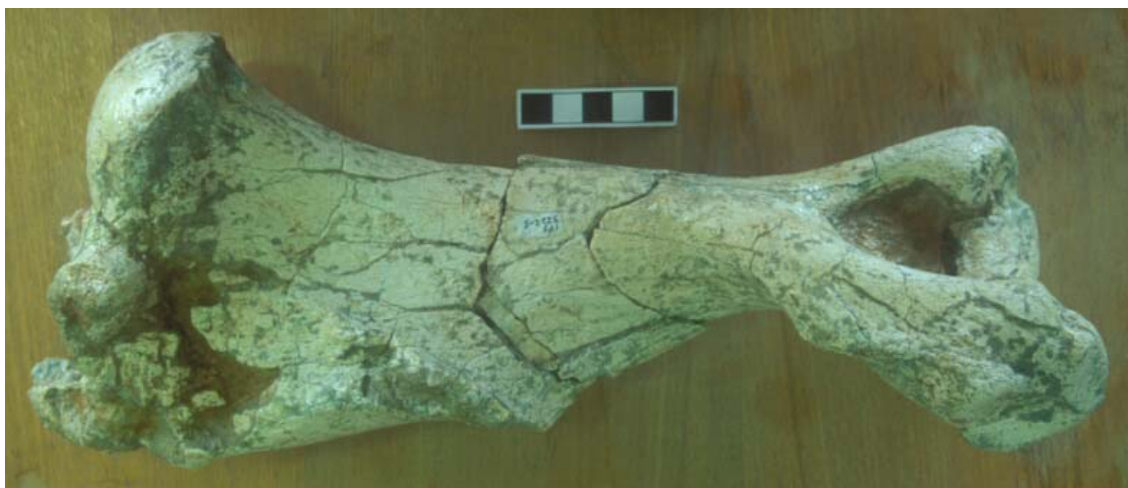
**Figura D182.** Fragment de mandíbula de rinoceròtid juvenil IPS20425 (ACM15).



**Figura D183.** Ulna parcial d'*Alicornops simorrense* IPS5222-2 (ACM1445).



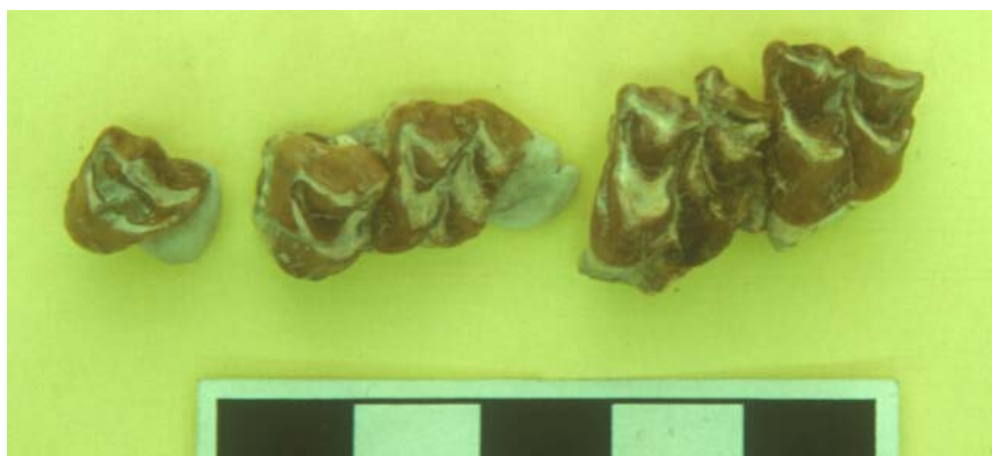
**Figura D184.** Radi parcial d'*Alicornops simorrense* IPS5222-3 (ACM1450).



**Figura D185.** Húmer del rinoceròtid *Alicornops simorreense* IPS5222-5 (ACM1535).



**Figura D186.** Hemimandíbula parcial amb sèrie dentària completa (P/2-M/3) de *Dorcatherium* sp. IPS4422 (ACM2072).



**Figura D187.** Sèrie dentària superior de cèvid ACM1280.

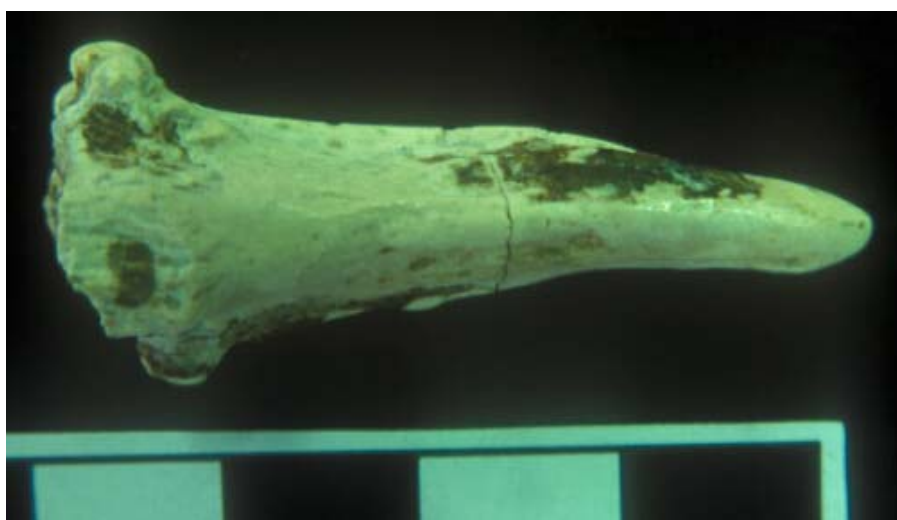




**Figura D188.** Fragment mandibular amb sèrie dentària de cèrvid IPS20403 (ACM1272).



**Figura D189.** Fragment de mandíbula de cèrvid ACM1273.



**Figura D190.** Banyia juvenil del cèrvid *Euprox furcatus* IPS20498 (ACM2121).



**Figura D191.** Crani de cèrvid IPS20437 (ACM1000).



**Figura D192.** Crani de cèrvid IPS4444-1 (ACM1561+ACM1592).





**Figura D193.** Dues hemimandíbules amb sèrie dentària completa (P/2-M/3) de cèrvid IPS4444-2 (ACM1561+1592).



**Figura D194.** Hemipelvis de cèrvid IPS4444-3 (ACM1592).



**Figura D195.** Húmer de cèrvid IPS20405 (ACM1249).



**Figura D196.** Tíbia de cèrvid IPS3085 (ACM1256).



**Figura D197.** ACM1300 (IPS20516). Mandíbula de *Micromeryx flourensianus*.

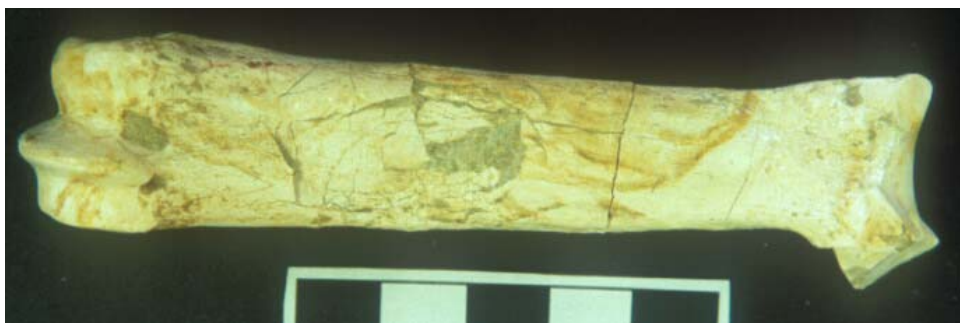




**Figura D198.** Incisiva superior del suïd *Listriodon splendens* ACM1991.



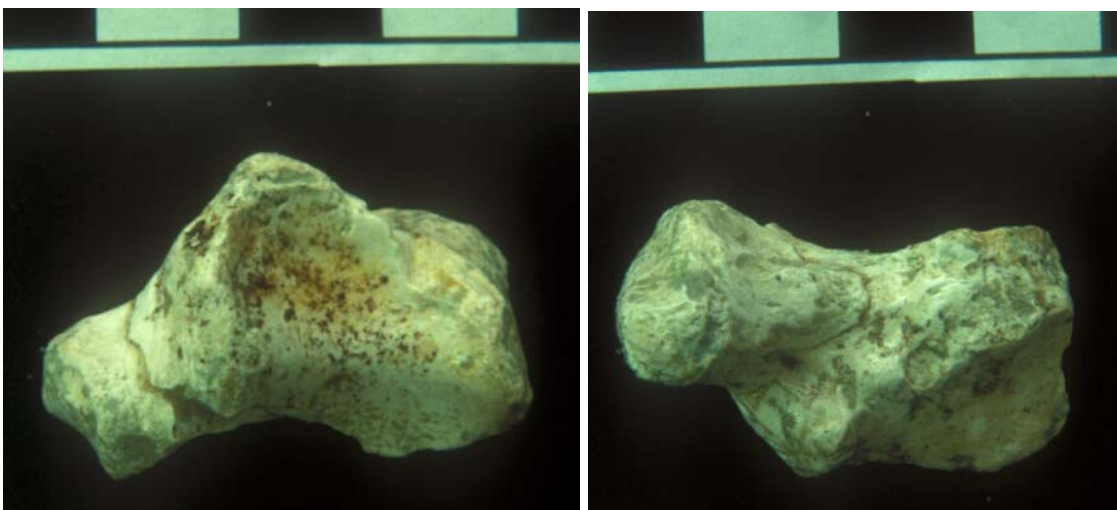
**Figura D199.** Metàpode de suïd IPS4414a (ACM1802).



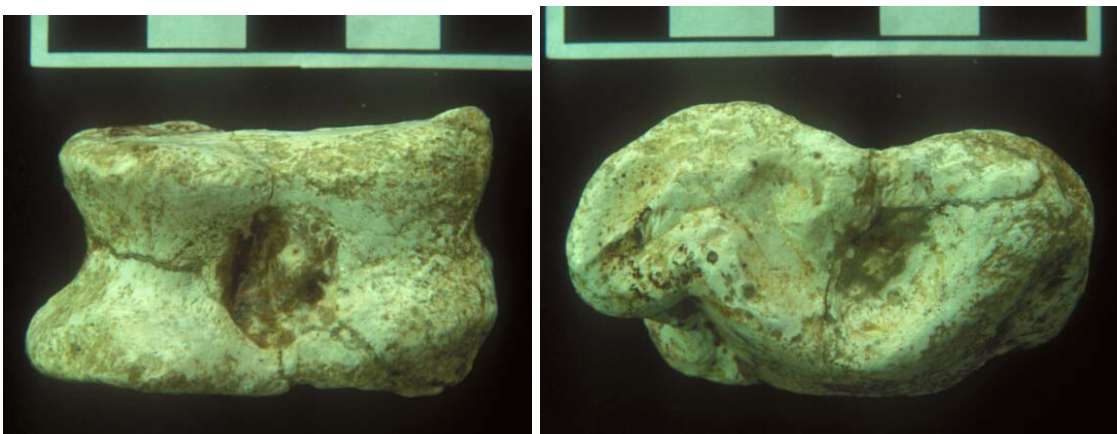
**Figura D200.** Metàpode de suïd IPS4414b (ACM1812).



**Figura D201.** Mà parcial de suïd IPS20268 (ACM1584).



**Figura D202.** Navicular del suïd cf. *Listriodon splendens* IPS20415 (ACM1332).



**Figura D203.** Astràgal del suïd *Listriodon splendens* IPS20402 (ACM1335).

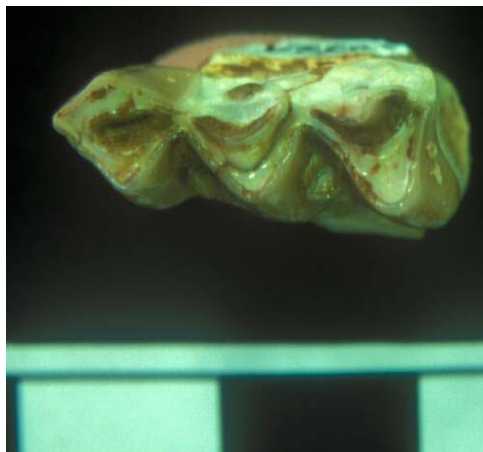




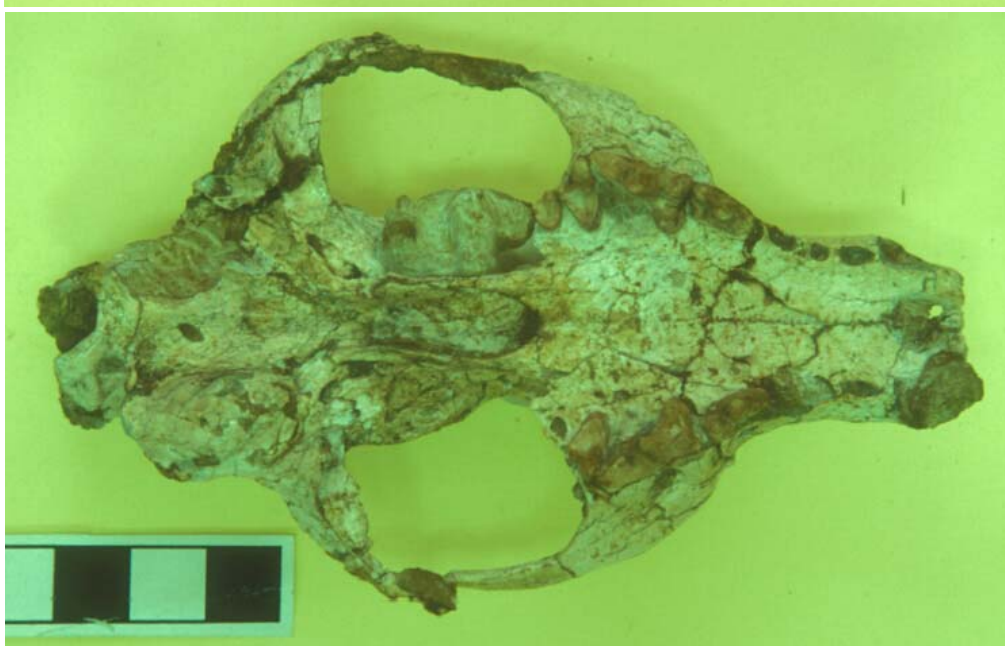
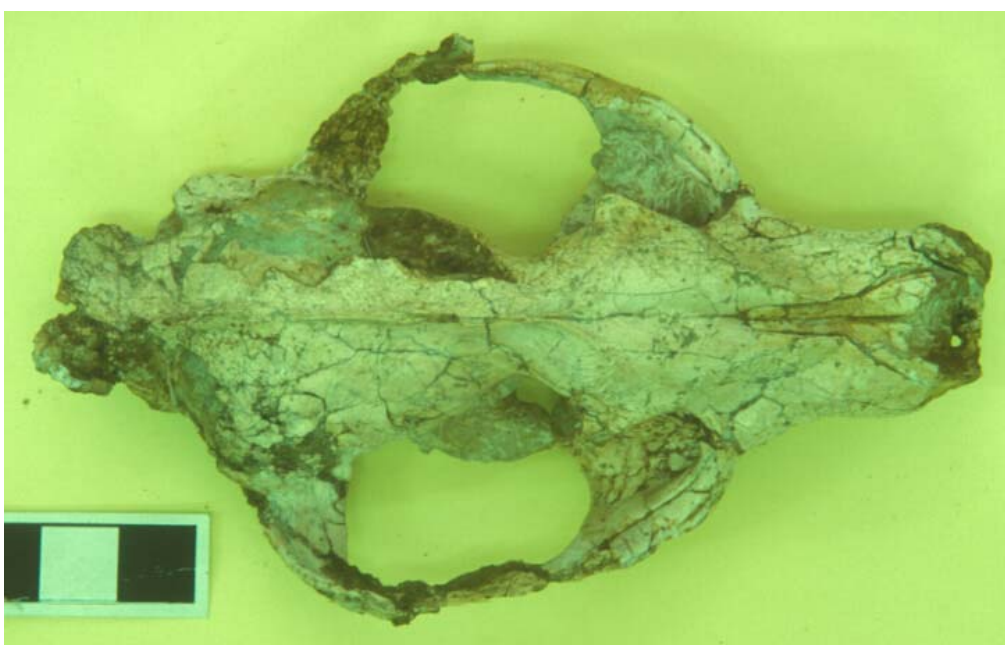
**Figura D204.** Calcani de suid IPS20426 (ACM1).



**Figura D205.** Fragment mandibular amb tercera molar ( $M_3$ ) IPS20434 (ACM1800) (esquerra) i fragment amb premolar i molar ( $P_4-M_1$ ) IPS20536 (ACM1798) (dreta) del suid *Albanohyus pygmaeus*.



**Figura D206.** Premolar del bòvid cf. *Myotragocerus* sp. IPS20321 (ACM2139).



**Figura D207.** Crani de mustèlid IPS20444 (ACM1160).



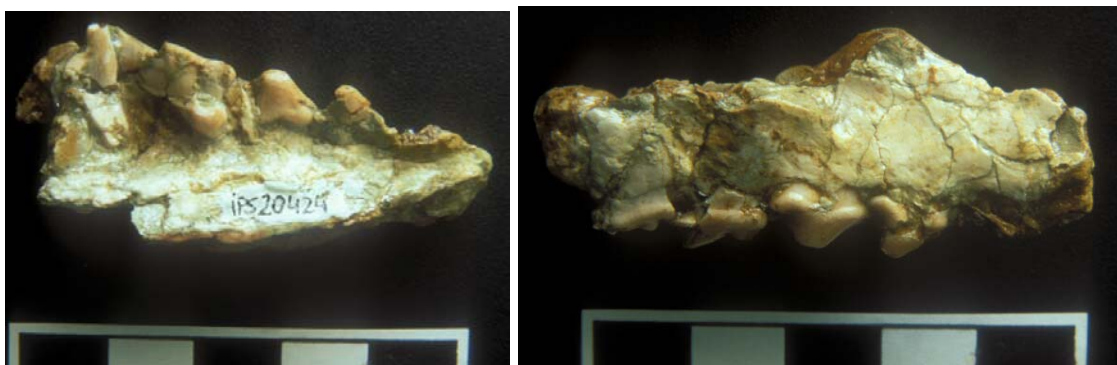


Figura D208. Fragment de paladar amb dents de mustèlid IPS20424 (ACM1338).

### **D.3. Reconstrucció paleoambiental:**

A grans trets, la fauna trobada a la Nova Fase del Dipòsit Controlat de Can Mata, caracteritzada per l'abundància de proboscídis dinotèrids i gomfotèrids, suïds diversos (sobretot *Listriodon*), diferents cérvols (cérvols veritables com *Euprox* i *Heteroprox*, però també el cérvol mesquer *Micromeryx*) i rinoceronts aceraterins, encaixa bastant bé amb les faunes típiques del Miocè Mitjà al Vallès-Penedès (Sant Quirze i Castell de Barberà). Aquestes faunes del Miocè Mitjà relativament properes al Miocè Superior, amb abundants grans herbívors, recorden en certa manera les faunes del Miocè Inferior, probablement degut al restabliment de condicions relativament més humides, que comportaren una major extensió dels boscos subtropicals. Això no significa, però, que al llarg del període de temps representat per la seqüència estratigràfica de Can Mata no s'esdevinguessin canvis climàtics. Tot i que no es podrà arribar a conclusions definitives fins que s'hagi analitzat a fons la informació provinent de l'estudi dels micromamífers, tot sembla indicar que hi hauria una alternança de períodes considerablement humits amb d'altres de relativament més secs. Així, la part més alta de la sèrie sembla representar un període relativament més humit que el lapse de temps definit per les capes de la part inferior, almenys pel que es dedueix de la informació disponible a partir de les mostres de prova. Els períodes secs vindrien caracteritzats per una gran abundància de certs gèneres de cricètid (*Cricetodon* i certes espècies de *Megacricetodon* de mida gran), com en "Hostalets Inferior" típic, mentre que els períodes humits comptarien típicament amb la presència de petaurístids (esquirols voladors) i glirins (lirons), els quals serien rars en períodes secs. La presència de primats hominoïdeus seria també, en principi, un indicador de bosc tancat i humit. Altres elements característics d'ambients humits serien els cérvols *Heteroprox* (probablement semiaquàtic) i *Euprox* (característic de boscos tancats humits), el cérvol d'aigua *Dorcatherium* (un element semiaquàtic típicament associat a cursos estables d'aigua, però d'altra banda molt poc abundant a Can Mata), els rinoceronts similars a *Aceratherium* (que probablement s'alimentaven de vegetació aquàtica), i l'èquid tridàctil primitiu *Anchitherium* (típic d'ambients boscosos no oberts). La mida petita de l'*Anchitherium* de Can Mata donaria suport a la reconstrucció d'un biòtop de bosc tancat i humit, però això no significa que aquesta fos la norma durant la major part del temps.

## **E. CONCLUSIONS**

El desenvolupament de la intervenció paleontològica a la Nova Fase del Dipòsit Controlat de Can Mata permet arribar a les següents conclusions:

- 1) La zona d'afectació de les obres és d'una riquesa i una rellevància paleontològiques excepcionals, tant pel que fa als macrovertebrats com als microvertebrats. Això queda confirmat tant pel nombre com per la qualitat de les restes recuperades: més de 2.100 peces siglades, més de 40 nivells de microvertebrats detectats, diverses noves espècies de mamífers, i un esquelet parcial d'un primat hominoïdeu que constituirà la base per a l'erecció d'un nou gènere.
- 2) Els materials on s'han produït les troballes paleontològiques són dominantment lutites amb intercal·lacions ocasionals o poc freqüents de conglomerats i gresos. Aquests dipòsits es corresponen a fàcies marginals a distals de ventall al·luvial. L'edat, atenent a les dades provisionals aportades pels estudis biostratigràfics i magnetostratigràfics, és d'uns 13,3-13,4 Ma per a la base i d'uns 12,4 Ma pel sostre de la succeció estratigràfica, corresponent aquesta per tant a les unitats biocronològiques MN6 i MN7/8 (Aragonià superior). La gran majoria (tot i que no la totalitat) dels nivells de micromamífers i restes de macrovertebrats trobats durant la intervenció són atribuïbles a l'MN6.
- 3) La localització i prospecció de nombrosos nivells rics en microvertebrats fòssils, i la seva situació en la sèrie magnetostratigràfica, permetrà estudiar de forma més precisa la successió biocronològica de micromamífers, així com dur a terme inferències de caire paleoclimàtic i paleoecològic durant l'Aragonià superior.
- 4) És impossible predir en quin nivell o tipus de sediment apareixeran els fòssils, el ritme de recuperació dels quals sembla ser proporcional al ritme d'extracció del sediment. Això fa necessari de dur a terme un seguiment de màquines sempre que hi hagi remoció de sediments miocens. La riquesa i importància de les restes trobades no només justifica plenament la intervenció duta a terme, sinó que fa imprescindible una intervenció com a mínim comparable en les successives fases d'ampliació de l'abocador.
- 5) L'èxit de la intervenció, tant pel que fa al patrimoni paleontològic i informació associada recuperats, com pel que fa al compliment dels terminis de l'obra, demostra que és possible compatibilitzar totes dues activitats. En general, per a cada màquina (giratòria o bulldozer) seria necessari un paleontòleg que fes el seguiment. A més, caldria també un paleontòleg addicional cada tres màquines, per tal de dur a terme les tasques de suport (extracció, consolidació, siglatge, excavació, recollida de sacs, registre de la informació geològica associada, etc.), i eventualment diversos paleontòlegs i peons per a les excavacions d'urgència (en nombre variable, dependent de la urgència i de l'abast de la zona a excavar).
- 6) No serà possible arribar a conclusions definitives sobre la fauna de Can Mata fins que no s'hagin restaurat una part significativa de les restes, bona part de les quals tenen no només un interès científic, sinó també museístic i/o patrimonial. Actualment, aquesta restauració s'està duent a terme a l'IPS. L'estudi d'aquestes restes sens dubte contribuirà d'una



forma molt notable a l'aprofundiment en el coneixement sobre els ecosistemes terrestres de l'Aragonià Superior.

## **AGRAÏMENTS**

En primer lloc, voldem donar les gràcies a l'empresa CESPÀ GR, que finança íntegrament l'activitat preventiva de control, les excavacions de macrovertebrats i el mostratge de microvertebrats (incloent-hi el rentat), posant a disposició dels paleontòlegs el personal i la maquinària necessaris a cada moment. També volem demostrar la nostra gratitud a Salvador Moyà-Solà (investigador de l'IPS) i Magí Miret (arqueòleg territorial de la Generalitat de Catalunya) pel gran interès, suport, assessorament i dedicació demostrats durant tota la intervenció. També estem agraïts a Isabel Pellejero (restauradora de l'IPS) per l'assessorament tècnic, a l'IPS com a institució per la cessió d'instal·lacions, material i recursos humans, i al seu director Jordi Agustí per la seva col·laboració i assessorament en el mostratge de micromamífers. Voldríem agrair també a Miguel Garcés, Bet Beamud i Lluís Cabrera la realització dels estudis magnetostratigràfics, i la participació de tots aquells paleontòlegs i paleontòlogues que durant aquests mesos han treballat amb nosaltres (especialment J.M. Robles, L. Checa i C. Rotgers).





## **BIBLIOGRAFIA**

- Aguilar, J.P. (1980). Rongeurs du Miocène inférieur et moyen en Languedoc. Leur apport pour les corrélations marin-continental et la stratigraphie. *Palaeovertebrata*, 9: 155-203.
- Agustí, J. (1980). Sobre *Megacricetodon ibericus* (Schaub) (Rodentia, Mamm.) de Hostalets de Pierola (Penedès). *But. Inf. Inst. Paleont. Sabadell*, 12: 35-39.
- Agustí, J. (1981). *Roedores Miomorfos del Neógeno de Catalunya*. Tesi Doctoral inèdita, Universitat de Barcelona.
- Agustí, J. & Gibert, J. (1982). Roedores e insectívoros del Mioceno Superior dels Hostalets de Pierola (Vallès-Penedès, Catalunya). *Butll. Inf. Inst. Paleont. Sabadell*, 14: 19-37.
- Agustí, J.; Moyà-Solà, S.; Gibert, J. (1984). Mammal distribution dynamics in the eastern margin of the Iberian Peninsula during the Miocene. *Paléobiologie Continentale*, 14: 33-46.
- Agustí, J.; Cabrera, L.; Moyà-Solà, S. (1985). Sinopsis estratigràfica del Neógeno de la fosa del Vallès-Penedès. *Paleontologia i Evolució*, 18: 57-81.
- Agustí, J.; Cabrera, L.; Garcés, M.; Krijgsman, W.; Oms, O.; Parés, J.M. (2001). A calibrated mammal scale for the Neogene of Western Europe. State of the art. *Earth-Science Reviews*, 52: 247-260.
- Agustí, J.; Casanovas-Vilar, I.; Furió, M. (en premsa). The small mammals (Rodents and Insectivores) from the late Aragonian of Can Missert (Middle Miocene, Vallès-Penedès Basin, Spain). *Geobios*.
- Alba, D.M.; Casanovas, I.; Galindo, J. (2002). Informe sobre la Intervenció Paleontològica a la Nova Fase del Dipòsit Controlat de Can Mata (Els Hostalets de Pierola, Anoia): Desembre 2002. [Inèdit]
- Alba, D.M.; Casanovas, I.; Galindo, J. (2003a). Informe sobre la Intervenció Paleontològica a la Nova Fase del Dipòsit Controlat de Can Mata (Els Hostalets de Pierola, Anoia): Març 2003. [Inèdit]
- Alba, D.M.; Galindo, J.; Casanovas, I. (2003b). Informe sobre la Intervenció Paleontològica a la Nova Fase del Dipòsit Controlat de Can Mata (Els Hostalets de Pierola, Anoia): Abril 2003. [Inèdit]
- Alba, D.M.; Galindo, J.; Casanovas, I. (2003c). Informe sobre la Intervenció Paleontològica a la Nova Fase del Dipòsit Controlat de Can Mata (Els Hostalets de Pierola, Anoia): Maig 2003. [Inèdit]
- Alba, D.M.; Galindo, J.; Casanovas, I. (2003d). Informe sobre la Intervenció Paleontològica a la Nova Fase del Dipòsit Controlat de Can Mata (Els Hostalets de Pierola, Anoia): Juny 2003. [Inèdit]
- Alba, D.M.; Galindo, J.; Casanovas, I. (en premsa). Intervenció Paleontològica a la Primera Fase del Nou Dipòsit Controlat de Can Mata (Els Hostalets de Pierola, Anoia): Una finestra envers els ecosistemes terrestres de l'Aragonià superior (Miocè). *Jornades d'Arqueologia i Paleontologia 2003*.
- Bartrina, M.T.; Cabrera, L.; Jurado, M.J.; Guimerà, J.; Roca, E. (1992). Evolution of the central Catalan margin of the Valencia Trough. *Tectonophysics*, 203: 219-247.
- Bataller, J.R. (1938). *Els Ratadors Fòssils de Catalunya*. Impremta de la Casa d'Assistència President Macià, Barcelona.
- Cabrera, L.; Calvet, F.; Guimerà, J.; Permanyer, A. (1991) El registro sedimentario miocénico en los semigrabens del Vallès-Penedès y de El

- Camp: organizació secuencial y relaciones tectónica sedimentación. In: F. Colombo (Ed.) *Guía de Campo nº 4 del 1er Congreso del Grupo Español de Terciario*, Vic.
- Casanovas-Vilar, I. & Agustí, J. (Ms. enviat). Ecogeographical stability and climate forcing in the late Miocene (Vallesian) rodent record of Spain. *Palaeogeography, Palaeoclimatology, Palaeoecology*.
- Casanovas, I.; Galindo, J.; Alba, D.M. (2003). Informe sobre la Intervenció Paleontològica a la Nova Fase del Dipòsit Controlat de Can Mata (Els Hostalets de Pierola, Anoia): Gener 2003. [Inèdit]
- Crusafont-Pairó, M. & Hürzeler, J. 1961. Les Pongidés Fossiles d'Espagne. *C. R. Séanc. Acad. Scienc.*, 252: 582-584.
- Crusafont, M. & Truyols, J. 1954. Catálogo paleomastológico del Mioceno del Vallés-Penedés y de Calatayud-Teruel. *Segundo Cursillo Internacional de Paleontología, Sabadell, Julio de 1954*. Museo de la Ciudad de Sabadell, Sabadell.
- Daams, R.; Freudenthal, M.; Meulen, A.J. van der. (1988). Ecostratigraphy of micromammal faunas from the Neogene of Spain. *Scripta Geologica, Spec. Issue 1*: 287-302.
- Galindo, J. (2001). Informe geològic i prospecció paleontològica de l'àrea compresa entre la riera de Pierola i la riera de Claret. [Inèdit]
- Galindo, J.; Alba, D.M.; Casanovas, I. (2002). Informe sobre la Intervenció Paleontològica a la Nova Fase del Dipòsit Controlat de Can Mata (Els Hostalets de Pierola, Anoia): Novembre 2002. [Inèdit]
- Galindo, J.; Alba, D.M.; Casanovas, I. (2003a). Informe sobre la Intervenció Paleontològica a la Nova Fase del Dipòsit Controlat de Can Mata (Els Hostalets de Pierola, Anoia): Febrer 2003. [Inèdit]
- Galindo, J.; Alba, D.M.; Casanovas, I. (2003b). Informe sobre la Intervenció Paleontològica a la Nova Fase del Dipòsit Controlat de Can Mata (Els Hostalets de Pierola, Anoia): Juliol/Agost 2003. [Inèdit]
- Galindo, J.; Alba, D.M.; Casanovas Vilar, I.; Moyà-Solà, S. (Com. Oral inèdita). Intervenció paleontològica al Nou Dipòsit Controlat de Can Mata i excavació al jaciment de Can Vila (els Hostalets de Pierola, Anoia).
- Garcés, M.; Krijgsman, W.; Peláez-Campomanes, P.; Álvarez-Sierra, M.A.; Daams, R. (2003). *Hipparion* dispersal in Europe: magnetostratigraphic constraints from the Daroca area (Spain). *Coloquios de Paleontología*, Vol. Ext. 1: 171-178.
- Meulen, A.J. van der & Daams, R. (1992). Evolution of Early-Middle Miocene rodent faunas in relation to long-term paleoenvironmental changes. *Palaeogeography, Palaeoclimatology, Palaeoecology*, 93: 227-253.
- Meulen, A.J. van der; Peláez-Campomanes, P.; Daams, R. (2003). Revision of medium-sized Cricetidae from the Miocene of the Daroca-Villafeliche area in the Calatayud-Teruel basin (Zaragoza, Spain). *Coloquios de Paleontología*, Vol. Ext. 3: 385-441.
- Moyà-Solà; Köhler, M.; Alba, D.M.; Casanovas-Vilar, I.; Galindo, J. (2004, en premsa). *Pierolapithecus catalaunicus*, a new Middle Miocene great ape from Spain. *Science*.
- Roca, E. & Guimerà, J. (1992). The Neogene structure of the eastern Iberian margin: structural constraints on the crustal evolution of the València trough (Western Mediterranean). *Tectonophysics*, 203: 203-218.



- Roca, E.; Sans, M.; Cabrera, L.; Marzo, M. (1999a). Modelo tectonosedimentario del sector central y septentrional del margen catalán sumergido (cubetas de Barcelona, Sant Feliu y Riumors-Roses). In: *Libro Homenaje a José Ramírez del Pozo*, 199-218. Asociación de Geólogos y Geofísicos Españoles del Petróleo, Madrid.
- Roca, E.; Sans, M.; Cabrera, L.; Marzo, M. (1999b). Oligocene to Middle Miocene evolution of the Central Catalan margin (North-western Mediterranean). *Tectonophysics*, 315: 209-229.
- Villalta Comella, J.F. de & Crusafont Pairó, M. (1941). Hallazgo del "Dryopithecus fontani", Lartet, en el Vindoboniense de la cuenca Vallés-Penedés.
- Villalta, J.F. de & Crusafont, M. (1944). Dos nuevos antropomorfos del Mioceno español, y su situación dentro de la moderna sistemática de los símidos. *Not. Com. Inst. Geol. Min. Esp.*, 13: 3-51.
- Weerd, A. van de & Daams, R. (1978). Quantitative composition of rodent faunas in the Spanish Neogene and paleoecological implications. *Proceedings Koninklijke Nederlandse Akademie van Wetenschappen (Series B)*, 81: 448-473.

## **APÈNDIX 1: INVENTARI DEL MATERIAL RECUPERAT A L'ABOCADOR DE CAN MATA (INTERVENCIÓ 2002-2003)**

- ACM1 (IPS20426): 11/11/02. Calcani. Suidae indet. ACM/PP5.  
ACM2 (IPS20400): 11/11/02. Fragment d'os llarg. Proboscidea indet. ACM/PP3.  
ACM3 (IPS20449): 11/11/02. Fragment cranial indet. Mammalia indet. ACM/PP3.  
ACM4 (IPS20412): 12/11/02. Fragment de dent. Mammalia indet. ACM/PP7.  
ACM5 (IPS20398): 12/11/02. Fragment de molar. Proboscidea indet. ACM/PP8.  
ACM6 (IPS20438): 12/11/02. Diàfisi d'húmer. Cervidae indet. ACM/PP7.  
ACM7 (IPS20450): 18/11/02. Fragment d'os indet. Indet. ACM/VIE-B.  
ACM8 (IPS20455): 19/11/02. Estelles. Indet. ACM/VIE-C2.  
ACM9 (IPS20441): 19/11/02. Fragment d'os indet. Mammalia indet. ACM/VIE-C2.  
ACM10 (IPS20440): 19/11/02. Fragment d'esfalt. Mammalia indet. ACM/VIE-C2.  
ACM11 (IPS20442): 19/11/02. Estelles. Indet. ACM/VIE-C.  
ACM12 (IPS20443): 20/11/02. Estella. Indet. ACM/C1.  
ACM13 (IPS20460): 20/11/02. Estelles. Indet. ACM/C1.  
ACM14 (IPS20446): 20/11/02. Estelles. Indet. ACM/C1.  
ACM15 (IPS20425): 20/11/02. Fragment de mandíbula. Rhinocerotidae indet. ACM/PP1.  
ACM16 (IPS20472): 20/11/02. Os rodat. Indet. ACM/PP1.  
ACM17 (IPS20463): 20/11/02. Estelles. Indet. ACM/PP1.  
ACM18 (IPS20421): 20/11/02. Incisiva (I2/). *Listriodon splendens*. ACM/BDA1.  
ACM19 (IPS20447): 20/11/02. Fragment d'os indet. Indet. ACM/BDA3.  
ACM20 (IPS20469): 20/11/02. Fragment distal de falange (?). Mammalia indet. ACM/BDA.  
ACM21 (IPS20439): 25/11/02. Fragment de plastró. Testudines indet. ACM/BDA.  
ACM22 (IPS20465): 25/11/02. Fragment de diàfisi (?). Mammalia indet. ACM/BDA.  
ACM23 (IPS20468): 26/11/02. Germen dentari. Mammalia indet. ACM/BDA.  
ACM24 (IPS20471): 26/11/02. Estella. Indet. ACM/BDA.  
ACM25a: 26/11/02. Banya (??). Artiodactyla indet. ACM/BDA.  
ACM25b: 26/11/02. Banya (??). Artiodactyla indet. ACM/BDA.  
ACM26: 27/11/02. Estella de diàfisi. Indet. ACM/Prop de PP1.  
ACM27 (IPS20459): 27/11/02. Fragments ossis rodats. Indet. ACM/Prop de PP1.  
ACM28 (IPS20422): 28/11/02. Fragment de diàfisi de metacarpià. Cervidae indet. ACM/BDA5.  
ACM29 (IPS20458): 29/11/02. Fragments de placa. Testudines indet. ACM/C1.  
ACM30 (IPS417): 29/11/02. Molar superior. *Listriodon splendens*. ACM/BDA.  
ACM31 (IPS20448): 29/11/02. Fragment de placa. Testudines indet. ACM/BDA.  
ACM32 (IPS20454): 29/11/02. Fragment de placa. Testudines indet. ACM/C1.  
ACM33 (IPS20470): 29/11/02. Placa de placa. Testudines indet. ACM/BDA5.  
bACM34: 2/12/02. Fragments de closca i ossos postcranials. Testudines indet. ACM/C1-E1.  
ACM35 (IPS20445): 3/12/02. Fragment d'os indet. Indet. ACM/C1-E1.  
ACM36 (IPS20416): 3/12/02. Fragments de plaques. Testudines indet. ACM/C1-E2.  
ACM37: 4/12/02. Closca. Testudines indet. ACM/C1-E2.  
ACM38 (IPS20462): 4/12/02. Estelles. Indet. ACM/C1-E.  
ACM39 (IPS20411): 4/12/02. Fragments de plaques. Testudines indet. ACM/C1-E.  
ACM40: 4/12/02. Crani parcial de micromamífer. Mammalia indet. ACM/C1-E.  
ACM41 (=CV12) (IPS20420). 4/12/02: Premolar esquerra (P3/). *Deinotherium giganteum*. CV/BCV1.  
ACM42+43: 4/12/02. Vèrtebra lumbar. Hominoidea gen. et sp. nov. CV/BCV1.  
ACM44: 4/12/02. Fragment de costella. Hominoidea gen. et sp. nov. CV/BCV1.  
ACM45 (IPS20475): 4/12/02. Fragments d'os indet. Indet. ACM/C1-E, bloc solt.  
ACM46 (IPS20453): 4/12/02. Epífisi distal d'os llarg. Rhinocerotidae indet. (?). ACM/C1-E.  
ACM47 (IPS20413): 5/12/02. Fragment d'os llarg. Mammalia indet. ACM/C1-E2.  
ACM47 (IPS20414): 5/12/02. Fragment basal de banya. *Heteroprox larteti*. ACM/C1-E2.  
ACM48: 5/12/02. Estella o concreció. Indet. ACM/C1-E, en el bloc d'ACM45.  
ACM49 (IPS20467): 5/12/02. Fragment d'os indet. Mammalia indet. ACM/C1-E, en el bloc d'ACM45.  
ACM50: 5/12/02. Dent (?). Mammalia. ACM/C1-E, en el bloc d'ACM45.  
ACM51: 5/12/02. Crani parcial amb dents. Hominoidea gen. et sp. nov. CV/BCV1.  
ACM52: 5/12/02. Fragment de costella. Hominoidea gen. et sp. nov. CV/BCV1.  
ACM53: 5/12/02. Fragment distal de falange. Hominoidea gen. et sp. nov. CV/BCV1.



- ACM54 (IPS20407): Fragment distal de tibia. Suidae indet. CV/BCV1.  
ACM55 (IPS20399): 9/12/02. Cos vertebral. Proboscidea indet. CV/BCV1.  
ACM56: 9/12/02. Fragment de costella. Hominoidea gen. et sp. nov. CV/BCV1.  
ACM57: 9/12/02. Falange. Hominoidea gen. et sp. nov. CV/BCV1.  
ACM58 (IPS20464): 9/12/02. Cuneiforme. Cervidae indet. CV/BCV1.  
ACM59: 11/12/02. Fragment de metàpode. Artiodactyla indet. ACM/C1.  
ACM60: 11/12/02. Estella de diàfisi. Indet. CV/BCV1(=BDA-SW2).  
ACM61: 11/12/02. Fragment de metàpode. Cervoidea indet. CV/BCV1(=BDA-SW2).  
ACM62: 11/12/02. Fragment de falange. Cervoidea indet. CV/BCV1(=BDA-SW2).  
ACM63: 11/12/02. Os indet. Indet. CV/BCV1(=BDA-SW2).  
ACM64: 12/12/02. Fragment de dent. Mammalia indet. ACM/RP-2.  
ACM65: 12/12/02. Placa. Testudines indet. ACM/RP.  
ACM66: 12/12/02. Fragments de mandíbula i molar. Proboscidea indet. ACM/C1.  
ACM67: 13/12/02. Fragment de plastró. Testudines indet. ACM/C1.  
ACM68: 17/12/02. Fragment amb superfície articular. Indet. ACM/VIE-B.  
ACM69: 17/12/02. Fragment fossa glenoïdea d'escàpula. Mammalia indet. ACM/BDL-1.  
ACM70: 17/12/02. Molar. Suidae indet. ACM/C1-C3.  
ACM71: 16/12/02. Fragments de dent. Proboscidea indet. ACM/C1-C.  
ACM72: 18/12/02. Fragment de diàfisi. Indet. CV/BCV.  
ACM73: 18/12/02. Fragment d'os indet. Indet. CV/BCV.  
ACM74: 18/12/02. Fragment de mandíbula. Mammalia indet. ACM/C1-C.  
ACM75: 18/12/02. Fragment de dent. Mammalia indet. ACM/C1-C.  
ACM76: 19/12/02. Múltiples fragments de placa. Testudines indet. ACM/C1-E3.  
ACM77: 19/12/02. Vèrtebra. Testudines indet. ACM/C1-E3.  
ACM78: 19/12/02. 25 elements + 3 blocs de mà o peu. Testudines indet. ACM/C1-E3.  
ACM79: 19/12/02. Escàpula (?). Testudines indet. ACM/C1-E3.  
ACM80: 19/12/02. Húmer. Testudines indet. ACM/C1-E3.  
ACM81: 19/12/02. Múltiples fragments de placa. Testudines indet. ACM/C1-E3.  
ACM82: 19/12/02. Epífisi distal de fèmur. Testudines indet. ACM/C1-E3.  
ACM83: 19/12/02. Placa. Testudines indet. ACM/C1-E3.  
ACM84: 19/12/02. Fragment de diàfisi d'os llarg. Testudines indet. ACM/C1-E3.  
ACM85: 19/12/02. Fragment de calcani. Mammalia indet. ACM/VIE-B.  
ACM86: 20/12/02. Múltiples fragments de placa. Testudines indet. ACM/C1-E3.  
ACM87: 20/12/02. 2 fragments de fèmur. Testudines indet. ACM/C1-E3.  
ACM88: 20/12/02. Closca parcial Testudines indet. ACM/C1-E3.  
ACM89: 20/12/02. Fragment distal d'húmer. Testudines indet. ACM/C1-E3.  
ACM90: 20/12/02. Ossos petits en bloc. Testudines indet (?). ACM/C1-E3.  
ACM91: 20/12/02. Premolar. *Deinotherium* sp. ACM/C1-E.  
ACM92: 20/12/02. Fragment de diàfisi. Indet. ACM/C1-E4.  
ACM93: 20/12/02. Fragments de placa. Testudines indet. ACM/C1-E3.  
ACM94: 20/12/02. Fragment d'os rodat. Indet. ACM/VIE-B.  
ACM95: 20/12/02. Fragment de diàfisi. Indet. ACM/C1-B.  
ACM96: 21/12/02. Fragment de mandíbula amb dents. *Listriodon splendens* (?). ACM/C1-E4.  
ACM97: 20/12/02. Restes postcranials diverses. Testudines indet. ACM/C1-E3.  
ACM98: 21/12/02. Fragment d'esmalt. Proboscidea/Rhinocerotidae indet. ACM/C1-E4.  
ACM99: 21/12/02. Fragment d'os indet. Indet. ACM/VIE-E.  
ACM100: 21/12/02. Fragment de diàfisi. Indet. ACM/C1-E.  
ACM101: 20/12/02. Fragment d'os indet. Indet. ACM/C1-C.  
ACM102: 21/12/02. Fragment arrel de dent. Mammalia indet. ACM/C1-E.  
ACM103: 21/12/02. Fragment de metàpode. Artiodactyla indet. ACM/C1-E.  
ACM104: 2/1/03. Ossos postcranials. Indet. ACM/C1-E.  
ACM105: 2/1/03. Espatllar. Testudines indet. ACM/C1-E.  
ACM106: 2/1/03. Os indet. Testudines indet. ACM/C1-E.  
ACM107: 2/1/03. Estelles postcranials + placa. Testudines indet. ACM/C1-E.  
ACM108: 2/1/03. Os llarg. Testudines indet. ACM/C1-E.  
ACM109: 2/1/03. Molar. Proboscidea indet. ACM/C1-E.  
ACM110: 3/1/03. Fragment ossi. Indet. ACM/C1-E.  
ACM111: 3/1/03. Postcranial (fragment de diàfisi?). Mammalia indet. ACM/C1-F.  
ACM112: 3/1/03. Fragment de diàfisi. Mammalia indet. ACM/C1-F.  
ACM113: 3/1/03. Os indet. Mammalia indet. ACM/C1-F.

- ACM114: 3/1/03. Molar. *Tetralophodon* sp. ACM/C1-F.  
ACM115: 3/1/03. Fragment distal de falange o metàpode. Mammalia indet. ACM/C1-F.  
ACM116: 3/1/03. Fragment de vèrtebra (?). Indet. ACM/C1-F.  
ACM117: 4/1/03. Restes dentàries. Carnivora indet. (?). ACM/C1-E6.  
ACM118: 4/1/03. Dent. Carnivora indet. ACM/C1-E6.  
ACM119: 4/1/03. Fragment de dent. Carnivora. ACM/C1-E6.  
ACM120: 4/1/03. Fragment de dent. Carnivora indet. ACM/C1-E6.  
ACM121: 7/1/03. Fragment distal de tibia. Mammalia indet. ACM/C1-E.  
ACM122: 7/1/03. Canina. *Listriodon splendens*. ACM/C1-C.  
ACM123: 8/1/03. Fragment distal de diàfisi. Mammalia indet. ACM/C1-E.  
ACM124: 8/1/03. Epífisi distal d'húmer. Artiodactyla indet. ACM/C1-E.  
ACM125: 9/1/03. Closca. Testudines indet. ACM/C1-Ea.  
ACM126: 10/1/03. Plaques i altres restes. Testudines indet. ACM/C1-Ea.  
ACM127: 10/1/03. Dent. Suidae indet. ACM/C1-Ea.  
ACM128: 10/1/03. Fragments de placa i ossos postcranials. Testudines indet. ACM/C1-Ea.  
ACM129: 10/1/03. Fragment d'esmalt. Artiodactyla/Perissodactyla indet. ACM/C1-D.  
ACM130: 10/1/03. Fragment de vèrtebra. Proboscidea indet (?). ACM/C1-Eb.  
ACM131: 10/1/03. Fragments de costella. Mammalia indet. ACM/C1-Eb.  
ACM132: 11/1/03. Fragments de costella. Mammalia indet. ACM/C1-Eb.  
ACM133: 11/1/03. Estella de costella. Mammalia indet. ACM/C1-Eb.  
ACM134: 11/1/03. Closca. Testudines indet. ACM/C1-Eb.  
ACM135: 13/1/03. Fragment de closca. Testudines indet. ACM/C1-Ea.  
ACM136: 13/1/03. Múltiples fragments de placa. Testudines indet. ACM/C1-Ea.  
ACM137: 13/1/03. Os indet. Testudines indet. ACM/C1-Ea.  
ACM138: 13/1/03. Closca. Testudines indet. ACM/C1-Ea.  
ACM139: 13/1/03. Falange. cf. *Micromeryx flurensianus*. ACM/C1-E.  
ACM140: 14/1/03. Fragment de closca. Testudines indet. ACM/C1-Ea.  
ACM141: 14/1/03. Closca. Testudines indet. ACM/VIE-D.  
ACM142: 14/1/03. Fragment de closca. Testudines indet. ACM/C1-Ea.  
ACM143: 15/1/03. Fragment de dent. Suidae indet. ACM/VIE-B.  
ACM144: 15/1/03. Fragments de placa. Testudines indet. ACM/VIE-Ba.  
ACM145: 15/1/03. Fragments de placa. Testudines indet. ACM/VIE-Ba.  
ACM146: 15/1/03. Diàfisi i epífisi. Mammalia indet. ACM/VIE-Ba.  
ACM147: 15/1/03. Dent. Mammalia indet. ACM/VIE-Bb.  
ACM148: 15/1/03. Epífisi distal d'húmer (?). Mammalia indet. ACM/VIE-Bb.  
ACM149: 15/1/03. Fragment distal de metàpode. Artiodactyla indet. ACM/VIE-Bb.  
ACM150: 15/1/03. Canina. Suidae indet. ACM/VIE-Bb.  
ACM151: 15/1/03. Os indet. Indet. ACM/VIE-Bb.  
ACM152: 15/1/03. Fragment de costella. Mammalia indet. ACM/VIE-Bb.  
ACM153: 15/1/03. Os indet. i estelles de diàfisi. Indet. ACM/VIE-Bb.  
ACM154: 15/1/03. Plaques. Testudines indet. ACM/C1-Ea.  
ACM155: 16/1/03. Os indet. (pelvis?). Indet. ACM/VIE-Bc.  
ACM156: 16/1/03. Dent. Gomphotheriidae indet. ACM/VIE-Bb.  
ACM157: 16/1/03. Dent. Artiodactyla indet. ACM/VIE-Bb.  
ACM158: 16/1/03. Os llarg + os pla. Indet. ACM/VIE-Bc.  
ACM159: 16/1/03. Ossos diversos. Indet. ACM/VIE-Bc.  
ACM160: 16/1/03. Fragments múltiples de placa. Testudines indet. ACM/VIE-Bc.  
ACM161: 16/1/03. Fragment de diàfisi. Indet indet. ACM/VIE-Bc.  
ACM162: 16/1/03. Fragments de placa. Testudines indet. ACM/VIE-Bc.  
ACM163: 16/1/03. Fragments de placa + ossos diversos. Testudines indet. ACM/VIE-Bc.  
ACM164: 16/1/03. Fragment de mandíbula. Mammalia indet. ACM/VIE-Bb.  
ACM165: 17/1/03. Molar. Suidae indet. ACM/VIE-B.  
ACM166: 17/1/03. Plaques. Testudines indet. ACM/VIE-Bc.  
ACM167: 17/1/03. Fragments d'os pla + estella. Indet. ACM/VIE-B.  
ACM168: 16/1/03. Os indet. amb superfície articular. Mammalia indet. ACM/VIE-Bb.  
ACM169: 17/1/03. Arrel de dent canina. Mammalia indet. ACM/VIE-B.  
ACM170: 16/1/03. Estella de placa. Testudines indet. ACM/VIE-E.  
ACM171: 17/1/03. Dent + os indet. Indet. ACM/VIE-B.  
ACM172: 17/1/03. Os indet. Indet. ACM/VIE-B.



- ACM173: 17/1/03. Fragment de mandíbula amb canina, 2 premolars i 1 molar. Suidae indet. ACM/C1-E7(=c).
- ACM174: 17/1/03. Placa. Testudines indet. ACM/C1-E.
- ACM175 (IPS4424): 18/1/03. Fragments mandibulars amb sèrie dentària M/2-3. *Propotamochoerus palaeochoerus*. ACM/C1-Ba.
- ACM176: 18/1/03. Dent. Suidae indet. ACM/C1-Ba.
- ACM177: 18/1/03. Os indet. Indet. ACM/C1-C.
- ACM178: 18/1/03. Dent canina. Suidae indet. ACM/C1-Ba.
- ACM179: 20/1/03. Fragment de defensa. Proboscidea indet. ACM/C1-Ed.
- ACM180: 20/1/03. Fragment de closca + postcranial. *Cheirogaster* sp. ACM/VIE-B.
- ACM181: 20/1/03. Plaques. Testudines indet. ACM/C1-E7(=c).
- ACM182: 20/1/03. Plaques. Testudines indet. ACM/C1-E7(=c).
- ACM183: 20/1/03. Plaques + os indet. Testudines indet. ACM/VIE-B.
- ACM184: 20/1/03. Os indet. Indet. ACM/Riera.
- ACM185: 20/1/03. Fragment de placa. Testudines indet. ACM/C1-E.
- ACM186: 20/1/03. Placa marginal. Testudines indet. ACM/C1-E.
- ACM187: 21/1/03. Dent. *Deinotherium* sp. ACM/C1-E-riera.
- ACM188: 21/1/03. Fragment de diàfisi d'os llarg. Mammalia indet. ACM/VIE-B.
- ACM189: 21/1/03. Estella d'os llarg. Indet. ACM/VIE-B.
- ACM190: 21/1/03. Plaques + estella. Testudines indet. ACM/VIE-B.
- ACM191: 21/1/03. Conjunt de plaques. *Cheirogaster* sp. ACM/VIE-B.
- ACM192: 22/1/03. Dent. Suidae indet. ACM/VIE-E.
- ACM193: 22/1/03. Plaques. Testudines indet. ACM/VIE-E.
- ACM194: 22/1/03. Plaques. *Cheirogaster* sp. ACM/VIE-B.
- ACM195: 22/1/03. Plaques. *Cheirogaster* sp. ACM/VIE-B.
- ACM196: 22/1/03. Escàpula (?). Mammalia indet. ACM/VIE-E.
- ACM197: 22/1/03. Closca + postcranial. Testudines indet. ACM/C1-Ee.
- ACM198: 22/1/03. Os llarg o pelvis (?). Testudines indet. ACM/C1-Ee.
- ACM199: 22/1/03. Molar superior. *Listriodon splendens*. ACM/C1-E.
- ACM200: 23/1/03. Molar. Artiodactyla indet. ACM/C1-Ee.
- ACM201: 23/1/03. Plaques. Testudines indet. ACM/VIE-Ea.
- ACM202: 23/1/03. Ossos articulats d'una extremitat + ossos associats. Suidae indet. ACM/VIE-Ea.
- ACM203: 23/1/03. Fragment d'os llarg. Indet. ACM/C1-E7(=c).
- ACM204: 24/1/03. Molar. *Tetralophodon* sp. ACM/VIE-B.
- ACM205: 24/1/03. Plaques. Testudines indet. ACM/C1-E.
- ACM206: 24/1/03. Os pla (escàpula?). Indet. ACM/C1-E.
- ACM207: 24/1/03. Plaques. Testudines indet. ACM/C1-E.
- ACM208: 24/1/03. Plaques + postcranial. Testudines indet. ACM/C1-Ee.
- ACM209: 24/1/03. Sèrie dentària. *Micromeryx flourensianus*. ACM/C1-Ee.
- ACM210: 24/1/03. Placa. Testudines indet. ACM/VIE-Ea.
- ACM211: 24/1/03. Molar. *Listriodon splendens*. ACM/VIE-Ea.
- ACM212: 24/1/03. Placa. *Cheirogaster* sp. ACM/VIE-E.
- ACM213: 24/1/03. Fragment de mandíbula amb M<sub>3</sub>. *Listriodon splendens*. ACM/VIE-Ea.
- ACM214: 24/1/03. Concentració de plaques. Testudines indet. ACM/VIE-B.
- ACM215: 24/1/03. Fragment de closca. *Cheirogaster* sp. ACM/VIE-B.
- ACM216: 23/1/03. Calcani. Rhinocerotidae indet. ACM/VIE-B.
- ACM217: 27/1/03. Fragment de diàfisi (de metàpode?). Artiodactyla indet. ACM/VIE-A.
- ACM218: 23/1/03. Closca. Testudines indet. ACM/VIE-Ba.
- ACM219: 23/1/03. Diàfisi d'os llarg. Mammalia indet. ACM/VIE-Ba.
- ACM220: 23/1/03. Placa. Testudines indet. ACM/VIE-Ba.
- ACM221: 23/1/03. Estella d'os llarg. Mammalia indet. ACM/VIE-Ba.
- ACM222: 25/1/03. Mandíbula. *Listriodon splendens*. ACM/VIE-Ea.
- ACM223: 27/1/03. Diàfisi d'os llarg + epifisi distal. Mammalia indet. ACM/VIE-B.
- ACM224: 26/1/03. Plaques. *Cheirogaster* sp. ACM/VIE-B.
- ACM225: 27/1/03. Fragments de placa. Testudines indet. ACM/VIE-Ea.
- ACM226: 27/1/03. Molar. Suidae indet. ACM/VIE-Ea.
- ACM227: 27/1/03. Molar. Suidae indet. ACM/VIE-Ea.
- ACM228: 25/1/03. Plaques. Testudines indet. ACM/VIE-Ea.
- ACM229: 25/1/03. Restes postcranials. Suidae indet. ACM/VIE-Ea.

- ACM230: 28/1/03. Plaques. *Cheirogaster* sp. ACM/VIE-B.  
ACM231: 28/1/03. Placa. Testudines indet. ACM/VIE-E.  
ACM232: 28/1/03. Dent. Cervidae indet. ACM/VIE-E.  
ACM233: 28/1/03. Os indet. + motllo. Indet. ACM/VIE-Ea.  
ACM234: 28/1/03. Escàpula. Mammalia indet. ACM/VIE-Ea.  
ACM235: 28/1/03. Diàfisi + os pla. Mammalia indet. ACM/VIE-Ea.  
ACM236 (IPS20406): 28/1/03. Fragment distal d'húmer. Cervidae indet. ACM/VIE-Ea.  
ACM237: 28/1/03. Plaques + estella. Testudines indet. ACM/VIE-Ea.  
ACM238: 28/1/03. Fragment de diàfisi d'os (metàpode?). Mammalia indet. ACM/VIE-Ea.  
ACM239: 27/1/03. Dent incisiva. Rhinocerotidae indet. ACM/VIE-E.  
ACM240: 28/1/03. Molar. Cervidae indet. ACM/VIE-E.  
ACM241: 28/1/03. Fragments de plaques. Testudines indet. ACM/C1-E.  
ACM242: 28/1/03. Diàfisi d'os llarg. Mammalia indet. ACM/C1-E.  
ACM243: 28/1/03. Diàfisi. Mammalia indet. ACM/C1-E.  
ACM244: 28/1/03. Os indet. Indet. ACM/C1-E.  
ACM245: 28/1/03. Os indet. Indet. ACM/C1-E.  
ACM246: 28/1/03. Vèrtebra. Mammalia indet. ACM/C1-E.  
ACM247: 28/1/03. Epífisi d'os llarg. Mammalia indet. ACM/C1-E.  
ACM248: 28/1/03. Os indet. Indet. ACM/C1-E.  
ACM249: 29/1/03. Astràgal. Artiodactyla indet. ACM/C1-E.  
ACM250: 29/1/03. Estella d'os llarg. Mammalia indet. ACM/C1-E.  
ACM251: 29/1/03. Os indet. Indet. ACM/C1-E.  
ACM252: 29/1/03. Os indet. Indet. ACM/C1-E.  
ACM253: 29/1/03. Fragments diversos. *Cheirogaster* sp. ACM/C1-E.  
ACM254: 29/1/03. Closca. *Cheirogaster* sp. ACM/C1-E.  
ACM255: 29/1/03. Concentració de plaques. *Cheirogaster* sp. ACM/C1-E.  
ACM256: 29/1/03. Sèrie dentària. Suidae indet. ACM/C1-E.  
ACM257: 29/1/03. Dent canina. Suidae indet. ACM/C1-E.  
ACM258: 29/1/03. Diàfisi. Indet. ACM/C1-E.  
ACM259: 29/1/03. Incisiva. Rhinocerotidae indet. ACM/C1-E.  
ACM260: 29/1/03. Plaques. *Cheirogaster* sp. ACM/C1-E.  
ACM261: 29/1/03. Os indet. Indet. ACM/C1-E.  
ACM262: 30/1/03. Defensa. Proboscidea indet. ACM/VIE-B.  
ACM263: 30/1/03. Dent. Proboscidea indet. ACM/C1-E.  
ACM264: 30/1/03. Fragment d'os llarg (metàpode?). Mammalia indet. ACM/C1-E.  
ACM265 (IPS20495): 30/1/03. Astràgal. Rhinocerotidae indet. ACM/C1-E.  
ACM266: 30/1/03. Metàpode. Perissodactyla/Artiodactyla indet. ACM/C1-E.  
ACM267: 30/1/03. Metàpode. Rhinocerotidae indet. ACM/C1-E.  
ACM268: 30/1/03. Estella d'os llarg. Indet. ACM/C1-E.  
ACM269: 30/1/03. Metàpode (?). Perissodactyla/Artiodactyla indet. ACM/C1-E.  
ACM270: 30/1/03. Falange. Rhinocerotidae indet (?). ACM/C1-E.  
ACM271: 30/1/03. Dent incisiva. Suidae indet. ACM/C1-E.  
ACM272: 30/1/03. Dent. Mammalia indet. ACM/C1-E.  
ACM273: 30/1/03. Defensa. Proboscidea indet. ACM/C1-E.  
ACM274: 30/1/03. Defensa. Proboscidea indet. ACM/C1-E.  
ACM275: 30/1/03. Fragment de diàfisi. Mammalia indet. ACM/C1-E.  
ACM276: 30/1/03. Húmer distal + fragments de diàfisi. Mammalia indet. ACM/VIE-B.  
ACM277: 30/1/03. Fragments de placa. Testudines indet. ACM/VIE-B.  
ACM278: 30/1/03. Fragment de placa marginal. Testudines indet. ACM/VIE-B.  
ACM279: 30/1/03. Conjunt de plaques. Testudines indet. ACM/VIE-B.  
ACM280: 30/1/03. Placa. Testudines indet. ACM/VIE-B.  
ACM281: 30/1/03. Closca. Testudines indet. ACM/VIE-B.  
ACM282: 30/1/03. Estelles d'os (fragment de vèrtebra?). Mammalia indet. ACM/VIE-A.  
ACM283: 30/1/03. Estelles d'os. Mammalia indet. ACM/VIE-B.  
ACM284: 30/1/03. Os indet. Indet. ACM/VIE-B.  
ACM285: 30/1/03. Fragment de defensa. Proboscidea indet. ACM/VIE-B.  
ACM286: 31/1/03. Molar. Proboscidea indet. ACM/C1-E.  
ACM287: 31/1/03. Fragment d'os pla (costella?). Rhinocerotidae indet. (?). ACM/C1-E.  
ACM288: 31/1/03. Fragment distal de metàpode. Mammalia indet. ACM/VIE-Ea.  
ACM289: 31/1/03. Acumulació de plaques. Testudines indet. ACM/C1-C.



- ACM290: 31/1/03. Acumulació de plaques. Testudines indet. ACM/C1-C.  
ACM291: 31/1/03. Acumulació de plaques. Testudines indet. ACM/C1-C.  
ACM292: 31/1/03. Estella de placa. Testudines indet. ACM/C1-E.  
ACM293: 1/2/03. Os indet. Indet. ACM/BDL.  
ACM294: 1/2/03. Epífisi. Indet. ACM/BDL.  
ACM295: 3/2/03. Restes diverses (mandibulars?). *Deinotherium* sp. ACM/C1-Fa.  
ACM296: 3/2/03. Escàpula. Mammalia indet. ACM/VIE-Ea.  
ACM297: 3/2/03. Estella d'os llarg. Mammalia indet. ACM/VIE-Ea.  
ACM298: 3/2/03. Premolar. *Deinotherium* sp. ACM/C1-Fa.  
ACM299: 3/2/03. Molar. *Deinotherium* sp. ACM/C1-Fa.  
ACM300: 3/2/03. Os llarg (?). *Deinotherium* sp. ACM/C1-Fa.  
ACM301: 3/2/03. Molar. *Deinotherium* sp. ACM/C1-Fa.  
ACM302: 31/1/03. Element tarsal o carpal. Mammalia indet. ACM/C1-E.  
ACM303: 3/2/03. Placa. Testudines indet. ACM/C1-E.  
ACM304: 3/2/03. Estella de diàfisi. Mammalia indet. ACM/C1-E.  
ACM305: 3/2/03. Os pla (costella?). *Deinotherium* sp. ACM/C1-Fa.  
ACM306: 3/2/03. Premolar. *Deinotherium* sp. ACM/C1-Fa.  
ACM307: 3/2/03. Defensa. *Deinotherium* sp. ACM/C1-Fa.  
ACM308: 3/2/03. Os pla. *Deinotherium* sp. (?). ACM/C1-Fa.  
ACM309: 3/2/03. Closca. Testudines indet. ACM/C1-E.  
ACM310: 3/2/03. Os carpal o tarsal. Mammalia indet. ACM/C1-E.  
ACM311: 3/2/03. Fragment de diàfisi d'os llarg. Mammalia indet. ACM/C1-E.  
ACM312: 3/2/03. Fragment de placa. Testudines indet. ACM/C1-E.  
ACM313: 3/2/03. Epífisi + fragment de diàfisi d'os llarg. Testudines indet. ACM/C1-E.  
ACM314: 3/2/03. Fragments de placa. Testudines indet. ACM/C1-E.  
ACM315: 3/2/03. Closca. Testudines indet. ACM/VIE-E.  
ACM316: 3/2/03. Molar. Suidae indet. ACM/VIE-Ea.  
ACM317: 3/2/03. Closca. Testudines indet. ACM/VIE-Ea.  
ACM318: 3/2/03. Closca. Testudines indet. ACM/C1-E.  
ACM319: 3/2/03. Os pla + postcranial indet. Indet. ACM/C1-E.  
ACM320: 3/2/03. Diàfisi. Mammalia indet. ACM/C1-E.  
ACM321: 3/2/03. Fragments rodats de diàfisi. Indet. ACM/VIE-Ea.  
ACM322: 3/2/03. Epífisi. Mammalia indet. ACM/VIE-Ea.  
ACM323: 3/2/03. Placa. Testudines indet. ACM/VIE-Ea.  
ACM324: 4/2/03. Plaques. Testudines indet. ACM/C1-E.  
ACM325: 4/2/03. Placa. Testudines indet. ACM/C1-E.  
ACM326: 3/2/03. Acumulació de plaques. Testudines indet. ACM/?.  
ACM327: 4/2/03. Costella. *Deinotherium* sp. ACM/C1-Fa.  
ACM328: 4/2/03. Canina superior. Suidae indet. ACM/C1-F.  
ACM329: 4/2/03. Closca. Testudines indet. ACM/VIE-Ea.  
ACM330: 4/2/03. Fragments de placa. Testudines indet. ACM/C1-E.  
ACM331: 4/2/03. Fragments de diàfisi. Mammalia indet. ACM/C1-E.  
ACM332: 4/2/03. Os indet. Testudines indet (?). ACM/C1-E.  
ACM333: 4/2/03. Closca. Testudines indet. ACM/C1-E.  
ACM334: 4/2/03. Placa. Testudines indet. ACM/C1-E.  
ACM335: 4/2/03. Os indet. Indet. ACM/C1-E.  
ACM336: 4/2/03. Acumulació de closques. Testudines indet. ACM/C1-E.  
ACM337: 4/2/03. Plaques. Testudines indet. ACM/C1-E.  
ACM338: 4/2/03. Acumulació de closques. Testudines indet. ACM/C1-E.  
ACM339: 4/2/03. Closca (espatllar + plastró). Testudines indet. ACM/C1-E.  
ACM340: 3/2/03. Fragment de diàfisi. Indet. ACM/C1-E.  
ACM341: 3/2/03. Fragment d'epífisi. Indet. ACM/C1-E.  
ACM342: 3/2/03. Placa. Testudines indet. ACM/C1-E.  
ACM343: 3/2/03. Os indet. Indet. ACM/C1-E.  
ACM344: 3/2/03. Os rodat. Indet. ACM/C1-E.  
ACM345: 4/2/03. Estella + fragment de placa. Indet./Testudines indet. ACM/C1-F.  
ACM346: 4/2/03. Fragment distal d'húmer. Mammalia indet. ACM/C1-F.  
ACM347: 3/2/03. Fragment de diàfisi. Indet. ACM/C1-E.  
ACM348: 3/2/03. Plaques. Testudines indet. ACM/C1-E.  
ACM349: 5/2/03. Fragment maxil·lar o mandibular + dents. Mammalia indet. ACM/C1-E.

- ACM350: 5/2/03. Fragments de plaques. Testudines indet. ACM/C1-E.  
ACM351: 5/2/03. Plaques. Testudines indet. ACM/C1-E.  
ACM352: 5/2/03. Placa marginal Testudines indet. ACM/C1-E.  
ACM353: 5/2/03. Molar. *Deinotherium* sp. ACM/VIE-E.  
ACM354: 5/2/03. Closca. Testudines indet. ACM/VIE-E.  
ACM355: 5/2/03. Ossos indet. Indet. ACM/VIE-E.  
ACM356: 5/2/03. Molar. *Deinotherium* sp. ACM/C1-E.  
ACM357: 5/2/03. Fragment de molar. Rhinocerotidae indet (?). ACM/C1-E.  
ACM358: 5/2/03. Premolar. *Deinotherium* sp. ACM/C1-E.  
ACM359: 5/2/03. Concentració de plaques + closca. Testudines indet. ACM/VIE-E.  
ACM360: 5/2/03. Fragment de defensa o arrel de molar. Proboscidea indet. ACM/VIE-E.  
ACM361: 5/2/03. Os indet. Indet. ACM/C1-E.  
ACM362: 5/2/03. Os indet. Indet. ACM/VIE-B.  
ACM363 (IPS20298): 5/2/03. Fragment de vèrtebra. Indet. ACM/C1-E.  
ACM364: 5/2/03. Molar (decídua?). *Tetralophodon* sp. ACM/C1-E.  
ACM365: 5/2/03. Fragment d'escàpula o pelvis (?). Proboscidea indet (?). ACM/VIE-E.  
ACM366: 5/2/03. Placa. Testudines indet. ACM/VIE-B.  
ACM367: 5/2/03. Postcranial. Testudines indet (?). ACM/VIE-E.  
ACM368: 5/2/03. Fragment d'estella. Mammalia indet. ACM/VIE-E.  
ACM369: 6/2/03. Plaques. Testudines indet. ACM/C1-F.  
ACM370: 6/2/03. Closca. Testudines indet. ACM/C1-E.  
ACM371: 6/2/03. Os postcranial. Indet. ACM/C1-Fa.  
ACM372: 6/2/03. Fragment de costella. Mammalia indet. ACM/C1-Fa.  
ACM373: 6/2/03. Fragment de placa (?). Testudines indet (?). ACM/C1-Fa.  
ACM374: 5/2/03. Os pla. Indet. ACM/C1-E.  
ACM375: 5/2/03. Fragment de diàfisi. Mammalia indet. ACM/C1-E.  
ACM376: 6/2/03. Closca. Testudines indet. ACM/C1-E.  
ACM377: 6/2/03. Concentració de plaques. Testudines indet. ACM/C1-E.  
ACM378: 6/2/03. Restes diverses. Testudines indet. ACM/C1-E.  
ACM379: 6/2/03. Fragments de closca. Testudines indet. ACM/C1-E.  
ACM380: 6/2/03. Os indet. Indet. ACM/C1-E.  
ACM381: 6/2/03. Estella de diàfisi. Indet. ACM/C1-E.  
ACM382: 6/2/03. Estella de diàfisi. Indet. ACM/C1-E.  
ACM383: 6/2/03. Estelles i ossos diversos. Indet. ACM/C1-E.  
ACM384: 6/2/03. Fragment de placa. Testudines indet. ACM/C1-E.  
ACM385: 6/2/03. Os indet. (calcani?). Mammalia indet. ACM/VIE-E.  
ACM386: 6/2/03. Closca. Testudines indet. ACM/C1-F.  
ACM387: 6/2/03. Closca. Testudines indet. ACM/VIE-E.  
ACM388: 6/2/03. Fragments de closca. Testudines indet. ACM/C1-E.  
ACM389: 7/2/03. Placa. Testudines indet. ACM/C1-E.  
ACM390: 7/2/03. Concentració de plaques. Testudines indet. ACM/C1-E.  
ACM391: 7/2/03. Plaques. Testudines indet. ACM/VIE-E.  
ACM392: 7/2/03. Fragment distal de metàpode. Perissodactyla/Artiodactyla indet. ACM/VIE-E.  
ACM393: 7/2/03. Fragment de molar. Proboscidea indet. ACM/C1-E.  
ACM394: 7/2/03. Fragment d'arrel de molar. Proboscidea indet. ACM/C1-E.  
ACM395: 7/2/03. Fragments d'os indet. Mammalia indet. ACM/C1-E.  
ACM396: 7/2/03. Fragments de closca. Testudines indet. ACM/C1-E.  
ACM397: 7/2/03. Closca. Testudines indet. ACM/VIE-E.  
ACM398: 7/2/03. Placa. Testudines indet. ACM/C1-E.  
ACM399: 7/2/03. Epífisi d'os de mida gran. Mammalia indet. ACM/BDL.  
ACM400: 7/2/03. Fragment d'os llarg (metàpode?). Mammalia indet. ACM/C1-E.  
ACM401: 7/2/03. Fragments de plaques. Testudines indet. ACM/VIE-E.  
ACM402: 7/2/03. Dent. *Listriodon splendens*. ACM/VIE-E.  
ACM403: 8/2/03. Dent. *Deinotherium* sp. ACM/C1-Fa.  
ACM404: 8/2/03. Molar decidu o germen dentari. *Deinotherium* sp. ACM/C1-Fa.  
ACM405: 8/2/03. Fragment d'arrel de dent. *Deinotherium* sp. (?). ACM/C1-Fa.  
ACM406: 8/2/03. Estelles de placa. Testudines indet. ACM/C1-Fa.  
ACM407: 8/2/03. Restes fragmentàries. Indet. ACM/C1-F.  
ACM408: 8/2/03. Os indet. Indet. ACM/C1-F.  
ACM409: 8/2/03. Os esponjós indet. Indet. ACM/C1-F.



- ACM410: 8/2/03. Concentració de plaques. Testudines indet. ACM/C1-E7(=c).  
ACM411: 10/2/03. Plaques. Testudines indet. ACM/C1-E7(=c).  
ACM412: 10/2/03. Fragment distal d'os indet. Testudines indet (?). ACM/VIE-C.  
ACM413: 10/2/03. Os indet. Indet. ACM/C1-E.  
ACM414: 10/2/03. Pelvis o escàpula. Mammalia indet. ACM/C1-E.  
ACM415: 10/2/03. Placa. Testudines indet. ACM/C1-E.  
ACM416: 10/2/03. Os indet. (placa?). Testudines indet (?). ACM/C1-E.  
ACM417: 10/2/03. Fragments de placa. Testudines indet. ACM/C1-E.  
ACM418: 10/2/03. Dent. Mammalia indet. ACM/C1-F.  
ACM419: 10/2/03. Fragment d'os indet. Indet. ACM/C1-E.  
ACM420: 10/2/03. Os postcranial. Indet. ACM/C1-E.  
ACM421: 10/2/03. Diàfisi d'os llarg. Mammalia indet. ACM/C1-F.  
ACM422: 10/2/03. Fragment de canina. Carnivora indet .(?). ACM/C1-F.  
ACM423: 10/2/03. Postcranial. Indet. ACM/C1-F.  
ACM424: 10/2/03. Dent (incisiva?). Artiodactyla indet .(?). ACM/C1-F.  
ACM425: 10/2/03. Placa. Testudines indet. ACM/VIE-E.  
ACM426: 10/2/03. Os indet. Indet. ACM/C1-F.  
ACM427: 10/2/03. Os llarg (epífisi?). Indet. ACM/C1-F.  
ACM428: 10/2/03. Metàpode. Carnivora indet (?). C1-F.  
ACM429: 10/2/03. Tíbia. Mammalia indet. ACM/C1-F.  
ACM430: 10/2/03. 2 fragments d'os indet. Indet. ACM/C1-F.  
ACM431: 10/2/03. Ossos diversos. Indet. ACM/C1-F.  
ACM432: 10/2/03. Estella d'os indet. Indet. ACM/C1-E.  
ACM433: 10/2/03. Fragments de placa. Testudines indet. ACM/C1-E.  
ACM434: 10/2/03. Estella d'os indet. Indet. ACM/C1-E.  
ACM435: 10/2/03. Fragment d'os llarg (costella?). Mammalia indet. ACM/C1-E.  
ACM436: 11/2/03. Plaques. Testudines indet. ACM/C1-E.  
ACM437: 11/2/03. Defensa. Proboscidea indet. ACM/C1-E.  
ACM438: 11/2/03. Fragment de placa. Testudines indet. ACM/C1-F.  
ACM439: 4/2/03. Estella de diàfisi. Indet. ACM/VIE-B.  
ACM440: 4/2/03. Fragment d'os indet. Indet. ACM/C1-F.  
ACM441: 4/2/03. Os indet. Indet. ACM/VIE-B.  
ACM442: 4/2/03. Placa. Testudines indet. ACM/VIE-B.  
ACM443: 11/2/03. Placa (+postcranial?). Testudines. ACM/C1-E.  
ACM444: 11/2/03. Fragment de mandíbula. Indet. ACM/C1-F.  
ACM445: 11/2/03. Plaques. Testudines indet. ACM/C1-F.  
ACM446: 11/2/03. Closca + motllo + postcranial. Testudines indet. ACM/C1-F.  
ACM447: 11/2/03. Dent canina (?). Suidae indet. ACM/VIE-E.  
ACM448: 11/2/03. Closca. Testudines indet. ACM/C1-E.  
ACM449: 11/2/03. Dent. *Deinotherium* sp. ACM/VIE-E.  
ACM450: 11/2/03. Plaques. Testudines indet. ACM/C1-E.  
ACM451: 11/2/03. Fragment de diàfisi. Mammalia indet. ACM/C1-E.  
ACM452: 11/2/03. Astràgal. Cervidae indet. ACM/C1-E.  
ACM453: 12/2/03. Os indet. Indet. ACM/C1-E.  
ACM454: 12/2/03. Os indet. Indet. ACM/C1-F.  
ACM455: 12/2/03. Diàfisi (?). Indet. ACM/C1-E.  
ACM456: 12/2/03. Os indet. Indet. ACM/C1-E.  
ACM457: 12/2/03. Incisiva. Rhinocerotidae indet (?). ACM/C1-E.  
ACM458: 12/2/03. Metàpode. Mammalia indet. ACM/VIE-B.  
ACM459: 12/2/03. Plaques. Testudines indet. ACM/C1-E.  
ACM460: 12/2/03. Incisiva. Rhinocerotidae indet. ACM/C1-E.  
ACM461: 12/2/03. Plaques. Testudines indet. ACM/C1-F.  
ACM462: 12/2/03. Dent. Cervidae indet. ACM/VIE-A.  
ACM463: 12/2/03. Incisiva. Rhinocerotidae indet. ACM/C1-E.  
ACM464: 12/2/03. Plaques. Testudines indet. ACM/VIE-B.  
ACM465: 12/2/03. Os pla (pelvis o escàpula?). Mammalia indet. ACM/C1-F.  
ACM466: 12/2/03. Closca. Testudines indet. ACM/C1-F.  
ACM467: 12/2/03. Fragment proximal de tíbia (?). Mammalia indet. ACM/C1-E.  
ACM468: 12/2/03. 2 estelles. Indet. ACM/C1-E.  
ACM469: 12/2/03. Os indet. (fragment de pelvis?). Mammalia indet. ACM/C1-E.

- ACM470: 12/2/03. Fragment de maxil·lar amb dent. Cervidae indet. ACM/C1-E.  
ACM471: 12/2/03. Closca. Testudines indet. ACM/C1-F.  
ACM472: 12/2/03. Canina. Suidae indet. ACM/C1-E.  
ACM473: 13/2/03. Closca. Testudines indet. ACM/C1-E.  
ACM474: 13/2/03. Acumulació de plaques. Testudines indet. ACM/C1-E.  
ACM475: 13/2/03. Fragment de banya. Cervidae indet. ACM/C1-E.  
ACM476: 13/2/03. Vèrtebra. Indet. ACM/C1-E.  
ACM477 (IPS4412): 13/2/03. Dent. Rhinocerotidae indet. ACM/C1-E.  
ACM478: 13/2/03. Defensa. Proboscidea indet. ACM/C1-E.  
ACM479: 13/2/03. Plaques. Testudines indet. ACM/C1-E.  
ACM480: 13/2/03. Os indet. Indet. ACM/C1-E.  
ACM481: 13/2/03. Os indet. (?). Indet. ACM/C1-E.  
ACM482: 13/2/03. Fragment de banya. Cervidae indet. ACM/C1-E.  
ACM483: 13/2/03. Os indet. Indet. ACM/C1-E.  
ACM484: 13/2/03. Defensa. *Tetralophodon* sp. ACM/C1-E.  
ACM485: 13/2/03. Roseta basal de banya. Cervidae indet. ACM/C1-E.  
ACM486 (IPS20519): 13/2/03. Fragment cortical de diàfisi + fragment d'os indet. Mammalia indet. ACM/C1-E.  
ACM487: 13/2/03. Placa. Testudines indet. ACM/C1-E.  
ACM488: 13/2/03. Plaques. Testudines indet. ACM/C1-E.  
ACM489: 13/2/03. Plaques. Testudines indet. ACM/C1-E.  
ACM490: 13/2/03. Placa. Testudines indet. ACM/C1-E.  
ACM491: 13/2/03. Placa. Testudines indet. ACM/C1-E.  
ACM492: 13/2/03. Dent. Mammalia indet. ACM/C1-E.  
ACM493: 18/2/03. (Pre)molar. *Deinotherium* sp. ACM/C1-E.  
ACM494: 18/2/03. Molar. *Deinotherium* sp. ACM/C1-E.  
ACM495: 18/2/03. Placa. Testudines indet. ACM/C1-E.  
ACM496: 18/2/03. Fragments d'ossos diversos. Indet. ACM/C1-Fa.  
ACM497: 18/2/03. Fragment d'os esponjós. Indet. ACM/C1-F.  
ACM498: 18/2/03. Os indet. Indet. ACM/C1-Fa.  
ACM499: 18/2/03. Fragment de costella + altres ossos. *Deinotherium* sp. ACM/C1-Fa.  
ACM500: 18/2/03. Costella. Mammalia indet. ACM/C1-Fa.  
ACM501: 18/2/03. Os indet. Mammalia indet. ACM/C1-F.  
ACM502: 21/2/03. Plaques. Testudines indet. ACM/Remogut BDA2.  
ACM503: 21/2/03. Molar. Rhinocerotidae indet. ACM/Remogut BDA2.  
ACM504: 21/2/03. Os indet. Indet. ACM/Remogut BDA2.  
ACM505: 21/2/03. Molar. *Deinotherium* sp. ACM/C1-E.  
ACM506 (IPS20461): 21/2/03. Calcani. *Micromeryx flourensianus*. ACM/C1-E.  
ACM507: 21/2/03. Closca. Testudines indet. ACM/C1-E.  
ACM508: 21/2/03. Postcranial. Testudines indet. ACM/C1-E.  
ACM509: 21/2/03. Premolar. *Deinotherium* sp. ACM/C1-E.  
ACM510: 21/2/03. Mandíbula amb dents. Suidae indet. ACM/C1-E.  
ACM511: 21/2/03. Defensa. Proboscidea indet. ACM/C1-E.  
ACM512: 21/2/03. Placa. Testudines indet. ACM/BDL.  
ACM513: 21/2/03. Dent postcanina. Cervidae indet. ACM/C1-E.  
ACM514: 21/2/03. Incisiva. Rhinocerotidae indet (?). ACM/C1-E.  
ACM515: 24/2/03. Molar. Cervidae indet. ACM/C1-E7(=c).  
ACM516: 24/2/03. Closca. Testudines indet. ACM/C1-E7(=c).  
ACM517: 24/2/03. Molar. Mammalia indet. ACM/C1-E7(=c).  
ACM518: 24/2/03. Costella. *Deinotherium* sp. ACM/C1-Fa.  
ACM519: 24/2/03. 3 falanges d'un o dos dits. Suidae indet. ACM/C1-E.  
ACM520: 24/2/03. Diàfisi. Mammalia indet. ACM/C1-E7(=c).  
ACM521: 24/2/03. Closca. Testudines indet. ACM/C1-E7(=c).  
ACM522: 24/2/03. Falange. Carnivora indet (?). ACM/C1-E7(=c).  
ACM523+ACM524 (IPS4382): 24/2/03. Fragment distal de ????? + falange ?????.  
Carnivora?????. Mammalia indet. ACM/C1-E7(=c). ñññ  
ACM525: 24/2/03. Closca. Testudines indet. ACM/C1-E7(=c).  
ACM526: 24/2/03. Fragment de banya. Cervidae indet. ACM/C1-E.  
ACM527: 24/2/03. Fragment de costella. Mammalia indet. ACM/C1-E.  
ACM528: 27/2/03. Plaques. Testudines indet. ACM/C1-E7(=c).



- ACM529: 27/2/03. Os postcranial indet. Indet. ACM/C1-E8.  
ACM530: 27/2/03. Postcranial. Testudines indet. ACM/C1-E8.  
ACM531: 27/2/03. Placa marginal. Testudines indet. ACM/C1-E8.  
ACM532: 27/2/03. Fragment de metàpode. Mammalia indet. ACM/C1-E8.  
ACM533: 27/2/03. Diàfisi + estelles. Mammalia indet. ACM/C1-E7(=c).  
ACM534: 27/2/03. Bloc amb estelles. Indet. ACM/C1-E7(=c).  
ACM535: 27/2/03. Postcranial. Testudines indet (?). ACM/C1-E7(=c).  
ACM536: 27/2/03. Os rodat. Indet. ACM/C1-E7(=c).  
ACM537: 27/2/03. Placa + postcranial. Testudines indet. ACM/C1-E8.  
ACM538: 28/2/03. Postcranial. Testudines indet. ACM/C1-E7(=c).  
ACM539: 28/2/03. Dents + restes mandibulars. Suidae indet. ACM/C1-E.  
ACM540: 28/2/03. Plaques. Testudines indet. ACM/C1-E.  
ACM541: 28/2/03. Plaques. Testudines indet. ACM/C1-E.  
ACM542: 28/2/03. Placa. Testudines. ACM/C1-E7(=c).  
ACM543: 28/2/03. Molar inferior. Suidae indet. ACM/C1-E.  
ACM544: 28/2/03. Plaques. Testudines indet. ACM/C1-E.  
ACM545: 28/2/03. Plaques. Testudines indet. ACM/C1-E.  
ACM546: 28/2/03. Os llarg (costella o diàfisi). Mammalia indet. ACM/C1-E.  
ACM547: 28/2/03. Dent. Artiodactyla indet. ACM/C1-E7(=c).  
ACM548: 28/2/03. Concentració de plaques. Testudines indet. ACM/C1-E7(=c).  
ACM549: 28/2/03. Concentració de plaques. Testudines indet. ACM/C1-E7(=c).  
ACM550: 28/2/03. Os indet. (placa?). Testudines indet. (?). ACM/C1-E7(=c).  
ACM551: 28/2/03. Placa (?). Testudines indet. (?). ACM/C1-E7(=c).  
ACM552: 28/2/03. Fragment de closca. Testudines indet. ACM/C1-E7(=c).  
ACM553: 3/2/03. Plaques. Testudines indet. ACM/C1-E7(=c).  
ACM554: 3/2/03. Placa. Testudines indet. ACM/C1-E7(=c).  
ACM555: 3/2/03. Fragment d'esmalt. Rhinocerotidae indet. (?). ACM/C1-E7(=c).  
ACM556: 3/2/03. Plaques. Testudines indet. ACM/C1-E7(=c).  
ACM557: 3/2/03. Closca. Testudines indet. ACM/C1-E.  
ACM558: 3/2/03. Fragment de closca. *Cheirogaster* sp. (?). ACM/C1-E.  
ACM559: 3/2/03. Plaques. Testudines indet. ACM/C1-E.  
ACM560: 3/2/03. Diàfisi. Mammalia indet. ACM/C1-E.  
ACM561: 3/2/03. Plaques. Testudines indet. ACM/C1-E7(=c).  
ACM562: 3/2/03. Fragment distal de falange. Suidae indet. (?). ACM/C1-E7(=c).  
ACM563: 3/2/03. Fragment de diàfisi. Indet. ACM/C1-D1.  
ACM564: 3/2/03. Placa. *Cheirogaster* sp. ACM/C1-E.  
ACM565: 3/2/03. Placa. Testudines indet. ACM/C1-E7(=c).  
ACM566: 3/2/03. Os indet. (placa?). Indet. (Testudines?). ACM/C1-E.  
ACM567: 3/2/03. Os postcranial. Indet. ACM/C1-E.  
ACM568: 3/2/03. Closca. *Cheirogaster* sp. (?). ACM/C1-E.  
ACM569: 3/2/03. Plaques. Testudines indet. ACM/C1-E7(=c).  
ACM570: 3/2/03. Plaques. Testudines indet. ACM/C1-E7(=c).  
ACM571: 3/2/03. Placa. Testudines indet. ACM/C1-E.  
ACM572: 3/2/03. Fragment de dent. Mammalia indet. ACM/C1-E.  
ACM573: 3/2/03. Falange mitjana. *Chalicotherium grande*. ACM/C1-E.  
ACM574: 3/2/03. Fragment de vèrtebra (?). Proboscidea indet (?). ACM/C1-E.  
ACM575: 4/2/03. Fragment de diàfisi. Mammalia indet. ACM/C1-F.  
ACM576: 4/2/03. Closca. Testudines indet. ACM/C1-E.  
ACM577: 4/2/03. Placa. Testudines indet. ACM/C1-E7(=c).  
ACM578: 4/2/03. Defensa. Proboscidea indet. ACM/C1-E.  
ACM579: 4/2/03. Placa. Testudines indet. ACM/C1-ET.  
ACM580: 4/2/03. Fragment de diàfisi. Mammalia indet. ACM/C1-ET.  
ACM581: 4/2/03. Fragment de closca. Testudines indet. ACM/C1-ET.  
ACM582: 4/2/03. Placa. Testudines indet. ACM/C1-ET.  
ACM583: 4/2/03. Placa. Testudines indet. ACM/C1-ET.  
ACM584: 4/2/03. Fragment de closca. Testudines indet. ACM/C1-ET.  
ACM585: 4/2/03. Plaques. Testudines indet. ACM/C1-ET.  
ACM586: 4/2/03. Plaques. Testudines indet. ACM/C1-ET.  
ACM587: 4/2/03. Plaques. Testudines indet. ACM/C1-ET.  
ACM588: 4/2/03. Placa. Testudines indet. ACM/C1-ET.

- ACM589: 4/2/03. Plaques. Testudines indet. ACM/C1-ET.  
ACM590: 4/2/03. Fragment de closca. Testudines indet. ACM/C1-ET.  
ACM591: 4/2/03. Fragment de closca. Testudines indet. ACM/C1-ET.  
ACM592: 4/2/03. Fragment de closca. Testudines indet. ACM/C1-ET.  
ACM593: 4/2/03. Placa. Testudines indet. ACM/C1-ET.  
ACM594: 4/2/03. Plaques. Testudines indet. ACM/C1-ET.  
ACM595: 4/2/03. Concentració de plaques. Testudines indet. ACM/C1-ET.  
ACM596: 4/2/03. Osteoderms. Anguidae indet. ACM/C1-ET.  
ACM597: 4/2/03. Closca. Testudines indet. ACM/C1-ET.  
ACM598: 4/2/03. Plaques. Testudines indet. ACM/C1-ET.  
ACM599: 4/2/03. Placa. Testudines indet. ACM/C1-ET.  
ACM600: 5/2/03. Plaques. Testudines indet. ACM/C1-ET.  
ACM601: 5/2/03. Fragments de closca + postcranial. Testudines indet. ACM/C1-ET.  
ACM602: 5/2/03. Placa marginal. Testudines indet. ACM/C1-E7(=c).  
ACM603: 5/2/03. Plaques. Testudines indet. ACM/C1-ET.  
ACM604: 5/2/03. Concentració de plaques. Testudines indet. ACM/C1-ET.  
ACM605: 5/2/03. Plaques. Testudines indet. ACM/C1-ET.  
ACM606: 5/2/03. Placa. Testudines indet. ACM/C1-ET.  
ACM607: 5/2/03. Placa. Testudines indet. ACM/C1-ET.  
ACM608: 5/2/03. Placa. Testudines indet. ACM/C1-ET.  
ACM609: 5/2/03. Fragments de closca. Testudines indet. ACM/C1-ET.  
ACM610: 5/2/03. Placa. Testudines indet. ACM/C1-ET.  
ACM611: 5/2/03. Fragment de closca. Testudines indet. ACM/C1-ET.  
ACM612: 5/2/03. Plaques. Testudines indet. ACM/C1-ET.  
ACM613: 5/2/03. Fragment de closca. Testudines indet. ACM/C1-ET.  
ACM614: 5/2/03. Placa. Testudines indet. ACM/C1-ET.  
ACM615: 5/2/03. Fragment de closca. Testudines indet. ACM/C1-ET.  
ACM616: 5/2/03. Fragment de closca. Testudines indet. ACM/C1-ET.  
ACM617: 5/2/03. Fragment de closca. Testudines indet. ACM/C1-ET.  
ACM618: 5/2/03. Placa. Testudines indet. ACM/C1-ET.  
ACM619: 5/2/03. Plaques. Testudines indet. ACM/C1-ET.  
ACM620: 5/2/03. Fragments ossis i dentaris. Mammalia indet. ACM/C1-E.  
ACM621: 5/2/03. Closca. Testudines indet. ACM/C1-ET.  
ACM622: 5/2/03. Plaques. Testudines indet. ACM/C1-ET.  
ACM623: 5/2/03. Placa. Testudines indet. ACM/C1-ET.  
ACM624: 5/2/03. Concentració de plaques. Testudines indet. ACM/C1-ET.  
ACM625: 5/2/03. Placa. Testudines indet. ACM/C1-ET.  
ACM626: 5/2/03. Fragment de closca. Testudines indet. ACM/C1-ET.  
ACM627: 5/2/03. Mandíbula + dent. *Deinotherium* sp. ACM/C1-E.  
ACM628: 5/2/03. Plaques. Testudines indet. ACM/C1-ET.  
ACM629: 5/2/03. Plaques. Testudines indet. ACM/C1-ET.  
ACM630: 5/2/03. Plaques. Testudines indet. ACM/C1-ET.  
ACM631: 5/2/03. Plaques. Testudines indet. ACM/C1-ET.  
ACM632: 5/2/03. Plaques. Testudines indet. ACM/C1-ET.  
ACM633: 5/2/03. Fragment de closca. Testudines indet. ACM/C1-ET.  
ACM635: 5/2/03. Fragment de closca. Testudines indet. ACM/C1-ET.  
ACM636: 5/2/03. Plaques. Testudines indet. ACM/C1-ET.  
ACM637: 5/2/03. Placa marginal. Testudines indet. ACM/C1-ET.  
ACM638: 5/2/03. Plaques. Testudines indet. ACM/C1-ET.  
ACM639: 5/2/03. Motllo de la closca + plaques + postcranial (fragment d'húmer). Testudines indet. ACM/C1-ET.  
ACM640: 5/2/03. Fragment de closca + plaques. Testudines indet. ACM/C1-ET.  
ACM641: 5/2/03. Concentració de plaques + fragment de closca. Testudines indet. ACM/C1-ET.  
ACM642: 5/2/03. Placa. Testudines indet. ACM/C1-ET.  
ACM643: 5/2/03. Plaques. Testudines indet. ACM/C1-ET.  
ACM644: 5/2/03. Plaques. Testudines indet. ACM/C1-ET.  
ACM645: 5/2/03. Placa. Testudines indet. ACM/C1-E.  
ACM646: 5/2/03. Placa. Testudines indet. ACM/C1-E.  
ACM647: 5/2/03. Placa marginal. Testudines indet. ACM/C1-E.



- ACM648: 5/2/03. Plaques. Testudines indet. ACM/C1-E.  
ACM649: 5/2/03. Concentració de plaques. Testudines indet. ACM/C1-ET.  
ACM650: 6/2/03. Plaques. Testudines indet. ACM/C1-ET.  
ACM651: 6/2/03. Placa. Testudines indet. ACM/C1-ET.  
ACM652: 6/2/03. Plaques. Testudines indet. ACM/C1-ET.  
ACM653: 6/2/03. Epífisi d'os llarg. Indet. ACM/C1-E.  
ACM654: 6/2/03. Concentració de plaques. Testudines indet. ACM/C1-ET.  
ACM655: 6/2/03. Fragments de closca. Testudines indet. ACM/C1-ET.  
ACM656: 6/2/03. Plaques. Testudines indet. ACM/C1-ET.  
ACM657: 6/2/03. Fragments d'incisiva. Rhinocerotidae indet. ACM/C1-E.  
ACM658: 6/2/03. Fragment de closca. Testudines indet. ACM/C1-E.  
ACM659: 6/2/03. Closca. Testudines indet. ACM/C1-E, equivalent a C1-E2.  
ACM660: 6/2/03. Paladar parcial. Hominoidea indet. ACM/C1-E, per sobre de C1-E2.  
ACM661: 6/2/03. Fragments de costella. Mammalia indet. ACM/C1-E, equivalent a C1-E2.  
ACM662: 6/2/03. Canina. *Listriodon splendens*. ACM/C1-E, equivalent a C1-E2.  
ACM663: 6/2/03. Os indet. Mammalia indet. (Artiodactyla?). ACM/C1-E.  
ACM664: 6/2/03. Plaques. Testudines indet. ACM/C1-ET.  
ACM665: 6/2/03. Concentració de plaques. Testudines indet. ACM/C1-ET.  
ACM666: 6/2/03. Fragment proximal de tibia. Mammalia indet. ACM/C1-E.  
ACM667: 6/2/03. Fragment de closca. Testudines indet. ACM/C1-E.  
ACM668: 6/2/03. Còrtex de diàfisi d'os llarg. Proboscidea indet. ACM/C1-E.  
ACM669: 6/2/03. Fragment de closca. Testudines indet. ACM/C1-E, equivalent a C1-E4.  
ACM670: 6/2/03. Plaques marginals. Testudines indet. ACM/C1-E.  
ACM671: 6/2/03. Osteoderms. Anguidae indet. ACM/C1-ET.  
ACM672: 6/2/03. Osteoderms. Anguidae indet. ACM/C1-ET.  
ACM673: 6/2/03. Placa marginal. Testudines indet. ACM/C1-E, equivalent a C1-ET.  
ACM674: 6/2/03. Placa marginal. Testudines indet. ACM/C1-E, equivalent a C1-ET.  
ACM675: 6/2/03. Plaques aïllades. Testudines indet. ACM/C1-E, equivalent a C1-ET.  
ACM676: 6/2/03. Placa. Testudines indet. ACM/C1-ET.  
ACM677: 6/2/03. Placa. Testudines indet. ACM/C1-E.  
ACM678: 6/2/03. Fragments de dentina. Mammalia indet. ACM/C1-E.  
ACM679: 6/2/03. Fragment de closca. Testudines indet. ACM/C1-E.  
ACM680: 6/2/03. Fragment de diàfisi. Indet. ACM/C1-E.  
ACM681: 6/2/03. Closca. Testudines indet. ACM/C1-ET.  
ACM682: 7/2/03. Fragment de diàfisi o de costella rodat. Mammalia indet. ACM/C1-ET.  
ACM683: 7/2/03. Closca. Testudines indet. ACM/C1-E, equivalent a C1-ET.  
ACM684: 7/2/03. Fragment d'os. Proboscidea indet. (?). ACM/C1-E, equivalent a C1-Fa.  
ACM685: 7/2/03. Os llarg. Proboscidea indet. ACM/C1-E, equivalent a C1-Fa.  
ACM686: 7/2/03. Fragments de vèrtebra (?). Mammalia indet. ACM/C1-E.  
ACM687: 7/2/03. Defensa. Proboscidea indet. ACM/C1-E.  
ACM688: 7/2/03. Fragment de diàfisi. Indet. ACM/C1-E.  
ACM689: 7/2/03. Os indet. Indet. ACM/C1-E.  
ACM690: 7/2/03. Fragment de diàfisi. Mammalia indet. ACM/C1-E.  
ACM691: 7/2/03. Placa. Testudines indet. ACM/C1-E.  
ACM692: 7/2/03. Fragment de diàfisi. Mammalia indet. ACM/C1-E.  
ACM693: 7/2/03. Fragment de diàfisi. Mammalia indet. ACM/C1-E.  
ACM694: 7/2/03. (Pre)molar. *Deinotherium* sp. ACM/C1-E, aproximadament equivalent a C1-Fa.  
ACM695: 7/2/03. Fragment de diàfisi. Indet. ACM/C1-E.  
ACM696: 7/2/03. Placa. Testudines indet. ACM/C1-ET.  
ACM697: 7/2/03. Placa. Testudines indet. ACM/C1-E.  
ACM698: 7/2/03. Os indet. Indet. ACM/C1-E7(=c).  
ACM699: 7/2/03. 2 estelles de diàfisi. Indet. ACM/C1-E7(=c).  
ACM700: 7/2/03. Fragments ossis postcranials. Proboscidea indet. (?). ACM/C1-E.  
ACM701: 7/2/03. Os indet. Indet. ACM/C1-E.  
ACM702: 7/2/03. Banyes. Cervidae indet. ACM/C1-E.  
ACM703: 7/2/03. Banyes. Cervidae indet. ACM/C1-E.  
ACM704: 7/2/03. Plaques. Testudines indet. ACM/C1-E.  
ACM705: 7/2/03. Closca. Testudines indet. ACM/C1-E, aproximadament equivalent a C1-ET.  
ACM706: 7/2/03. Plaques. Testudines indet. ACM/C1-ET.

- ACM707: 7/2/03. Closca. Testudines indet. ACM/C1-E.  
ACM708: 7/2/03. Os postcranial (fragment de vèrtebra?). Mammalia indet. ACM/C1-E.  
ACM709: 7/2/03. Concentració de plaques. Testudines indet. ACM/C1-ET.  
ACM710: 7/2/03. Placa. Testudines indet. ACM/C1-ET.  
ACM711: 7/2/03. Plaques. Testudines indet. ACM/C1-E, equivalent a C1-E1.  
ACM712: 7/2/03. Plaques. Testudines indet. ACM/C1-E.  
ACM713: 7/2/03. Fragment de costella. Mammalia indet. ACM/C1-E.  
ACM714: 7/2/03. Placa. Testudines indet. ACM/C1-E.  
ACM715: 7/2/03. Fragment de canina. Suidae indet. ACM/C1-E.  
ACM716: 8/2/03. Epífisi d'húmer. Mammalia indet. ACM/C1-E.  
ACM717: 8/2/03. Banya. Cervidae indet. ACM/C1-E.  
ACM718: 8/2/03. Astràgal (?). Mammalia indet. ACM/C1-E.  
ACM719: 8/2/03. Placa. Testudines indet. ACM/C1-E.  
ACM720: 8/2/03. Placa. Testudines indet. ACM/C1-E.  
ACM721: 8/2/03. Banya. Cervidae indet. ACM/C1-E.  
ACM722: 8/2/03. Os indet. Indet. ACM/C1-E.  
ACM723: 8/2/03. Fragment de diàfisi. Mammalia indet. ACM/C1-E.  
ACM724: 8/2/03. Placa. Testudines indet. ACM/C1-E.  
ACM725: 8/2/03. Closca. *Cheirogaster* sp. ACM/C1-ET2.  
ACM726: 8/2/03. Vèrtebra. *Cheirogaster* sp. ACM/C1-ET2, mateix individu que ACM725.  
ACM727: 8/2/03. Fragment distal d'os llarg. *Cheirogaster* sp. ACM/C1-ET2, mateix individu que ACM725.  
ACM728: 8/2/03. 2 fragments d'os llarg. Mammalia indet. ACM/C1-E, equivalent a C1-Fa, mateix bloc que ACM685.  
ACM729: 10/2/03. Os esponjós i compacte. Proboscidea indet. (?). ACM/C1-E.  
ACM730: 10/2/03. Fragment de closca. Testudines indet. ACM/C1-E.  
ACM731: 10/2/03. Fragment de closca. Testudines indet. ACM/C1-E.  
ACM732: 10/2/03. Os llarg. Indet. ACM/C1-E.  
ACM733: 10/2/03. Diàfisi d'os llarg. Mammalia indet. ACM/C1-E, mateix bloc que ACM732.  
ACM734: 10/2/03. Os indet. Indet. ACM/C1-E, mateix bloc que ACM732.  
ACM735: 10/2/03. Os llarg. Mammalia indet. ACM/C1-E.  
ACM736: 10/2/03. Escàpula (?). Mammalia indet. ACM/C1-E.  
ACM737: 10/2/03. Plaques. Testudines indet. ACM/C1-E.  
ACM738: 10/2/03. Closca. Testudines indet. ACM/C1-ET2, prop d'ACM725.  
ACM739: 10/2/03. Closca. Testudines indet. ACM/C1-ET.  
ACM740: 10/2/03. Fragment de mandíbula amb dents. Artiodactyla indet. ACM/C1-E7(=c).  
ACM741: 10/2/03. Placa. Testudines indet. ACM/C1-ET.  
ACM742: 10/2/03. Cap de fèmur. Mammalia indet. ACM/C1-E7(=c).  
ACM743: 10/2/03. Plastró + motllo. Testudines indet. ACM/C1-ET2, prop d'ACM725, mateix individu que ACM738 (?).  
ACM744: 10/2/03. Mitja closca (plastró + espatllar). Testudines indet. ACM/C1-ET2, prop d'ACM725, mateix individu que ACM738 (?).  
ACM745: 10/2/03. Fragments de closca. Testudines indet. ACM/C1-ET2, prop d'ACM725.  
ACM746: 10/2/03. Placa. Testudines. Indet. ACM/C1-ET2, prop d'ACM725  
ACM747: 10/2/03. Fragment de closca. Testudines indet. ACM/C1-ET2, prop d'ACM725  
ACM748: 10/2/03. Placa. Testudines indet. ACM/C1-ET2, prop d'ACM725  
ACM749: 10/2/03. Fragment de placa. Testudines indet. ACM/C1-ET2, prop d'ACM725  
ACM750: 10/2/03. Fragment d'os postcranial. Testudines indet. (?). ACM/C1-ET2, prop d'ACM725.  
ACM751: 10/2/03. Placa. Testudines indet. ACM/C1-ET2, prop d'ACM725.  
ACM752: 10/2/03. Fragment de closca. Testudines indet. ACM/C1-E.  
ACM753: 10/2/03. Os postcranial (?). Testudines indet. (?). ACM/C1-ET2, prop d'ACM725.  
ACM754: 10/2/03. Plaques. Testudines indet. ACM/C1-ET2, prop d'ACM725.  
ACM755: 10/2/03. Os llarg (metàpode o tibia). Mammalia indet. ACM/C1-ET2, prop d'ACM725.  
ACM756: 10/2/03. Fragment de closca. Testudines indet. ACM/C1-ET2, prop d'ACM725.  
ACM757: 10/2/03. Closca o conjunt de plaques. Testudines indet. ACM/C1-ET2, prop d'ACM725.  
ACM758: 10/2/03. Plaques. Testudines indet. ACM/C1-ET2, prop d'ACM725.  
ACM759: 10/2/03. Fragment de closca. Testudines indet. ACM/C1-E.  
ACM760: 10/2/03. Placa. Testudines indet. ACM/C1-E.

- ACM761: 10/2/03. Fragment de banya + estella. Cervidae/Indet. ACM/C1-E.  
ACM762: 10/2/03. Placa marginal. Testudines indet. ACM/C1-E.  
ACM763: 10/2/03. Fragments de diàfisi. Mammalia indet. ACM/C1-E.  
ACM764: 10/2/03. Os indet. Indet. ACM/C1-E.  
ACM765: 10/2/03. Plaques. Testudines indet. ACM/C1-ET.  
ACM766: 10/2/03. Placa. Testudine indet. ACM/C1-E.  
ACM767: 10/2/03. Placa. Testudines indet. ACM/C1-E (?).  
ACM768: 10/2/03. Closca. Testudines indet. ACM/C1-ET2, prop d'ACM725.  
ACM769: 10/2/03. Fragment de banya. Cervidae indet. ACM/C1-ET2, prop d'ACM725.  
ACM770: 10/2/03. Fragment d'os postcranial. Testudines indet. (?). ACM/C1-ET2, prop d'ACM725.  
ACM771: 10/2/03. Os corbat (costella?). Indet. ACM/C1-ET2, prop d'ACM725.  
ACM772: 10/2/03. Closca. Testudines indet. ACM/C1-ET2, prop d'ACM725.  
ACM773: 11/2/03. Fragment de closca. Testudines indet. ACM/C1-ET.  
ACM774: 11/2/03. Placa. Testudines indet. ACM/C1-ET.  
ACM775: 11/2/03. Molar. Proboscidea indet. ACM/C1-E.  
ACM776: 11/2/03. Closca. Testudines indet. ACM/C1-E.  
ACM777: 11/2/03. Os postcranial. *Cheirogaster* sp. ACM/C1-ET2, mateix individu que ACM725.  
ACM778: 11/2/03. Os postcranial. *Cheirogaster* sp. ACM/C1-ET2, mateix individu que ACM725.  
ACM779: 11/2/03. Os postcranial. *Cheirogaster* sp. ACM/C1-ET2, mateix individu que ACM725.  
ACM780: 11/2/03. Os postcranial. *Cheirogaster* sp. ACM/C1-ET2, mateix individu que ACM725.  
ACM781: 11/2/03. Vèrtebra. *Cheirogaster* sp. ACM/C1-ET2, mateix individu que ACM725.  
ACM782: 11/2/03. Vèrtebra. *Cheirogaster* sp. ACM/C1-ET2, mateix individu que ACM725.  
ACM783: 11/2/03. Placa. Testudines indet. ACM/C1-ET2, prop d'ACM725.  
ACM784: 11/2/03. Fragment d'os pla. Indet. ACM/C1-E.  
ACM785: 11/2/03. Os llarg (fragment de diàfisi o costella). Mammalia indet. ACM/C1-E.  
ACM786: 11/2/03. Fragment d'os pla. Indet. ACM/C1-E.  
ACM787: 11/2/03. Closca. Testudines indet. ACM/C1-ET2, prop d'ACM725.  
ACM788: 11/2/03. Plaques. Testudines indet. ACM/C1-E.  
ACM789: 11/2/03. Canina. Carnivora indet. ACM/C1-ET2, mateix bloc que ACM743.  
ACM790: 11/2/03. Molar. Carnivora indet. (?). ACM/C1-ET2, prop d'ACM789.  
ACM791: 11/2/03. Fragments de diàfisi. Mammalia indet. ACM/C1-E.  
ACM792: 11/2/03. Motillo de fragment distal de metàpode. Artiodactyla indet. (?). ACM/C1-E.  
ACM793: 11/2/03. Placa (?). Testudines indet. (?). ACM/C1-E7(=c).  
ACM794: 11/2/03. Fragment de placa marginal. Testudines indet. ACM/C1-E7(=c).  
ACM795: 11/2/03. Fragment de diàfisi. Mammalia indet. ACM/C1-E7(=c).  
ACM796: 11/2/03. Placa. Testudines indet. ACM/C1-E.  
ACM797: 11/2/03. Placa. Testudines indet. ACM/C1-E.  
ACM798: 11/2/03. Fragment de placa. Testudines indet. ACM/C1-E.  
ACM799: 11/2/03. Placa marginal. Testudines indet. ACM/C1-E.  
ACM800: 11/2/03. Placa. Testudines indet. ACM/C1-E.  
ACM801: 11/2/03. Fragment de closca. Testudines indet. ACM/C1-E.  
ACM802: 11/2/03. Fragment de placa. Testudines indet. ACM/C1-E.  
ACM803: 11/2/03. Plaques. Testudines indet. ACM/C1-E.  
ACM804: 11/2/03. Plaques. Testudines indet. ACM/C1-E.  
ACM805: 11/2/03. Plaques. Testudines indet. ACM/C1-E.  
ACM806: 12/2/03. Dent. Mammalia indet. ACM/C1-ET2, prop d'ACM725.  
ACM807: 12/2/03. Placa. Testudines indet. ACM/C1-ET2, prop d'ACM725.  
ACM808: 12/2/03. Diàfisi + ossos diversos. Mammalia indet./Indet. ACM/C1-ET2, prop d'ACM725.  
ACM809: 12/2/03. 2 ossos indet. Indet. ACM/C1-ET2, mateix bloc que ACM807.  
ACM810: 12/2/03. Plaques. Testudines indet. ACM/C1-ET2, prop d'ACM725.  
ACM811: 12/2/03. Restes indet. *Cheirogaster* sp. ACM/C1-ET2, mateix individu que ACM725.  
ACM812: 12/2/03. Placa. Testudines indet. ACM/C1-E7(=c).  
ACM813: 12/2/03. Arrel de molar (?). Proboscidea indet. (?). ACM/C1-E.  
ACM814: 12/2/03. Placa. Testudines indet. ACM/C1-E7(=c).  
ACM815: 12/2/03. Placa. Testudines indet. ACM/C1-E7(=c).  
ACM816: 12/2/03. Os indet. Indet. ACM/C1-E7(=c).  
ACM817: 12/2/03. Placa. Testudines indet. ACM/C1-E7(=c).  
ACM818: 12/2/03. Osteoderms. Anguidae indet. ACM/C1-E.



- ACM819: 12/2/03. Concentració de plaques. Testudines indet. ACM/C1-E.  
ACM820: 12/2/03. Concentració de plaques. Testudines indet. ACM/C1-E.  
ACM821: 12/2/03. Molar. Suidae indet. ACM/C1-E.  
ACM822: 12/2/03. Osteoderms. Anguidae indet. ACM/C1-E.  
ACM823: 12/2/03. Plaques. Testudines indet. ACM/C1-E, prop d'ACM820.  
ACM824: 12/2/03. Concentració de plaques. Testudines indet. ACM/C1-E.  
ACM825: 12/2/03. Placa marginal. Testudines indet. ACM/C1-E7(=c).  
ACM826: 12/2/03. Placa. Testudines indet. ACM/C1-E.  
ACM827: 12/2/03. Closca. Testudines indet. ACM/C1-E.  
ACM828: 13/2/03. Closca. Testudines indet. ACM/C1-ET2.  
ACM829: 13/2/03. Closca + motllo. Testudines indet. ACM/C1-ET2.  
ACM830: 13/2/03. Fragment de costella. Mammalia indet. ACM/C1-ET2.  
ACM831: 13/2/03. Fragment de closca. Testudines indet. ACM/C1-ET2.  
ACM832: 13/2/03. Closca. Testudines indet. ACM/C1-ET2.  
ACM833: 13/2/03. Fragment de closca + motllo. Testudines indet. ACM/C1-ET2.  
ACM834: 13/2/03. Closca. Testudines indet. ACM/C1-ET2.  
ACM835: 13/2/03. Closca. Testudines indet. ACM/C1-ET2.  
ACM836: 13/2/03. Fragments de placa. Testudines indet. ACM/C1-ET2.  
ACM837: 13/2/03. Fragment de closca. Testudines indet. ACM/C1-ET2.  
ACM838: 13/2/03. Plaques. Testudines indet. ACM/C1-ET2.  
ACM839: 13/2/03. Closca. Testudines indet. ACM/C1-ET2.  
ACM840: 13/2/03. Closca. Testudines indet. ACM/C1-ET2.  
ACM841: 13/2/03. Closca. Testudines indet. ACM/C1-ET2.  
ACM842: 13/2/03. Dent. Suidae indet. ACM/C1-E7(=c).  
ACM843: 13/2/03. Canina. *Listriodon splendens*. ACM/C1-E7(=c).  
ACM844: 13/2/03. Plaques. Testudines indet. ACM/C1-E.  
ACM845: 13/2/03. Acumulació de closques. Testudines indet. ACM/C1-ET2.  
ACM846: 13/2/03. Epífisi distal d'húmer. Mammalia (*Artiodactyla?*). ACM/C1-F.  
ACM847: 13/2/03. Fragment distal de diàfisi d'os llarg. Mammalia indet. ACM/C1-F.  
ACM848: 13/2/03. Fragment de maxil·lar amb canina. Carnivora indet. ACM/C1-F.  
ACM849: 14/2/03. Plaques. Testudines indet. ACM/C1-E.  
ACM850: 14/2/03. Plaques. Testudines indet. ACM/C1-E.  
ACM851: 14/2/03. Plaques. Testudines indet. ACM/C1-E.  
ACM852: 14/2/03. Plaques. Testudines indet. ACM/C1-E.  
ACM853: 14/2/03. Concentració de plaques i fragments de closca. Testudines indet. ACM/C1-ET2.  
ACM854: 14/2/03. Plaques. Testudines indet. ACM/C1-ET2.  
ACM855: 14/2/03. Fragments de closca i plaques. Testudines indet. ACM/C1-ET2.  
ACM856: 14/2/03. Fragments de closca. Testudines indet. ACM/C1-ET2.  
ACM857: 17/2/03. 2 closques. Testudines indet. ACM/C1-ET2.  
ACM858: 17/2/03. Fragment de closca + motllo. Testudines indet. ACM/C1-ET2.  
ACM859: 17/2/03. Closca. Testudines indet. ACM/C1-ET2.  
ACM860: 17/2/03. Os llarg + ossos + dents. Mammalia (*Lagomorpha?*). ACM/C1-ET2.  
ACM861: 17/2/03. Closca. Testudines indet. ACM/C1-ET.  
ACM862: 17/2/03. Plaques. Testudines indet. ACM/C1-E.  
ACM863: 17/2/03. Fragment de banya. Cervidae indet. ACM/C1-E.  
ACM864: 17/2/03. Fragment de closca. Testudines indet. ACM/C1-ET, prop d'ACM861.  
ACM865: 17/2/03. Plaques. Testudines indet. ACM/C1-ET, prop d'ACM861.  
ACM866: 17/2/03. Vèrtebra. Indet. ACM/C1-E.  
ACM867: 17/2/03. Epífisi distal d'húmer. Mammalia indet. ACM/C1-E.  
ACM868: 17/2/03. Fragment de closca. Testudines indet. ACM/C1-ET2.  
ACM869: 17/2/03. Restes diverses. Mammalia indet. (micro). ACM/C1-ET2.  
ACM870: 17/2/03. Os pla. Indet. ACM/C1-E.  
ACM871: 17/2/03. Os carpal/tarsal o epífisi. Mammalia indet. ACM/C1-E.  
ACM872: 17/2/03. 2 fragments de diàfisi d'os llarg. Mammalia (*Artiodactyla?*). ACM/C1-E, mateix bloc que ACM871.  
ACM873: 17/2/03. 2 fragments d'os postcranial. Indet. ACM/C1-F, prop d'ACM848.  
ACM874: 17/2/03. Closca. Testudines indet. ACM/C1-ET, prop d'ACM861.  
ACM875: 17/2/03. Banya. Cervidae indet. ACM/C1-F.  
ACM876: 17/2/03. 2 ossos indet. Indet. ACM/C1-F, associat a ACM848.

- ACM877: 17/2/03. Os indet. Indet. ACM/C1-F, associat a ACM848.  
ACM878: 17/2/03. Epífisi distal d'húmer. Artiodactyla indet. (?). ACM/C1-F.  
ACM879: 17/2/03. Dent. cf. *Listriodon splendens*. ACM/C1-F.  
ACM880: 17/2/03. Dent. cf. *Listriodon splendens*. ACM/C1-F.  
ACM881: 17/2/03. Plaques. Testudines indet. ACM/C1-ET2.  
ACM882: 17/2/03. Osteoderms. Anguidae indet. ACM/C1-ET2.  
ACM883: 17/2/03. Osteoderms. Anguidae indet. ACM/C1-ET2.  
ACM884: 17/2/03. Fragment de closca. Testudines indet. ACM/C1-ET2.  
ACM885: 17/2/03. Estella de postcranial. Testudines indet. (?). ACM/C1-ET2.  
ACM886: 17/2/03. Plaques. Testudines indet. ACM/C1-ET2.  
ACM887: 17/2/03. Osteoderms. Anguidae indet. ACM/C1-E, mateix individu que ACM882 i/o ACM883 (?).  
ACM888: 17/2/03. Defensa inferior. *Tetralophodon* sp. ACM/C1-E.  
ACM889: 17/2/03. Fragment d'os postcranial (costella?). Mammalia indet. ACM/C1-ET2.  
ACM890: 17/2/03. Fragment d'os postcranial (metàpode?). Mammalia indet. ACM/C1-ET2, mateix individu que ACM889 (?).  
ACM891: 17/2/03. Dent. Suidae indet. ACM/C1-E, mateix bloc que ACM888.  
ACM892: 17/2/03. Fragments de closca. Testudines indet. ACM/C1-ET2.  
ACM893: 17/2/03. Fragment de closca. Testudines indet. ACM/C1-E, mateix bloc que ACM888.  
ACM894: 17/2/03. Closca. Testudines indet. ACM/C1-ET2.  
ACM895: 17/2/03. Fragment de closca. Testudines indet. ACM/C1-ET2, prop d'ACM894.  
ACM896: 17/2/03. Plaques. Testudines indet. ACM/C1-ET2.  
ACM897: 17/2/03. Plaques. Testudines indet. ACM/C1-E, equivalent a C1-E1.  
ACM898: 17/2/03. Osteoderms. Anguidae indet. ACM/C1-ET2, mateix bloc que ACM895.  
ACM899: 17/2/03. Canina. Rhinocerotidae indet. (?). ACM/C1-E.  
ACM900: 17/2/03. Fragment d'estella. Mammalia indet. ACM/C1-E.  
ACM901: 17/2/03. Estella d'os indet. Indet. ACM/C1-E.  
ACM902: 17/2/03. Fragment de diàfisi. Mammalia indet. ACM/C1-E.  
ACM903: 17/2/03. Closca. Testudines indet. ACM/C1-E.  
ACM904: 17/2/03. Plaques. Testudines indet. ACM/C1-E.  
ACM905: 17/2/03. Plaques. Testudines indet. ACM/C1-E.  
ACM906: 17/2/03. Os postcranial indet. Mammalia indet. ACM/C1-E.  
ACM907: 17/2/03. Placa. Testudines indet. ACM/C1-E.  
ACM908: 17/2/03. 3 fragments postcranials (incloent metàpode). Mammalia indet. ACM/C1-E.  
ACM909: 17/2/03. Fragment de mandíbula. Cervidae indet. ACM/C1-E.  
ACM910: 17/2/03. Banyes. Cervidae indet. ACM/C1-E.  
ACM911: 17/2/03. 2 banyes. Cervidae indet. ACM/C1-E, mateix bloc que ACM908.  
ACM912: 17/2/03. Fragment de closca + postcranial. Testudines indet. ACM/C1-E.  
ACM913: 17/2/03. Fragment de banya. Cervidae indet. ACM/C1-E7(=c).  
ACM914: 17/2/03. Fragment de mandíbula amb dents. Suidae indet. ACM/C1-E7(=c).  
ACM915: 17/2/03. Os indet. Indet. ACM/C1-E7(=c).  
ACM916: 17/2/03. Fèmur o húmer. Mammalia indet. ACM/C1-E7(=c).  
ACM917: 18/2/03. Os indet. amb múltiples estelles. Proboscidea indet. ACM/C1-E, prop d'ACM888.  
ACM918: 18/2/03. Os llarg. Testudines indet. (?). ACM/C1-ET2, mateix bloc que ACM841.  
ACM919: 18/2/03. Banyes. Cervidae indet. ACM/C1-E.  
ACM920: 18/2/03. Plaques. Testudines indet. ACM/C1-E.  
ACM921: 18/2/03. Fragment d'os amb 2 dents. Suidae indet. ACM/C1-E.  
ACM922: 18/2/03. Fragment de costella. Mammalia indet. ACM/C1-E.  
ACM923: 18/2/03. Plaques. Testudines indet. ACM/C1-E.  
ACM924: 18/2/03. Fragment de mandíbula o maxil·lar + 3 dents. Cervidae indet. ACM/C1-E.  
ACM925: 18/2/03. Fragment d'os llarg indet. + 2 dents. Mammalia indet. ACM/C1-E, mateix individu que ACM909 (?).  
ACM926: 18/2/03. Fragment d'os llarg + os indet. Mammalia indet. ACM/C1-E.  
ACM927: 18/2/03. Os indet. Mammalia indet. ACM/C1-E.  
ACM928: 18/2/03. Placa. Testudines indet. ACM/C1-E.  
ACM929: 18/2/03. 2 dents. Cervidae indet. ACM/C1-E.  
ACM930: 18/2/03. Restes òssies indet. Indet. ACM/C1-E.  
ACM931: 18/2/03. Concentració d'estelles postcranials. Mammalia indet. ACM/C1-E.  
ACM932: 18/2/03. Plaques. Testudines indet. ACM/C1-E.

- ACM933: 18/2/03. Fragment d'escàpula (o pelvis?). Mammalia indet. ACM/C1-E.  
ACM934: 18/2/03. Concentració de plaques. Testudines indet. ACM/C1-E.  
ACM935: 18/2/03. Fragment d'os llarg. Mammalia indet. ACM/C1-E.  
ACM936: 18/2/03. Os postcranial indet. Mammalia indet. (?). ACM/C1-E.  
ACM937: 18/2/03. Dent. Artiodactyla indet. ACM/C1-E, mateix bloc que ACM930.  
ACM938: 18/2/03. Plaques. Testudines indet. ACM/C1-E.  
ACM939: 18/2/03. Fragment de closca. Testudines indet. ACM/C1-E.  
ACM940: 18/2/03. Closca. Testudines indet. ACM/Remogut.  
ACM941: 18/2/03. Diàfisi d'os llarg. Indet. ACM/C1-F.  
ACM942: 18/2/03. Plaques (?). Testudines indet (?). ACM/C1-F.  
ACM943: 18/2/03. Plaques. Testudines indet. ACM/C1-F.  
ACM944: 18/2/03. Placa marginal + plaques. Testudines indet. ACM/C1-F.  
ACM945: 18/2/03. Fragment de diàfisi. Mammalia indet. ACM/C1-F.  
ACM946: 18/2/03. Osteoderms. Anguidae indet. ACM/C1-F.  
ACM947: 18/2/03. Osteoderms. Anguidae indet. ACM/C1-F.  
ACM948: 18/2/03. Fragments de diàfisi. Mammalia indet. ACM/C1-F.  
ACM949: 18/2/03. Placa. Testudines indet. ACM/C1-F.  
ACM950: 18/2/03. Concentració de plaques. Testudines indet. ACM/C1-ET2.  
ACM951: 18/2/03. Plaques. Testudines indet. ACM/C1-ET2.  
ACM952: 18/2/03. Closca. Testudines indet. ACM/C1-ET2.  
ACM953: 18/2/03. Closca. Testudines indet. ACM/C1-ET2.  
ACM954: 18/2/03. Plaques. Testudines indet. ACM/C1-F.  
ACM955: 18/2/03. Osteoderms. Anguidae indet. ACM/C1-ET2.  
ACM956: 18/2/03. Closca. Testudines indet. ACM/C1-ET2.  
ACM957: 18/2/03. Plaques. Testudines indet. ACM/C1-ET2.  
ACM958: 18/2/03. Atlas o axis + postcranial. Mammalia (Carnivora?). ACM/C1-ET2.  
ACM959: 18/2/03. Fragment de banya. Cervidae indet. ACM/C1-F.  
ACM960: 18/2/03. Os indet. Mammalia indet. ACM/C1-F.  
ACM961: 18/2/03. Placa. Testudines indet. ACM/C1-F.  
ACM962: 18/2/03. Placa. Testudines indet. ACM/C1-E.  
ACM963: 18/2/03. Plaques. Testudines indet. ACM/C1-F.  
ACM964: 18/2/03. Placa. Testudines indet. ACM/C1-F.  
ACM965: 18/2/03. Placa. Testudines indet. ACM/C1-F.  
ACM966: 18/2/03. Osteoderms. Anguidae indet. ACM/C1-F.  
ACM967: 18/2/03. Placa. Testudines indet. ACM/C1-F.  
ACM968: 18/2/03. Fragment de banya. Cervidae indet. ACM/C1-F.  
ACM969: 19/2/03. Placa. Testudines indet. ACM/C1-F.  
ACM970: 19/2/03. Dent. Cervoidea indet. ACM/C1-ET2, mateix bloc que ACM952.  
ACM971: 19/2/03. Fragment de closca. Testudines indet. ACM/C1-E.  
ACM972: 19/2/03. Fragment de closca/Acumulació de plaques. Testudines indet. ACM/C1-E.  
ACM973: 19/2/03. Plaques. Testudines indet. ACM/C1-E.  
ACM974: 19/2/03. Closca. Testudines indet. ACM/C1-E.  
ACM975: 19/2/03. Placa. Testudines indet. ACM/C1-F.  
ACM976: 19/2/03. Plaques. Testudines indet. ACM/C1-E.  
ACM977: 19/2/03. Plaques. Testudines indet. ACM/C1-E.  
ACM978: 19/2/03. Plaques. Testudines indet. ACM/C1-E.  
ACM979: 19/2/03. Plaques. Testudines indet. ACM/C1-E.  
ACM980: 19/2/03. Concentració de plaques. Testudines indet. ACM/C1-E.  
ACM982: 20/2/03. Closca. Testudines indet. ACM/C1-E.  
ACM983: 20/2/03. Fragment de mandíbula (?) sense dents. Mammalia indet. ACM/C1-E.  
ACM984: 20/2/03. Calcani (?). *Cheirogaster* sp. ACM/C1-ET2, prop d'ACM725.  
ACM985: 20/2/03. Placa. Testudines indet. ACM/BDL.  
ACM986: 20/2/03. Fragment de diàfisi. Mammalia indet. ACM/BDL.  
ACM987: 20/3/03. Neurocrani amb motllo endocranial i dents. Carnivora indet. ACM/C1-E9(=f).  
ACM988: 21/3/03. Osteoderms. Anguidae indet. ACM/C1-E.  
ACM989: 21/3/03. Fragment de closca. Testudines indet. ACM/C1-E.  
ACM990: 21/3/03. Placa. Testudines indet. ACM/C1-E.  
ACM991: 21/3/03. Placa. Testudines indet. ACM/C1-E.  
ACM992: 21/3/03. Fragments de closca. Testudines indet. ACM/C1-E.  
ACM993: 21/3/03. Fragment distal d'os llarg (metàpode?). Mammalia indet. ACM/C1-E.



- ACM994: 21/3/03. Os indet. Indet. ACM/C1-E.  
ACM995: 21/3/03. Fragment d'os llarg. Mammalia indet. ACM/C1-E, bloc d'ACM987.  
ACM996: 21/3/03. Restes postcranials indet. (vèrtebres?). Mammalia indet. ACM/C1-E, bloc d'ACM987.  
ACM997 (IPS20409): 21/3/03. Dent. Mammalia indet. ACM/C1-E9(=f), prop d'ACM987.  
ACM997 (IPS20410): 21/3/03. Estelles. Indet. ACM/C1-E9(=f), prop d'ACM987.  
ACM998: 21/3/03. Fragments de diàfisi d'os llarg. Mammalia indet. ACM/C1-E9.  
ACM999: 21/3/03. Dent (?). Carnivora indet. (?). ACM/C1-E9.  
ACM1000 (IPS20437): 21/3/03. Crani (incloent el basicrani, el neurocrani, les òrbites, i part del paladar: P<sup>3</sup>-M<sup>3</sup> esquerres i M<sup>3</sup> dret). Cervidae indet. ACM/C1-E9(=f), prop d'ACM1001.  
ACM1001 (IPS20316): 21/3/03. Fragments de plastró i espatllar. Testudines indet. ACM/C1-E9(=f), aprox. 2 m d'ACM987.  
ACM1002: 21/3/03. Os postcranial (astràgal?). Carnivora indet. (?). ACM/C1-E9(=f), prop d'ACM987.  
ACM1003: 21/3/03. Plaques. Testudines indet. ACM/C1-E, <2 m d'ACM725.  
ACM1004 (IPS20418): 21/3/03. Fragments de plastró més estelles postcranials. Testudines indet. ACM/C1-ET2, <2 m d'ACM725.  
ACM1004 (IPS20419): 21/3/03. Húmer. Testudines indet.. ACM/C1-ET2, <2 m d'ACM725.  
ACM1005: 21/3/03. Plaques. Testudines indet. ACM/C1-ET2, <3 m d'ACM725.  
ACM1006: 21/3/03. Plaques. Testudines indet. ACM/C1-ET2, <3 m d'ACM725.  
ACM1007: 22/3/03. Fragment de mandíbula amb dents. Cervoidea (*Micromeryx flourensianus?*). ACM/C1-ET2, prop d'ACM725.  
ACM1008: 22/3/03. Placa. Testudines indet. ACM/C1-E.  
ACM1009: 22/3/03. Os postcranial (vèrtebra?). *Cheirogaster* sp. (?). ACM/C1-ET2, prop d'ACM725.  
ACM1010: 22/3/03. Os postcranial (de l'esquelet axial?). *Cheirogaster* sp. (?). ACM/C1-ET2, prop d'ACM725 juntament amb ACM1009.  
ACM1011: 22/3/03. Plaques. Testudines indet. ACM/BDL.  
ACM1012: 22/3/03. Plaques. Testudines indet. ACM/C1-ET2, <3 m d'ACM725.  
ACM1013: 22/3/03. Plaques. Testudines indet. ACM/C1-ET2, <3 m d'ACM725.  
ACM1014: 22/3/03. Plaques. Testudines indet. ACM/C1-E.  
ACM1015: 22/3/03. Plaques. Testudines indet. ACM/C1-E.  
ACM1016: 22/3/03. Fragments de dent. Suidae indet. (?). ACM/C1-E7.  
ACM1017: 22/3/03. Placa. Testudines indet. ACM/C1-E7.  
ACM1018: 22/3/03. Os indet. Indet. ACM/C1-E7.  
ACM1019: 22/3/03. Fragment de diàfisi. Mammalia indet. ACM/C1-E.  
ACM1020: 22/3/03. Fragment de diàfisi. Mammalia indet. ACM/C1-E.  
ACM1021: 22/3/03. Placa. Testudines indet. ACM/C1-E.  
ACM1022: 22/3/03. Fragment d'epífisi distal. Mammalia indet. ACM/C1-E.  
ACM1023: 22/3/03. Molar. Cervidae indet. ACM/C1-E.  
ACM1024: 22/3/03. Dent. Suidae indet. ACM/C1-E.  
ACM1025: 22/3/03. Placa. Testudines indet. ACM/C1-E.  
ACM1026: 22/3/03. Metàpode. Suidae indet. ACM/C1-E.  
ACM1027: 22/3/03. Closca. Testudines indet. ACM/C1-E10.  
ACM1028: 22/3/03. Placa. Testudines indet. ACM/C1-E10.  
ACM1029: 22/3/03. Dent (canina?). Mammalia indet. ACM/C1-E7.  
ACM1030: 22/3/03. Molar. Cervidae indet. ACM/C1-E7.  
ACM1031: 22/3/03. Os postcranial indet. Mammalia indet. ACM/C1-E7.  
ACM1032: 22/3/03. Esquelet parcial (com a mínim, 9 costelles, 2 vèrtebres, 1 escàpula i una pelvis). Cervidae, cf. *Euprox furcatus*. ACM/C1-E10.  
ACM1033: 22/3/03. Closca. Testudines indet. ACM/C1-E.  
ACM1034: 24/3/03. Plaques. Testudines indet. ACM/C1-ET2.  
ACM1035: 24/3/03. Fragments de closca + postcranial. Testudines indet. ACM/C1-E.  
ACM1036: 24/3/03. Ulna (?). Carnivora indet. ACM/C1-E9, prop d'ACM1000.  
ACM1037: 24/3/03. Dent (incisiva?). Mammalia indet. ACM/C1-E9, bloc d'ACM1036.  
ACM1038: 24/3/03. Os indet. Mammalia indet. ACM/C1-E9, bloc d'ACM1036.  
ACM1039: 24/3/03. Os pla. Mammalia indet. ACM/C1-E9.  
ACM1040: 24/3/03. Motllos d'os pla. Indet. ACM/C1-E.  
ACM1041: 24/3/03. Fragment de diàfisi + os pla. Mammalia indet. ACM/C1-E.  
ACM1042: 24/3/03. Crani aixafat + dents + postcranial (costelles). Suidae indet. ACM/C1-ET2.

- ACM1043: 24/3/03. Fragment de closca. Testudines indet. ACM/C1-ET2.  
ACM1044: 24/3/03. Os postcranial indet. Indet. ACM/C1-E9, prop d'ACM1036.  
ACM1045: 24/3/03. Fragment de mandíbula amb dents + costella. Carnívora indet. (?). ACM/C1-E9, prop d'ACM1036.  
ACM1046: 24/3/03. Dent. Mammalia indet. ACM/C1-E9, entre ACM1036 i ACM1045.  
ACM1047: 24/3/03. Bloc amb postcranial. Mammalia indet. ACM/C1-E9, prop d'ACM1045.  
ACM1048: 24/3/03. Dent + postcranial. Mammalia indet. ACM/C1-E9, bloc d'ACM1047.  
ACM1049: 24/3/03. Fragment de closca. Testudines indet. ACM/C1-ET2.  
ACM1050: 24/3/03. Fragment de diàfisi. Mammalia indet. ACM/C1-E.  
ACM1051: 24/3/03. Concentració de plaques. Testudines indet. ACM/C1-E.  
ACM1052: 24/3/03. Fragments de closca. *Cheirogaster* sp. ACM/C1-E.  
ACM1053: 24/3/03. Fragment de costella. Mammalia indet. ACM/C1-E9, prop d'ACM1045.  
ACM1054: 24/3/03. Epífisi i fragment de diàfisi d'os llarg. Testudines indet. (?). ACM/C1-ET2.  
ACM1055: 24/3/03. Plaques. Testudines indet. ACM/C1-E.  
ACM1056: 24/3/03. Plaques. Testudines indet. ACM/C1-ET2.  
ACM1057: 24/3/03. Plaques. Testudines indet. ACM/BDL.  
ACM1058: 24/3/03. Plaques. Testudines indet. ACM/C1-ET2.  
ACM1059: 24/3/03. Concentració de plaques. Testudines indet. ACM/C1-ET2.  
ACM1060: 24/3/03. Concentració de plaques. Testudines indet. ACM/C1-ET2.  
ACM1061: 24/3/03. Closca (motllo). Testudines indet. ACM/C1-E10, prop d'ACM1027.  
ACM1062: 24/3/03. Plaques. Testudines indet. ACM/C1-ET2.  
ACM1063: 24/3/03. Plaques. Testudines indet. ACM/C1-ET2.  
ACM1064: 24/3/03. Fragment de closca. Testudines indet. ACM/C1-ET2.  
ACM1065: 24/3/03. Placa. Testudines indet. ACM/C1-ET2.  
ACM1066: 24/3/03. Estella d'os postcranial. Mammalia indet. ACM/C1-Fa.  
ACM1067: 24/3/03. Concentració de plaques. Testudines indet. ACM/C1-ET2.  
ACM1068: 24/3/03. Restes postcranials indet. Indet. ACM/C1-E9.  
ACM1069: 24/3/03. Fragment de costella. Mammalia indet. ACM/C1-E9.  
ACM1070: 24/3/03. Diàfisi. Indet. ACM/C1-E7.  
ACM1071: 24/3/03. Còndil d'epífisi distal de fèrmur (?). Mammalia indet. ACM/C1-E7.  
ACM1072: 24/3/03. Os indet. Indet. ACM/C1-E7.  
ACM1073: 24/3/03. Fragment de dentina de dent. Rhinocerotidae indet. (?). ACM/C1-E.  
ACM1074: 25/3/03. Os indet. Indet. ACM/C1-E.  
ACM1075: 25/3/03. Plaques. Testudines indet. ACM/C1-E.  
ACM1076: 25/3/03. Plaques. Testudines indet. ACM/C1-E.  
ACM1077: 25/3/03. Diàfisi. Mammalia indet. ACM/C1-E.  
ACM1078: 25/3/03. Fragment de diàfisi. Mammalia indet. ACM/BDA, entre BDA3 i BDA4.  
ACM1079: 25/3/03. Ossos postcranials. Testudines indet. ACM/C1-E10, prop d'ACM1027.  
ACM1080: 25/3/03. Os postcranial. Testudines indet. ACM/C1-E10, prop d'ACM1027.  
ACM1081: 25/3/03. Molar. Proboscidea indet. ACM/C1-E.  
ACM1082: 25/3/03. Placa. Testudines indet. ACM/C1-E.  
ACM1083: 26/3/03. Fragment de costella. Proboscidea indet. ACM/C1-Fa.  
ACM1084: 26/3/03. Os porós. Mammalia (Proboscidea?). ACM/C1-Fa.  
ACM1085: 26/3/03. Os porós. Mammalia (Proboscidea?). ACM/C1-Fa.  
ACM1086: 26/3/03. Costella. Proboscidea indet. ACM/C1-Fa.  
ACM1087: 26/3/03. Fragment de closca. Testudines indet. ACM/C1-E.  
ACM1088: 26/3/03. Placa. Testudines indet. ACM/C1-E.  
ACM1089: 26/3/03. Placa. Testudines indet. ACM/C1-E.  
ACM1090: 26/3/03. Placa. Testudines indet. ACM/VIE-E.  
ACM1091: 26/3/03. Plaques. Testudines indet. ACM/C1-E.  
ACM1092 (IPS21152): 26/3/03. Hemimandíbula. *Cricetodon* sp. ACM/C1-E10, prop d'ACM1032.  
ACM1093: 26/3/03. Incisiva inferior. *Listriodon splendens*. ACM/C1-E7.  
ACM1094: 26/3/03. Estella d'os indet. Indet. ACM/C1-E7.  
ACM1095: 26/3/03. Plaques. Testudines indet. ACM/C1-E7.  
ACM1096: 26/3/03. Placa. Testudines indet. ACM/C1-E7.  
ACM1097: 26/3/03. Plaques. Testudines indet. ACM/C1-E7.  
ACM1098: 26/3/03. Plaques. Testudines indet. ACM/C1-E.  
ACM1099: 26/3/03. Fragment de costella (?). Mammalia indet. ACM/C1-ET2.  
ACM1100: 26/3/03. Incisiva superior (?). *Listriodon splendens*. ACM/C1-ET2.

- ACM1101: 26/3/03. Fragment de closca. Testudines indet. ACM/C1-ET2.  
ACM1102: 26/3/03. Fragment de closca. Testudines indet. ACM/C1-E.  
ACM1103: 26/3/03. Os llarg (?). Proboscidea indet. ACM/C1-Fa.  
ACM1104: 26/3/03. Incisiva. Cervidae indet. ACM/C1-E10, prop d'ACM1032.  
ACM1105: 26/3/03. Placa. Testudines indet. ACM/C1-E.  
ACM1106: 26/3/03. Plaques. Testudines indet. ACM/C1-E.  
ACM1107: 26/3/03. Os postcranial. Testudines indet. ACM/C1-E10.  
ACM1108: 26/3/03. Fragment de costella o diàfisi. Mammalia indet. ACM/C1, 2 m per sobre de C1-A1.  
ACM1109: 26/3/03. Vèrtebra + estelles. Mammalia indet. ACM/C1-E10, prop d'ACM1032.  
ACM1110: 26/3/03. Neurocrani (?). Mammalia indet. (micro). ACM/C1-E.  
ACM1111: 27/3/03. Mandíbula amb 1 dent. *Propotamochoerus* (?). ACM/C1-E10.  
ACM1112: 27/3/03. Molar. Suidae indet. ACM/C1-E10, bloc d'ACM1111.  
ACM1113: 27/3/03. Fragment de diàfisi. Mammalia indet. ACM/C1-E10.  
ACM1114: 27/3/03. Molar. *Deinotherium* sp. ACM/C1-Fa.  
ACM1115: 27/3/03. Defensa inferior. Gomphotheriidae indet. ACM/VE-B.  
ACM1116: 27/3/03. Osteoderms + ossos postcranials. Anguidae indet. ACM/C1-E.  
ACM1117: 27/3/03. Astràgal + fragment distal d'os llarg (tíbia?). Artiodactyla indet. ACM/BDA, aproximadament equivalent a BDA4.  
ACM1118: 27/3/03. Fragment de defensa. Proboscidea indet. ACM/remogut.  
ACM1119: 27/3/03. Plaques. Testudines indet. ACM/C1-E.  
ACM1120: 27/3/03. Vèrtebra (?). Mammalia indet. ACM/C1-E10, prop d'ACM1111.  
ACM1121: 31/3/03. Os indet. Indet. ACM/C1-E7.  
ACM1122: 31/3/03. Fragment de defensa (?). Proboscidea indet. ACM/remogut, prop de C1-E.  
ACM1123: 31/3/03. Mandíbula amb M<sub>2-3</sub>. *Propotamochoerus* (?). ACM/C1-E7.  
ACM1124: 31/3/03. Fragment de banya. Cervidae indet. ACM/C1-E7.  
ACM1125: 31/3/03. Molar. *Deinotherium* sp. ACM/C1-Fa.  
ACM1126: 31/3/03. Epífisi i fragment de diàfisi d'os llarg. Proboscidea indet. (?). ACM/C1-Fa.  
ACM1127: 31/3/03. Fragment d'os pla. Mammalia indet. ACM/C1-Fa.  
ACM1128: 31/3/03. Fragment d'os pla. Mammalia indet. ACM/C1-Fa.  
ACM1129: 31/3/03. Fragment d'os pla. Mammalia indet. ACM/C1-Fa.  
ACM1130: 31/3/03. Placa. Testudines indet. ACM/C1-A.  
ACM1131: 31/3/03. Fragment de diàfisi. Mammalia indet. ACM/C1-Fa.  
ACM1132: 31/3/03. Acumulació de fragments d'os indet. Indet. ACM/C1-Fa, prop d'ACM1126.  
ACM1133: 31/3/03. Os pla. Mammalia indet. ACM/C1-Fa.  
ACM1134: 31/3/03. Costella. *Deinotherium* sp. ACM/C1-Fa, prop d'ACM1133.  
ACM1135: 31/3/03. Fragment d'epífisi distal d'os llarg. Mammalia indet. ACM/C1-E7.  
ACM1136: 31/3/03. Placa (?). Testudines indet. (?). ACM/C1-E7.  
ACM1137: 31/3/03. Dent. Suidae indet. ACM/C1-E7, <0,2 m d'ACM1123.  
ACM1138: 31/3/03. 2 dents. Suidae indet. ACM/C1-E7, <0,2 m d'ACM1123.  
ACM1139: 31/3/03. Falange. Suidae o Carnivora. ACM/C1-E7.  
ACM1140: 31/3/03. 2 molars superiors (M<sup>2-3</sup>?). *Propotamochoerus* (?). ACM/C1-E7.  
ACM1141: 31/3/03. Molar. *Deinotherium* sp. ACM/C1-Fa.  
ACM1142: 31/3/03. Fragment rodats de costella. Proboscidea indet. ACM/C1-Fa.  
ACM1143: 31/3/03. Fragments de molar. Proboscidea indet. ACM/C1-E.  
ACM1144: 1/4/03. Fragment de molar. Proboscidea (*Deinotherium* ?). ACM/BDA, prop de BDIL.  
ACM1145: 1/4/03. Incisiva. Tayasuidae o Suidae. ACM/BDA.  
ACM1146: 1/4/03. Fragment d'arrel de dent. Mammalia indet. ACM/BDA, prop d'ACM1145.  
ACM1147: 1/4/03. Fragments d'os indet. Indet. ACM/BDA, prop d'ACM1145.  
ACM1148: 1/4/03. Mandíbula amb 3-4 dents. Cervidae indet. ACM/C1-E7.  
ACM1149: 1/4/03. Ossos indet. Mammalia indet. ACM/C1-E7.  
ACM1150: 1/4/03. Premolar. *Propotamochoerus* (?). ACM/C1-E7.  
ACM1151: 1/4/03. Os indet. Indet. ACM/C1-E10, prop d'ACM1032.  
ACM1152: 1/4/03. Metàpode. Proboscidea indet. ACM/BDA.  
ACM1153: 1/4/03. Cap de costella. Mammalia indet. ACM/BDA.  
ACM1154 (IPS20433): 1/4/03. Fragments de mandíbula amb dents. *Anchitherium* sp. nov. ACM/BDA.  
ACM1155: 1/4/03. Os indet. Indet. ACM/BDA.  
ACM1156: 1/4/03. Fragment de diàfisi. Indet. ACM/BDA.  
ACM1157: 1/4/03. Molar. *Deinotherium* sp. ACM/BDA.



- ACM1158: 1/4/03. Fragments de molar. *Deinotherium* sp. ACM/BDA.  
ACM1159: 1/4/03. Fragment de diàfisi d'os llarg. Mammalia indet. (mida gran). ACM/BDA.  
ACM1160 (IPS20444): 1/4/03. Crani. Mustelidae indet. ACM/C1-E9.  
ACM1161: 1/4/03. Falange mitjana. Cervidae indet. ACM/C1-E, prop d'ACM1160.  
ACM1162: 1/4/03. Fragment de vèrtebra (?). Mammalia indet. (?). ACM/C1-E, prop d'ACM1160.  
ACM1163: 1/4/03. Os indet. Indet. ACM/C1-E, prop d'ACM1160.  
ACM1164: 2/4/03. Fragment de pelvis o escàpula (?). Mammalia indet. ACM/C1-E7.  
ACM1165: 2/4/03. Fèmur. Mammalia indet. (Artiodactyla?). ACM/C1-E7.  
ACM1166: 2/4/03. Os indet (carpal/tarsal?). Mammalia indet. ACM/C1-E7.  
ACM1167: 2/4/03. Fragment de diàfisi. Mammalia indet. ACM/C1-E7.  
ACM1168: 2/4/03. Fragment de diàfisi. Mammalia indet. ACM/C1-E7.  
ACM1169: 2/4/03. Osteoderms amb restes postcranials. Anguidae indet. ACM/C1-E.  
ACM1170: 2/4/03. Fragment ossi rodat (costella?). Mammalia indet. ACM/C1-E.  
ACM1171: 2/4/03. Os indet. Indet. ACM/C1-E.  
ACM1172: 2/4/03. Osteoderms (i restes postcranials?). Anguidae indet. ACM/C1-E.  
ACM1173: 2/4/03. Os llarg indet. Indet. ACM/C1-E7.  
ACM1174: 2/4/03. Os indet. Indet. ACM/C1-E.  
ACM1172bis: 2/4/03. Pelvis. Mammalia indet. ACM/C1-Fa.  
ACM1173bis: 2/4/03. 2 fragments de costella (?). Proboscidea indet. ACM/C1-Fa.  
ACM1174bis: 2/4/03. Estella os indet. Mammalia indet. ACM/BDA.  
ACM1175: 2/4/03. Fragment d'os indet. Indet. ACM/BDA.  
ACM1176: 2/4/03. Fragments mandibulars o maxil·lars amb dents. *Listriodon splendens*. ACM/C1-B.  
ACM1177: 2/4/03. Maxil·lar amb sèrie dentària. *Listriodon splendens*. ACM/BDA.  
ACM1178: 2/4/03. Dent. Cervidae indet. ACM/C1-E7.  
ACM1179: 2/4/03. Dent. Cervidae indet. ACM/C1-E7.  
ACM1180: 2/4/03. Premolar. Suidae indet. ACM/C1-E7.  
ACM1181: 2/4/03. Fragment mandibular o maxil·lar sense dents. Proboscidea indet. ACM/BDAd.  
ACM1182: 2/4/03. Maxil·lar o mandíbula amb dents. *Deinotherium* sp. ACM/BDAd, <2 m d'ACM1181.  
ACM1183: 3/4/03. Os indet. Mammalia indet. (?). ACM/C1-E7.  
ACM1184: 3/4/03. Plaques. Testudines indet. ACM/C1-E7.  
ACM1185: 3/4/03. Fragment de costella. Proboscidea indet. ACM/C1-Fa.  
ACM1186: 3/4/03. Fragments ossis i estelles indet. Mammalia indet. ACM/BDA8(=a).  
ACM1187: 3/4/03. Costella. *Alicornops simorreense*. ACM/BDA, prop de BDA7(=b).  
ACM1188: 3/4/03. Os pla (fragment de costella?). Proboscidea indet. ACM/BDA8(=a).  
ACM1189: 3/4/03. Ossos indet. (esponjós i pla). Proboscidea indet. (?). ACM/BDA8(=a), mateix individu que ACM1188 (?).  
ACM1190: 3/4/03. Os pla (costella?). Proboscidea indet. ACM/BDA8(=a), mateix individu que ACM1188 (?).  
ACM1191: 3/4/03. Fragment de dent. Mammalia indet. ACM/BDA.  
ACM1192: 3/4/03. Os indet. Indet. ACM/BDA7(=b).  
ACM1193: 3/4/03. Fragment de costella. Mammalia indet. ACM/BDA, aprox. 3-4 m sota BDA1.  
ACM1194: 3/4/03. Fragment de costella. Mammalia indet. ACM/C1-E9.  
ACM1195: 3/4/03. Diàfisi d'os llarg. Mammalia indet. ACM/C1-E9.  
ACM1196: 3/4/03. Fragments de defensa. Proboscidea indet. ACM/C1-E.  
ACM1197: 3/4/03. Molar. *Deinotherium* sp. ACM/C1-E.  
ACM1198: 3/4/03. Molar decidua. *Deinotherium* sp. ACM/BDA.  
ACM1199: 4/4/03. Incisiva (defensa). *Alicornops simorreense*. ACM/BDA7(=b).  
ACM1200: 4/4/03. Costella. *Alicornops simorreense*. ACM/BDA7(=b), al costat d'ACM1199.  
ACM1201: 4/4/03. Fragments de costella (1 o més). *Alicornops simorreense*. ACM/BDA7(=b), al costat d'ACM1199.  
ACM1202: 4/4/03. Metàpode. *Alicornops simorreense*. ACM/BDA7(=b), aprox. a 30 cm d'ACM1199.  
ACM1203: 4/4/03. Metàpode. *Alicornops simorreense*. ACM/BDA7(=b), al costat d'ACM1202.  
ACM1204: 4/4/03. Costella. *Alicornops simorreense*. ACM/BDA7(=b), al costat d'ACM1203.  
ACM1205: 4/4/03. Costella. *Alicornops simorreense*. ACM/BDA7(=b), entre ACM1199 i ACM1202.  
ACM1206: 4/4/03. Fragment de crani (?). Carnivora indet. (?). ACM/BDA, entre BDA4 i BDA3.

- ACM1207: 4/4/03. Os indet. Indet. ACM/BDA.  
ACM1208: 4/4/03. Concentració de costelles. Rhinocerotidae indet. (?) i Proboscidea indet. ACM/BDA8(=c).  
ACM1209: 4/4/03. Costella. Mammalia indet. ACM/C1-E.  
ACM1210: 4/4/03. Os indet. Indet. ACM/C1-E.  
ACM1211: 4/4/03. Estelles d'ossos indet. Indet. ACM/C1-E.  
ACM1212: 4/4/03. Molar. Cervidae indet. ACM/C1-E7.  
ACM1213: 4/4/03. Molar. Cervidae indet. ACM/C1-E7, a prop d'ACM1212.  
ACM1214: 4/4/03. Os indet. Indet. ACM/C1-E7.  
ACM1215: 4/4/03. Fragment mandibular. Proboscidea indet. ACM/BDAd (?).  
ACM1216: 4/4/03. Dent. *Deinotherium* sp. ACM/BDAd (?), prop d'ACM1215.  
ACM1217: 4/4/03. Molar. Cervidae indet. ACM/C1-E7, a prop d'ACM1212 i ACM1213.  
ACM1218: 4/4/03. Fragments de defensa (incisiva). Rhinocerotidae indet. (?). ACM/C1-E, a prop d'ACM1196.  
ACM1219: 4/4/03. Incisiva. Suidae indet. ACM/BDA.  
ACM1220: 4/4/03. Os llarg (metàpode?). Mammalia indet. ACM/BDA.  
ACM1221: 4/4/03. Fragment d'os indet. Indet. ACM/BDA.  
ACM1222: 4/4/03. Defensa (incisiva). *Alicornops simorreense*. ACM/BDA7 (=b), al costat d'ACM1999.  
ACM1223: 5/4/03. Astràgal. *Alicornops simorreense*. ACM/BDA7 (=b).  
ACM1224: 8/4/03. Os carpal/tarsal. *Alicornops simorreense*. ACM/BDA7 (=b).  
ACM1225: 8/4/03. Os carpal/tarsal. *Alicornops simorreense*. ACM/BDA7 (=b), en connexió amb ACM1224.  
ACM1226: 8/4/03. Fíbula. *Alicornops simorreense*. ACM/BDA7 (=b), al costat d'ACM1205.  
ACM1227: 8/4/03. Fragment d'escàpula (?). *Alicornops simorreense*. ACM/BDA7 (=b), al costat d'ACM1205 i ACM1226.  
ACM1228: 8/4/03. Fragment de molar. Proboscidea indet. ACM/BDA.  
ACM1229: 8/4/03. Os carpal/tarsal. *Alicornops simorreense*. ACM/BDA7 (=b).  
ACM1230: 5/4/03. Costella. Proboscidea indet. (?). ACM/BDAd.  
ACM1231: 5/4/03. Oossos indet. (carpals?). *Alicornops simorreense*. ACM/BDA7 (=b).  
ACM1232: 5/4/03. Os carpal/tarsal. *Alicornops simorreense* (?). ACM/BDA7 (=b).  
ACM1233: 5/4/03. Fragment de sacre. *Alicornops simorreense* (?). ACM/BDA7 (=b).  
ACM1234: 5/4/03. Mandíbula sense dents. Lagomorpha (?). ACM/BDA7 (=b).  
ACM1235: 5/4/03. Costella o diàfisi. Mammalia indet. ACM/BDA.  
ACM1236: 5/4/03. Fragment mandibular amb dents. Cervidae indet. ACM/C1-E7.  
ACM1237: 5/4/03. Os indet. Indet. ACM/C1-E7.  
ACM1238: 5/4/03. Molar. Suidae indet. ACM/C1-E7.  
ACM1239: 7/4/03. Molar. *Deinotherium* sp. ACM/C1-E.  
ACM1240: 5/4/03. Defensa potejada. Proboscidea indet. ACM/C1-E, <2 m d'ACM1239.  
ACM1241: 5/4/03. Vèrtebra. *Deinotherium* sp. ACM/C1-Fa.  
ACM1242: 5/4/03. Fragment distal d'ulna (o escafoides?). Mammalia indet. ACM/C1-E7.  
ACM1243: 5/4/03. Dent. Cervidae indet. ACM/C1-E7.  
ACM1244: 5/4/03. Fragments de plaques. Testudines indet. ACM/C1-E7.  
ACM1245: 5/4/03. Os indet. Indet. ACM/C1-E9.  
ACM1246 (IPS20404): 7/4/03. Metatarsià. Cervidae indet. ACM/C1-E9.  
ACM1247: 7/4/03. Os carpal (lunare). Artiodactyla indet. ACM/C1-E9, entre ACM1246 i ACM1248.  
ACM1248: 7/4/03. Vèrtebra (?). Mammalia indet. ACM/C1-E9, entre ACM1247 i ACM1249.  
ACM1249 (IPS20405): 7/4/03. Húmer. Cervidae indet. ACM/C1-E9, costat d'ACM1248.  
ACM1250: 7/4/03. Os indet. (fragment de diàfisi?). Mammalia indet. ACM/C1-E.  
ACM1251: 7/4/03. Plaques. Testudines indet. ACM/C1-E, al costat d'ACM1240.  
ACM1252: 7/4/03. Os indet. Mammalia indet. ACM/C1-E9, a sobre d'ACM1246.  
ACM1253: 7/4/03. Costella. Proboscidea indet. ACM/BDAd.  
ACM1254: 7/4/03. Os indet. Mammalia indet. ACM/Procedència desconeguda.  
ACM1255: 7/4/03. Os indet. (vèrtebra?). Mammalia indet. ACM/C1-E9, aprox. 15 cm per sobre d'ACM1256.  
ACM1256 (IPS3085): 7/4/03. Tíbia. Cervidae indet. ACM/C1-E9, entre ACM1246 i ACM1249.  
ACM1257: 7/4/03. Osteoderms. Anguidae indet. ACM/C1-E8.  
ACM1258: 8/4/03. Fragment de pelvis. Proboscidea indet. ACM/BDAd.

- ACM1259: 8/4/03. Escàpula (?) (mottlo). Proboscidea indet. ACM/BDAd, mateix individu que ACM1181 (?).
- ACM1260: 8/4/03. Os indet. (cap de costella?). Proboscidea indet. ACM/BDAd, a l'esquerra d'ACM1259.
- ACM1261: 8/4/03. Costella. Proboscidea indet. ACM/BDAd, a l'esquerra d'ACM1259 i a la dreta d'ACM1260.
- ACM1262: 8/4/03. Os llarg (?). Proboscidea indet. ACM/BDAd, a l'esquerra d'ACM1261.
- ACM1263: 8/4/03. Placa. Testudines indet. ACM/BDA.
- ACM1264: 8/4/03. Placa. Testudines indet. ACM/BDA.
- ACM1265: 8/4/03. Plaques. Testudines. ACM/BDA.
- ACM1266: 8/4/03. Fragment de diàfisi. Mammalia indet. ACM/BDA.
- ACM1267: 8/4/03. Molar. Suidae (*Listriodon splendens?*). ACM/BDA.
- ACM1268: 8/4/03. Vèrtebra. *Alicornops simorreense*. ACM/BDA7(=b).
- ACM1269: 8/4/03. Os indet. (carpal/tarsal?). Mammalia indet. ACM/C1-E7.
- ACM1270: 8/4/03. Os indet. Indet. ACM/C1-E7, prop d'ACM1272.
- ACM1271 (IPS20423): 8/4/03. Sèrie dentària. Cervidae indet. ACM/C1-E7.
- ACM1272 (IPS20403): 8/4/03. Fragment mandibular esquerre amb dents (M/2-3). Cervidae. ACM/C1-E7, <20 cm d'ACM1271.
- ACM1273: 8/4/03. Fragment de mandíbula amb dents. Cervidae indet. ACM/C1-E7. [a mig restaurar]
- ACM1274: 8/4/03. Os llarg (ulna?). Mammalia indet. ACM/C1-E7.
- ACM1275: 8/4/03. Concentració de plaques indet. Testudines. ACM/C1-E7.
- ACM1276: 8/4/03. Concentració de plaques. Testudines indet. ACM/C1-E7, prop ACM1275.
- ACM1277: 8/4/03. Placa. Testudines indet. ACM/C1-A.
- ACM1278 (IPS20457): 8/4/03. Vèrtebra parcial. Artiodactyla indet. ACM/BDA.
- ACM1279: 8/4/03. Fragment de diàfisi. *Alicornops simorreense*. ACM/BDA7(=b).
- ACM1280: 8/4/03: 3 dents superiors Cervidae indet. ACM/C1-E7, sota ACM1273. [a mig restaurar]
- ACM1281: 8/4/03. Costella. *Alicornops simorreense*. ACM/BDA7(=b), al costat d'ACM1205.
- ACM1282: 8/4/03. Costella. *Alicornops simorreense*. ACM/BDA7(=b), a sota d'ACM1283.
- ACM1283: 8/4/03. Os llarg o costella. *Alicornops simorreense*. ACM/BDA7(=b).
- ACM1284: 8/4/03. Os llarg o costella. *Alicornops simorreense*. ACM/BDA7(=b).
- ACM1285: 8/4/03. Fragment de dent. *Alicornops simorreense*. ACM/BDA7(=b), davant d'ACM1223.
- ACM1286: 8/4/03. Fragment d'os llarg. Proboscidea indet. ACM/BDA, prop de BDA7.
- ACM1287: 8/4/03. Fragment de costella o d'os llarg. Proboscidea indet. ACM/BDA, prop de BDA7.
- ACM1288: 8/4/03. Fragment d'os esponjós. Proboscidea indet. ACM/BDA, prop de BDA7.
- ACM1289: 8/4/03. Fragments d'os esponjós. Proboscidea indet. ACM/BDA, equivalent a BDA7.
- ACM1290: 8/4/03. Placa. Testudines indet. ACM/BDA.
- ACM1291: 8/4/03. Os pla indet. Indet. ACM/BDA.
- ACM1292: 8/4/03. Fragment de diàfisi. Mammalia indet. ACM/BDA.
- ACM1293: 8/4/03. Fragment d'os indet. Proboscidea indet. ACM/BDA.
- ACM1294: 8/4/03. Fragment de defensa. Proboscidea indet. ACM/BDA.
- ACM1295: 8/4/03. Fragment de diàfisi. Mammalia indet. CV/BCV (=BDA-SW) remogut.
- ACM1296: 8/4/03. Fragment de costella (?). *Alicornops simorreense* (?). ACM/BDA7(=b).
- ACM1297: 8/4/03. Arrels de dents. Mammalia indet. ACM/BDL.
- ACM1298: 8/4/03. Placa. Testudines indet. ACM/BDL.
- ACM1299: 8/4/03. Placa. Testudines indet. ACM/BDL.
- ACM1300 (IPS20516): 8/4/03: 2 fragments d'hemimandíbula amb dents (P/2-3 i P/4-M/3). *Micromeryx flurensianus*. ACM/BDA, 2 m en sèrie sota BDAA.
- ACM1301: 8/4/03. Fragment de placa. Testudines indet. ACM/BDL.
- ACM1302: 8/4/03. Vèrtebra. *Alicornops simorreense*. ACM/BDA7(=b).
- ACM1303: 8/4/03. Vèrtebra. *Alicornops simorreense*. ACM/BDA7(=b), al costat d'ACM1302.
- ACM1304: 8/4/03. Os indet. *Alicornops simorreense* (?). ACM/BDA7(=b), al costat d'ACM1303.
- ACM1305 (IPS20315): 8/4/03. Mandíbula amb cos mandibular, M/2-3 i rama esquerra, i símfisi amb canina i 2 incisives (mínim) [de moment restaurats només dos queixals i fragments diversos, falta mòmia]. *Listriodon* sp. ACM/BDA, aproximadament equivalent a BDA7.
- ACM1306: 9/4/03. Defensa potejada. Proboscidea indet. ACM/C1-E.
- ACM1307: 9/4/03. Concentració de plaques. *Cheirogaster* sp. ACM/C1-A.



- ACM1308: 9/4/03. Fragment d'epífisi. Mammalia indet. ACM/BDA, a sobre de BDAa i BDAC.  
ACM1309: 9/4/03. Fragment de dent potejada. Mammalia indet. ACM/BDA, a sobre de BDAa i BDAC.  
ACM1310: 9/4/03. Os indet. (fragment de diàfisi?). Mammalia (Proboscidea?). ACM/BDL.  
ACM1311: 9/4/03. Placa + os indet. (fragment de diàfisi?). Testudines indet. / Indet. ACM/C1-E.  
ACM1312: 9/4/03. Epífisi distal d'os llarg. Mammalia indet. ACM/C1-E.  
ACM1313: 9/4/03. Os indet. Indet. ACM/C1-E.  
ACM1314: 9/4/03. Fragment d'os pla (placa?). Indet. (Testudines?). ACM/C1-E.  
ACM1315: 9/4/03. Molar. Mammalia indet. ACM/C1-E.  
ACM1316: 9/4/03. Placa. Testudines indet. ACM/BDA.  
ACM1317: 9/4/03. Diàfisi. Mammalia indet. ACM/BDA.  
ACM1318: 9/4/03. Diàfisi de radi (?). Mammalia indet. ACM/BDA.  
ACM1319: 9/4/03. Plaques. Testudines indet. ACM/BDA.  
ACM1320: 9/4/03. Vèrtebra. *Deinotherium* sp. ACM/BDA, d al costat d'ACM1258.  
ACM1321: 9/4/03. Fragments de diàfisi. Mammalia indet. ACM/BDA.  
ACM1322: 9/4/03. Arrels de 2 incisives. Mammalia indet. ACM/BDA.  
ACM1323: 9/4/03. Placa. Testudines indet. ACM/BDA.  
ACM1324: 9/4/03. Placa. Testudines indet. ACM/BDA.  
ACM1325: 9/4/03. Plaques. Testudines indet. ACM/BDA.  
ACM1326: 9/4/03. Fragment de diàfisi. Indet. ACM/BDA.  
ACM1327: 9/4/03. Fragment distal d'os llarg. Mammalia indet. ACM/BDA.  
ACM1328: 9/4/03. Fragment de diàfisi o costella. Mammalia indet. ACM/BDA.  
ACM1329: 9/4/03. Fragment de costella. Mammalia indet. ACM/BDA.  
ACM1330: 9/4/03. Os indet. Mammalia indet. ACM/BDA.  
ACM1331: 9/4/03. Os indet. Indet. ACM/C1-E7.  
ACM1332 (IPS20415): 9/4/03. Navicular. Suidae indet. ACM/C1-E7.  
ACM1333 (IPS20466): 9/4/03. Punta de banya. Cervidae indet. ACM/C1-E7.  
ACM1334: 9/4/03. Os carpal. Mammalia indet. ACM/C1-E7.  
ACM1335 (IPS20402): 9/4/03. Astràgal. *Listriodon splendens*. ACM/C1-E7.  
ACM1336 (IPS20408): Fragment proximal de metatarsià III. Suidae, cf. *Listriodon splendens*. ACM/C1-E7, costat d'ACM1335.  
ACM1337 (IPS20427): 9/4/03. Fragment de diàfisi. Mammalia indet. ACM/C1-E7, costat d'ACM1335.  
ACM1338 (IPS20424): 9/4/03. Fragment de maxil·lar amb dents. Mustelidae indet. ACM/C1-E7, <20 cm d'ACM1273.  
ACM1339: 9/4/03. Fragment d'escàpula. *Alicornops simorrense*. ACM/BDA7(=b).  
ACM1340: 10/4/03. Dent. Suidae indet. ACM/C1-E7.  
ACM1341: 10/4/03. Atlas. *Alicornops simorrense*. ACM/BDA7(=b).  
ACM1342: 10/4/03. 3-4 costelles fragmentades. *Deinotherium giganteum*. ACM/BDAd.  
ACM1343: 10/4/03. Os indet. (vèrtebra?). *Alicornops simorrense* (?). ACM/BDA7(=b), darrere d'ACM1341.  
ACM1344: 10/4/03. Os indet. *Alicornops simorrense* (?). ACM/BDA7(=b), al costat d'ACM1343.  
ACM1345: 10/4/03. Metàpode (?). *Alicornops simorrense*. ACM/BDA7(=b), a l'esquerra d'ACM1346.  
ACM1346: 10/4/03. Metàpode (?). *Alicornops simorrense*. ACM/BDA7(=b), entre ACM1345 i ACM1347.  
ACM1347: 10/4/03. Os indet. *Alicornops simorrense* (?). ACM/BDA7(=b), a la dreta d'ACM1346.  
ACM1348 (IPS20431): 10/4/03. Astràgal. Cervidae indet. ACM/BDA8(=c), entre ACM1208.  
ACM1349: 10/4/03. Os carpal/tarsal. *Alicornops simorrense*. ACM/BDA7(=b), al costat d'ACM1347 i ACM1346.  
ACM1350: 10/4/03. Fragment de mandíbula (?) amb dents. Suidae indet. ACM/BDA.  
ACM1351: 10/4/03. Costelles (mínim 2). *Deinotherium* sp. ACM/BDAd.  
ACM1352: 10/4/03. Fragment de costella. Proboscidea indet. ACM/C1-E.  
ACM1353: 10/4/03. Fragments arrel de dent. Proboscidea indet. ACM/BDAd.  
ACM1354: 10/4/03. Costella. Rhinocerotidae indet. (?). ACM/BDA, 1,5 m sota BDAd.  
ACM1355: 10/4/03. Costella. *Deinotherium* sp. ACM/BDAd.  
ACM1356: 10/4/03. Placa. Testudines indet. ACM/C1-B.  
ACM1357: 10/4/03. Costella. Mammalia indet. ACM/BDA.  
ACM1358: 10/4/03. Diàfisi o costella. Suidae/Rhinocerotidae (?). ACM/BDA.

- ACM1359: 11/4/03. Concentració de costelles. Proboscidea indet. ACM/BDA<sub>d</sub> (inferior).  
ACM1360: 11/4/03. Vèrtebra. Proboscidea indet. ACM/BDA<sub>d</sub>, associat a ACM1359.  
ACM1361 (IPS3084): 11/4/03. Fragments de dent. *Gomphotherium* sp. ACM/BDA<sub>8</sub>(=c), associat a ACM1208.  
ACM1362: 11/4/03. Concentració de costelles. Rhinocerotidae i Proboscidea indet.. ACM/BDA<sub>8</sub>(=c), associat a ACM1208 i ACM1548(=ACM1444).  
ACM1363: 11/4/03. Os llarg (fèmur?). Mammalia indet. ACM/BDL.  
ACM1364: 11/4/03. Os indet. Indet. ACM/BDL.  
ACM1365: 11/4/03. Placa (?). Testudines indet. (?). ACM/BDL.  
ACM1366: 11/4/03. Arrels de 2 dents. Carnivora indet. (?). ACM/BDA.  
ACM1367: 11/4/03. Os llarg (radi o fíbula?). Proboscidea indet. ACM/BDA, prop d'ACM1359.  
ACM1368: 11/4/03. Pelvis. Proboscidea indet. ACM/BDA, prop d'ACM1359.  
ACM1369: 11/4/03. Vèrtebra. Mammalia indet. ACM/BDA.  
ACM1370: 11/4/03. Fragment d'os llarg o metàpode. Mammalia indet. ACM/BDA.  
ACM1371: 11/4/03. Fragments de costella. Mammalia indet. ACM/BDA.  
ACM1372: 11/4/03. Fragment de diàfisi o costella. Mammalia indet. ACM/BDA.  
ACM1373: 11/4/03. Concentració d'estelles d'ossos indet. Indet. ACM/BDA.  
ACM1374: 11/4/03. Plaques. Testudines indet. ACM/BDA.  
ACM1375: 11/4/03. Os llarg. Mammalia indet. ACM/C1-E7.  
ACM1376: 11/4/03. Canina i incisiva. Suidae indet. (?). ACM/C1-E.  
ACM1377 (IPS20305): 11/4/03. Fragment de dent. Gomphotheriidae indet. ACM/BDA<sub>8</sub>(=c), prop d'ACM1361.  
ACM1378: 11/4/03. Tuber calcis. Rhinocerotidae indet. (?). ACM/BDA.  
ACM1379: 11/4/03. Vèrtebra. Rhinocerotidae indet. (?). ACM/BDA.  
ACM1380: 11/4/03. Fragments de costella. Mammalia indet. ACM/BDA.  
ACM1381: 11/4/03. Fragments d'os indet. Indet. ACM/BDA.  
ACM1382: 11/4/03. Costella. Proboscidea indet. ACM/BDA, associat a ACM1359.  
ACM1383: 11/4/03. Costella. Proboscidea indet. ACM/BDA, associat a ACM1359.  
ACM1384: 11/4/03. Fragment d'escàpula o pelvis. Proboscidea indet. ACM/BDA, associat a ACM1359, corresponent a ACM1360 (?).  
ACM1385: 11/4/03. Os indet (diàfisi?). Mammalia (micro?). ACM/BDA.  
ACM1386: 11/4/03. Os llarg. Mammalia indet. ACM/BDA, 1,5 m sota BDA<sub>d</sub>.  
ACM1387: 11/4/03. Vèrtebra. Indet. ACM/C1-B.  
ACM1388: 11/4/03. Placa. Testudines indet. ACM/C1-B, prop d'ACM1387.  
ACM1389: 11/4/03. Os indet. (carpal/tarsal?). Proboscidea indet. ACM/BDA<sub>d</sub>.  
ACM1390: 11/4/03. Fragments de costella. Proboscidea indet. ACM/BDA<sub>d</sub>.  
ACM1391: 11/4/03. Os indet. Proboscidea indet. ACM/BDA<sub>d</sub>.  
ACM1392: 11/4/03. Defensa. Gomphotheriidae indet. ACM/BDA<sub>8</sub>(=c), costat d'ACM1362.  
ACM1393: 11/4/03. Fragments de costella. Mammalia indet. ACM/BDA.  
ACM1394: 11/4/03. Plaques. Testudines indet. ACM/BDA.  
ACM1395 (IPS20310): 11/4/03. Molar (M<sub>3</sub>). Cervidae indet. ACM/C1-E7.  
ACM1396 (IPS20504): 11/4/03. Molar. *Chalicotherium grande*. ACM/C1-E7.  
ACM1397: 11/4/03. Concentració de plaques. Testudines indet. ACM/C1-E7.  
ACM1398: 11/4/03. Fragments de molar. *Chalicotherium grande*. ACM/C1-E7, <1,5 m d'ACM1396.  
ACM1399: 12/4/03. Vèrtebra (?). Mammalia indet. ACM/C1-E9.  
ACM1400 (IPS20300): 12/4/03. 2 molars. *Chalicotherium grande*. ACM/C1-E7, <1,5 m d'ACM1396.  
ACM1400 (IPS20304): 12/4/03. Astràgal. Cervidae indet. ACM/C1-E7, <1,5 m d'ACM1396.  
ACM1401 (IPS20432): 12/4/03. Fragment de dent. *Chalicotherium grande*. ACM/C1-E7, <1,5 m ACM1396.  
ACM1402: 12/4/03. Fragments ossis diversos. Mammalia indet. ACM/C1-E7, <1,5 m d'ACM1396.  
ACM1403: 12/4/03. Fragment de dent. Mammalia indet. ACM/C1-E9.  
ACM1404: 12/4/03. Oossos indet. Indet. ACM/BDA<sub>a</sub>.  
ACM1405: 12/4/03. Fragment de diàfisi. Mammalia indet. ACM/C1-E9.  
ACM1406: 12/4/03. Fragment de diàfisi. Mammalia indet. ACM/C1-E9.  
ACM1407 (IPS20293): 12/4/03. Dent. *Chalicotherium grande*. ACM/C1-E7.  
ACM1408: 14/4/03. Plaques. Testudines indet. ACM/C1-E.  
ACM1409: 14/4/03. Placa. Testudines indet. ACM/C1-E.

- ACM1410: 14/4/03. Plazques. Testudines indet. ACM/C1-E.  
ACM1411: 14/4/03. Placa. Testudines indet. ACM/C1-E7.  
ACM1412: 14/4/03. Plaques. Testudines indet. ACM/C1-E.  
ACM1413: 14/4/03. Fragment de closca. Testudines indet. ACM/C1-E.  
ACM1414: 14/4/03. Canina (?). Suidae indet. (?). ACM/C1-B.  
ACM1415: 14/4/03. Maxil·lar amb dents. *Alicornops simorrense*. ACM/BDA7(=b).  
ACM1416: 14/4/03. Os indet. Mammalia indet. ACM/C1-E7.  
ACM1417 (IPS20522): 14/4/03. Fragment d'os indet. Indet. ACM/C1-E7.  
ACM1418: 14/4/03. Epífisi distal de tibia + fragment de diàfisi. Suidae indet. ACM/C1-E, prop de C1-E9, juntament amb ACM1419 i ACM1420.  
ACM1419 (IPS20520): 14/4/03. Fragment distal de radi. Mammalia indet. ACM/C1-E, prop de C1-E9, juntament amb ACM1418 i ACM1420.  
ACM1420: 14/4/03. Astràgal. Suidae indet. ACM/C1-E, prop de C1-E9, juntament amb ACM1418 i ACM1419.  
ACM1421: 14/4/03. Placa. Testudines indet. ACM/C1-E.  
ACM1422: 14/4/03. Fragment de plastró. Testudines indet. ACM/C1-E.  
ACM1423: 14/4/03. Plaques. Testudines indet. ACM/C1-E.  
ACM1424: 14/4/03. Calcani (?). *Alicornops simorrense*. ACM/BDA7(=b).  
ACM1425: 14/4/03. Os tarsal. *Alicornops simorrense*. ACM/BDA7(=b).  
ACM1426: 14/4/03. Os tarsal. *Alicornops simorrense*. ACM/BDA7(=b).  
ACM1427: 14/4/03. Tuber calcis. Carnivora indet. ACM/BDA.  
ACM1428: 14/4/03. Os indet. (fragment de pelvis?). Mammalia indet. ACM/BDA.  
ACM1429: 14/4/03. Fragment de diàfisi o costella. Mammalia indet. ACM/BDA.  
ACM1430: 14/4/03. Fragment de costella. Mammalia indet. ACM/BDA.  
ACM1431: 14/4/03. Os indet. Indet. ACM/Procedència desconeguda.  
ACM1432: 14/4/03. Vèrtebra (?). Mammalia indet. ACM/C1-E7.  
ACM1433: 14/4/03. Estella d'os indet. Indet. ACM/C1-E7.  
ACM1434: 15/4/03. Os indet. Indet. ACM/BDA.  
ACM1435: 15/4/03. Os indet. Indet. ACM/BDA.  
ACM1436: 15/4/03. Premolar. *Deinotherium giganteum*. ACM/C1-Fa.  
ACM1437: 15/4/03. Fragment de costella. *Deinotherium giganteum*. ACM/C1-Fa.  
ACM1438: 15/4/03. Fragment de costella. *Deinotherium giganteum*. ACM/C1-Fa.  
ACM1439: 15/4/03. Fragment de costella. *Deinotherium giganteum*. ACM/C1-Fa.  
ACM1440: 15/4/03. Os indet. (fragment d'arrel de dent?). Proboscidea (?). ACM/C1-Fa.  
ACM1441: 15/4/03. Fragment de costella. *Deinotherium giganteum*. ACM/C1-Fa.  
ACM1442: 15/4/03. Fragment d'arrel de dent. Proboscidea indet. ACM/C1-Fa.  
ACM1443: 11/4/03. (Pre)molar. Gomphotheriidae indet. ACM/BDAC, <30 cm ACM1548.  
ACM1445 (IPS5222-2): 15/4/03. Ulna parcial. *Alicornops simorrense*. ACM/BDA7(=b), al costat d'ACM1446.  
ACM1446: 15/4/03. Fragment de crani (?). *Alicornops simorrense*. ACM/BDA7(=b), al costat d'ACM1347.  
ACM1447: 15/4/03. Fragment de crani (?). *Alicornops simorrense*. ACM/BDA7(=b), a sota d'ACM1344.  
ACM1448: 15/4/03. Dents. *Alicornops simorrense*. ACM/BDA7(=b), al costat d'ACM1446.  
ACM1449: 15/4/03. Còndils occipitals. *Alicornops simorrense*. ACM/BDA7(=b), al costat d'ACM1447.  
ACM1450 (IPS5222-3): 15/4/03. Radi parcial. *Alicornops simorrense*. ACM/BDA7(=b), al costat d'ACM1445.  
ACM1451: 15/4/03. Fragment de costella. *Alicornops simorrense*. ACM/BDA7(=b), al costat d'ACM1445 i ACM1450.  
ACM1452: 15/4/03. Placa. Testudines indet. ACM/C1-E.  
ACM1453 (IPS20473): 15/4/03. Dent. Rhinocerotidae indet. ACM/BDA.  
ACM1454: 15/4/03. Fragments de costella. Mammalia indet. ACM/BDA.  
ACM1455: 15/4/03. Placa. Testudines indet. ACM/C1-E.  
ACM1456: 15/4/03. Placa. Testudines indet. ACM/C1-E.  
ACM1457: 16/4/03. Fragment cranial amb sinus frontal. Suidae indet. (?). ACM/BDA.  
ACM1458: 16/4/03. Defensa. *Deinotherium* sp. ACM/BDA. ACM147  
ACM1459: 16/4/03. Fragment de diàfisi (o costella?). Mammalia indet. ACM/BDA.  
ACM1460: 16/4/03. Húmer o fèmur. Proboscidea indet. ACM/BDA8(=c), dins del bloc d'ACM1208.



- ACM1461: 16/4/03. Costella. Proboscidea indet. ACM/BDA8(=c), dins del bloc d'ACM1208.  
ACM1462: 16/4/03. Costella. Proboscidea indet. ACM/BDA8(=c), dins del bloc d'ACM1208.  
ACM1463: 16/4/03. Placa (?). Testudines indet. (?). ACM/BDA.  
ACM1464: 16/4/03. Fragment de diàfisi. Indet. ACM/BDA.  
ACM1465: 16/4/03. Ossos carpals/tarsals + metàpode (?). Cervoidea indet. ACM/BDA, prop de BDA7.  
ACM1466: 16/4/03. Fragments d'epífisi distal de metàpode (?). Mammalia indet. ACM/BDA.  
ACM1467: 16/4/03. 2 dents. Rhinocerotidae indet. ACM/BDA.  
ACM1468: 16/4/03. Fragment de banya. Cervidae indet. ACM/BDA.  
ACM1469: 16/4/03. Sèrie dentària. Cervidae indet. ACM/BDA.  
ACM1470: 16/4/03. Fragment maxil·lar o mandibular amb dents. Rhinocerotidae indet. ACM/BDA, mateix individu que ACM1467 (?).  
ACM1471: 16/4/03. Neurapòfisi de vèrtebra (?). Proboscidea indet. (?). ACM/C1-Fa.  
ACM1472: 16/4/03. Plaques. Testudines indet. ACM/C1-E.  
ACM1473: 16/4/03. Fragment d'os llarg. Proboscidea indet. ACM/C1-Fa.  
ACM1474: 16/4/03. Os indet. Indet. ACM/C1-E.  
ACM1475: 16/4/03. Os indet. Indet. ACM/C1-E.  
ACM1476: 16/4/03. Fragment d'os pla. Mammalia indet. ACM/C1-E.  
ACM1477: 16/4/03. Fragment d'os rodat (costella?). Proboscidea indet. (?). ACM/BDA.  
ACM1478: 16/4/03. Concentració de plaques. Testudines indet. ACM/BDA.  
ACM1479: 16/4/03. Fragment de costella. Mammalia indet. ACM/BDA.  
ACM1480: 16/4/03. Fragment de diàfisi o costella. Mammalia indet. ACM/BDA.  
ACM1481: 16/4/03. Os indet. Mammalia indet. (?). ACM/BDA.  
ACM1482: 16/4/03. Premolar. Suidae indet. ACM/BDA.  
ACM1483: 16/4/03. Dent decidua. *Deinotherium* sp. ACM/BDA.  
ACM1484: 16/4/03. Astràgal + falange. Cervidae indet. / Mammalia indet. (micro). ACM/BDA.  
ACM1485: 16/4/03. Plaques. Testudines indet. ACM/BDA.  
ACM1486: 16/4/03. Fragment mandibular amb dents. Rhinocerotidae indet. ACM/BDA, en la mateixa zona que ACM1485.  
ACM1487: 16/4/03. Fragment distal de tibia (?). Rhinocerotidae indet. ACM/BDA, en la mateixa zona que ACM1485.  
ACM1488: 16/4/03. Fragments de costella. Mammalia indet. ACM/BDA, en la mateixa zona que ACM1485.  
ACM1489: 16/4/03. Fragment proximal de costella. Mammalia indet. ACM/BDA.  
ACM1490: 16/4/03. Closca. Testudines indet. ACM/C1-E.  
ACM1491: 16/4/03. Restes òssies indeterminades. Indet. ACM/BDA.  
ACM1492: 17/4/03. Fragment d'os indet. Mammalia indet. ACM/C1-Fa.  
ACM1493: 17/4/03. Plaques. Testudines indet. ACM/C1-E.  
ACM1494: 17/4/03. Plaques. Testudines indet. ACM/C1-E.  
ACM1495: 17/4/03. Plaques. Testudines indet. ACM/C1-E.  
ACM1496: 17/4/03. Plaques. Testudines indet. ACM/C1-E.  
ACM1497: 17/4/03. Plaques. Testudines indet. ACM/C1-E.  
ACM1498: 17/4/03. Plaques. Testudines indet. ACM/C1-E.  
ACM1499: 17/4/03. Os llarg (húmer?). Testudines indet. ACM/C1-E9.  
ACM1500: 17/4/03. Astràgal. Artiodactyla indet. ACM/C1-E9.  
ACM1501: 17/4/03. Plaques. Testudines indet. ACM/C1-E.  
ACM1502: 17/4/03. Plaques. Testudines indet. ACM/C1-E.  
ACM1503: 17/4/03. Fragment de diàfisi. Mammalia indet. ACM/BDA.  
ACM1504: 17/4/03. Molar (M/3). *Listriodon splendens*. ACM/BDA.  
ACM1505: 17/4/03. Placa. Testudines indet. ACM/C1-E.  
ACM1506: 17/4/03. Placa. Testudines indet. ACM/C1-E.  
ACM1507: 17/4/03. Placa. Testudines indet. ACM/C1-E.  
ACM1508: 17/4/03. Osteoderms. Anguidae indet. ACM/BDA.  
ACM1509: 17/4/03. Fragment de dent. Rhinocerotidae o Proboscidea. ACM/BDA.  
ACM1510: 17/4/03. Os indet. Indet. ACM/BDA.  
ACM1511: 17/4/03. Placa. Testudines indet. ACM/BDA.  
ACM1512: 17/4/03. Os indet. Indet. ACM/BDA.  
ACM1513: 17/4/03. Fragments de defensa (punta inclosa). Proboscidea indet. ACM/BDA.  
ACM1514: 17/4/03. Os indet. Indet. ACM/BDA.

- ACM1515: 17/4/03. Fragment de closca + fragment de diàfisi. Testudines indet. / Indet. ACM/BDAa (?).
- ACM1516: 17/4/03. Os indet. Indet. ACM/BDAa.
- ACM1517: 17/4/03. Plaques. Testudines indet. ACM/C1-E.
- ACM1518: 17/4/03. Plaques. Testudines indet. ACM/C1-E.
- ACM1519: 17/4/03. Plaques. Testudines indet. ACM/C1-E.
- ACM1520: 17/4/03. Plaques. Testudines indet. ACM/C1-E.
- ACM1521: 17/4/03. Plaques. Testudines indet. ACM/C1-E.
- ACM1522: 17/4/03. Costella. *Deinotherium* sp. ACM/C1-Fa.
- ACM1523: 17/4/03. Costella. *Deinotherium* sp. ACM/C1-Fa.
- ACM1524: 17/4/03. Vèrtebra. *Deinotherium* sp. ACM/C1-Fa.
- ACM1525: 17/4/03. Os indet. *Deinotherium* sp. ACM/C1-Fa.
- ACM1526: 17/4/03. Costella. *Deinotherium* sp. ACM/C1-Fa.
- ACM1527: 17/4/03. Canina. Carnivora indet. (?). ACM/C1-E9.
- ACM1528: 17/4/03. Os indet. Indet. ACM/C1-E9.
- ACM1529: 17/4/03. Os indet. Indet. ACM/C1-E9.
- ACM1530: 22/4/03. Vertebra (?) Mammalia indet. ACM/C1-E9.
- ACM1531: 22/4/03. Fragment d'esmalt dentari. Rhinocerotidae indet. (?). ACM/BDA7(=b).
- ACM1532 (IPS20518): 22/4/03. Corona de molar (M<sub>1</sub>). *Propotamochoerus* sp. ACM/C1-E.
- ACM1533 (IPS20244): 22/4/03. Osteoderms en connexió anatòmica. Anguidae indet. ACM/C1-E.
- ACM1534: 22/4/03. Fragment de costella. *Alicornops simorreense*. ACM/BDA7(=b).
- ACM1535 (IPS5222-5): 22/4/03. Húmer. *Alicornops simorreense*. ACM/BDA7(=b).
- ACM1536: 22/4/03. Os indet (falange?). *Alicornops simorreense*. ACM/BDA7(=b).
- ACM1537: 22/4/03. Os carpal/tarsal. *Alicornops simorreense*. ACM/BDA7(=b).
- ACM1538: 22/4/03. Fragment distal de metàpode. Suidae indet. ACM/C1-A.
- ACM1539: 22/4/03. Fragment distal de tibia. Mammalia indet. ACM/BDA.
- ACM1540: 22/4/03. Fragment de costella. *Deinotherium* sp. ACM/C1-Fa.
- ACM1541: 22/4/03. Fragments de costella (?). Proboscidea indet. ACM/BDA8(=a).
- ACM1542 (IPS21172): 22/4/03. Hemimandíbula dreta. *Cricetodon (Pararuscinomys) lavocati*. ACM/BDA8(=c).
- ACM1543: 22/4/03. Crani. Mammalia indet. (micro). ACM/BDA8(=c).
- ACM1544: 22/4/03. Os postcranial (metàpode?). Mammalia (Lamomorpha?). ACM/C1-A.
- ACM1545: 22/4/03. Fragment de costella. *Deinotherium* sp. ACM/C1-Fa.
- ACM1546: 22/4/03. Vèrtebra. *Deinotherium* sp. ACM/C1-Fa.
- ACM1547: 22/4/03. Fragment de closca. Testudines indet. ACM/C1-E (?).
- ACM1548(=ACM1444): 22/4/03. Defensa. Gomphotheriidae indet. ACM/BDA8(=c), costat d'ACM1392.
- ACM1549: 23/4/03. Fragment de costella. Proboscidea indet. ACM/BDA8(=a), al costat d'ACM1541.
- ACM1550: 23/4/03. Vèrtebra. Artiodactyla indet. (?). ACM/BDA.
- ACM1551: 23/4/03. Placa (?). Testudines indet. (?). ACM/C1-E.
- ACM1552: 23/4/03. Fragment de dent. Proboscidea indet. ACM/C1-E (?).
- ACM1553: 23/4/03. Fragment de diàfisi. Mammalia indet. ACM/C1-A.
- ACM1554: 23/4/03. Costella. *Deinotherium* sp. ACM/C1-Fa.
- ACM1555: 23/4/03. Costella. *Deinotherium* sp. ACM/C1-Fa, entre ACM1554 i ACM1556.
- ACM1556: 23/4/03. Costella. *Deinotherium* sp. ACM/C1-Fa.
- ACM1557: 23/4/03. Costella. *Deinotherium* sp. ACM/C1-Fa, al costat d'ACM1545.
- ACM1558 (IPS4415): 23/4/03. Closca parcial. Testudines indet. ACM/C1-E10.
- ACM1559: 23/4/03. Closca. Testudines indet. ACM/C1-E10, al costat d'ACM1558 i ACM1566.
- ACM1560 (IPS4423): 23/4/03. Fragment de closca. Testudines indet. ACM/C1-E10, al costat d'ACM1558 i ACM1559.
- ACM1561+1592 (IPS4444-1): 23/4/03. Crani parcial, amb P3-/M3/ dreta i P2-/M3/ esquerra. Cervidae, cf. *Euprox furcatus*. ACM/C1-E10, a <1 m d'ACM1032 i al costat d'ACM1558, ACM1559, ACM1560 i ACM1591.
- ACM1561+1592 (IPS4444-2): 23/4/03. 2 hemimandíbules amb P2-/M3 dreta i esquerra. Cervidae, cf. *Euprox furcatus*. ACM/C1-E10, a <1 m d'ACM1032 i al costat d'ACM1558, ACM1559, ACM1560 i ACM1591.
- ACM1562: 23/4/03. Placa. Testudines indet. ACM/C1-E10.
- ACM1563: 23/4/03. Os postcranial. Testudines indet. ACM/C1-E10.

- ACM1564: 23/4/03. Os postcranial. Testudines indet. ACM/C1-E10.  
ACM1565: 23/4/03. Placa. Testudines indet. ACM/C1-E10.  
ACM1566: 23/4/03. Fragment mandibular amb dents. *Micromeryx flourensianus*. ACM/C1-E10, <20 cm d'ACM1558.  
ACM1567: 23/4/03. Fragment mandibular o maxil·lar amb dent. *Micromeryx flourensianus*. ACM/C1-E10, <20 cm d'ACM1558.  
ACM1568: 23/4/03. Placa i/o fragment cranial (?). Testudines indet. (?). ACM/C1-E10, <20 cm d'ACM1558.  
ACM1569: 23/4/03. Fragment de closca. Testudines indet. ACM/C1-E10, <20 cm d'ACM1558.  
ACM1570: 23/4/03. Placa. Testudines indet. ACM/C1-A.  
ACM1571: 23/4/03. Placa. Testudines indet. ACM/C1-E.  
ACM1572: 23/4/03. Os indet. Indet. ACM/C1-E10, a prop d'ACM1561.  
ACM1573: 23/4/03. Fragments d'os indet. Indet. ACM/C1-E10, a prop d'ACM1561.  
ACM1574: 23/4/03. Concentració de plaques. Testudines indet. ACM/C1-E.  
ACM1575: 23/4/03. Concentració de plaques. Testudines indet. ACM/C1-E.  
ACM1576: 23/4/03. Concentració de plaques. Testudines indet. ACM/C1-E.  
ACM1577: 23/4/03. Concentració de plaques. Testudines indet. ACM/C1-E.  
ACM1578: 23/4/03. Concentració de plaques. Testudines indet. ACM/C1-E.  
ACM1579: 23/4/03. Concentració de plaques. Testudines indet. ACM/C1-E.  
ACM1580: 23/4/03. Concentració de plaques. Testudines indet. ACM/C1-E.  
ACM1581: 23/4/03. Fragment de closca. Testudines indet. ACM/C1-E.  
ACM1582: 23/4/03. Concentració de plaques. Testudines indet. ACM/C1-E.  
ACM1583: 23/4/03. Plaques. Testudines indet. ACM/C1-E.  
ACM1584 (IPS20268): 23/4/03. 2 dits articulats: fragment distal de falange proximal+falange mitjana+falange distal i fragment distal de metàpode+falange mitjana+falange distal. Suidae. ACM/C1-E.  
ACM1585: 23/4/03. Concentració de plaques. Testudines indet. ACM/C1-E.  
ACM1586: 23/4/03. Concentració de plaques. Testudines indet. ACM/C1-E.  
ACM1587: 23/4/03. Os indet. Testudines indet. (?). ACM/C1-E10, a prop d'ACM1561.  
ACM1588: 23/4/03. Placa. Testudines indet. ACM/C1-E10.  
ACM1589: 23/4/03. Placa. Testudines indet. ACM/C1-E10.  
ACM1590: 23/4/03. Placa. Testudines indet. ACM/C1-E10.  
ACM1591: 23/4/03. Os postcranial indet. Mammalia indet. (?). ACM/C1E10, al costat d'ACM1561.  
ACM1592 (IPS4444-3): 23/4/03. Hemipelvis. Cervidae, cf. *Euprox furcatus*. ACM/C1-E10, a <1 m d'ACM1032 i al costat d'ACM1558, ACM1559, ACM1560, ACM1561 i ACM1591.  
ACM1592 (IPS4444-4): 23/4/03. Vèrtebra. Cervidae, cf. *Euprox furcatus*. ACM/C1-E10, a <1 m d'ACM1032 i al costat d'ACM1558, ACM1559, ACM1560, ACM1561 i ACM1591.  
ACM1592 (IPS4444-5): 23/4/03. Vèrtebra parcial. Cervidae, cf. *Euprox furcatus*. ACM/C1-E10, a <1 m d'ACM1032 i al costat d'ACM1558, ACM1559, ACM1560, ACM1561 i ACM1591.  
ACM1592 (IPS4444-6): 23/4/03. Vèrtebra parcial. Cervidae, cf. *Euprox furcatus*. ACM/C1-E10, a <1 m d'ACM1032 i al costat d'ACM1558, ACM1559, ACM1560, ACM1561 i ACM1591.  
ACM1593: 23/4/03. Os llarg. Mammalia (Cervidae?). ACM/C1-E10, <30 cm d'ACM1561 i aprox. a 1 m d'ACM1032.  
ACM1594: 23/4/03. Plaques. Testudines indet. ACM/C1-E.  
ACM1595: 23/4/03. Placa. Testudines indet. ACM/C1-E.  
ACM1596: 23/4/03. Fragment de closca. Testudines indet. ACM/C1-E.  
ACM1597: 23/4/03. Closca. Testudines indet. ACM/C1-E.  
ACM1598: 24/4/03. Os llarg (radi?). Mammalia indet. ACM/C1-E9.  
ACM1599: 24/4/03. Conjunt d'estelles de postcranial. Proboscidea indet. (?). ACM/C1-Fa.  
ACM1600: 24/4/03. Os indet. Proboscidea indet. ACM/C1-Fa.  
ACM1601: 24/4/03. Estella d'os llarg o costella. Proboscidea indet. (?). ACM/C1-Fa.  
ACM1602: 24/4/03. Fragments d'arrel de dent. Proboscidea indet. (?). ACM/C1-E.  
ACM1603: 25/4/03. Fragment de cúspide dentària. *Alicornops simorreense* (?). ACM/BDA7(=b).  
ACM1604: 25/4/03. Costella. *Alicornops simorreense* (?). ACM/BDA7(=b).  
ACM1605: 25/4/03. Os rodat (fragment de costella?). Mammalia indet. ACM/BDA7(=b).  
ACM1606: 25/4/03. Fragment d'os pla (costella?). Mammalia indet. ACM/BDA7(=b).  
ACM1607: 25/4/03. Fragments de 2 closques. Testudines indet. ACM/C1-E.  
ACM1608: 25/4/03. Fragment de plastró. Testudines indet. ACM/C1-E.  
ACM1609: 25/4/03. Dent. *Deinotherium* sp. ACM/C1-Ex.



- ACM1610: 25/4/03. Dent. *Deinotherium* sp. ACM/C1-Ex.  
ACM1611: 25/4/03. Dent. *Deinotherium* sp. ACM/C1-Ex, al costat d'ACM1609 i ACM1610.  
ACM1612: 25/4/03. Dent. *Deinotherium* sp. ACM/C1-Ex.  
ACM1613: 25/4/03. Dent. *Deinotherium* sp. ACM/C1-Ex.  
ACM1614: 25/4/03. Os indet. Proboscidea indet. (?). ACM/C1-Ex.  
ACM1615: 25/4/03. Dent. *Deinotherium* sp. ACM/C1-Ex.  
ACM1616: 25/4/03. Fragment de dent. *Deinotherium* sp. ACM/C1-Ex.  
ACM1617: 25/4/03. Molar (M3?). *Deinotherium* sp. ACM/C1-Ex.  
ACM1618: 25/4/03. Fragments d'arell de dent. *Deinotherium* sp. ACM/C1-Ex.  
ACM1619: 25/4/03. Fragments d'arrel (?) de dent. *Deinotherium* sp. ACM/C1-Ex.  
ACM1620: 25/4/03. Plaques. Testudines indet. ACM/C1-E.  
ACM1621: 25/4/03. Placa. Testudines indet. ACM/C1-E.  
ACM1622: 25/4/03. Os indet. Indet. ACM/C1-E.  
ACM1623: 25/4/03. Os indet. Indet. ACM/C1-E.  
ACM1624: 25/4/03. Os esponjós. Proboscidea indet. (?). ACM/C1-Fa.  
ACM1625: 26/4/03. Os indet. Indet. ACM/C1-E10.  
ACM1626: 26/4/03. Vèrtebra. *Euprox* sp. (?). ACM/C1-E10.  
ACM1627: 26/4/03. Os indet. Proboscidea indet. ACM/C1-Ex.  
ACM1628: 26/4/03. Os indet. Indet. ACM/C1-E10.  
ACM1629: 26/4/03. Os indet. Indet. ACM/C1-E10.  
ACM1630: 26/4/03. Vèrtebra. Mammalia indet. ACM/C1-E10.  
ACM1631: 26/4/03. Os indet. Testudines indet. (?). ACM/C1-E10.  
ACM1632: 26/4/03. Costella. *Euprox* sp. (?), ACM/C1-E10, al costat d'ACM1633.  
ACM1633: 26/4/03. Costella. *Euprox* sp. (?), ACM/C1-E10, al costat d'ACM1592.  
ACM1634: 28/4/03. Os indet. Proboscidea indet. ACM/C1-Ex.  
ACM1635: 28/4/03. Molar. *Deinotherium* sp. ACM/C1-Ex.  
ACM1636: 28/4/03. Fragment de dent (arrel?). *Deinotherium* sp. ACM/C1-Ex.  
ACM1637: 28/4/03. Costella. Proboscidea indet. ACM/C1-Fa.  
ACM1638: 28/4/03. Os llarg. Proboscidea indet. ACM/C1-Fa.  
ACM1639: 28/4/03. Os indet. Proboscidea indet. ACM/C1-Fa.  
ACM1640: 28/4/03. Costella. Proboscidea indet. ACM/C1-Fa.  
ACM1641: 28/4/03. Fragment d'os pla indet. Indet. ACM/C1-E10.  
ACM1642: 28/4/03. Costella. *Euprox* sp. (?), ACM/C1-E10, al costat d'ACM1592.  
ACM1643: 28/4/03. Placa. Testudines indet. ACM/C1-E10.  
ACM1644: 28/4/03. Metàpode. Mammalia indet. ACM/C1-Ex.  
ACM1645: 28/4/03. Banyes. Cervidae. ACM/C1.-F, per sobre de C1-Fa.  
ACM1646: 28/4/03. Premolar. *Deinotherium* sp. ACM/C1-Ex.  
ACM1647 (IPS20451): 28/4/03. Os indet. Mammalia indet. ACM/C1-Ex.  
ACM1648: 28/4/03. Conjunt d'estelles. Mammalia indet. (?). ACM/C1-Ex.  
ACM1649: 28/4/03. Placa. Testudines indet. ACM/C1-E10.  
ACM1650: 28/4/03. Placa. Testudines indet. ACM/C1-E10.  
ACM1651: 28/4/03. Closca. Testudines indet. ACM/C1-E10.  
ACM1652: 28/4/03. Placa. Testudines indet. ACM/C1-E10.  
ACM1653: 28/4/03. Os postcranial. Testudines indet. ACM/C1-E10, a prop d'ACM1655 i ACM1656.  
ACM1654: 28/4/03. Os postcranial. Testudines indet. ACM/C1-E10, al costat d'ACM1656.  
ACM1655: 28/4/03. Fragment de plastró. Testudines indet. ACM/C1-E10.  
ACM1656: 28/4/03. Dent. *Deinotherium* sp. ACM/C1-Ex.  
ACM1657: 28/4/03. Dent. *Deinotherium* sp. ACM/C1-Ex.  
ACM1658: 28/4/03. Fragment de dent. *Deinotherium* sp. ACM/C1-Ex.  
ACM1659: 28/4/03. Os indet. Proboscidea indet. ACM/C1-Ex.  
ACM1660: 28/4/03. Os indet. Proboscidea indet. ACM/C1-Ex.  
ACM1661: 28/4/03. Os indet. Proboscidea indet. ACM/C1-Ex.  
ACM1662: 28/4/03. Os indet. Proboscidea indet. ACM/C1-Ex.  
ACM1663: 28/4/03. Os indet. Proboscidea indet. ACM/C1-Ex.  
ACM1664: 28/4/03. Canina. *Listriodon splendens*. ACM/C1-A.  
ACM1665: 29/4/03. Os indet. Indet. ACM/C1-A.  
ACM1666: 29/4/03. Fragment de metàpode. Mammalia indet. ACM/C1-A.  
ACM1667: 29/4/03. Escàpula. *Alicornops simorreense*. ACM/BDA7(=b).  
ACM1668: 29/4/03. Fragment de closca. Testudines indet. ACM/C1-E.

- ACM1669: 29/4/03. Placa. Testudines indet. ACM/C1-A.  
ACM1670: 29/4/03. Placa. Testudines indet. ACM/C1-A.  
ACM1671: 29/4/03. Fragment de diàfisi (?). Mammalia indet. (?). ACM/C1-A.  
ACM1672: 29/4/03. Closca. Testudines indet. ACM/C1-E10.  
ACM1673: 29/4/03. Os postcranial. Testudines indet. ACM/C1-E10.  
ACM1674: 29/4/03. Placa. Testudines indet. ACM/C1-E10.  
ACM1675: 29/4/03. Fragment de closca. Testudines indet. ACM/C1-E10.  
ACM1676: 29/4/03. Placa. Testudines indet. ACM/C1-E10.  
ACM1677: 29/4/03. Os postcranial. Testudines indet. ACM/C1-E10.  
ACM1678: 29/4/03. Fragment de closca. Testudines indet. ACM/C1-E10.  
ACM1679: 29/4/03. Os indet. (placa?). Testudines indet. (?). ACM/C1-E.  
ACM1680: 29/4/03. Costella. Mammalia (Rhinocerotidae?). ACM/C1-F.  
ACM1681: 29/4/03. Fragment de diàfisi. Mammalia indet. ACM/C1-B.  
ACM1682: 29/4/03. Os indet. Mammalia indet. ACM/C1-E.  
ACM1683: 29/4/03. Os indet. Indet. ACM/C1-Fa.  
ACM1684: 29/4/03. Os indet. Indet. ACM/C1-Fa.  
ACM1685: 29/4/03. Fragment d'os pla. Proboscidea indet. ACM/C1-Fa.  
ACM1686: 29/4/03. Fragment d'os indet. Indet. ACM/C1-Fa.  
ACM1687: 29/4/03. Fragment d'os llarg (?). Proboscidea indet. ACM/C1-Fa.  
ACM1688: 29/4/03. Fragment d'os llarg. Proboscidea indet. ACM/C1-Fa.  
ACM1689: 29/4/03. Fragment d'os indet. Proboscidea indet. (?). ACM/C1-Fa.  
ACM1690: 29/4/03. Costella. *Euprox* sp. (?). ACM/C1-E10, a prop d'ACM1592.  
ACM1691: 29/4/03. Vèrtebra. *Euprox* sp. (?). ACM/C1-E10, en el mateix bloc que ACM1690.  
ACM1692: 29/4/03. Vèrtebra. *Euprox* sp. (?). ACM/C1-E10, a prop d'ACM1691.  
ACM1693: 29/4/03. Placa. Testudines indet. ACM/C1-E10.  
ACM1694: 29/4/03. Placa. Testudines indet. ACM/C1-E10.  
ACM1695: 30/4/03. Molar. Gomphotheriidae indet. ACM/BDA8(=c), al costat d'ACM1362.  
ACM1696: 30/4/03. Molar. Gomphotheriidae indet. ACM/BDA8(=c), al costat d'ACM1362.  
ACM1697: 30/4/03. Placa. Testudines indet. ACM/C1-E10.  
ACM1698: 30/4/03. Placa. Testudines indet. ACM/C1-E10.  
ACM1699: 30/4/03. Placa. Testudines indet. ACM/C1-E10.  
ACM1700: 30/4/03. Fragment de molar. *Deinotherium* sp. ACM/C1-A.  
ACM1701: 30/4/03. Placa. Testudines indet. ACM/C1-E.  
ACM1702: 30/4/03. Os postcranial. Testudines indet. (?). ACM/C1-E10.  
ACM1703: 30/4/03. Fragment de closca. Testudines indet. ACM/C1-E10.  
ACM1704: 30/4/03. Placa. Testudines indet. ACM/C1-E10.  
ACM1705: 30/4/03. Placa. Testudines indet. ACM/C1-E10.  
ACM1706: 30/4/03. Placa. Testudines indet. ACM/C1-E10.  
ACM1707: 30/4/03. Os indet. Indet. ACM/BDA8(=c).  
ACM1708: 30/4/03. Fragment de diàfisi. Proboscidea indet. ACM/BDAa.  
ACM1709: 30/4/03. Os indet. Indet. ACM/BDA.  
ACM1710: 30/4/03. Os indet. Indet. ACM/BDA8(=c).  
ACM1711: 30/4/03. Fragment de costella. Mammalia indet. ACM/BDA.  
ACM1712: 30/4/03. Fragments d'incisiva. Rhinocerotidae indet. ACM/BDA.  
ACM1713: 30/4/03. Placa. Testudines indet. ACM/C1-E.  
ACM1714: 30/4/03. Os indet. Indet. ACM/BDA8(=c).  
ACM1715: 30/4/03. Os indet. (fragment de cos mandibular?). Mammalia indet. ACM/BDA.  
ACM1716: 30/4/03. Os indet. Mammalia indet. ACM/C1-Fa.  
ACM1717: 30/4/03. Fragment d'os indet. Mammalia indet. ACM/C1-Fa.  
ACM1718: 30/4/03. Fragment de costella. Proboscidea indet. ACM/C1-Fa.  
ACM1719: 30/4/03. Fragment d'os indet. Mammalia indet. ACM/C1-Fa.  
ACM1720: 30/4/03. Fragment d'os indet. Mammalia indet. ACM/C1-Fa.  
ACM1721: 30/4/03. Húmer distal. Suidae indet. (?). ACM/C1-A.  
ACM1722: 30/4/03. Placa. Testudines indet. ACM/C1-E10.  
ACM1723: 30/4/03. Placa. Testudines indet. ACM/C1-E10.  
ACM1724: 30/4/03. Fragment de closca. Testudines indet. ACM/C1-F.  
ACM1725: 30/4/03. 2 dents. *Micromeryx flourensianus*. ACM/C1-E10.  
ACM1726: 30/4/03. Plaques. Testudines indet. ACM/C1-E10, en el mateix bloc que ACM1725.  
ACM1727: 2/5/03. Crani juvenil parcial amb dents. *Deinotherium* sp. ACM/C1-B.  
ACM1728: 2/5/03. Arrel de dent (?). Gomphotheriidae indet. (?). ACM/Remogut de BDA8(=c).

- ACM1729: 2/5/03. Metàpode. cf. *Euprox* sp. ACM/C1-E10, <30 cm d'ACM1032.  
ACM1730: 2/5/03. Falange. cf. *Euprox* sp. ACM/C1-E10, <20 cm d'ACM1032.  
ACM1731: 2/5/03. Costella. cf. *Euprox* sp. ACM/C1-E10, en el mateix bloc que ACM1730.  
ACM1732: 2/5/03. 2 ossos indet. Indet. ACM/C1-E10, en el mateix bloc que ACM1730.  
ACM1733: 2/5/03. Falange (?). cf. *Euprox* sp. ACM/C1-E10, <10 cm d'ACM1730.  
ACM1734: 2/5/03. Placa. Testudines indet. ACM/C1-E10.  
ACM1735: 2/5/03. Fèmur. *Deinotherium* sp. ACM/C1-Fa.  
ACM1736: 2/5/03. Fragments d'os indet. Proboscidea indet. ACM/C1-Fa (mateix os que ACM1735?).  
ACM1737: 2/5/03. 3 fragments d'os indet. Proboscidea indet. ACM/C1-Fa.  
ACM1738: 2/5/03. Costella. *Deinotherium* sp. ACM/C1-Fa.  
ACM1739: 2/5/03. Molar. *Deinotherium* sp. ACM/C1, a prop de C1-Fa.  
ACM1740: 2/5/03. Plaques. Testudines indet. ACM/C1-E10.  
ACM1741: 2/5/03. Os indet. (fragment de diàfisi o costella). Proboscidea indet. ACM/C1-Fa.  
ACM1742: 2/5/03. Os indet. (epífisi d'os?). Mammalia indet. ACM/BDA8.  
ACM1743: 2/5/03. Molar. Cervidae indet. ACM/C1-A.  
ACM1744: 3/5/03. Molar. Gomphotheriidae indet. ACM/BDA8(=c).  
ACM1745: 3/5/03. Costella. *Deinotherium* sp. ACM/C1-Fa.  
ACM1746: 3/5/03. Costella. *Deinotherium* sp. ACM/C1-Fa.  
ACM1747: 3/5/03. Costella i os postcranial (vèrtebra?). *Deinotherium* sp. ACM/C1-Fa, associat a ACM1735.  
ACM1748: 3/5/03. Os carpal/tarsal. Mammalia indet. ACM/C1-E10, <2 cm d'ACM1032.  
ACM1749: 3/5/03. Os postcranial. Testudines indet. ACM/C1-E10.  
ACM1750: 3/5/03. Os indet. (carpal/tarsal?). Mammalia indet. (?). ACM/C1-E10.  
ACM1751: 3/5/03. Fragment d'os postcranial. Testudines indet. (?). ACM/C1-E10.  
ACM1752: 3/5/03. Fragments d'os indet. (costella?). cf. *Euprox* sp. (?). ACM/C1-E10, <20 cm d'ACM1032.  
ACM1753: 3/5/03. Ossos postcranials indet. Mammalia indet. ACM/C1-E10, <20 cm d'ACM1032.  
ACM1754: 3/5/03. Diàfisi + estella. Proboscidea indet. ACM/C1-F, a prop de C1-Fa.  
ACM1755: 5/5/03. Fragment mandibular o maxil·lar amb 1 dent. Carnivora indet. ACM/C1-F.  
ACM1756: 5/5/03. Extremitat anterior parcial. Suidae. ACM/C1-F.  
ACM1757: 5/5/03. Epífisi distal de tibia (?). Suidae indet. ACM/C1-F, associat a ACM1756 (?).  
ACM1758: 5/5/03. Os indet. Mammalia indet. ACM/C1-F.  
ACM1759: 5/5/03. Diàfisi d'os llarg. Testudines indet. ACM/C1-E10.  
ACM1760: 5/5/03. Fragment de costella. cf. *Euprox* sp. ACM/C1-E10, enganxat a ACM1032.  
ACM1761: 5/5/03. Fragment de costella. *Alicornops simorrense*. ACM/BDA7(=b).  
ACM1762: 5/5/03. Os indet. *Alicornops simorrense* (?). ACM/BDA7(=b), en el bloc d'ACM1761.  
ACM1763: 5/5/03. Fragment de costella. *Alicornops simorrense*. ACM/BDA7(=b).  
ACM1764: 5/5/03. Fragments de 2-3 costelles. *Alicornops simorrense*. ACM/BDA7(=b).  
ACM1765: 5/5/03. Vèrtebra. *Alicornops simorrense*. ACM/BDA7(=b).  
ACM1766: 5/5/03. Vèrtebra. *Alicornops simorrense*. ACM/BDA7(=b).  
ACM1767: 5/5/03. Cap de costella. *Alicornops simorrense*. ACM/BDA7(=b).  
ACM1768: 5/5/03. Estella d'os indet. *Alicornops simorrense* (?). ACM/BDA7(=b).  
ACM1769: 5/5/03. Fragment de costella. *Alicornops simorrense*. ACM/BDA7(=b).  
ACM1770: 5/5/03. Fragment de costella. *Alicornops simorrense*. ACM/BDA7(=b).  
ACM1771: 5/5/03. Fragment de costella. *Alicornops simorrense*. ACM/BDA7(=b).  
ACM1772: 5/5/03. Fragments de 2 costelles *Alicornops simorrense*. ACM/BDA7(=b).  
ACM1773: 5/5/03. Os indet. (fragment de costella?) *Alicornops simorrense*. ACM/BDA7(=b), bloc ACM1772.  
ACM1774: 5/5/03. Fragment de costella. *Alicornops simorrense*. ACM/BDA7(=b).  
ACM1775: 5/5/03. Fragments de costella. *Alicornops simorrense*. ACM/BDA7(=b).  
ACM1776: 5/5/03. Fragments de dent. Mammalia indet. ACM/BDA8(=c).  
ACM1777: 5/5/03. Concentració de costelles. Gomphotheriidae indet. ACM/BDA8(=c), al costat d'ACM1208.  
ACM1778: 5/5/03. Vèrtebra. Rhinocerotidae indet. ACM/BDA8(=c), al costat d'ACM1777.  
ACM1779: 5/5/03. Fragment de costella potejada. Proboscidea indet. ACM/BDA, equivalent a BDA8.  
ACM1780: 5/5/03. Fragment de costella potejada. Proboscidea indet. ACM/BDA, equivalent a BDA8.



- ACM1781: 5/5/03. Closca + postcranial in situ. Testudines indet. ACM/C1-E10, a sota d'ACM1032.
- ACM1782: 5/5/03. Os postcranial. Testudines indet. ACM/C1-E10.
- ACM1783: 5/5/03. Os indet. Indet. ACM/C1-E10.
- ACM1784: 5/5/03. Os indet. Testudines indet. (?). ACM/C1-E10, a sota d'ACM1032.
- ACM1785: 5/5/03. Fragment de closca + postcranial. Testudines indet. ACM/C1-B.
- ACM1786: 5/5/03. Fragment de defensa. Proboscidea indet. ACM/C1-A.
- ACM1787: 5/5/03. Os rodat. Indet. ACM/C1-B.
- ACM1788: 5/5/03. Plaques. Testudines indet. ACM/C1-B.
- ACM1789: 5/5/03. Placa. Testudines indet. ACM/C1-B.
- ACM1790: 5/5/03. Os indet. Indet. ACM/C1-A.
- ACM1791: 5/5/03. Plaques. Testudines indet. ACM/C1-B.
- ACM1792: 5/5/03. Fragment de diàfisi. Mammalia indet. ACM/C1-B.
- ACM1793: 5/5/03. Epífisi distal d'húmer. Suidae indet. ACM/C1-A.
- ACM1794: 5/5/03. Os indet. Indet. ACM/C1-B, a sota d'ACM1727.
- ACM1795: 5/5/03. Defensa. cf. *Deinotherium* sp. ACM/C1-A.
- ACM1796: 5/5/03. Placa. Testudines indet. ACM/C1-A.
- ACM1797: 5/5/03. Banyà juvenil. *Euprox furcatus*. ACM/C1-A.
- ACM1798 (IPS20536): 5/5/03. Premolar (P4) i molar (M1). *Albanohyus pygmaeus*. ACM/C1-A.
- ACM1799: 5/5/03. Fragments d'ossos indet. Mammalia indet. ACM/C1-A, prop d'ACM1798.
- ACM1800 (IPS20434): 5/5/03. Fragment de mandíbula amb molar (M3). *Albanohyus pygmaeus*. ACM/C1-A, prop d'ACM1798.
- ACM1801: 6/5/03. Radi-ulna. Suidae indet. ACM/C1-E, 20 cm per sota de C1-E10.
- ACM1802 (IPS4414a): 6/5/03. Metàpode. Suidae indet. ACM/C1-E, 20 cm per sota de C1-E10, al costat d'ACM1801.
- ACM1803: 6/5/03. Os llarg. Mammalia indet. ACM/C1-E, 20 cm per sota de C1-E10, al costat d'ACM1801 i ACM1802.
- ACM1804: 6/5/03. Os carpal/tarsal. Mammalia indet. ACM/C1-E, 20 cm per sota de C1-E10, enganxat a ACM1802.
- ACM1805: 7/5/03. Grup de plaques + os postcranial. Testudines indet. ACM/C1-E10.
- ACM1806: 7/5/03. Húmer. Suidae indet. ACM/BDA8.
- ACM1807: 7/5/03. Tíbia. Carnivora indet. ACM/BDA8, al costat d'ACM1806.
- ACM1808 (IPS704): 7/5/03. Molar (M<sub>3</sub>). *Gomphotherium* sp. ACM/BDA8, al costat d'ACM1806.
- ACM1809: 7/5/03. Fragment de closca. Testudines indet. ACM/C1-E, nivell inferior a C1-E10.
- ACM1810: 7/5/03. Fragment de closca. Testudines indet. ACM/C1-E, nivell inferior a C1-E10.
- ACM1811: 7/5/03. Corpus calcanei. *Micromeryx flourensianus*. ACM/C1-E, nivell inferior a C1-E10, entre ACM1809 i ACM1810.
- ACM1812 (IPS4414b): 7/5/03. Metàpode. Suidae indet. ACM/C1-E, 20 cm per sota de C1-E10, al costat d'ACM1802.
- ACM1813: 7/5/03. Os carpal (cuneiforme). Suidae indet. ACM/C1-E, 20 cm per sota de C1-E10, al prop d'ACM1802 i ACM1812.
- ACM1814: 7/5/03. Os indet. (húmer?). Testudines o Aves indet. (?). ACM/C1-E, 20 cm per sota de C1-E10, al prop d'ACM1812.
- ACM1815: 7/5/03. Fragment de diàfisi. Mammalia indet. ACM/C1-B.
- ACM1816: 7/5/03. Placa. Testudines indet. ACM/C1-B.
- ACM1817: 7/5/03. Fragments d'esmalt de defensa. Proboscidea indet. ACM/C1-B.
- ACM1818: 7/5/03. Placa. Testudines indet. ACM/C1-B.
- ACM1819: 7/5/03. Placa. Testudines indet. ACM/C1-E.
- ACM1820: 7/5/03. Fragment d'epífisi distal d'húmer (?). Mammalia indet. ACM/C1-B.
- ACM1821: 7/5/03. Falange proximal. Suidae indet. ACM/C1-E, nivell inferior a C1-E10.
- ACM1822: 7/5/03. Plaques. Testudines indet. ACM/C1-B.
- ACM1823: 8/5/03. Os indet (fragment de pelvis?). Mammalia indet. ACM/BDA8.
- ACM1824: 8/5/03. Fragments d'arrel de molar. Gomphotheriidae indet. ACM/BDA8(=c), entre ACM1777.
- ACM1825: 8/5/03. Vèrtebra. Proboscidea indet. ACM/BDA8(=c), per sota d'ACM1777.
- ACM1826: 8/5/03. Os indet. Indet. ACM/BDA8.
- ACM1827: 8/5/03. Os indet. (vèrtebra?). Reptilia indet. (?). ACM/BDA8.
- ACM1828: 8/5/03. Placa. Testudines indet. ACM/C1-E10.
- ACM1829: 8/5/03. Placa. Testudines indet. ACM/C1-E10.
- ACM1830: 8/5/03. Placa marginal. Testudines indet. ACM/C1-E10.

- ACM1831: 8/5/03. Placa. Testudines indet. ACM/C1-E10.  
ACM1832: 8/5/03. Fragment d'os indet. Mammalia indet. (?). ACM/C1-E10.  
ACM1833: 8/5/03. Placa. Testudines indet. ACM/C1-E10.  
ACM1834: 8/5/03. Plaques. Testudines indet. ACM/C1-E10.  
ACM1835: 8/5/03. Os postcranial. Testudines indet. ACM/C1-E10.  
ACM1836: 8/5/03. Fragment d'os carpal/tarsal (?). Mammalia indet. ACM/C1-E10.  
ACM1837: 8/5/03. Os indet. Indet. ACM/C1-E10.  
ACM1838: 8/5/03. Fragment de mandíbula amb dents. Carnivora indet. ACM/C1-E10.  
ACM1839: 8/5/03. Fragment de diàfisi. Mammalia indet. ACM/C1-B.  
ACM1840: 8/5/03. Dent inferior. Rhinocerotidae indet. ACM/C1-B, a menys de 2 m d'ACM1727.  
ACM1841: 8/5/03. Vèrtebra. Proboscidea indet. ACM/BDA8(=c), al costat d'ACM1825.  
ACM1842: 8/5/03. Fragments d'os indet. Indet. ACM/BDA8.  
ACM1843: 8/5/03. Os indet. Mammalia indet. ACM/BDA8(=c).  
ACM1844: 8/5/03. Os indet. Mammalia indet. ACM/BDA8(=c), al costat d'ACM1843.  
ACM1845: 8/5/03. Placa. Testudines indet. ACM/C1-E10.  
ACM1846: 8/5/03. Fragment de closca. Testudines indet. ACM/C1-E10.  
ACM1847: 8/5/03. Fragments postcranials. Mammalia indet. (micro). ACM/C1-E10.  
ACM1848: 8/5/03. Fragments de dentina amb esmalt. Mammalia indet. (Proboscidea?). ACM/C1-B.  
ACM1849: 8/5/03. Fragment de dentina. Rhinocerotidae indet. (?). ACM/BDA8(=c), entre ACM1362.  
ACM1850: 8/5/03. Astràgal. cf. *Micromeryx flourensianus*. ACM/BDA8(=c), entre ACM1362.  
ACM1851: 8/5/03. Epífisi d'os llarg. Mammalia indet. ACM/C1-B.  
ACM1852: 8/5/03. Fragments de defensa potejada. Proboscidea indet. ACM/C1-B.  
ACM1853: 8/5/03. Concentració de costelles i ossos indet. Mammalia indet. ACM/C1-B.  
ACM1854: 8/5/03. Os indet. Mammalia indet. ACM/C1-B, en ACM1853.  
ACM1855: 8/5/03. Punta de defensa. Rhinocerotidae indet. (?). ACM/BDA8(=c)  
ACM1856: 8/5/03. Fragment de costella potejada. Proboscidea indet. ACM/BDA8(=c)  
ACM1857: 8/5/03. Estella d'os llarg. Mammalia indet. ACM/BDA8(=c), entre ACM1777.  
ACM1858: 9/5/03. Placa. Testudines indet. ACM/C1-B.  
ACM1859: 9/5/03. Fragments de closca desarticulada. Testudines indet. ACM/C1-E10.  
ACM1860: 9/5/03. Closca. Testudines indet. ACM/C1-E10.  
ACM1861: 9/5/03. Concentració de postcranial. Mammalia indet. ACM/C1-E10.  
ACM1862: 9/5/03. Fragment de closca. Testudines indet. ACM/C1-E10.  
ACM1863: 9/5/03. Plaques. Testudines indet. ACM/C1-E10.  
ACM1864: 9/5/03. Closca. Testudines indet. ACM/C1-E10.  
ACM1865: 9/5/03. Fragments de costella (?). Mammalia indet. ACM/C1-E.  
ACM1866 (IPS4417): 9/5/03. Closca. Testudines indet. ACM/C1-E10.  
ACM1867: 9/5/03. Fragment de plastró. Testudines indet. ACM/C1-E10.  
ACM1868: 9/5/03. Fragment de closca. Testudines indet. ACM/C1-E10.  
ACM1869: 9/5/03. Placa. Testudines indet. ACM/C1-E10.  
ACM1870: 9/5/03. Placa. Testudines indet. ACM/C1-E10.  
ACM1871: 9/5/03. Fragments d'os pla indet. Mammalia indet. ACM/BDA8(=c), al costat d'ACM1777.  
ACM1872: 9/5/03. Concentració de fragments de costella. Mammalia indet. ACM/BDA8(=c).  
ACM1873: 9/5/03. Còndil extern de fèmur. Carnivora indet. ACM/BDA8(=c), entre ACM1872.  
ACM1874 (IPS20436): 9/5/03. 3 fragments de temporal. Artiodactyla indet. CV/BCV remogut.  
ACM1875: 9/5/03. Os indet. Indet. ACM/BDA8(=c), entre ACM1872.  
ACM1876: 9/5/03. Osteoderms. Anguidae indet. ACM/C1-E10.  
ACM1877: 9/5/03. Concentració de postcranial. Mammalia indet. (micro). ACM/C1-E10.  
ACM1878: 9/5/03. Restes de crani i mandíbula. Mammalia indet. (micro). ACM/C1-E10.  
ACM1879: 9/5/03. Postcranial. Mammalia (?) indet. ACM/C1-E10.  
ACM1880: 9/5/03. Os indet. Indet. ACM/C1-E10.  
ACM1881: 9/5/03. Placa. Testudines indet. ACM/C1-E10.  
ACM1882 (IPS4411): 9/5/03. Closca. Testudines indet. ACM/C1-E10.  
ACM1883 (IPS20401): 9/5/03. Metatarsià. Cervidae indet. ACM/C1-E10.  
ACM1884: 9/5/03. 2 fragments d'os pla (escàpula?). Mammalia indet. ACM/C1-E10, al costat d'ACM1883.  
ACM1885: 9/5/03. Fèmur. Mammalia indet. ACM/C1-E10.  
ACM1886: 9/5/03. Placa. Testudines indet. ACM/C1-E10.

- ACM1887: 9/5/03. Fragment de plastró. Testudines indet. ACM/C1-E10.  
ACM1888: 9/5/03. Tíbia. Artiodactyla indet. ACM/C1-E10.  
ACM1889: 9/5/03. Closca. Testudines indet. ACM/C1-E10, mateix bloc que ACM1888.  
ACM1890: 9/5/03. Crani. Mammalia indet. (micro). ACM/C1-E10, mateix bloc que ACM1888.  
ACM1891: 10/5/03. Closca. Testudines indet. ACM/C1-E10.  
ACM1892: 10/5/03. Placa. Testudines indet. ACM/C1-E10.  
ACM1893: 10/5/03. Placa. Testudines indet. ACM/C1-E10.  
ACM1894: 10/5/03. Placa. Testudines indet. ACM/C1-E10.  
ACM1895: 10/5/03. 2 ossos postcranials. Testudines indet. ACM/C1-E10.  
ACM1896: 10/5/03. Os indet (ossos postcranials?). Testudines indet. (?). ACM/C1-E10.  
ACM1897: 10/5/03. Fragment d'os postcranial. Testudines indet. ACM/C1-E10.  
ACM1898: 10/5/03. Plaques. Testudines indet. ACM/C1-E10.  
ACM1899: 10/5/03. Fragment de placa marginal. Testudines indet. ACM/C1-E10.  
ACM1900 (IPS21169): 10/5/03. Fragment de crani amb dents. Mammalia indet. (micro). ACM/C1-E10.  
ACM1901: 10/5/03. Fragment de closca. Testudines indet. ACM/C1-E10.  
ACM1902: 10/5/03. Placa. Testudines indet. ACM/C1-E10.  
ACM1903: 10/5/03. Placa + fragment de postcranial. Testudines indet. ACM/C1-E10.  
ACM1904: 10/5/03. Os indet. (placa?). Testudines indet. (?). ACM/C1-E10.  
ACM1905: 10/5/03. Placa. Testudines indet. ACM/C1-E10.  
ACM1906: 10/5/03. Acumulació de postcranial. Mammalia indet. ACM/C1-E10.  
ACM1907 (IPS4419): 10/5/03. Closca. cf. *Temnoclemmys* sp. ACM/C1-E10.  
ACM1908 (IPS4418): 10/5/03. Tíbia parcial. Cervidae indet. ACM/C1-E10, al costat d'ACM1907.  
ACM1909 (IPS4421): 10/5/03. Placa. Testudines indet. ACM/C1-E10.  
ACM1910: 10/5/03. Os indet. Indet. ACM/C1-E10.  
ACM1911: 10/5/03. 2 plaques. Testudines indet. ACM/C1-E10.  
ACM1912 (IPS4420): 10/5/03. Closca. cf. *Temnoclemmys* sp. ACM/C1-E10, al costat d'ACM1907.  
ACM1913: 10/5/03. Placa. Testudines indet. ACM/C1-E10.  
ACM1914: 10/5/03. Placa. Testudines indet. ACM/C1-E10, al costat d'ACM1912.  
ACM1915: 10/5/03. Mandíbula o maxil·lar amb dents. Mammalia (micro). ACM/C1-E10.  
ACM1916: 10/5/03. Placa. Testudines indet. ACM/C1-E10.  
ACM1917: 10/5/03. Acumulació de postcranial. Mammalia indet. ACM/C1-E10.  
ACM1918: 10/5/03. Placa. Testudines indet. ACM/C1-E10.  
ACM1919: 12/5/03. Fragments de costella. Mammalia indet. (Rhinocerotidae?). ACM/C1-B.  
ACM1920: 12/5/03. Fragments d'os llarg. Testudines indet. (?). ACM/C1-E.  
ACM1921: 12/5/03. Epífisi d'os llarg. Mammalia indet. ACM/C1-E.  
ACM1922: 12/5/03. Fragment de closca. Testudines indet. ACM/C1-E.  
ACM1923: 12/5/03. Closca. Testudines indet. ACM/C1-E.  
ACM1924: 12/5/03. Placa. Testudines indet. ACM/C1-E.  
ACM1925: 12/5/03. Closca. Testudines indet. ACM/C1-E10.  
ACM1926: 12/5/03. Fragment de closca. Testudines indet. ACM/C1-E10.  
ACM1927: 12/5/03. 2 closques + 1 motllo. Testudines indet. ACM/C1-E10, prop d'ACM1828 (?).  
ACM1928: 12/5/03. Closca. Testudines indet. ACM/C1-E10.  
ACM1929: 12/5/03. Fragment de closca. Testudines indet. ACM/C1-E10.  
ACM1930: 12/5/03. Fragment de closca. Testudines indet. ACM/C1-E10, prop d'ACM1828 (?).  
ACM1931: 12/5/03. Placa. Testudines indet. ACM/C1-B.  
ACM1932: 12/5/03. Fragment d'incisiva. Rhinocerotidae indet. ACM/C1-B.  
ACM1933: 12/5/03. 2 ossos postcranials. Indet. ACM/C1-E10, mateix bloc que ACM1927.  
ACM1934: 12/5/03. Hemimandíbula amb dents. *Prolagus* sp. ACM/C1-E10, mateix bloc que ACM1927.  
ACM1935: 12/5/03. Hemimandíbula amb dents. *Prolagus* sp. ACM/C1-E10, mateix bloc que ACM1930.  
ACM1936: 12/5/03. Fragments d'os porós. Mammalia indet. ACM/BDA8(=c), entre ACM1777.  
ACM1937: 12/5/03. Fragment d'os indet. Mammalia indet. ACM/BDA8(=c), al costat d'ACM1548, entre ACM1777.  
ACM1938: 12/5/03. Fragment d'os porós. Mammalia indet. ACM/BDA8(=c), al costat d'ACM1392, entre ACM1362.



- ACM1939: 12/5/03. Costella (?). Proboscidea indet. ACM/BDA8(=c), al costat d'ACM1392, entre ACM1362.
- ACM1940 (IPS20429): 12/5/03. Incisiva (I2/). *Listriodon splendens*. ACM/BDA8(=c), costat d'ACM1548.
- ACM1941: 12/5/03. Vèrtebra (?). Mammalia indet. ACM/BDA.
- ACM1942: 12/5/03. Fragments de costella. Mammalia indet. ACM.
- ACM1943: 12/5/03. 5 vèrtebres + algun fragment postcranial + fragments d'esmalt. Carnivora indet. (?). ACM/BDA8(=c), sota ACM1392 i ACM1548.
- ACM1944: 12/5/03. 1 o més costelles potejades. Proboscidea indet. ACM/BDA8(=a).
- ACM1945: 12/5/03. Dent. Rhinocerotidae indet. ACM/C1-B.
- ACM1946: 13/5/03. Acumulació de costelles potejades. Rhinocerotidae indet. ACM/BDA8(=c), al costat d'ACM1777 i incloent ACM1825.
- ACM1947: 13/5/03. Premolar. *Deinotherium* sp. ACM/BDA8, a menys d'1 m d'ACM1950.
- ACM1948: 13/5/03. Os llarg (tíbia o húmer). Proboscidea indet. ACM/BDA8(=a), al costat d'ACM1949 i ACM1950.
- ACM1949: 13/5/03. Os indet. (defensa o fibula). Proboscidea indet. ACM/BDA8(=a), al costat d'ACM1948 i ACM1950.
- ACM1950: 13/5/03. Mandíbula amb sèrie dentària completa i defensa. *Deinotherium* sp. ACM/BDA8(=a).
- ACM1951: 13/5/03. Placa. Testudines indet. ACM/BDA8(=a).
- ACM1952: 13/5/03. Fragment distal de metàpode. cf. *Micromeryx flourensianus*. ACM/BDA8.
- ACM1953: 13/5/03. Fragment d'astràgal (?). Carnivora indet. (?). ACM/BDA.
- ACM1954: 13/5/03. Fragment de vèrtebra (?). Mammalia indet. ACM/BDA.
- ACM1955: 13/5/03. Fragment de vèrtebra. Mammalia indet. ACM/BDA8(=a).
- ACM1956: 13/5/03. Acumulació de costelles potejades. Proboscidea indet. ACM/BDA8.
- ACM1957: 13/5/03. Acumulació d'estelles. Mammalia indet. ACM/BDA8, sota d'ACM1956.
- ACM1958: 13/5/03. 2 fragments ossis rodats. Indet. ACM/BDA8(=c), en ACM1946.
- ACM1959: 13/5/03. Molar + 1 arrel. cf. *Chalicotherium grande*. ACM/BDA.
- ACM1960: 13/5/03. Astràgal. cf. *Micromeryx flourensianus*. ACM/BDA.
- ACM1961: 13/5/03. Os indet. potejat. Proboscidea indet. ACM/BDA8(=a).
- ACM1962: 13/5/03. Os tarsal (cuneiforme?). Suidae indet. (?). ACM/BDA8.
- ACM1963: 13/5/03. Molar. Gomphotheriidae indet. ACM/C1-B.
- ACM1964: 13/5/03. Cúspide dentària. Mammalia indet. ACM/C1-B.
- ACM1965: 13/5/03. Fragments de placa. Testudines indet. ACM/C1-E.
- ACM1966: 13/5/03. Os indet. Mammalia indet. ACM/C1-A.
- ACM1967: 13/5/03. Arrels de dent. Mammalia indet. ACM/C1-B.
- ACM1968: 13/5/03. Fragments de placa. Testudines indet. ACM/C1-B (?).
- ACM1969 (IPS4413): 13/5/03. Fragment distal d'húmer. *Myotragocerus* sp. ACM/CCV.
- ACM1970 (IPS21171): 13/5/03. Fragment mandibular dret amb M<sub>1-3</sub>. *Cricetodon (Pararuscinomys) lavocati*. ACM/BDA.
- ACM1971: 13/5/03. Molar. *Deinotherium* sp. ACM/BDA.
- ACM1972 (IPS21173): 13/5/03. 2 fragments mandibulars dret i esquerre. *Prolagus cf. oeningensis*. ACM/BDA.
- ACM1973: 13/5/03. Molar decidua. *Deinotherium* sp. ACM/C1-A.
- ACM1974: 13/5/03. Os indet. (costella?). Mammalia indet. ACM/C1-A.
- ACM1975: 13/5/03. Fragment d'os indet. Proboscidea indet. ACM/C1-A.
- ACM1976: 13/5/03. Premolar. Gomphotheriidae indet. ACM/BDA8(=a).
- ACM1977: 13/5/03. Costella. Proboscidea indet. ACM/BDA8(=a), davant d'ACM1976.
- ACM1978: 13/5/03. Os indet. (costella?). Mammalia indet. ACM/BDA8(=a).
- ACM1979: 13/5/03. Fragment de molar. *Deinotherium* sp. ACM/C1-B.
- ACM1980 (IPS20428): 13/5/03. Epífisi proximal de radi. *Micromeryx flourensianus*. ACM/C1-A.
- ACM1981: 13/5/03. Fragment de diàfisi. Mammalia indet. ACM/C1-A.
- ACM1982: 13/5/03. Fragments arrel de dent. Proboscidea indet. ACM/C1-B, al costat d'ACM1963.
- ACM1983: 14/5/03. Os carpal/tarsal. Mammalia indet. ACM/BDA.
- ACM1984 (IPS20435): 14/5/03. Fragment proximal + fragment distal de radi. cf. *Dorcatherium nauj*. ACM/BDA.
- ACM1985: 14/5/03. Arrels de 3 dents. Mammalia indet. ACM/BDA.
- ACM1986: 14/5/03. Placa. Testudines indet. ACM/BDA.
- ACM1987: 14/5/03. Fragment de calcani. Mammalia indet. ACM/BDA8.

- ACM1988: 14/5/03. Fragments de costella i ossos indet. Indet. ACM/BDA, al voltant d'ACM1948 i ACM1950.
- ACM1989: 15/5/03. Punta de defensa. Proboscidea indet. ACM/C1-B.
- ACM1990: 15/5/03. Fragment de defensa o arrel de dent. Proboscidea indet. ACM/BDA.
- Ñññ Malament !!! ACM1990: 10/5/03. Fragment de crani amb dents. *Prolagus* cf. *oeningensis*. ACM/C1-E10.
- ACM1991 (IPS20430): 15/5/03. Incisiva (I<sup>1</sup>). *Listriodon splendens*. ACM/BDA8(=c).
- ACM1992: 15/5/03. Vèrtebra. Suidae indet. ACM/BDA8(=c).
- ACM1993: 15/5/03. Os carpal/tarsal. Rhinocerotidae indet. (?). ACM/BDA8(=c).
- ACM1994: 15/5/03. Os carpal/tarsal. Rhinocerotidae indet. (?). ACM/BDA8(=c), al costat d'ACM1993.
- ACM1995: 15/5/03. Fragments de molar. Rhinocerotidae indet. ACM/BDA8(=c).
- ACM1996: 15/5/03. Dent. Mammalia indet. (Insectivora?). ACM/BDA8(=c).
- ACM1997: 15/5/03. Fragment de molar. Mammalia indet. ACM/BDA8(=c).
- ACM1998: 15/5/03. Placa. Testudines indet. ACM/BDA8(=c).
- ACM1999: 15/5/03. Fragment de diàfisi. Mammalia indet. ACM/BDA8(=c).
- ACM2000: 15/5/03. Molar. Rhinocerotidae indet. ACM/BDA8(=c).
- ACM2001: 15/5/03. Os indet. Indet. ACM/BDA8(=c).
- ACM2002: 15/5/03. Placa. Testudines indet. ACM/BDA8(=c).
- ACM2003: 15/5/03. Os llarg. Proboscidea indet. ACM/BDA8, aproximadament a 1,5 m d'ACM1950.
- ACM2004: 15/5/03. Fragment distal de tibia. Artiodactyla indet. ACM/BDA8(=c).
- ACM2005: 15/5/03. Fragment de dent. Mammalia indet. ACM/BDA8(=c).
- ACM2006: 15/5/03. Axis. Mammalia indet. ACM/BDA8(=c).
- ACM2007: 15/5/03. Concentració de costelles. Proboscidea indet. ACM/BDA8(=a).
- ACM2008: 15/5/03. Fragment de banya. Cervidae indet. ACM/BDA8(=c).
- ACM2009: 15/5/03. Fragment de costella. Mammalia indet. ACM/BDA8(=c).
- ACM2010: 15/5/03. Fragment de costella. Proboscidea indet. ACM/BDA8(=c).
- ACM2011: 15/5/03. Placa. Testudines indet. ACM/BDA8(=c).
- ACM2012: 15/5/03. Fragments d'incisiva i/o molar. Rhinocerotidae indet. ACM/BDA8(=c).
- ACM2013: 15/5/03. Incisiva. Rhinocerotidae indet. ACM/BDA.
- ACM2014: 15/5/03. Húmer. cf. *Micromeryx flourensianus*. ACM/BDA8(=c).
- ACM2015: 15/5/03. Dent. Rhinocerotidae indet. ACM/BDA.
- ACM2016: 16/5/03. Fragments d'os llarg. Proboscidea indet. ACM/BDA8(=c).
- ACM2017: 16/5/03. Os indet. Indet. ACM/BDA.
- ACM2018: 16/5/03. Os llarg potejat. Proboscidea indet. ACM/BDA8(=a).
- ACM2019: 16/5/03. Fragment de costella. Proboscidea indet. ACM/BDA8.
- ACM2020: 16/5/03. Os postcranial. Testudines indet. ACM/BDA8.
- ACM2021: 16/5/03. Fragment de costella. Proboscidea indet. ACM/BDA8.
- ACM2022: 16/5/03. Paviment d'ossos. Mammalia indet. ACM/BDA8(=a), al costat d'ACM1541.
- ACM2023: 16/5/03. Fragment de costella. Proboscidea indet. ACM/BDA8, al costat d'ACM2025.
- ACM2024: 16/5/03. Fragment de costella. Proboscidea indet. ACM/BDA8.
- ACM2025: 16/5/03. Costella. Proboscidea indet. ACM/BDA8.
- ACM2026: 16/5/03. Os indet. Proboscidea indet. ACM/BDA8, mateix individu que ACM2025 (?).
- ACM2027: 16/5/03. Fragment de costella. Mammalia indet. ACM/BDA8.
- ACM2028: 17/5/03. Costella. Proboscidea indet. ACM/BDA8(=a), al costat d'ACM2018.
- ACM2029: 17/5/03. Costella. Proboscidea indet. ACM/BDA8.
- ACM2030: 17/5/03. Costella. Proboscidea. ACM/BDA8, al costat d'ACM2029.
- ACM2031: 17/5/03. Astràgal. Artiodactyla indet. (Cervidae?). ACM/BDA.
- ACM2032: 17/5/03. Os carpal. Carnivora indet. ACM/BDA.
- ACM2033: 17/5/03. Vèrtebra + estelles d'os. Mammalia indet. ACM/BDA.
- ACM2034: 17/5/03. Fragment de costella. Proboscidea indet. ACM/BDA8, al costat d'ACM2035.
- ACM2035: 17/5/03. Os llarg potejat. Proboscidea indet. ACM/BDA8.
- ACM2036: 17/5/03. Fragment d'os esponjós. Proboscidea indet. ACM/BDA8.
- ACM2037: 17/5/03. Os indet. Proboscidea indet. ACM/BDA8.
- ACM2038: 17/5/03. Costella. Proboscidea indet. ACM/BDA8.
- ACM2039: 17/5/03. Costella. Proboscidea indet. ACM/BDA8.
- ACM2040: 17/5/03. Placa. Testudines indet. ACM/BDA.

- ACM2041: 17/5/03. Os indet. Indet. ACM/BDA.  
ACM2042: 17/5/03. Os indet. Indet. ACM/BDA.  
ACM2043: 17/5/03. Fragments de diàfisi. Mammalia indet. ACM/BDA.  
ACM2044: 17/5/03. Molar decidua. *Deinotherium* sp. ACM/BDA.  
ACM2045: 17/5/03. Matèria vegetal carbonitzada. ACM/BDA.  
ACM2046: 19/5/03. Fragment d'incisiva. Rhinocerotidae indet. ACM/BDA.  
ACM2047: 19/5/03. Fragment de closca. Testudines indet. ACM/BDA.  
ACM2048: 19/5/03. Costella fragmentada + estelles. Proboscidea indet. ACM/BDA.  
ACM2049: 19/5/03. Placa. Testudines indet. ACM/C1-A.  
ACM2050: 19/5/03. Fragment de dent. Mammalia indet. (Rhinocerotidae?). ACM/C1-A.  
ACM2051: 19/5/03. Plaques. Testudines indet. ACM/BDA.  
ACM2052: 19/5/03. Fragment d'os indet. Proboscidea indet. ACM/BDA.  
ACM2053: 19/5/03. Placa. Testudines indet. ACM/BDA.  
ACM2054: 19/5/03. Os indet. Mammalia indet. ACM/C1-A.  
ACM2055: 20/5/03. Fragment distal de metàpode. Suidae indet. ACM/BDA.  
ACM2056: 20/5/03. Fragment d'os postcranial indet. Mammalia indet. ACM/BDA.  
ACM2057: 20/5/03. Plaques. Testudines indet. ACM/BDA.  
ACM2058: 20/5/03. Banya (1 o 2 fragments). *Euprox furcatus*. ACM/BDA.  
ACM2059: 20/5/03. Fragment proximal de metàpode. Suidae indet. ACM/BDA.  
ACM2060: 20/5/03. Fragment distal de diàfisi d'húmer (?). Mammalia indet. ACM/BDA.  
ACM2061: 20/5/03. Placa. Testudines indet. ACM/BDA.  
ACM2062: 20/5/03. Os indet. Indet. ACM/BDA.  
ACM2063: 20/5/03. Estella de diàfisi. Mammalia indet. ACM/BDA.  
ACM2064: 20/5/03. Fragment de canina + fragments d'os indet. *Listriodon splendens*. ACM/BDA.  
ACM2065: 20/5/03. Astràgal. *Micromeryx flourensianus*. ACM/CCV.  
ACM2066: 20/5/03. Arrel de canina. Mammalia indet. ACM/C1-A.  
ACM2067: 21/5/03. Fragment d'epífisi distal d'húmer. Artiodactyla indet. (?). ACM/BDA.  
ACM2068: 22/5/03. Os indet. Indet. ACM/BDA.  
ACM2069: 22/5/03. Mandíbula amb dents. Cervidae indet. ACM/BDA.  
ACM2070: 22/5/03. Fragment de mandíbula amb dents. Suidae indet. ACM/BDA.  
ACM2071: 22/5/03. Plaques (closca aixafada). Testudines indet. ACM/BDA.  
ACM2072 (IPS4422): 22/5/03. Mandíbula amb P/1-M/3. *Dorcatherium* cf. *nauí*. ACM/BDAe.  
ACM2073: 22/5/03. Os indet. Indet. ACM/BDA.  
ACM2074: 22/5/03. Fragment de pelvis amb acetàbul. Testudines indet. (?). ACM/BDA.  
ACM2075: 22/5/03. Fragments d'ossos postcranials. *Cheirogaster* sp. ACM/C1-ET2, mateix individu que ACM725.  
ACM2076: 22/5/03. Os indet. (fragment d'arrel amb dent?). Proboscidea indet. ACM/BDA.  
ACM2077: 22/5/03. Os indet. Indet. ACM/BDA.  
ACM2078: 22/5/03. Molar. *Deinotherium* sp. ACM/BDA.  
ACM2079: 26/5/03. Placa. Testudines indet. ACM/BDA.  
ACM2080: 26/5/03. Vèrtebra (?). Proboscidea indet. (?). ACM/BDA.  
ACM2081: 26/5/03. Os pla. Proboscidea indet. (?). ACM/BDA.  
ACM2082: 26/5/03. Os pla. Indet. ACM/BDA.  
ACM2083: 26/5/03. Fragment d'os postcranial. Mammalia indet. ACM/BDA.  
ACM2084: 26/5/03. Fragment de sacre. Proboscidea indet. ACM/BDA.  
ACM2085: 26/5/03. Fragment d'os postcranial. Proboscidea indet. ACM/BDA.  
ACM2086: 26/5/03. Fragments d'ossos indet. Proboscidea indet. ACM/BDA.  
ACM2087: 26/5/03. Fragment de defensa. *Deinotherium* sp. (?). ACM/CCV.  
ACM2088: 26/5/03. Placa. Testudines indet. ACM/CCV.  
ACM2089: 26/5/03. Fragment de pelvis. Mammalia indet. ACM/CCV.  
ACM2090: 27/5/03. Epífisi distal de metàpode. Suidae indet. ACM/C1-A.  
ACM2091: 27/5/03. Fragment de diàfisi. Suidae indet. ACM/C1-A, associat a ACM2090.  
ACM2092: 27/5/03. Plaques. Testudines indet. ACM/C1-A.  
ACM2093: 27/5/03. Fragment de molar. Proboscidea indet. (?). ACM/C1-A.  
ACM2094: 27/5/03. Fragments de defensa. Proboscidea indet. ACM/C1-A.  
ACM2095: 27/5/03. Fragments de diàfisi. Mammalia indet. ACM/C1-A.  
ACM2096: 27/5/03. Plaques marginals. Testudines indet. ACM/C1-A.  
ACM2097: 27/5/03. Fragments de diàfisis. Mammalia indet. ACM/C1-A.  
ACM2098: 27/5/03. Plaques. Testudines indet. ACM/C1-A.



- ACM2099: 27/5/03. Plaques marginals. Testudines indet. ACM/C1-A.  
ACM2100: 27/5/03. Fragment distal de defensa. Proboscidea indet. ACM/C1-A.  
ACM2101: 27/5/03. Fragment de defensa. Proboscidea indet. ACM/C1-A.  
ACM2102: 28/5/03. Fragment de costella. Mammalia indet. ACM/C1-A.  
ACM2103: 28/5/03. Fragment de diàfisi. Mammalia indet. ACM/C1-A.  
ACM2104: 28/5/03. 2 diàfisis + epífisi. Mammalia indet. ACM/C1-A.  
ACM2105: 30/5/03. Fragments postcranials. *Cheirogaster* sp. ACM/C1-ET2, mateix individu que ACM725.  
ACM2106 (=ACM981) (IPS4409): 20/2/03. Fèmur. *Cheirogaster* sp. ACM/C1-ET2, mateix individu que ACM725.  
ACM2107: 30/5/03. Os indet. (diàfisi?). Proboscidea indet. (?). ACM/CCV.  
ACM2108: 30/5/03. Epífisi (?). Proboscidea indet. (?). ACM/CCV.  
ACM2109: 30/5/03. Plaques marginals. Testudines indet. ACM/C1-E.  
ACM2110: 2/6/03. Closca. Testudines indet. ACM/VIE-C.  
ACM2111: 4/6/03. Epífisi distal d'húmer. Rhinocerotidae indet. (?). ACM/BDA.  
ACM2112: 5/6/03. Metatarsià. *Dorcatherium* cf. *nau*. ACM/BDA.  
ACM2113: 5/6/03. Molar inferior. *Deinotherium* sp. ACM/BDA.  
ACM2114: 5/6/03. Húmer. Suidae (cf. *Listriodon splendens*). ACM/BDA.  
ACM2115: 5/6/03. Fragments de mandíbula amb M/2-3. *Listriodon splendens*. ACM/BDA.  
ACM2116: 5/6/03. Epífisi proximal de tibia. Rhinocerotidae indet. (?). ACM/BDA.  
ACM2117: 5/6/03. Epífisi distal d'húmer. Rhinocerotidae indet. (?). ACM/BDA.  
ACM2118: 5/6/03. Motllo d'epífisi distal de metàpode. Mammalia indet. ACM/BDA.  
ACM2119: 5/6/03. Motllo de costella. Proboscidea indet. ACM/BDA.  
ACM2120: 5/6/03. Fragment d'os pla + diàfisi. Mammalia indet. ACM/BDA.  
ACM2121 (IPS20498): 6/6/03. Banya juvenil. *Euprox furcatus*. ACM/RP.  
ACM2122: 6/6/03. Placa. *Cheirogaster* sp. ACM/CCV.  
ACM2123: 9/6/03. Closca. *Cheirogaster* sp. ACM/CCV.  
ACM2124: 9/6/03. Defensa (?). Proboscidea indet. (?). ACM/CCV.  
ACM2125: 9/6/03. Mandíbula. Mammalia indet. (micro). ACM/CCV1.  
ACM2126: 9/6/03. Os postcranial. Testudines indet. ACM/CCV1.  
ACM2127: 13/6/03. Ous. Testudines indet. ACM/CCV.  
ACM2128: 13/6/03. Molar. Rhinocerotidae indet. ACM/C1-A.  
ACM2129 (IPS20301): 20/6/03. Plaques. Testudines indet. ACM/C1.  
ACM2130 (IPS20327): 20/6/03. Osteoderms desareticulats + vèrtebra. Anguidae indet. ACM/BDA(?).  
ACM2131 (IPS20277): 20/6/03. Fragments de defensa. Proboscidea indet. ACM/C1-A.  
ACM2132 (IPS20318): 20/6/03. Fragment de diàfisi. Mammalia indet. ACM/BDA.  
ACM2133 (IPS20302): 20/6/03. Fragment de banya. Cervidae indet. ACM/CCM.  
ACM2134 (IPS20294): 20/6/03. Placa. Testudines indet. ACM/C1-A.  
ACM2135 (IPS20291): 20/6/03. Placa. Testudines indet. ACM/C1-A.  
ACM2136 (IPS2540): 20/6/03. Basiesfenoides (fragment de basicrani). Mammalia indet.. ACM/BDA.  
ACM2137 (IPS20292): 20/6/03. Placa. Testudines indet. ACM/BDA.  
ACM2138: 20/6/03. Plaques. Testudines indet. ACM/CCM.  
ACM2139 (IPS20321): 20/6/03. Premolar decidua (dP/3) + altres fragments. Bovidae (cf. *Myotragocerus* sp.). ACM/CCM.  
ACM2140 (IPS20296): 20/6/03. Astràgal. *Micromeryx flurensianus*. ACM/CCM.  
ACMs/n (IPS20326): Fragment de plastró de tortuga. ACM/barranc proper a PP5.  
ACMs/n (IPS705): Estelles indet. Indet. ACM/PP (punts de prospecció).  
ACMs/n (IPS3083): Fragments de plaques + estelles. Testudines indet./Indet. ACM/PP10.  
ACMs/n (IPS5222-1): Pisiforme. *Alicornops simorreense*. ACM/BDA7 (=b), en el mateix bloc que ACM1445 i ACM1450.  
ACMs/n (IPS5222-4): Estelles. *Alicornops simorreense*. ACM/BDA7 (=b), en el mateix bloc que ACM1445 i ACM1450.

## **APÈNDIX 2: INVENTARI DEL MATERIAL DE MICROMAMÍFERS**

- ACM/BDL1. Molar esquerra (M<sub>1</sub>). *Megacricetodon* cf. *gregarius*.  
ACM/BDL1. Molar dreta trencada (M<sub>2</sub>). Cricetodontini indet.  
ACM/BDL1. Molar decidua dreta (dP<sup>3</sup>). cf. *Prolagus*.  
ACM/BDL2. Premolar dreta (P<sub>4</sub>). Glirinae indet.  
ACM/BDL2. Molar esquerra (M<sub>3</sub>). Cricetodontini indet.  
ACM/BDL2. Molar (M<sub>1</sub>). *Plesiodymylus chantrei*.  
ACM/BDL3. Fragment de maxil·lar amb sèrie dentària (M<sup>1</sup>-M<sup>3</sup>). Cricetodontini indet.  
ACM/BDA1. Fragment de molar. Cricetidae indet.  
ACM/BDA2. Fragment de molar. Cricetidae indet.  
ACM/BDA3. Molar dreta (M<sub>1</sub>). Cricetodontini indet.  
ACM/BDA4. Fragment de molar. *Prolagus* cf. *oeningensis*.  
ACM/BDA5. Molar dreta (M<sub>3</sub>). *Megacricetodon* sp.  
ACM/BDA6. Molar dreta (M<sup>1</sup>). *Democricetodon* cf. *larteti*.  
ACM/BDA6. Molar dreta (M<sub>3</sub>). Cricetodontini indet.  
ACM/BDA6. Fragment de molar. Cricetidae indet.  
ACM/BDA6. Premolar (P<sub>2</sub>). Galericipini indet.  
ACM/BDA6. Fragment de molar. Insectivora (?) indet.  
ACM/BDA6. Molar esquerra (M<sup>1</sup>). *Megacricetodon* cf. *gregarius*.  
ACM/BDA6. Molar esquerra (M<sup>1</sup>). *Megacricetodon* cf. *gregarius*.  
ACM/BDA6. Molar dreta (M<sup>1</sup>). *Megacricetodon* cf. *gregarius*.  
ACM/BDA7. Molar esquerra (M<sup>1</sup>). *Megacricetodon* cf. *gregarius*.  
ACM/BDA7. Molar esquerra (M<sup>1</sup>). *Megacricetodon* cf. *gregarius*.  
ACM/BDA7. Molar dreta (M<sup>1</sup>). *Megacricetodon* cf. *gregarius*.  
ACM/BDA7. Molar dreta trencada (M<sub>2</sub>). *Megacricetodon* cf. *gregarius*.  
ACM/BDA7. Molar esquerra (M<sup>3</sup>). *Democricetodon* cf. *larteti*.  
ACM/BDA7. Molar dreta trencada (M<sup>1</sup>). *Democricetodon* sp.  
ACM/BDA7. Molar dreta (M<sup>1</sup>). *Muscardinus* cf. *hispanicus*.  
ACM/BDA7. Molar esquerra (M<sup>3</sup>). *Spermophilinus bredai*.  
ACM/BDA7. Premolar (P<sub>2</sub>). Erinaceidae indet.  
ACM/BDA7. Premolar (P<sub>2</sub>). Erinaceidae indet.  
ACM/BDA8. Molar dreta trencada (M<sub>2</sub>). Cricetodontini indet.  
ACM/BDA8. Molar esquerra (M<sup>3</sup>). *Democricetodon* sp.  
ACM/BDA8. Molar dreta trencada (M<sub>1</sub>). *Democricetodon* sp.  
ACM/BDA8. Fragment de molar dret (M<sub>1</sub>). *Democricetodon* cf. *larteti*.  
ACM/BDA8. Premolar dreta (P<sup>4</sup>). *Spermophilinus bredai*.  
ACM/BDA8. Premolar esquerra (P<sup>4</sup>). *Spermophilinus bredai*.  
ACM/BDA8. Molar (M<sub>1</sub>). *Spermophilinus bredai*.  
ACM/BDA8. Fragment de molar. Sciuridae indet.  
ACM/BDA8. Fragment de premolar (P<sup>4</sup>). Erinaceidae indet.  
ACM/BDA8. Fragment de molar. Chiroptera indet.  
ACM/C1-A1. Molar dreta (M<sub>3</sub>). Cricetodontini indet.  
ACM/C1-A1. Molar esquerra (M<sub>3</sub>). Cricetodontini indet.  
ACM/C1-A1. Molar esquerra (M<sub>1</sub>). *Democricetodon* cf. *larteti*.  
ACM/C1-A1. Molar dreta (M<sub>2</sub>). *Megacricetodon minor*.  
ACM/C1-A1. Molar esquerra (M<sub>1</sub>). *Eumyarion* cf. *leemani*.  
ACM/C1-A1. Hemimandíbula trencada i sense dents. Cricetidae indet.  
ACM/C1-A1. Molar esquerra (M<sup>1</sup>). *Muscardinus hispanicus*.  
ACM/C1-A1. Molar (M<sub>1</sub>). *Plesiodymylus chantrei*.  
ACM/C1-A1. Molar (M<sub>1</sub>). Galericipini indet.  
ACM/C1-A3. Molar esquerra (M<sub>2</sub>). *Democricetodon* cf. *gaillardi*.  
ACM/C1-A3. Premolar esquerra (P<sub>4</sub>). *Spermophilinus bredai*.  
ACM/C1-A3. Molar esquerra (M<sub>3</sub>). *Spermophilinus bredai*.  
ACM/C1-A4. Molar dreta (M<sub>2</sub>). Cricetodontini indet.  
ACM/C1-A4. Molar dreta trencada (M<sub>2</sub>). cf. *Democricetodon* sp.  
ACM/C1-A4. Molar dreta (M<sub>1</sub>). *Democricetodon gaillardi*.  
ACM/C1-A4. Molar dreta (M<sub>3</sub>). Cricetidae indet.  
ACM/C1-A4. Incisiva inferior tetracuspídata (I<sub>2</sub>). Soricidae indet.  
ACM/C1-A5. Molar esquerra (M<sub>2</sub>). *Megacricetodon* cf. *gregarius*.

- ACM/C1-A5. Molar esquerra (M<sub>2</sub>). *Megacricetodon* cf. *gregarius*.  
ACM/C1-A5. Fragment de molar (M<sub>2</sub>?). Cricetidae indet.  
ACM/C1-C1. Molar (M<sub>1</sub>). Cricetodontini indet.  
ACM/C1-C1. Molar (M<sup>1</sup>). Cricetodontini indet.  
ACM/C1-C3. Molar (M<sup>2</sup>). *Megacricetodon* cf. *gregarius*.  
ACM/C1-C3. Fragment de dent. Insectivora/Carnivora indet.  
ACM/C1-C4. Molar dreta (M<sub>2</sub>). *Democricetodon* cf. *gaillardi*.  
ACM/C1-D1. Molar dreta (M<sup>1</sup>). *Democricetodon* cf. *larteti*.  
ACM/C1-D1. Molar dreta (M<sup>2</sup>). *Democricetodon* cf. *larteti*.  
ACM/C1-D1. Molar dreta (M<sup>2</sup>). Cricetidae indet. 1.  
ACM/C1-D1. Fragment de molar. Cricetidae indet. 2.  
ACM/C1-D1. Molar esquerra (M<sub>1</sub>). Gliride indet.  
ACM/C1-D1. Molar dreta (M<sub>2</sub>). *Spermophilinus bredai*.  
ACM/C1-D1. Fragment de molar. Ochotonidae indet.  
ACM/C1-D1. Incisiva superior (I<sup>2</sup>). Soricidae indet.  
ACM/C1-E1. Molar esquerra (M<sup>1</sup>). *Megacricetodon* cf. *gregarius*.  
ACM/C1-D1. Molar dreta (M<sub>2</sub>). *Democricetodon* cf. *larteti*.  
ACM/C1-E3. Molars dreta (M<sup>1</sup>). *Megacricetodon* cf. *gregarius*.  
ACM/C1-E3. Molars dreta (M<sup>1</sup>). *Megacricetodon* cf. *gregarius*.  
ACM/C1-E4. Molar esquerra (M<sub>1</sub>). *Cricetodon* cf. (*Pararuscinomys*) *lavocati*.  
ACM/C1-E4. Molar dreta trencada (M<sub>1</sub>). *Cricetodon* cf. (*Pararuscinomys*) *lavocati*.  
ACM/C1-E4. Molar esquerra (M<sub>1</sub>). Cricetodontini indet.  
ACM/C1-E4. Molar esquerra (M<sup>2</sup>). *Democricetodon* cf. *larteti*.  
ACM/C1-E4. Molar (M<sub>3</sub>). *Democricetodon* sp.  
ACM/C1-E4. Premolar (P<sub>4</sub>). Erinaceidae indet.  
ACM/C1-E5. 3 fragments de molar. Cricetidae indet.  
ACM/C1-E6. Molar dreta (M<sup>1</sup>). *Democricetodon* cf. *larteti*.  
ACM/C1-E6. Molar (M<sup>102</sup>). *Albanensia* cf. *albanensis*.  
ACM/C1-E7/E8. Molar dreta (M<sup>1</sup>). *Megacricetodon* cf. *gregarius*.  
ACM/C1-E7/E8. Molar dreta (M<sup>2</sup>). *Megacricetodon* cf. *gregarius*.  
ACM/C1-E7/E8. Molar esquerra (M<sub>3</sub>). *Megacricetodon* cf. *gregarius*.  
ACM/C1-E7/E8. Fragment de molar. Cricetidae indet.  
ACM/C1-E7/E8. Molar (M<sub>1</sub>). Crocidusoricinae indet.  
ACM/C1-E9-1. Molar esquerra (M<sub>1</sub>). *Megacricetodon* cf. *gregarius*.  
ACM/C1-E9-2. Molar esquerra (M<sub>1</sub>). *Megacricetodon* cf. *gregarius*.  
ACM/C1-E9-3. Molar esquerra (M<sub>1</sub>). *Megacricetodon* cf. *gregarius*.  
ACM/C1-E9-4. Molar esquerra (M<sub>1</sub>). *Megacricetodon* cf. *gregarius*.  
ACM/C1-E9-5. Molar esquerra (M<sub>1</sub>). *Megacricetodon* cf. *gregarius*.  
ACM/C1-E9-6. Molar esquerra (M<sub>1</sub>). *Megacricetodon* cf. *gregarius*.  
ACM/C1-E9-7. Molar esquerra (M<sub>1</sub>). *Megacricetodon* cf. *gregarius*.  
ACM/C1-E9-8. Molar dreta (M<sub>1</sub>). *Megacricetodon* cf. *gregarius*.  
ACM/C1-E9-9. Molar dreta (M<sub>1</sub>). *Megacricetodon* cf. *gregarius*.  
ACM/C1-E9-10. Molar dreta (M<sub>1</sub>). *Megacricetodon* cf. *gregarius*.  
ACM/C1-E9-11. Molar dreta (M<sub>1</sub>). *Megacricetodon* cf. *gregarius*.  
ACM/C1-E9-12. Molar esquerra (M<sub>2</sub>). *Megacricetodon* cf. *gregarius*.  
ACM/C1-E9-13. Molar esquerra (M<sub>2</sub>). *Megacricetodon* cf. *gregarius*.  
ACM/C1-E9-14. Molar esquerra (M<sub>2</sub>). *Megacricetodon* cf. *gregarius*.  
ACM/C1-E9-15. Molar esquerra (M<sub>2</sub>). *Megacricetodon* cf. *gregarius*.  
ACM/C1-E9-16. Molar esquerra (M<sub>2</sub>). *Megacricetodon* cf. *gregarius*.  
ACM/C1-E9-17. Molar esquerra (M<sub>2</sub>). *Megacricetodon* cf. *gregarius*.  
ACM/C1-E9-18. Molar esquerra (M<sub>2</sub>). *Megacricetodon* cf. *gregarius*.  
ACM/C1-E9-19. Molar dreta (M<sub>2</sub>). *Megacricetodon* cf. *gregarius*.  
ACM/C1-E9-20. Molar dreta (M<sub>2</sub>). *Megacricetodon* cf. *gregarius*.  
ACM/C1-E9-21. Molar dreta (M<sub>2</sub>). *Megacricetodon* cf. *gregarius*.  
ACM/C1-E9-22. Molar dreta (M<sub>2</sub>). *Megacricetodon* cf. *gregarius*.  
ACM/C1-E9-23. Molar dreta (M<sub>2</sub>). *Megacricetodon* cf. *gregarius*.  
ACM/C1-E9-24. Molar esquerra (M<sub>3</sub>). *Megacricetodon* cf. *gregarius*.  
ACM/C1-E9-25. Molar esquerra (M<sub>3</sub>). *Megacricetodon* cf. *gregarius*.  
ACM/C1-E9-26. Molar esquerra (M<sub>3</sub>). *Megacricetodon* cf. *gregarius*.  
ACM/C1-E9-27. Molar esquerra (M<sub>3</sub>). *Megacricetodon* cf. *gregarius*.



- ACM/C1-E9-28. Molar esquerra (M<sub>3</sub>). *Megacricetodon* cf. *gregarius*.  
ACM/C1-E9-29. Molar esquerra (M<sub>3</sub>). *Megacricetodon* cf. *gregarius*.  
ACM/C1-E9-30. Molar dreta (M<sub>3</sub>). *Megacricetodon* cf. *gregarius*.  
ACM/C1-E9-31. Molar dreta (M<sub>3</sub>). *Megacricetodon* cf. *gregarius*.  
ACM/C1-E9-32. Molar dreta (M<sub>3</sub>). *Megacricetodon* cf. *gregarius*.  
ACM/C1-E9-33. Molar dreta (M<sub>3</sub>). *Megacricetodon* cf. *gregarius*.  
ACM/C1-E9-34. Molar dreta (M<sub>3</sub>). *Megacricetodon* cf. *gregarius*.  
ACM/C1-E9-35. Molar esquerra (M<sup>1</sup>). *Megacricetodon* cf. *gregarius*.  
ACM/C1-E9-36. Molar esquerra (M<sup>1</sup>). *Megacricetodon* cf. *gregarius*.  
ACM/C1-E9-37. Molar esquerra (M<sup>1</sup>). *Megacricetodon* cf. *gregarius*.  
ACM/C1-E9-38. Molar esquerra (M<sup>1</sup>). *Megacricetodon* cf. *gregarius*.  
ACM/C1-E9-39. Molar esquerra (M<sup>1</sup>). *Megacricetodon* cf. *gregarius*.  
ACM/C1-E9-40. Molar esquerra (M<sup>1</sup>). *Megacricetodon* cf. *gregarius*.  
ACM/C1-E9-41. Molar esquerra (M<sup>1</sup>). *Megacricetodon* cf. *gregarius*.  
ACM/C1-E9-42. Molar esquerra (M<sup>1</sup>). *Megacricetodon* cf. *gregarius*.  
ACM/C1-E9-43. Molar esquerra (M<sup>1</sup>). *Megacricetodon* cf. *gregarius*.  
ACM/C1-E9-44. Molar dreta (M<sup>1</sup>). *Megacricetodon* cf. *gregarius*.  
ACM/C1-E9-45. Molar dreta (M<sup>1</sup>). *Megacricetodon* cf. *gregarius*.  
ACM/C1-E9-46. Molar dreta (M<sup>1</sup>). *Megacricetodon* cf. *gregarius*.  
ACM/C1-E9-47. Molar dreta (M<sup>1</sup>). *Megacricetodon* cf. *gregarius*.  
ACM/C1-E9-48. Molar dreta (M<sup>1</sup>). *Megacricetodon* cf. *gregarius*.  
ACM/C1-E9-49. Molar esquerra (M<sup>2</sup>). *Megacricetodon* cf. *gregarius*.  
ACM/C1-E9-50. Molar esquerra (M<sup>2</sup>). *Megacricetodon* cf. *gregarius*.  
ACM/C1-E9-51. Molar esquerra (M<sup>2</sup>). *Megacricetodon* cf. *gregarius*.  
ACM/C1-E9-52. Molar esquerra (M<sup>2</sup>). *Megacricetodon* cf. *gregarius*.  
ACM/C1-E9-53. Molar esquerra (M<sup>2</sup>). *Megacricetodon* cf. *gregarius*.  
ACM/C1-E9-54. Molar esquerra (M<sup>2</sup>). *Megacricetodon* cf. *gregarius*.  
ACM/C1-E9-55. Molar dreta (M<sup>2</sup>). *Megacricetodon* cf. *gregarius*.  
ACM/C1-E9-56. Molar dreta (M<sup>2</sup>). *Megacricetodon* cf. *gregarius*.  
ACM/C1-E9-57. Molar dreta (M<sup>2</sup>). *Megacricetodon* cf. *gregarius*.  
ACM/C1-E9-58. Molar esquerra (M<sup>3</sup>). *Democricetodon larteti*.  
ACM/C1-E9-59. Molar esquerra (M<sup>3</sup>). *Democricetodon larteti*.  
ACM/C1-E9-60. Molar esquerra (M<sup>3</sup>). *Megacricetodon* cf. *gregarius*.  
ACM/C1-E9-61. Molar esquerra (M<sup>3</sup>). *Megacricetodon* cf. *gregarius*.  
ACM/C1-E9-62. Molar dreta (M<sup>3</sup>). *Democricetodon larteti*.  
ACM/C1-E9-63. Molar dreta (M<sup>3</sup>). *Democricetodon larteti*.  
ACM/C1-E9-64. Molar esquerra (M<sub>1</sub>). *Megacricetodon* cf. *gregarius*.  
ACM/C1-E9-65. Molar esquerra (M<sub>3</sub>). *Megacricetodon* cf. *gregarius*.  
ACM/C1-E9-66. Molar esquerra (M<sup>1</sup>). *Megacricetodon* cf. *gregarius*.  
ACM/C1-E9-67. Molar dreta (M<sup>2</sup>). *Megacricetodon* cf. *gregarius*.  
ACM/C1-E9-68. Molar esquerra (M<sub>2</sub>). *Cricetodon (Pararuscinomys) lavocati*.  
ACM/C1-E9-69. Molar esquerra (M<sub>2</sub>). *Cricetodon (Pararuscinomys) lavocati*.  
ACM/C1-E9-70. Molar esquerra (M<sub>2</sub>). *Cricetodon (Pararuscinomys) lavocati*.  
ACM/C1-E9-71. Molar dreta (M<sub>2</sub>). *Cricetodon (Pararuscinomys) lavocati*.  
ACM/C1-E9-72. Molar dreta (M<sub>2</sub>). *Cricetodon (Pararuscinomys) lavocati*.  
ACM/C1-E9-73. Molar esquerra (M<sup>1</sup>). *Cricetodon (Pararuscinomys) lavocati*.  
ACM/C1-E9-74. Molar dreta (M<sup>1</sup>). *Cricetodon (Pararuscinomys) lavocati*.  
ACM/C1-E9-75. Molar dreta (M<sup>2</sup>). *Cricetodon (Pararuscinomys) lavocati*.  
ACM/C1-E9-76. Molar esquerra (M<sub>1</sub>). *Democricetodon larteti*.  
ACM/C1-E9-77. Molar esquerra (M<sub>3</sub>). *Democricetodon larteti*.  
ACM/C1-E9-78. Molar esquerra (M<sup>3</sup>). *Democricetodon larteti*.  
ACM/C1-E9-79. Molar dreta (M<sub>1</sub>). *Democricetodon* sp 2.  
ACM/C1-E10. Hemimandíbula dreta amb sèrie dentària (M<sub>1</sub>-M<sub>3</sub>). *Cricetodon* sp..  
ACM/C1-E10. Molar trencada (M<sup>1</sup>). *Megacricetodon* cf. *gregarius*.  
ACM/C1-E10. Molar trencada (M<sup>2</sup>). *Megacricetodon* cf. *gregarius*.  
ACM/C1-E10. Molar (M<sub>3</sub>). *Democricetodon* cf. *larteti*.  
ACM/C1-E10. 2 fragments de molar. Cricetidae indet.  
ACM/C1-E10. 2 fragments de molar. Cricetidae/Insectivora indet.  
ACM/VIE-C3. Molar esquerra (M<sup>1</sup>). *Cricetodon (Pararuscinomys) lavocati*.  
ACM/VIE-C3. Molar esquerra (M<sup>1</sup>). *Albanensis* cf. *albanensis*.

- ACM/VIE-C3. Molar esquerra ( $M^2$ ). *Albanensis* cf. *albanensis*.  
ACM/VIE-C3. Premolar dreta ( $P^4$ ). *Albanensis* cf. *albanensis*.  
ACM/VIE-C4. Fragment de molar. Sciurinae indet.  
ACM/VIE-E1. Premolar ( $P_3$ ). cf. *Prolagus*.  
ACM/CCV1. Molar dreta ( $M_2$ ). Cricetodontini indet.  
ACM/CCV1. Molar dreta ( $M_1$ ). *Megacricetodon* cf. *gregarius*.  
ACM/CCV1. Molar dreta ( $M^2$ ). *Eumyarion* cf. *leemani*.

## **NOTA FINAL**

Aquest treball es va acabar de redactar a Barcelona el dia 11 de novembre de 2004, i per tant la informació que hi és continguda està actualitzada fins aquesta data.

I perquè així consti, signat a Barcelona el 15 de novembre de 2004:



Jordi Galindo Torres      David Martínez Alba      Isaac Casanovas Vilar